



**TAVAN TİPİ SULU RADYANT ISITMA PANELİNİN NÜMERİK OLARAK  
ARAŞTIRILMASI**

**Tahir DİKMEN**

**YÜKSEK LİSANS TEZİ  
SİLAH SİSTEMLERİ MÜHENDİSLİĞİ ANA BİLİM DALI**

**GAZİ ÜNİVERSİTESİ  
FEN BİLİMLERİ ENSTİTÜSÜ**

**OCAK 2020**

Tahir DİKMEN tarafından hazırlanan “TAVAN TİPİ SULU RADYANT ISITMA PANELİNİN NÜMERİK OLARAK ARAŞTIRILMASI” adlı tez çalışması aşağıdaki jüri tarafından OY BİRLİĞİ ile Gazi Üniversitesi Silah Sistemleri Mühendisliği Ana Bilim Dalında YÜKSEK LİSANS TEZİ olarak kabul edilmiştir.

**Danışman:** Prof. Dr. Şenol BAŞKAYA

Makine Mühendisliği Ana Bilim Dalı, Gazi Üniversitesi .....

Bu tezin, kapsam ve kalite olarak Yüksek Lisans Tezi olduğunu onaylıyorum.

**Başkan:** Prof. Dr. Haşmet TÜRKOĞLU

Makine Mühendisliği Ana Bilim Dalı, Çankaya Üniversitesi .....

Bu tezin, kapsam ve kalite olarak Yüksek Lisans Tezi olduğunu onaylıyorum.

**Üye:** Dr. Öğr. Üyesi Ali İbrahim ATILGAN

Makine Mühendisliği Ana Bilim Dalı, Gazi Üniversitesi .....

Bu tezin, kapsam ve kalite olarak Yüksek Lisans Tezi olduğunu onaylıyorum.

Tez Savunma Tarihi: 15/01/2020

Jüri tarafından kabul edilen bu çalışmanın Yüksek Lisans Tezi olması için gerekli şartları yerine getirdiğini onaylıyorum

.....  
Prof. Dr. Sena YAŞYERLİ

Fen Bilimleri Enstitüsü Müdürü

## **ETİK BEYAN**

Gazi Üniversitesi Fen Bilimleri Enstitüsü Tez Yazım Kurallarına uygun olarak hazırladığım bu tez çalışmasında;

- Tez içinde sunduğum verileri, bilgileri ve dokümanları akademik ve etik kurallar çerçevesinde elde ettiğimi,
- Tüm bilgi, belge, değerlendirme ve sonuçları bilimsel etik ve ahlak kurallarına uygun olarak sunduğumu,
- Tez çalışmasında yararlandığım eserlerin tümüne uygun atıfta bulunarak kaynak gösterdiğimimi,
- Kullanılan verilerde herhangi bir değişiklik yapmadığımı,
- Bu tezde sunduğum çalışmanın özgün olduğunu,

bildirir, aksi bir durumda aleyhime doğabilecek tüm hak kayıplarını kabullendiğimi beyan ederim.

Tahir DİKMEN  
15/01/2020

TAVAN TİPİ SULU RADYANT ISITMA PANELİNİN NÜMERİK OLARAK  
ARAŞTIRILMASI

(Yüksek Lisans Tezi)

Tahir DİKMEN

GAZİ ÜNİVERSİTESİ  
FEN BİLİMLERİ ENSTİTÜSÜ

Ocak 2020

ÖZET

Bu çalışmada, yeni bir teknoloji olan tavan tipi sulu radyant ısıtma panel sisteminin hesaplamalı akışkanlar dinamiği (HAD) ile nümerik analizleri gerçekleştirilmiştir. Tavan tipi sulu radyant panel sisteminin ısıtma performansı değişik parametreler altında üç boyutlu ve sayısal olarak incelenmiştir. Nümerik analizler hesaplamalı akışkanlar dinamiği programı olan FloEFD yazılımı ile gerçekleştirilmiştir. Çalışmanın başlangıcında literatürden benzer bir problem seçilmiş ve yöntem doğrulama çalışmaları yapılmıştır. Ardından ticari olarak temin edilebilen bir tavan tipi sulu radyant panel seçilerek analizler gerçekleştirilmiştir. Radyant panelin seçilmesinin ardından çalışmanın gerçekleştirileceği odanın ve radyant panelin üç boyutlu modelleri oluşturulmuştur. Modeller oluşturulduktan sonra Reynolds sayısı, su giriş sıcaklığı, oda duvar sıcaklığı, yayıcılık katsayısı, boru malzemesi, boru çapı, boruların saca gömülme mesafesi, boru geçiş sayısı ve kolektör genişliği parametrelerinin sistemin ısıtma performansı üzerindeki etkileri detaylı olarak incelenmiştir ve toplam ısıl güç ile radyasyon yayıcı yüzeyin radyasyon miktarı ve ortalama yüzey sıcaklığına etkileri grafikler yardımıyla sunulmuştur. Sonuçlar her bir parametre için karşılaştırmalı olarak değerlendirilmiştir ve incelenen bu parametrelerin oda ve panel bölgesindeki sıcaklık dağılımları, hız vektörleri, saclar ve yalıtım malzemesine etkileri analiz edilerek incelenmiştir.

- Bilim Kodu : 91412  
Anahtar Kelimeler : HAD, ısıtma, radyant panel  
Sayfa Adedi : 165  
Danışman : Prof. Dr. Şenol BAŞKAYA

**NUMERICAL INVESTIGATION OF CEILING TYPE RADIANT PANEL HEATER**

(M. Sc. Thesis)

**Tahir DİKMEN****GAZİ UNIVERSITY****GRADUATE SCHOOL OF NATURAL AND APPLIED SCIENCES**

January 2020

**ABSTRACT**

In this study, a numerical analyzes of a ceiling type radiant panel heater system, which is a new technology, was performed by using Computational Fluid Dynamics (CFD). The heating performance of the ceiling type radiant panel system has been examined under different parameters three dimensional and numerically. Numerical analyzes was performed by using the FloEFD code which is a computational fluid dynamics code. At the beginning of the study, a similar problem was taken from the literature and validation studies were carried out. Then, a commercially available heater was selected and analyzed. After the selection of the radiant panel, three-dimensional models of the room and radiant panel heater were created. After that, the effects of Reynolds number, water inlet temperature, room wall temperature, emissivity, pipe material, pipe diameter, pipe embedding distance on metal sheet, number of pipe runs and collector width parameters on heating performance of this system were examined in detail, and the effects of these parameteres on total heat load, net radiation rate and average surface temperature have been presented with the help of graphical representations. The results were evaluated comparatively for each parameter. The effects of these parameters on temperature distribution and velocity vectors were analyzed inside the room and panel region. In addition to the temperature distributions and velocity vectors in the room and panel regions, the effects of these parameters on the sheets and insulation materials were also investigated.

Science Code : 91412

Key Words : CFD, heating, radiant ceiling panel

Page Number : 165

Supervisor : Prof. Dr. Senol BASKAYA

## **TEŞEKKÜR**

Bu tez çalışmasında doğrudan veya dolaylı olarak çok sayıda kişinin emeği vardır. Öncelikle, bana sayısal çalışmanın inceliklerini sabırla öğreten, tüm bilgi birikimini ve tecrübeleri cömertçe paylaşan, tezin her aşamasında bana destek olan tez danışmanım hocam Sayın Prof. Dr. Şenol BAŞKAYA' ya teşekkürlerimi sunarım. Tezimi yazarken bana zaman ve emek harcayan, değerli fikirleri, bilgi birikimi ve tecrübesiyle bana destek olan hocam Dr. Tamer ÇALIŞIR'a çok teşekkür ederim.

Bu süreçte bana maddi ve manevi olarak desteklerini esirgemeyen annem Yurdanur DİKMEN'e, babam Mehmet DİKMEN'e ve kardeşim Altuğ Erdem DİKMEN'e çok teşekkür ederim.

## İÇİNDEKİLER

	<b>Sayfa</b>
ÖZET .....	iv
ABSTRACT.....	v
TEŞEKKÜR.....	vi
İÇİNDEKİLER .....	vii
ÇİZELGELERİN LİSTESİ.....	x
ŞEKİLLERİN LİSTESİ.....	xii
RESİMLERİN LİSTESİ .....	xxi
SİMGELER VE KISALTMALAR.....	xxii
<b>1. GİRİŞ.....</b>	<b>1</b>
<b>2. LİTERATÜR ARAŞTIRMASI .....</b>	<b>3</b>
<b>3. ÇALIŞMA YÖNTEMİ .....</b>	<b>11</b>
3.1. Sayısal Model.....	11
3.2. Panel Yapısı .....	13
3.3. Matematiksel Formülasyon.....	19
<b>4. ÇALIŞMANIN DOĞRULANMASI.....</b>	<b>29</b>
4.1. Nümerik Çalışmanın Hücre Sayısından Bağımsızlaştırılması .....	30
4.2. Sayısal Çalışmanın Doğrulanması .....	31
4.3. Analizlerde Kullanılan Model.....	32
<b>5. PARAMETRİK ÇALIŞMALAR .....</b>	<b>35</b>
5.1. Reynolds Sayısının Performans Üzerindeki Etkisi .....	36
5.1.1. Reynolds sayısının sıcaklık ve hız dağılımına etkisi.....	39
5.1.2. Reynolds sayısının boruyu çevreleyen saclar üzerindeki etkisi.....	53

	Sayfa
5.1.3. Reynolds sayısının yalıtım malzemesi içindeki sıcaklık dağılımına etkisi.....	56
5.2. Su Giriş Sıcaklığının Performans Üzerindeki Etkisi.....	57
5.2.1. Su giriş sıcaklığının sıcaklık ve hız dağılımına etkisi .....	60
5.2.2. Su giriş sıcaklığının boruyu çevreleyen saclar üzerindeki etkisi .....	69
5.2.3. Su giriş sıcaklığının yalıtım malzemesi içindeki sıcaklık dağılımına Etkisi .....	70
5.3. Oda Duvar Sıcaklığının Performans Üzerindeki Etkisi .....	70
5.3.1. Oda duvar sıcaklık değerinin sıcaklık ve hız dağılımına etkisi.....	73
5.3.2. Oda duvar sıcaklığının boruları çevreleyen saclar üzerindeki etkisi .....	80
5.3.3. Oda duvar sıcaklığının yalıtım malzemesi içindeki sıcaklık dağılımına etkisi.....	81
5.4. Yayıcılık Katsayısının Performans Üzerindeki Etkisi .....	82
5.4.1. Yayıcılık katsayısının değerinin sıcaklık ve hız dağılımına etkisi.....	84
5.4.2. Yayıcılık katsayısının boruları çevreleyen saclar üzerindeki etkisi.....	91
5.4.3. Yayıcılık katsayısının yalıtım malzemesi içindeki sıcaklık dağılımına etkisi.....	92
5.5. Boru Malzemesinin Performans Üzerindeki Etkisi.....	93
5.5.1. Boru malzemesinin sıcaklık ve hız dağılımına etkisi.....	94
5.5.2. Boru malzemesinin boruları çevreleyen saclar üzerindeki etkisi.....	102
5.5.3. Boru malzemesinin yalıtım malzemesi içindeki sıcaklık dağılımına Etkisi .....	103
5.6. Boru Çapının Performans Üzerindeki Etkisi.....	104
5.6.1. Boru çapının sıcaklık ve hız dağılımına etkisi .....	106
5.6.2. Boru çapının boruları çevreleyen saclar üzerindeki etkisi .....	113
5.6.3. Boru çapının yalıtım malzemesi içindeki sıcaklık dağılımına etkisi .....	114

	Sayfa
5.6.4. Boru çapının basınç düşümüne etkisi.....	115
5.7. Gömülme Mesafesinin Performans Üzerindeki Etkisi.....	116
5.7.1. Gömülme mesafesinin sıcaklık ve hız dağılımına etkisi.....	120
5.7.2. Gömülme mesafesinin boruları çevreleyen saclar üzerindeki etkisi.....	126
5.7.3. Gömülme mesafesinin yalıtım malzemesi içindeki sıcaklık dağılımına etkisi.....	127
5.8. Geçiş Sayısının Performans Üzerindeki Etkisi .....	127
5.8.1. Boru geçiş sayısının sıcaklık ve hız dağılımına etkisi .....	131
5.8.2. Boru geçiş sayısının boruları çevreleyen saclar üzerindeki etkisi .....	137
5.8.3. Boru geçiş sayısının yalıtım malzemesi içindeki sıcaklık dağılımına etkisi.....	138
5.8.4. Boru geçiş sayısının basınç düşümüne etkisi .....	139
5.9. Kolektör Genişliğinin Performans Üzerindeki Etkisi .....	140
5.9.1. Kolektör genişliğinin sıcaklık ve hız dağılımına etkisi.....	146
5.9.2. Kolektör genişliğinin boruları çevreleyen saclar üzerindeki etkisi.....	152
5.9.3. Kolektör genişliğinin yalıtım malzemesi içindeki sıcaklık dağılımına etkisi.....	154
5.9.4. Kolektör genişliğinin basınç düşümüne etkisi .....	154
5.10. Korelasyon Oluşturulması.....	155
6. SONUÇLAR VE ÖNERİLER .....	157
KAYNAKLAR .....	161
ÖZGEÇMİŞ .....	165

## ÇİZELGELERİN LİSTESİ

<b>Çizelge</b>	<b>Sayfa</b>
Çizelge 4.1. x-y-z koordinatlarındaki hücre sayıları.....	30
Çizelge 5.1. Reynolds sayısı analizinde kullanılan parametreler .....	37
Çizelge 5.2. Re çalışması için hesaplanan değerler .....	37
Çizelge 5.3. $T_g$ çalışmasında kullanılan parametreler.....	58
Çizelge 5.4. $T_g$ çalışması için hesaplanan değerler.....	58
Çizelge 5.5. Oda duvar sıcaklığı analizinde kullanılan parametreler .....	71
Çizelge 5.6. $T_d$ çalışması için hesaplanan değerler.....	71
Çizelge 5.7. Yayıcılık katsayısı çalışmasında kullanılan parametreler.....	82
Çizelge 5.8. Yayıcılık katsayısı çalışması için hesaplanan değerler.....	83
Çizelge 5.9. Boru malzemesi çalışmasında kullanılan parametreler .....	93
Çizelge 5.10. Boru malzemesi çalışması için hesaplanan değerler .....	93
Çizelge 5.11. Boru malzemesi için $T_s$ , $Q_R$ ve $Q_T$ değerleri .....	94
Çizelge 5.12. Boru çapı çalışmasında kullanılan parametreler.....	104
Çizelge 5.13. Boru çapı çalışması için hesaplanan değerler .....	104
Çizelge 5.14. Gömülme mesafeleri.....	117
Çizelge 5.15. Gömülme mesafesi çalışmasında kullanılan parametreler .....	117
Çizelge 5.16. Gömülme mesafesi çalışması için hesaplanan değerler.....	118
Çizelge 5.17. Geçiş sayısına bağlı boru merkezleri arasındaki uzaklık.....	128
Çizelge 5.18. Geçiş Sayısı çalışmasında kullanılan parametreler.....	129
Çizelge 5.19. Geçiş sayısı çalışması için hesaplanan değerler .....	129
Çizelge 5.20. Kolektör genişlik hesaplaması.....	143
Çizelge 5.21. Kolektör genişliği çalışmasında kullanılan parametreler .....	144

<b>Çizelge</b>	<b>Sayfa</b>
Çizelge 5.22. Kolektör genişliği çalışması için hesaplanan değerler.....	144

## ŞEKİLLERİN LİSTESİ

Şekil	Sayfa
Şekil 3.1. Sistemin 3 boyutlu modeli .....	12
Şekil 3.2. Panelin oda içinde yerleşimi .....	13
Şekil 3.3. Tavan tipi sulu radyant panelin 3 boyutlu modeli .....	14
Şekil 3.4. Panelin patlatılmış görünüşü.....	14
Şekil 3.5. Boru modelinin çap ve uzunluk gösterimi.....	15
Şekil 3.6. Üst ve alt sac modeli ve ölçülerı.....	16
Şekil 3.7. Sacların ve boruların montajı.....	16
Şekil 3.8. Çerçevenin görünüşü .....	17
Şekil 3.9. Çerçevenin montajı.....	17
Şekil 3.10. Kolektörün yapısı ve montajı.....	18
Şekil 3.11. Yalıtım malzemesinin boyutları .....	18
Şekil 3.12. Yalıtım malzemesinin montajı.....	19
Şekil 3.13. İncelenen çözüm bölgeleri .....	21
Şekil 4.1. Hücre sayısından bağımsızlaştırma sonuçları.....	30
Şekil 4.2. Doğrulama çalışması (Toplam ısı trasfer miktarı).....	31
Şekil 4.3. Doğrulama Çalışması (Radyasyon miktarı).....	32
Şekil 4.4. Doğrulama çalışması (Ortalama yüzey sıcaklığı).....	32
Şekil 4.5. 3 boyutlu modele ait x-y-z koordinatları hücre yapısı gösterimi.....	33
Şekil 4.6. Çözümlerde kullanılan hücre yapısının detaylı gösterimi .....	34
Şekil 5.1. Kesitlerin gösterimi .....	36
Şekil 5.2. Toplam ısı transfer miktarının Reynolds sayısıyla değişimi .....	38
Şekil 5.3. Alt sac yüzeyinden elde edilen radyasyon miktarının Reynolds sayısıyla değişimi.....	39

<b>Sekil</b>	<b>Sayfa</b>
Şekil 5.4. Alt sac ortalama yüzey sıcaklığının Reynolds sayısıyla değişimi .....	39
Şekil 5.5. A1 kesitinde panel bölgesindeki sıcaklık dağılımına Re değerinin etkisi .....	40
Şekil 5.6. A2 kesitinde oda içerisindeki sıcaklık dağılımının Re değeriyle değişimi.....	41
Şekil 5.7. A2 kesitinde panel bölgesindeki sıcaklık dağılımına Re değerinin etkisi .....	42
Şekil 5.8. A3 kesitinde panel bölgesindeki sıcaklık dağılımına Re değerinin etkisi .....	42
Şekil 5.9. B1 kesitinde panel bölgesindeki sıcaklık dağılımına Re değerinin etkisi .....	43
Şekil 5.10. B2 kesitinde oda içerisindeki sıcaklık dağılımına Re değerinin etkisi .....	44
Şekil 5.11. B2 kesitinde panel bölgesindeki sıcaklık dağılımına Re değerinin etkisi ....	44
Şekil 5.12. B3 kesitinde panel bölgesindeki sıcaklık dağılımına Re değerinin etkisi ....	45
Şekil 5.13. C1 kesitinde oda içerisindeki sıcaklık dağılımına Re değerinin etkisi .....	46
Şekil 5.14. A1 kesitinde panel bölgesindeki hız dağılımına Re değerinin etkisi.....	47
Şekil 5.15. A2 kesitinde oda içerisindeki hız dağılımına Re değerinin etkisi .....	48
Şekil 5.16. A2 kesitinde panel bölgesindeki hız dağılımına Re değerinin etkisi.....	49
Şekil 5.17. A3 kesitinde panel bölgesindeki hız dağılımına Re değerinin etkisi.....	49
Şekil 5.18. B1 kesitinde panel bölgesindeki hız dağılımına Re değerinin etkisi .....	50
Şekil 5.19. B2 kesitinde oda içerisindeki hız dağılımına Re değerinin etkisi.....	51
Şekil 5.20. B2 kesitinde panel bölgesindeki hız dağılımına Re değerinin etkisi .....	52
Şekil 5.21. B3 kesitinde panel bölgesindeki hız dağılımına Re değerinin etkisi .....	52
Şekil 5.22. C1 kesitinde oda içerisindeki hız dağılımına Re değerinin etkisi.....	53
Şekil 5.23. Alt sacdaki sıcaklık dağılımına Re değerinin etkisi .....	55
Şekil 5.24. Üst sacdaki sıcaklık dağılımına Re değerinin etkisi .....	55
Şekil 5.25. B1 kesitinde yalıtmalzemesindeki sıcaklık dağılımına Re değerinin etkisi .....	56
Şekil 5.26. B2 kesitinde yalıtmalzemesindeki sıcaklık dağılımına Re değerinin etkisi .....	56

<b>Şekil</b>	<b>Sayfa</b>
Şekil 5.27. B3 kesitinde yalıtım malzemesindeki sıcaklık dağılımına Re değerinin etkisi .....	57
Şekil 5.28. Yalıtım malzemesinin Y-Z kesitinde sıcaklık dağılımına Re değerinin etkisi .....	57
Şekil 5.29. Toplam ısı transfer miktarının su giriş sıcaklığı ile değişimi .....	59
Şekil 5.30. Alt sac yüzeyinden elde edilen radyasyon miktarının su giriş sıcaklığı ile değişimi .....	59
Şekil 5.31. Alt sac ortalama yüzey sıcaklığının su giriş sıcaklığı ile değişimi .....	60
Şekil 5.32. A2 kesitinde oda içerisindeki sıcaklık dağılımına $T_g$ değerinin etkisi .....	61
Şekil 5.33. A2 kesitinde panel bölgesindeki sıcaklık dağılımına $T_g$ değerinin etkisi .....	62
Şekil 5.34. B2 kesitinde oda içerisindeki sıcaklık dağılımına $T_g$ değerinin etkisi .....	62
Şekil 5.35. B2 kesitinde panel bölgesindeki sıcaklık dağılımına $T_g$ değerinin etkisi .....	63
Şekil 5.36. C1 kesitinde panel bölgesindeki sıcaklık dağılımına $T_g$ değerinin etkisi .....	64
Şekil 5.37. A2 kesitinde oda içerisindeki hız dağılımına $T_g$ değerinin etkisi .....	65
Şekil 5.38. A2 kesitinde panel bölgesindeki hız dağılımına $T_g$ değerinin etkisi .....	66
Şekil 5.39. B2 kesitinde oda içerisindeki hız dağılımına $T_g$ değerinin etkisi .....	67
Şekil 5.40. A2 kesitinde panel bölgesindeki hız dağılımına $T_g$ değerinin etkisi .....	68
Şekil 5.41. C1 kesitinde panel bölgesindeki hız dağılımına $T_g$ değerinin etkisi .....	68
Şekil 5.42. Alt sacdaki sıcaklık dağılımına $T_g$ değerinin etkisi .....	69
Şekil 5.43. Üst sacdaki sıcaklık dağılımına $T_g$ değerinin etkisi .....	69
Şekil 5.44. B2 kesitinde yalıtım malzemesindeki sıcaklık dağılımına $T_g$ değerinin etkisi .....	70
Şekil 5.45. Toplam ısı transfer miktarının oda duvar sıcaklığı ile değişimi .....	72
Şekil 5.46. Alt sac yüzeyinden elde edilen radyasyon miktarının oda duvar sıcaklığı ile değişimi .....	72
Şekil 5.47. Alt sac ortalama yüzey sıcaklığının oda duvar sıcaklığı ile değişimi .....	73

<b>Şekil</b>	<b>Sayfa</b>
Şekil 5.48. A2 kesitinde oda içerisindeki sıcaklık dağılımına $T_d$ değerinin etkisi .....	74
Şekil 5.49. A2 kesitinde panel bölgesindeki sıcaklık dağılımına $T_d$ değerinin etkisi.....	75
Şekil 5.50. B2 kesitinde oda içerisindeki sıcaklık dağılımına $T_d$ değerinin etkisi.....	75
Şekil 5.51. B2 kesitinde oda içerisindeki sıcaklık dağılımına $T_d$ değerinin etkisi.....	76
Şekil 5.52. C1 kesitinde panel bölgesindeki sıcaklık dağılımına $T_d$ değerinin etkisi.....	76
Şekil 5.53. A2 kesitinde oda içerisindeki hız dağılımına $T_d$ değerinin etkisi .....	77
Şekil 5.54. A2 kesitinde panel bölgesindeki hız dağılımına $T_d$ değerinin etkisi .....	77
Şekil 5.55. B2 kesitinde oda içerisindeki hız dağılımına $T_d$ değerinin etkisi .....	78
Şekil 5.56. B2 kesitinde panel bölgesindeki hız dağılımına $T_d$ değerinin etkisi.....	79
Şekil 5.57. C1 kesitinde panel bölgesindeki hız dağılımına $T_d$ değerinin etkisi.....	79
Şekil 5.58. Alt sacdaki sıcaklık dağılımına $T_d$ değerinin etkisi .....	80
Şekil 5.59. Üst sacdaki sıcaklık dağılımına $T_d$ değerinin etkisi.....	81
Şekil 5.60. B2 kesitinde yalıtılmalzemesindeki sıcaklık dağılımına $T_d$ değerinin etkisi .....	81
Şekil 5.61. Toplam ısı transfer miktarının panel yayıcılık katsayı ile değişimi.....	83
Şekil 5.62. Alt sac yüzeyinden elde edilen radyasyon miktarının panel yayıcılık katsayı ile değişimi.....	84
Şekil 5.63. Alt sac ortalama yüzey sıcaklığının panel yayıcılık katsayı ile değişimi .....	84
Şekil 5.64. A2 kesitinde oda içerisindeki sıcaklık dağılımına $\epsilon_p$ değerinin etkisi .....	85
Şekil 5.65. A2 kesitinde panel bölgesindeki sıcaklık dağılımına $\epsilon_p$ değerinin etkisi .....	86
Şekil 5.66. B2 kesitinde oda içerisindeki sıcaklık dağılımına $\epsilon_p$ değerinin etkisi .....	86
Şekil 5.67. B2 kesitinde panel bölgesindeki sıcaklık dağılımına $\epsilon_p$ değerinin etkisi.....	87
Şekil 5.68. C1 kesitinde panel bölgesindeki sıcaklık dağılımına $\epsilon_p$ değerinin etkisi.....	87
Şekil 5.69. A2 kesitinde oda içerisindeki hız dağılımına $\epsilon_p$ değerinin etkisi.....	88

<b>Şekil</b>	<b>Sayfa</b>
Şekil 5.70. A2 kesitinde panel bölgesindeki hız dağılımına $\varepsilon_p$ değerinin etkisi .....	89
Şekil 5.71. B2 kesitinde oda içerisindeki hız dağılımına $\varepsilon_p$ değerinin etkisi .....	89
Şekil 5.72. B2 kesitinde panel bölgeindeki hız dağılımına $\varepsilon_p$ değerinin etkisi .....	90
Şekil 5.73. C1 kesitinde panel bölgeindeki hız dağılımına $\varepsilon_p$ değerinin etkisi .....	90
Şekil 5.74. Alt sacdaki sıcaklık dağılımına $\varepsilon_p$ değerinin etkisi.....	91
Şekil 5.75. Üst sacdaki sıcaklık dağılımına $\varepsilon_p$ değerinin etkisi .....	92
Şekil 5.76. B2 kesitinde yalıtım malzemesindeki sıcaklık dağılımına $\varepsilon_p$ değerinin etkisi.....	92
Şekil 5.77. A2 kesitinde oda içerisindeki sıcaklık dağılımına malzemenin etkisi.....	95
Şekil 5.78. A2 kesitinde panel bölgeindeki sıcaklık dağılımına malzemenin etkisi .....	96
Şekil 5.79. B2 kesitinde oda içerisindeki sıcaklık dağılımına malzemenin etkisi .....	97
Şekil 5.80. B2 kesitinde panel bölgeindeki sıcaklık dağılımına malzemenin etkisi .....	98
Şekil 5.81. C1 kesitinde panel bölgeindeki sıcaklık dağılımına malzemenin etkisi .....	98
Şekil 5.82. A2 kesitinde oda içerisindeki hız dağılımına malzemenin etkisi .....	99
Şekil 5.83. A2 kesitinde panel bölgeindeki hız dağılımına malzemenin etkisi.....	100
Şekil 5.84. B2 kesitinde oda içerisindeki hız dağılımına malzemenin etkisi.....	100
Şekil 5.85. B2 kesitinde panel bölgeindeki hız dağılımına malzemenin etkisi .....	101
Şekil 5.86. C1 kesitinde panel bölgeindeki hız dağılımına malzemenin etkisi .....	101
Şekil 5.87. Alt sacdaki sıcaklık dağılımına malzemenin etkisi .....	102
Şekil 5.88. Üst sacdaki sıcaklık dağılımına malzemenin etkisi .....	103
Şekil 5.89. B2 kesitinde yalıtım malzemesindeki sıcaklık dağılımına malzemenin etkisi.....	103
Şekil 5.90. Toplam ısı transfer miktarının boru çapı ile değişimi .....	105
Şekil 5.91. Alt sac yüzeyinden elde edilen radyasyon miktarının boru çapı ile değişimi.....	105

<b>Şekil</b>	<b>Sayfa</b>
Şekil 5.92. Alt sac ortalama yüzey sıcaklığının boru çapı ile değişimi .....	106
Şekil 5.93. A2 kesitinde oda içerisindeki sıcaklık dağılımına D değerinin etkisi .....	107
Şekil 5.94. A2 kesitinde panel bölgesindeki sıcaklık dağılımına D değerinin etkisi.....	108
Şekil 5.95. B2 kesitinde oda içerisindeki sıcaklık dağılımına D değerinin etkisi.....	108
Şekil 5.96. B2 kesitinde panel bölgesindeki sıcaklık dağılımına D değerinin etkisi.....	109
Şekil 5.97. C1 kesitinde panel bölgesindeki sıcaklık dağılımına D değerinin etkisi.....	109
Şekil 5.98. A2 kesitinde oda içerisindeki hız dağılımına D değerinin etkisi.....	110
Şekil 5.99. A2 kesitinde panel bölgesindeki hız dağılımına D değerinin etkisi .....	111
Şekil 5.100. B2 kesitinde oda içerisindeki hız dağılımına D değerinin etkisi .....	111
Şekil 5.101. B2 kesitinde panel bölgesindeki hız dağılımına D değerinin etkisi .....	112
Şekil 5.102. C1 kesitinde panel bölgesindeki hız dağılımına D değerinin etkisi .....	112
Şekil 5.103. Alt sacdaki sıcaklık dağılımına D değerinin etkisi .....	113
Şekil 5.104. Üst sacdaki sıcaklık dağılımına D değerinin etkisi.....	114
Şekil 5.105. B2 kesiti yalıtmalzemesindeki sıcaklık dağılımına D değerinin etkisi .....	114
Şekil 5.106. Basınç düşümünün boru çapı ile değişimi .....	115
Şekil 5.107. C1 kesitinde borulardaki basınç düşümüne D değerinin etkisi .....	116
Şekil 5.108. Gömülme mesafesi ölçülendirilmesi .....	116
Şekil 5.109. Gömülme tipleri.....	117
Şekil 5.110. Toplam ısı transfer miktarının gömülme mesafesi ile değişimi .....	118
Şekil 5.111. Alt sac yüzeyinden elde edilen radyasyon miktarının gömülme mesafesi ile değişimi .....	119
Şekil 5.112. Alt sac ortalama yüzey sıcaklığının gömülme mesafesi ile değişimi .....	119
Şekil 5.113. A2 kesitinde oda içerisindeki sıcaklık dağılımına $X_g$ değerinin etkisi.....	120

Şekil	Sayfa
Şekil 5.114. A2 kesitinde panel bölgesindeki sıcaklık dağılımına $X_g$ değerinin etkisi .....	121
Şekil 5.115. B2 kesitinde oda içerisindeki sıcaklık dağılımına $X_g$ değerinin etkisi .....	121
Şekil 5.116. B2 kesitinde panel bölgesindeki sıcaklık dağılımına $X_g$ değerinin etkisi .....	122
Şekil 5.117. C1 kesitinde panel bölgesindeki sıcaklık dağılımına $X_g$ değerinin etkisi .....	122
Şekil 5.118. A2 kesitinde oda içerisindeki hız dağılımına $X_g$ değerinin etkisi.....	123
Şekil 5.119. A2 kesitinde panel bölgesindeki hız dağılımına $X_g$ değerinin etkisi.....	124
Şekil 5.120. B2 kesitinde oda içerisindeki hız dağılımına $X_g$ değerinin etkisi.....	124
Şekil 5.121. B2 kesitinde panel bölgesindeki hız dağılımına $X_g$ değerinin etkisi .....	125
Şekil 5.122. C1 kesitinde panel bölgesindeki hız dağılımına $X_g$ değerinin etkisi .....	125
Şekil 5.123. Alt sacdaki sıcaklık dağılımına $X_g$ değerinin etkisi .....	126
Şekil 5.124. Üst sacdaki sıcaklık dağılımına $X_g$ değerinin etkisi.....	126
Şekil 5.125. B2 kesiti yalıtılmalzemesindeki sıcaklık dağılımına $X_g$ değerinin etkisi .....	127
Şekil 5.126. Boru geçiş sayıları ve görselleri .....	128
Şekil 5.127. Toplam ısı transfer miktarının geçiş sayısı ile değişimi .....	130
Şekil 5.128. Alt sac yüzeyinden elde edilen radyasyon miktarının geçiş sayısı ile değişimi .....	130
Şekil 5.129. Alt sac ortalama yüzey sıcaklığının geçiş sayısı ile değişimi.....	131
Şekil 5.130. A2 kesitinde oda içerisindeki sıcaklık dağılımına n değerinin etkisi .....	132
Şekil 5.131. A2 kesitinde panel bölgesindeki sıcaklık dağılımına n değerinin etkisi.....	132
Şekil 5.132. B2 kesitinde oda içerisindeki sıcaklık dağılımına n değerinin etkisi .....	133
Şekil 5.133. B2 kesitinde panel bölgesindeki sıcaklık dağılımına n değerinin etkisi.....	134
Şekil 5.134. C1 kesitinde panel bölgesindeki sıcaklık dağılımına n değerinin etkisi.....	134

<b>Şekil</b>	<b>Sayfa</b>
Şekil 5.135. A2 kesitinde oda içerisindeki hız dağılımına n değerinin etkisi .....	135
Şekil 5.136. A2 kesitinde panel bölgesindeki hız dağılımına n değerinin etkisi .....	135
Şekil 5.137. B2 kesitinde oda içerisindeki hız dağılımına n değerinin etkisi .....	136
Şekil 5.138. B2 kesitinde panel bölgesindeki hız dağılımına n değerinin etkisi .....	137
Şekil 5.139. C1 kesitinde panel bölgesindeki hız dağılımına n değerinin etkisi .....	137
Şekil 5.140. Alt sacdaki sıcaklık dağılımına n değerinin etkisi .....	138
Şekil 5.141. Üst sacdaki sıcaklık dağılımına n değerinin etkisi .....	138
Şekil 5.142. B2 kesiti yalıtılmalzemesindeki sıcaklık dağılımına n değerinin etkisi .....	139
Şekil 5.143. Basınç düşümünün geçiş sayısı ile değişimi .....	139
Şekil 5.144. C1 kesitinde borulardaki basınç düşümüne n değerinin etkisi .....	140
Şekil 5.145. Çalışmada kullanılan 3 boyutlu model .....	140
Şekil 5.146. Kolektör şekli ve konumu .....	141
Şekil 5.147. Kolektörün ölçülendirilmesi .....	142
Şekil 5.148. Kolektör boru yapısı .....	142
Şekil 5.149. Kolektörlerde ait yan görünüşler .....	143
Şekil 5.150. Toplam ısı transfer miktarının kolektör genişliği ile değişimi .....	145
Şekil 5.151. Alt sac yüzeyinden elde edilen radyasyon miktarının kolektör genişliği ile değişimi .....	145
Şekil 5.152. Alt sac ortalama yüzey sıcaklığının kolektör genişliği ile değişimi .....	146
Şekil 5.153. A2 kesitinde oda içerisindeki sıcaklık dağılımına $W_k$ değerinin etkisi .....	147
Şekil 5.154. A2 kesitinde panel bölgesindeki sıcaklık dağılımına $W_k$ değerinin etkisi .....	147
Şekil 5.155. B2 kesitinde oda içerisindeki sıcaklık dağılımına $W_k$ değerinin etkisi .....	148
Şekil 5.156. B2 kesitinde panel bölgesindeki sıcaklık dağılımına $W_k$ değerinin etkisi .....	149

<b>Şekil</b>	<b>Sayfa</b>
Şekil 5.157. C1 kesitinde panel bölgesindeki sıcaklık dağılımına $W_k$ değerinin etkisi .....	149
Şekil 5.158. A2 kesitinde oda içerisindeki hız dağılımına $W_k$ değerinin etkisi.....	150
Şekil 5.159. A2 kesitinde panel bölgesindeki hız dağılımına $W_k$ değerinin etkisi.....	150
Şekil 5.160. B2 kesitinde oda içerisindeki hız dağılımına $W_k$ değerinin etkisi.....	151
Şekil 5.161. B2 kesitinde panel bölgesindeki hız dağılımına $W_k$ değerinin etkisi .....	152
Şekil 5.162. C1 kesitinde panel bölgesindeki hız dağılımına $W_k$ değerinin etkisi .....	152
Şekil 5.163. Alt sacdaki sıcaklık dağılımına $W_k$ değerinin etkisi .....	153
Şekil 5.164. Üst sacdaki sıcaklık dağılımına $W_k$ değerinin etkisi.....	153
Şekil 5.165. B2 kesiti yalıtılmalzemesindeki sıcaklık dağılımına $W_k$ değerinin etkisi .....	154
Şekil 5.166. Basınç düşümünün kolektör genişliği ile değişimi .....	154
Şekil 5.167. C1 kesitinde borulardaki basınç düşümüne $W_k$ değerinin etkisi .....	155
Şekil 5.168. Toplam ısı transfer miktarı için oluşturulan korelasyon.....	155

**RESİMLERİN LİSTESİ**

<b>Resim</b>	<b>Sayfa</b>
Resim 4.1. Modellemesi yapılan tavan tipi radyant panel .....	29

## SİMGELER VE KISALTMALAR

Bu çalışmada kullanılmış simgeler ve kısaltmalar, açıklamaları ile birlikte aşağıda sunulmuştur.

Simgeler	Açıklamalar
<b>A</b>	Yüzey alanı ( $m^2$ )
<b><math>A_s</math></b>	Alt sac yüzey alanı ( $m^2$ )
<b><math>c_p</math></b>	Özgül ısı ( $J/kgK$ )
<b>D</b>	Boru dış çapı (mm)
<b><math>D_i</math></b>	Boru iç çapı (mm)
<b><math>D_k</math></b>	Kolektör boru çapı (mm)
<b>E</b>	Gri cismin ışınım enerjisi
<b>g</b>	Yer çekimi ivmesi ( $m/s^2$ )
<b>h</b>	Isı taşınım katsayısı
<b><math>h_c</math></b>	Çıkış entalpi değeri ( $kJ/kg$ )
<b><math>h_g</math></b>	Giriş entalpi değeri ( $kJ/kg$ )
<b><math>H_k</math></b>	Kolektör yüksekliği (mm)
<b>I</b>	Radyasyon şiddeti
<b><math>\dot{m}</math></b>	Kütlesel debi ( $kg/s$ )
<b>n</b>	Boru geçiş sayısı
<b><math>k_f</math></b>	Akışkanın ıslıl iletkenlik kaysayısı ( $W/mK$ )
<b>K</b>	Isı iletim katsayısı ( $W/mK$ )
<b>L</b>	Yükseklik (m)
<b><math>L_b</math></b>	Boru uzunluğu (mm)
<b><math>L_k</math></b>	Kolektör uzunluğu (mm)
<b>P</b>	Basınç (Pa)
<b>Pr</b>	Prandtl sayısı
<b><math>q_r</math></b>	Radyasyon ısı transfer miktarı (W)
<b><math>Q_{CFD}</math></b>	Toplam ıslıl güç için çalışma sonuçları (W)
<b><math>Q_{korelasyon}</math></b>	Toplam ıslıl güç için korelasyon sonuçları (W)
<b><math>Q_R</math></b>	Radyasyon miktarı (W)
<b><math>Q_T</math></b>	Toplam ısı yükü (W)

<b>Simgeler</b>	<b>Açıklamalar</b>
<b>P<sub>d</sub></b>	Basınç düşümü (Pa)
<b>R<sub>a</sub></b>	Rayleigh sayısı
<b>R<sub>e</sub></b>	Reynolds sayısı
<b>t<sub>b</sub></b>	Boru et kalınlığı (mm)
<b>T<sub>c</sub></b>	Çıkış sıcaklık değeri (°C)
<b>T<sub>d</sub></b>	Oda duvar sıcaklığı (°C)
<b>T<sub>f</sub></b>	Film sıcaklığı (°C)
<b>T<sub>g</sub></b>	Giriş sıcaklık değeri (°C)
<b>T<sub>s</sub></b>	Ortalama yüzey sıcaklığı (°C)
<b>T<sub>∞</sub></b>	Oda sıcaklığı (°C)
<b>X<sub>b</sub></b>	Boru merkezleri arasındaki mesafe (mm)
<b>x-y-z</b>	Koordinat eksenleri
<b>u-v-w</b>	Hız bileşenleri (m/s)
<b>W<sub>k</sub></b>	Kolektör genişliği (mm)
<b>α</b>	İşı yayılım katsayısı (m <sup>2</sup> /s)
<b>β</b>	Hacimsel genleşme katsayısı (1/K)
<b>ε</b>	Yüzey yayıcılık katsayısı
<b>ε<sub>d</sub></b>	Duvar yayıcılık katsayısı
<b>ε<sub>p</sub></b>	Alt sac yayıcılık katsayısı
<b>μ</b>	Dinamik viskozite (kg/ms)
<b>ν</b>	Kinematik viskozite (m <sup>2</sup> /s)
<b>ρ</b>	Yoğunluk (kg/m <sup>3</sup> )
<b>ρ<sub>h</sub></b>	Havanın yoğunluğu (kg/m <sup>3</sup> )
<b>σ</b>	Stefan-Boltzman sabiti (W/m <sup>2</sup> K <sup>4</sup> )
<b>Kısaltmalar</b>	<b>Açıklamalar</b>
<b>HAD</b>	Hesaplamalı akışkanlar dinamiği
<b>CFD</b>	Computational fluid dynamics



## 1. GİRİŞ

Enerji üretimi toplumların varlığında en önemli faktörlerden biridir. Küresel enerji fiyatlarının, satın alma maliyetlerinin ve kullanılmasının önemi; yeterli seviyede olmayan kaynakların en etkin şekilde değerlendirilmesi açısından bilinçli şekilde enerji tüketimini gerektirmektedir. Bu anlamda harcanan enerji miktarını sınırlamak, tüketilen enerji miktarını en aza indirmek ve enerji tasarrufu için önlemler almak kaçınılmazdır.

İstenilen konfor koşullarını elde etmek için sağlanan enerjiden en iyi şekilde yararlanmak ve ısıtmanın en ucuza indirilmesine ihtiyaç duyulmasından dolayı yeni teknolojiler üretilmekte veya geliştirilmektedir. Bunlardan biri radyant ısıtmadır. Yüksek ve büyük hacimli alanlarda geleneksel ısıtma yöntemleri etkisiz kalmaktadır veya yüksek enerji maliyetlerine sebebiyet vermektedir. Bu durum radyant ısıtma sistemlerinin geliştirilmesine ve yaygın şekilde kullanılmasına neden olmuştur. Bu amaç doğrultusunda tavan tipi radyant ısıtma sistemleri, son yıllarda dünya genelinde gelişmeye ve yaygınlaşmaya devam etmektedir. Fakat teknolojinin yeni olmasından dolayı ülkemizde henüz benzer ve yeterli sayıda çalışma yapılmamıştır.

Radyant ısı geçisi veya diğer ifadeyle ısınımla ısı geçisi, geleneksel sıcak hava ile ısıtma sistemlerinden farklı şekilde gerçekleşmektedir. Bilindiği gibi ısı geçisi iletim, taşınım ve ısınım olarak üç farklı prensipte gerçekleşmektedir. Radyant sistemler, ısınım prensibiyle ısıtma kaynağının sahip olduğu ısı enerjisini, elektromagnetik dalgalar aracılığıyla ısıtılması amaçlanan ortamdaki cisimlere yönlendirerek gerçekleştirir. İletim ve taşınım prensiplerinden farklı ise ışınların herhangi bir aracı ortama ihtiyaç duymadan gaz ortamda havayı ısıtmadan direkt cisimlere doğru yönelik cisimleri ısıtmasıdır. Bu sistemlerde ortamın havası, ışınları soğuran cisimlerle arasında olan ısı transferi ile ısınmaktadır.

Endüstride geleneksel ısıtma sistemleri, gazlı ve elektrikli radyant ısıtma sistemleri sıkılıkla kullanılmaktadır. Bu sistemler sıkılıkla kullanılmalarına rağmen birçok dezavantaja sahiptirler. Hidronik tavan tipi radyant ısıtma panelleri ise yaygın olarak kullanılan bu sistemlerin dezavantajlarını ortadan kaldırıp verimlilik, enerji maliyeti ve güvenlik gibi birçok açıdan da olumlu katkılar sağlamaktadır.

Bu çalışmanın amacı yeni bir teknoloji olan tavan tipi sulu radyant panel ısıtma sisteminin, birçok farklı parametresinin hesaplamalı akışkanlar dinamiği ile nümerik analizlerini gerçekleştirerek ısıtma performansını belirlemektir.

Bu çalışma kapsamında, literatürden benzer bir problem ele alınarak ticari olarak mevcut olan bir ısıtıcı seçilip yöntem doğrulama çalışmaları ve analizler gerçekleştirılmıştır. Simülasyonlar ve analizler birçok farklı parametrenin değişimleriyle gerçekleştirilmiş olup söz konusu parametrelerin sistemin ısıl performansına etkileri tespit edilmiştir.

Çalışılan problem üç boyutlu olarak modellenerek analizler gerçekleştirılmıştır. Problem sayısal akışkanlar dinamiği (HAD) programlarından FLOEFD kullanılarak çözülmüştür. Ticari olarak mevcut olan 1500x1880x50 mm ölçüsünde ve 10 boruya sahip tavan tipi sulu radyant panel, 4000x5000x2500 mm ölçülerindeki oda içeresine tavan ile arasında 65 mm mesafe olacak şekilde yerleştirilmiştir. Tavan tipi radyant panelin işinları odaya yayan yüzeyi 0.8 mm kalınlığında alüminyum sac olup panelin tavana bakan üst yüzeyi ise olası ısı kayıplarını engellemek amacıyla 50 mm kalınlığında ve panel yüzeyleriyle arasında herhangi bir boşluk olmayacak şekilde yerleştirilmiş olan cam yünü ile izole edilmiştir. Çıkış sınır şartı olarak atmosferik basınç seçilmiştir. Reynolds sayısı, sisteme giren su giriş sıcaklığı, oda sıcaklığı, yayıcılık (emissivity) değeri, boru malzemesinin türü, boru çapı, boruların saca gömülüerek yerleştirilme mesafesi, boru geçiş sayısı ve kolektör tipi değişimlerinin; sistemin toplam ısıl gücüne, radyasyonla ısı transfer oranına ve radyasyon yayıcı yüzeyin ortalama yüzey sıcaklığına etkileri simülasyonlar ve analizler ile gerçekleştirilerek incelenmiştir.

## 2. LİTERATÜR ARAŞTIRMASI

Bu bölümde araştırma konusuyla ilgili literatürde bulunan çalışmalar hakkında bilgiler verilmiştir. Bu kapsamda detaylı bir literatür araştırması yapılmıştır.

Koca, çalışmasında tasarlamış olduğu sulu radyant panelin hem ısıtma hem de soğutma durumlarındaki performansını hesaplamalı akışkanlar dinamiği programı kullanarak analiz etmiştir. Tasarlanan boru malzemesi plastiktir ve analizlerde alüminyum folyolu ve folyosuz olarak yapılmıştır. Plastik boru 2 mm et kalınlığına sahiptir. Kullanılan panel 2mm kalınlığa sahip alüminyum plakadır. Isıtma analizleri için sisteme giren suyun sıcaklığı 40 °C ve hızı ise 0,5 m/s'dir. Aynı zamanda 1000x1500 mm ve 600x500 mm boyutlarında iki farklı panel kullanılmıştır. Panel boyunca sıcaklık dağılımı incelendiğinde ise alüminyum folyo ile yalıtılmış sistemde daha homojen sonuçlar elde edilmiştir. Yalıtımsız durumda borular arası mesafenin 100mm ve 50mm olduğu her iki durum için sisteme giren suyun sıcaklığının etkisi incelendiğinde hem elde edilen ısı akısı hem de ortalama yüzey sıcaklığı değerleri artmaktadır. Panel içerisinde giriş yapan suyun debisi arttırıldığında ise ısı transferinin düşük oranda artmaktadır. Boru çapının etkisi incelendiğinde ise çap azaldığı zaman ısı transfer yüzeyi azalmakta ve dolayısıyla yüzeyden elde edilen ısı miktarı ve yüzey sıcaklığı azalmaktadır. Boru et kalınlığının artmasıyla yüzeylerdeki ortalama sıcaklıkta artmaktadır [1]. Zhang, Liu ve Jiang yapmış oldukları çalışmada biri diğerinden 5m daha yüksek olan 2 test odası kullanılmışlardır. 45° eğim açısına sahip, 2500x1300x3 mm ölçülerinde 14 adet tavan tipi sulu panel kullanarak panel performansını hesaplamayı amaçlamışlardır. Su giriş sıcaklığı 40 °C olup oda yüksekliği arttıkça ısıtma kapasitesinin de arttığı sonucu elde edilmiştir [2]. Tye-Gingras ve Gosselin hidronik radyant panelin ölçüsünün, konumunun ve giriş su sıcaklığının, termal konfor ve sistemin enerji tüketimi üzerindeki etkilerini görmeyi amaçlamışlardır. Bu kapsamında Kanada'nın Quebec şehriniin kış şartlarını kullanarak nümerik bir çalışma sunmuşlardır. Modelleme oda 4000x2750x1400 mm ölçülerinde olup tavana 2 adet ve tek bir duvara 1 adet olmak üzere serpentin kesitli panel yerleştirilmiştir. Paneller alüminyum ve borular bakır seçilmiş olup boru çapı ve et kalınlığı sırasıyla 22m ve 3mm ölçülerindedir. Giriş su sıcaklığı 295-310 K aralığında ve giriş kütle debisi 0,05 kg/s şartlarında 8 farklı panel düzenlemesinde analizler gerçekleştirilmiş olup su giriş sıcaklığının, panel düzenlemesine göre daha etkili bir parametre olduğu sonucuna varılmıştır [3]. Kegel, 4000x4000x3000 mm boyutlarındaki test odasının tavan bölümüne yerleştirilmiş

olan radyant panel ile performans testleri gerçekleştirmiştir. Analitik modeli doğrulamak için testlerinde 610 mm genişliğinde 4 geçişli ve 610 mm genişliğinde 0,9 mm kalınlığında 8 geçişli olmak üzere iki tip alüminyum panel kullanılmıştır. 50 °C ve 100 °C aralığında seçtiği 5 farklı su giriş sıcaklığı belirlemiştir ve su giriş debisi 0,057 L/s'dır. Her iki panel tipi için su giriş sıcaklığı arttıkça panel sıcaklığı ve toplam ısıl gücü de artmaktadır. Bu değerleri hem analitik hem de deneysel sonuçlar ile doğrulamıştır. Deneysel ve analitik olarak elde edilen ortalama radyant ısıl güçleri ise %2'lik gibi küçük bir değer içerisinde değişmekte ve sonuçlar birbirini doğrulamıştır [4]. Fonseca, Cuevas ve Lemort yapmış oldukları çalışmada debi, su giriş sıcaklığı gibi bazı önemli parametrelerin tavan tipi radyant panel kapasitesi ve konfor şartları üzerindeki etkisini değerlendirmek için kullanılan sistem performansı ve ölçüm yöntemlerinin sonuçlarını sunmuştur. Parametrelerin etkilerini görmek için 46 adet test yapılmıştır. Sırasıyla 1,1 mm, 1 mm ve 0,8 mm kalınlıklarında 3 adet üst bölümü çelik plaka olan alüminyum panel kullanılmıştır. Boru malzemesi ise bakırdır. Panellerin uzunlukları, izolasyon malzemelerinin kalınlıkları ve boru çapları da farklılıklar göstermektedir. Çalışma sonucunda, ısıtma modunda elde edilen toplam ısıtma yükünün ortalama %95'lik kısmının radyant paneller tarafından sağlandığı sonucu elde edilmiştir [5]. Fonseca başka bir deneyel çalışmasında ise su debisine bağlı toplam basınç düşümü ve sıcaklık farklarının, tavan tipi hidronik panel ile olan soğutma sisteminin performansına etkisini incelemiştir. Test odası olarak 5300x3600x2600 mm boyutlarındaki hastane odası kullanılmıştır. Toplam 21 adet panel kullanılmış olup giriş suyu kütle debisi 150 L/h ve 700 L/h nominal değerler arasında seçilmiştir. Ayrıca su giriş sıcaklığı 11,4 °C ve 17,7 °C arasında 6 değer için yapılmış olup giriş debisi arttıkça basınç farkının arttığı sonucuna varılmıştır. Aynı şekilde ortalama sıcaklık farkı arttıkça global ısı transfer katsayısı da artmaktadır [6]. Dudkiewicz ve Jezowiecki bir depoda tavanına yerleştirilmiş olan tavan tipi hidronik radyant panelin ısıtma performansını değerlendirmiştir. Kullanılan boruların çapları 28 mm olup 1,5 mm et kalınlığına sahiptir. Çalışmada panel zeminden 3 m yüksekliğe yerleştirilmiş olup giriş su sıcaklığı 40 °C ve 85 °C arasında arttırılarak yapılmıştır ve sıcaklık arttıkça elde edilen radyasyon sıcaklığının arttığı sonucuna varılmıştır [7]. Dudkiewicz, Jadwiszczak ve Jezowiecki, Dudkiewicz'in diğer çalışmasındaki [7] paneli ve su giriş sıcaklıklarını aynı değerlerde kullanarak sulu radyant panelin çalışma dinamiklerini incelemiştir. Su giriş sıcaklığı 85 °C'ye ulaştığında çevre sıcaklığında ortalama değerlerin üstünde bir artış elde edildiği gözlemlenmiştir. Ayrıca ısıtma testlerinde panel yüzey sıcaklığının, giriş su sıcaklığında 4 °C'ye kadar farklılık gösterebileceği sonucuna da varmıştır [8]. Drojetzki ve Wojtkowiak tavan tipi hidronik radyant panelin enerji

performansını belirlemek için teorik ve deneyel çalışma yapmışlardır. Çalışmalarında alüminyum panel yüzeyini boyayarak yayma (emissivity) değerinin etkisini ve panel şeklärin etkisini çalışmışlardır. Yayma değeri 0,95, 0,7 ve 0,05 seçilmiş olup ısıtma ve soğutma testlerinde bu değerin azaldıkça ısı transfer katsayısunın azaldığını fakat sıcaklık farkı arttıkça ısı transfer katsayısunın arttığı da ortaya konulmuştur. Panel şeklär için panelin kenar uzunluğuyla oranı 1:10 ve 1:2 olmak üzere 2 tip; bunlara ilave kare ve yuvarlak olmak üzere toplamda 4 şeklär üzerinde çalışılmışlardır. En yüksek performans ise 1:10 oranlı olan şeklärde, en düşük performans ise dairesel şeklärde olduğu sonucuna varılmıştır [9]. Chae, Lee ve Park boru şeklär optimizasyonun hidronik radyant panel ısıtma sistemin termal performansına etkisini hesaplamalı akışkanlar dinamiği programı kullanarak incelemiştir. Çalışmada su giriş sıcaklığı 50 °C ve debisi 0,028 kg/s; kullanılan boruların dış çapı 20 mm ve kalınlığı ise 3 mm olarak seçilmiştir. Borulara eklenen finlerin kalınlıkları ve sayısı ile boruların termal iletkenliklerinin sistem performansı üzerindeki etkisi incelenmiş olup fin kalınlığının ve sayısının artmasıyla ısı transfer oranının belirgin şeklärde arttığı sonucuna varılmıştır. Boruların termal iletkenliğinin ise belli bir değerden sonra sabitlenme eğiliminde olduğu görülmüştür [10].

Koca, Gemici, Topaçoğlu, Çetin, Acet ve Kanbur'un yapmış oldukları deneyel çalışmada kurulan test odasında, radyant panellerini değişik konumlarda yerleştirerek radyant ısı transfer oranını, konveksiyon değerlerini ve ısı transfer katsayılarını hesaplamışlardır. Çalışmalarını gerçekleştirdikleri test odası 6000x4000x3000 mm ölçülerinde olup 3 farklı duvar (batı, kuzey, batı ve kuzey birlikte) durumları için paneller yerleştirerek ve 30- 42 °C arasında değişen 7 farklı su akışında deneyler yapılmıştır. Çalışmada radyant ısı transfer oranını ortalama %68 olarak hesaplayarak hem konveksiyon ısı transferine göre daha iyi olduğunu hem de yerden ısıtmaya iyi bir alternatif olduğu sonucu elde edilmiştir [11]. Bojic, Cvetkovic, Marjanovic, Blagojevic ve Djordjevic yapmış oldukları çalışmada 4 farklı panel ısıtma sisteminin etkilerini karşılaştırmayı amaçlamışlardır. Bu 4 panel durumları sırasıyla zemin, duvar, tavan ve zemin ile tavanın aynı anda kullanıldığı durumlardır. Çalışma 190 m<sup>2</sup> yaşam alanına, 50 mm termal yalıtımı sahip ev için simüle edilmiştir. Her durum için su giriş sıcaklığı 37 °C olarak belirlenmiş olup dış hava koşulu Sırbistan ülkesindeki ocak ayı baz alınarak gerçekleştirilmiştir. Yapılan çalışmada tavan tipi durumunun, daha fazla maliyete neden olduğu ve 4 durum için evdeki ortalama sıcaklığın 17,5 - 20 °C arasında olduğu sonuçlarına varmışlardır [12]. Bojic, Cvetkovic ve Bojic ısıtma panellerini kullanarak zemin, tavan, duvar ve zemin ile tavanda 37 °C su giriş sıcaklığı ayarlanan

çalışmalarında, radyant panel ısıtmanın enerji verimliliğini incelemiştir. Çalışmada yüksek ve düşük sıcaklıklı olarak 2 farklı ısı kaynağı için testler yapılmış olup; toplam enerji tüketimi, toplam emisyon değerleri ve toplam ısıtma maliyetleri göz önüne alınarak değerlendirildiğinde tavan ve zemin ısıtmanın en iyi karakteristiklere sahip olduğu sonucuna varılmıştır [13]. Catalina, Virgone ve Kuznik radyant soğutma panelinin termal konfor için deneysel ve nümerik hesaplamalı akışkanlar dinamiği çalışmasını gerçekleştirmiştir ve çalışmalarında oda içerisindeki hava hız alanlarını elde etmişlerdir. Hava hızının önemli bir parametre olduğu sonucuna varmışlardır [8]. Aynı zamanda Myhren ve Holmberg ısıtma için, deneysel verilerle doğrulanmış hesaplamalı akışkanlar dinamiği simülasyonları gerçekleştirmiştir. Çalışmalarında tavan, zemin ve duvar ısıtma için termal konfor ve enerji tüketimini araştırmışlardır. Radyasyon için yüzeyden yüzeye metodu kullanılmıştır fakat ortalama radyant sıcaklığının oda alanından nasıl elde edilebileceğine dair yeterli bir açıklama elde edilememiştir [14]. Sayam, Huzayyin, El-Batsh ve Nada modelledikleri bir odada, radyant panel ısıticinin yerleştirildiği konum ve ölçülerinin performansa etkilerini incelemiştir. Oda 1800x2800x1600 mm boyutlarındadır. Panel ise 400x600 mm boyutlarında olup odanın tavanın tam ortasına yerleştirilmiştir. Yatay ve dikey eksenlerde yerleştirilen ölçüm cihazları yardımıyla ölçümler yapılmıştır. Isıtının yerleştirildiği tüm konumlarda yaklaşık  $35,5^{\circ}\text{C}$ 'lik sıcaklık dağılımı ölçülmüş ve panel yüzey sıcaklığının ise en az  $29^{\circ}\text{C}$  olduğu sonucu ortaya çıkmıştır [15]. Karaçavuş ve Aydin çalışmalarında farklı dış ortam sıcaklıklarını ve ısı akısı durumlarının genel ve yerel konfor seviyesine etkilerini incelemiştir. 3000x6000x3500 mm ölçülerindeki odada nümerik çalışmalar gerçekleştirilmiş olup panelin pencerenin altına ve tavana yerlesimi olmak üzere iki durum incelenmiştir. Ayrıca odanın tam ortasına birbirleriyle yan yana olacak şekilde iki adet manken yerleştirilmiştir. Birinci durumda panel ısı akısındaki artışın iç ortam sıcaklığını daha homojen hale getirdiği sonucuna varılmıştır. Tavana yerleştirilen ikinci durumda ise sıcaklık dağılımindaki homojenliğin ilk duruma kıyasla ısı akısının artışından daha az etkilendiği gözlemlenmiştir [16].

Şengül çalışmasında radyant panellerin çalışma prensiplerini, ısıl konfor parametrelerini ve termal koşullarını çalışarak belirlemiş olduğu bir bölgede kullanılmak üzere tavan tipi sulu radyant panel imal etmiştir. Boruları 16 mm çapında 1,25 mm et kalınlığına sahip alüminyum malzemedir. Boruları alüminyum folyo ile kapladıktan sonra, yayıcı yüzey olarak 0,6 mm kalınlığında alüminyum sac malzeme kullanılmıştır. İmalatı tamamlanan

paneller daha sonra İstanbul'da bulunan bir alışveriş merkezine monte edilip hem ısıtma hem de soğutma uygulamaları için kullanılmıştır [17].

Koca, Gemici, Bedir, Böke, Topaçoğlu ve Kanbur modelledikleri 4000x4000x3000 mm boyutundaki odada radyant panellerden elde edilen ısı akısına göre hesaplamalı akışkanlar dinamiği yardımıyla ıslı konforunu araştırmışlardır. 600x1200 mm boyutlarındaki panel, yatay olacak şekilde modellenen odanın çeşitli bölgelerine yerleştirilerek panel yüzey sıcaklığı ortalama hesaplamalar sonucu 302 K olarak seçilmiştir. 60 ve 70 W/m<sup>2</sup> ısı akısı uygulanan durumlar için ıslı konforun sağlandığı sonucuna varılmıştır [18]. Kanbur, Atayılmaz, Koca, Gemici ve Teke borularası mesafeleri sırasıyla 100, 150 ve 200 mm olan 3 farklı radyant ısıtma panelinin, monte edildiği bir duvar için, elde edilen değerlere göre ısı akılarını incelemiştir. Çalışmasında hem yazılım hem de hesaplamalı akışkanlar dinamiği programını kullanarak nümerik çalışma gerçekleştirmiştir. Su giriş sıcaklığının artmasıyla ısı akısının arttığını gözlemlemiştir (300 K için yaklaşık 10 W/m<sup>2</sup>; 310 K için yaklaşık 13 W/m<sup>2</sup>) [19]. Bedir, 6000x4000x3000 mm ölçülerinde modellemiş olduğu odada, 600x1200 mm ölçülerindeki panelleri odanın çeşitli noktalarına yerleştirerek ısıtma ve soğutma çalışmasını hesaplamalı akışkanlar dinamiği paket programı yardımıyla gerçekleştirmiştir. Isıtma için 6 farklı oda durumunda, farklı panel ısı akıları için ıslı konforu incelemiştir. Duvardan radyant ısıtma durumunda 22 °C'lik ideal hava sıcaklığından daha düşük sıcaklıklarda ıslı konforun sağlandığı görülmüştür [20].

Li, Yoshidomi, Ooka ve Olesen 103,7 m<sup>2</sup> ve 174,1 m<sup>2</sup> tavan yüzey alanlarına sahip test odalarında hem ısıtma hem de soğutma durumları için 2100x600x27 mm ölçülerindeki tavan tipi panelini kullanarak çalışmalarını gerçekleştirmiştirlerdir. Gündüz saatlerinde gerçekleştirilen soğutma testlerinde su giriş sıcaklığı 18-20 °C, gece saatlerinde gerçekleştirilen ısıtma testlerinde ise su giriş sıcaklığı 28-40 °C arasında seçilerek testler gerçekleştirilmiştir. Teorik ve ölçülen değerler arasında ısıtma için %4, soğutma için %7 gibi uyumlu sonuçlar elde edilmiş olup her iki durum için odadaki sıcaklık farkının 1.5 °C' den az olduğu gözlemlenmiştir [21]. Zmrhal, Hensen ve Drkal yapmış oldukları modelleme ve simülasyon çalışmasında, tavan tipi panel kullanarak termal konfor şartlarını ve oda yüksekliğinin termal konfora etkisini belirlemeyi amaçlamıştır. Modellenen test odası 4200x3600x2700 mm ölçülerinde olup tavanın tam ortasına yerleştirilen tavan tipi panel 3000x2800 mm ölçülerindedir. Test odasının merkezinden itibaren 100 mm aralıklarla yapılan ölçümler sonucunda, oda yüksekliğinin az olmasının ortalama oda sıcaklığı

açısından ( $26^{\circ}\text{C}$ ) daha verimli olduğu sonucuna varılmıştır [22]. Mirel, Serres ve Trombe tavandan ısıtma ve soğutma için kullanılan radyant panelleri kullanarak yaz ve kış aylarında yaptığı deneysel çalışmalarla enerji performanslarını belirlemiştir. Çalışma sonucunda sulu radyant ısıtma panellerinin yalıtmının iyi yapıldığında uygulama için verimli olduğunu ortaya çıkarmıştır. Soğutma testlerinde ise yoğuşma problemiyle karşılaşmamak için panel yüzey sıcaklığının minimum  $17^{\circ}\text{C}$  sıcaklıkta olması gerekmektedir [23]. Raimundo, Oliveira, Gaspar ve Quintela  $11800 \times 8600 \times 6700$  mm boyutlarındaki yüksek tavanlı bir oda için hesaplamalı akışkanlar dinamiği programı kullanarak nümerik bir çalışma gerçekleştirmiştirlerdir. Modellemelerinde ısıtmasız sistem, tavanın %30'luk bölümünü kullanan radyant panel ve geleneksel sıcak havalı ısıtma sistemi olmak üzere 3 farklı durumu gerçekleştirmiştir. Tavan tipi ısıtma panelinin kullanıldığı durum için panel sıcaklığı  $90^{\circ}\text{C}$  olarak belirlenmiştir. Termal konfor açısından bu üç durumlaştırıldığında, tavan tipi ısıtma paneliyle olan durumda insan vücutundan gerçekleşen radyasyon kayıplarının önemli ölçüde azaldığı sonucuna varmıştır [24]. Fonseca hidronik tavan tipi panelin ısıtma ve soğutma durumları için geçici (transient) modelini geliştirmiştir. Bakır ve metal yüzeye gömülü plastik borulu olmak üzere iki tip panel kullanmıştır. Yaptığı simülasyon ve ölçüm çalışmaları sonucunda yüzey sıcaklık değerleri arasındaki farkın  $0,5\text{ K}$ 'den az olduğunu hesaplamıştır [25]. Catalina, Virgone ve Kuznik radyant soğutma panelinin termal konfor için deneysel ve nümerik hesaplamalı akışkanlar dinamiği çalışmasını gerçekleştirmiştirlerdir ve çalışmalarında oda içerisindeki hava hız alanlarını elde etmişlerdir. Hava hızının önemli bir parametre olduğu sonucuna varmışlardır [26].

Okamoto, Kitara, Yamaguchi ve Oka, tavan tipi panellerde boru geçiş sıklığını, oda sıcaklığını ve su giriş sıcaklığını kullanarak yeni bir çözüm modeli geliştirmiştir. Matematiksel modelden elde ettikleri sonuçlar ile deneysel sonuçları karşılaştırarak ısıtma modunda panelden gerçekleşen ısı transferinin ve soğutma durumunda gerçekleşen ısı transferinin sırasıyla %70 ve %60'ının radyasyon ile gerçekleştiği sonucuna ulaşmıştır [27]. Strand ve Baumgartner, radyant panel sisteminin bir binaya uygulandığında gerekli termal hesaplamaları, debi ve sıcaklık kontrolü gibi parametreleri hesaplamak üzere bir algoritma geliştirmiştirlerdir. Geliştirdiklerin simülasyonun ilerleyen zamanlarda, radyant panel sisteminin bir binanın tamamına uygulandığında uygun sonuçlar verebileceği sonucuna varmışlardır [28]. Fakat Okamoto, Kitara, Yamaguchi ve Oka'nın yapmış olduğu çalışmanın aksine [27], herhangi bir doğrulama çalışması yapılmamıştır.

Çalışmamızda, yeni bir teknoloji olan tavan tipi sulu radyant ısıtma panel sisteminin hesaplamalı akışkanlar dinamiği ile nümerik analizleri gerçekleştirilmiş ve söz konusu panel sisteminin birçok farklı parametresinin analizi gerçekleştirilerek ısıtma performansı belirlenmiştir.

Bu tür bir çalışma teknolojinin yeni olmasından dolayı ülkemizde henüz gerçekleştirilmemiş olup literatürde bulunan çalışmalar da dikkate alındığında bu tür bir çalışmanın eksikliğini doldurması ve fayda sağlama açısından önemlidir. Çalışmamız kapsamında birçok farklı parametrenin detaylı olarak incelenmesi tezin kapsamını ve önemini oluşturmaktadır. Çalışmamızın literatüre ve uygulamada bulunacak kullanıcılara önemli katkılar sağlayacağı düşünülmektedir.



### **3. ÇALIŞMA YÖNTEMİ**

Bu bölümde araştırılan problemin sayısal çözümü için gereken tanımlamalar, çözüm için kullanılan denklemler ve korunum denklemleri sunulmuş olup sınır şartları hakkında da bilgiler verilmiştir.

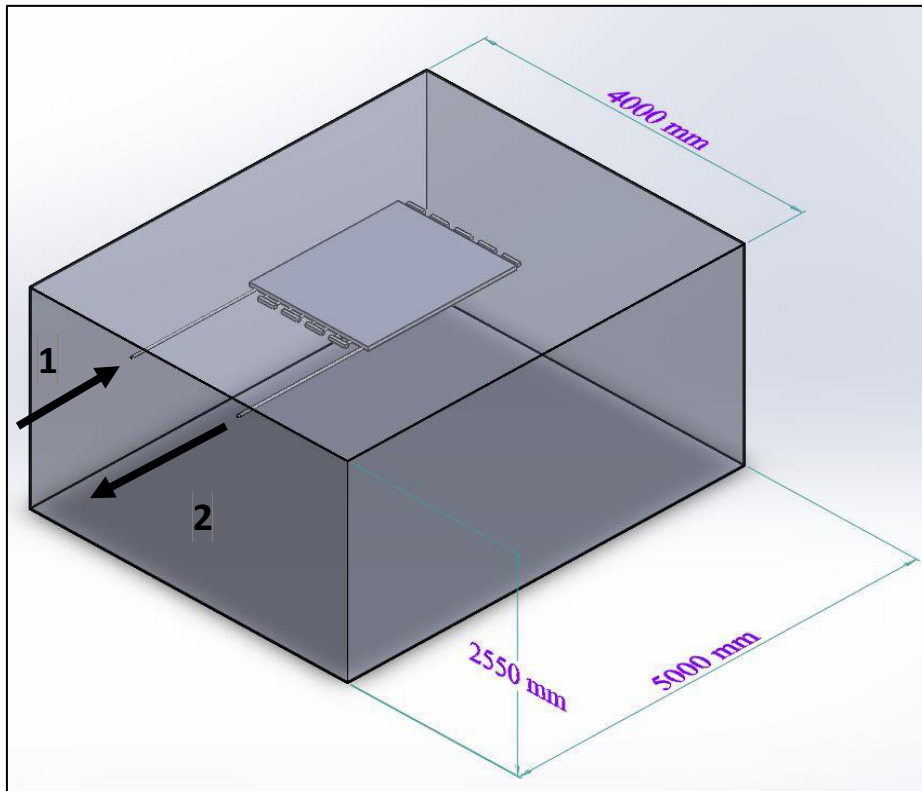
Hesaplamalı akışkanlar dinamiği (HAD), belirlenen alanda ayrıntılı hesaplamaların yapılabildiği ve fiziksel detayların gösterilebildiği bilgisayar tabanlı bir mühendislik yöntemidir. Birçok mühendislik dalında çok geniş bir uygulama alanına sahiptir. Bu çalışmada hesaplamalı akışkanlar dinamiği (HAD) kodlarından biri olan FloEFD paket programı kullanılmıştır. FloEFD paket programı, kütle, momentum ve enerji korunumu denklemlerini içine alan, akışkan özelliklerinin tanımıyla desteklenen Navier-Stokes denklemlerini kullanmaktadır. FloEFD hem laminer hem de türbülanslı akışların incelenmesine olanak tanımakla beraber, gerekli korunum denklemleri belirtilen sınır şartlarını kullanarak sonlu hacimler yöntemi ile çözmektedir.

Bu çalışmanın sayısal çözümünün doğruluğu, akredite olmuş test laboratuvarlarından elde edilen test sonuçlarıyla kontrol edilecek olup doğruluğu sağlandıktan sonra çalışma kapsamında parametrik çalışmalar gerçekleştirilecektir.

#### **3.1. Sayısal Model**

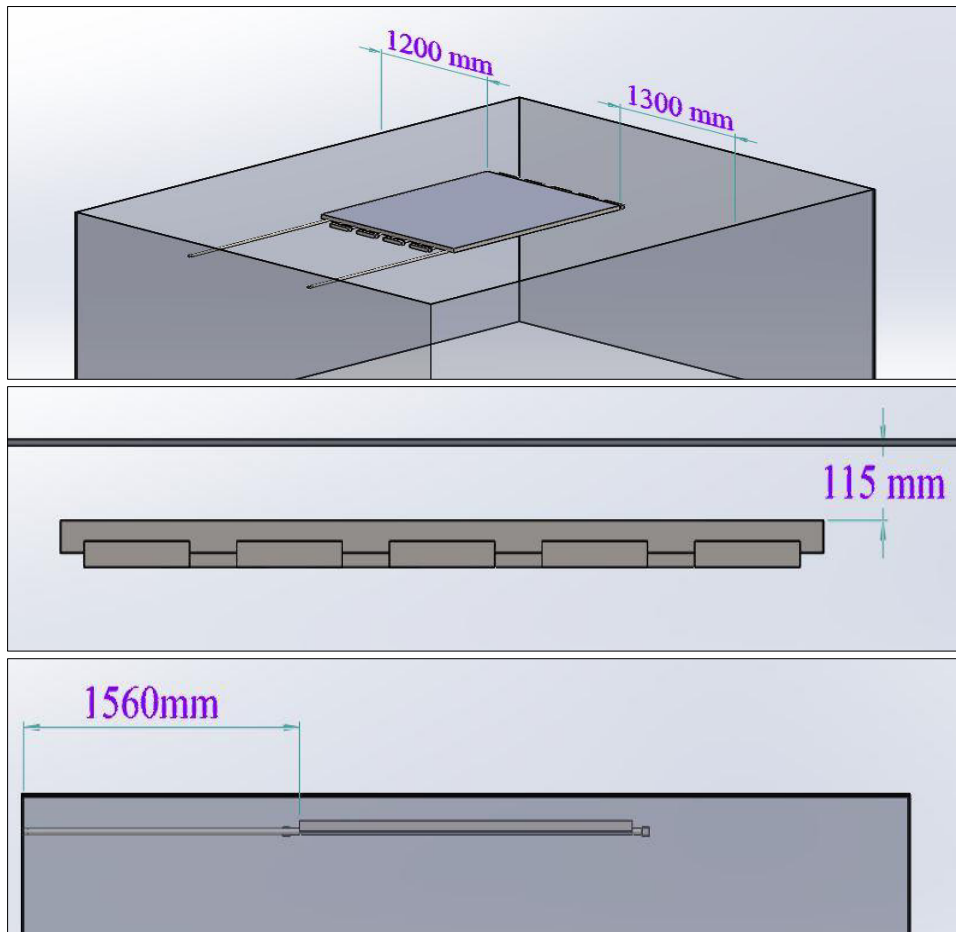
Bu bölümde tez çalışması kapsamında oluşturulan model hakkında bilgiler sunulmuştur. Simülasyon çalışmaları FloEFD hesaplamalı akışkanlar dinamiği (HAD) kodu kullanılmıştır.

Şekil 3.1'de çalışma kapsamında inclenecek olan modelin 3 boyutlu görüntüsü yer almaktadır. Modelde tavan tipi sulu radyant panel, 4000x5000x2550 mm boyutlarındaki oda içerisine yerleştirilmiştir.



Şekil 3.1. Sistemin 3 boyutlu modeli

Şekil 3.1'de sistemde çalışan suyun giriş ve çıkış yaptığı borular sırasıyla 1 ve 2 numaralı oklar yardımıyla gösterilmiştir. Belli bir sıcaklıkta sisteme verilen su, 1 numara ile gösterilen borudan giriş yaparak tavan tipi radyant panel içerisindeki borularda akışını sürdürdükten sonra 2 numaralı bölgeden çıkış yapmaktadır. Çıkış sınır şartı olarak atmosferik ortam basıncı seçilmiştir. Sistem içerisinde dolaşan su, sahip olduğu ısı enerjisi panele aktarır, panel de ısı enerjisini ışınım çevredeki cisimlere transfer etmektedir. Sistemde panel dışında kalan borular ve sistemin üst bölümü, ısı kayıplarını önlemek amacıyla yalıtılmıştır. İş akışkanı olarak su kullanılmış olup akış karakteristiği türbülanslı seçilmiştir. Nem etkisi ihmali edilmiştir. Çalışmalarda toplam ısı transfer miktarını ve alt sacdan elde edilen radyasyon miktarını program üzerinden hesaplayabilmek için katılar arasındaki ısı iletimi, radyasyon ve yerçekimi etkileri kullanılmıştır. Radyasyon modeli olarak daha hassas ve doğru sonuçlar alabilmek için discrete transfer radyasyon modeli seçilmiştir. Bahsedilen bu özellikler, tez çalışması kapsamında sabit tutulmuştur.



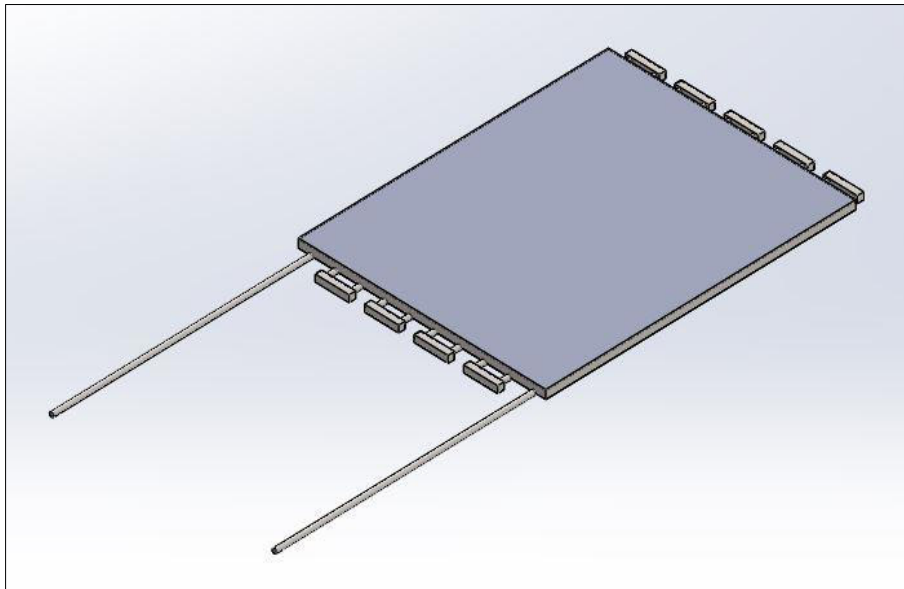
Şekil 3.2. Panelin oda içinde yerleşimi

Şekil 3.2'de tavan tipi sulu radyant panelin oda içerisindeki yerleşimi ve ölçülerini gösterilmiştir. Yan duvarlardan sırasıyla 1200 mm ve 130 mm, tavandan 115 mm ve ön duvardan 1560 mm mesafede olacak şekilde konumlandırılmıştır.

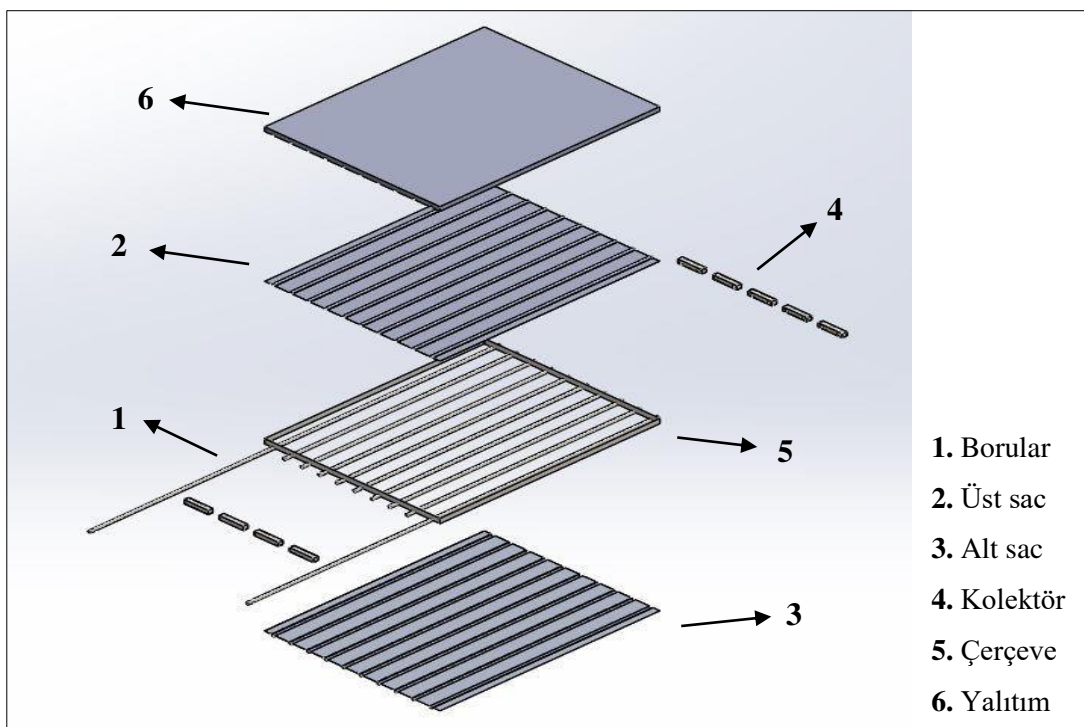
Şekil 3.1'de gösterilmiş olan oda boyutları ve Şekil 3.2.'de gösterilmiş olan radyant panel yerleşim mesafeleri, bu tez çalışması kapsamında gerçekleştirilen tüm parametrik çalışmalarında değiştirilmeden kullanılmıştır.

### 3.2. Panel Yapısı

Tavan tipi sulu radyant panele ait 3 boyutlu model Şekil 3.3'de, panelin patlatılmış görünüşü Şekil 3.4'te sunulmuştur.



Şekil 3.3. Tavan tipi sulu radyant panelin 3 boyutlu modeli

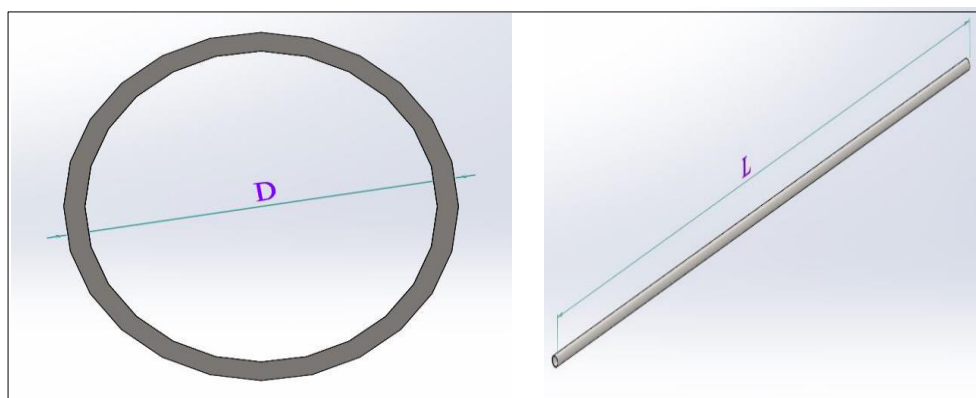


Şekil 3.4. Panelin patlatılmış görünüşü

Şekil 3.5'de, 1 numara ile gösterilen boruların detayı gösterilmiştir. Boruların malzemesi çeliktir. Sistem toplam 10 adet borudan oluşmaktadır. 2 ve 3 numara ile üst ve alt saclar gösterilmiş olup malzemesi alüminyumdur. Kalınlıkları ise sırasıyla 0,5 ve 0,8 mm olup boruları iki taraftan sarmaktadır. Sacların boruların üstüne gelen kısımları boruların formundadır ve aralarında herhangi bir boşluk kalmayacak şekilde monte edilmiştir. Sistem

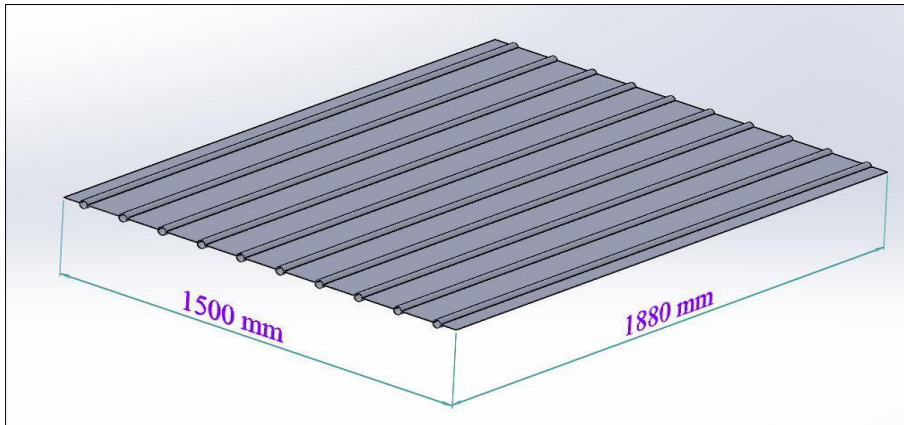
îçerisinde su dolaşımının devam etmesini sağlayan kolektörler 4 numara ile gösterilmiş olup boruların uç kısımlarına monte edilmiştir. Malzemesi ise çeliktir. 5 numara ile 1 mm kalınlığa sahip, sistemin etrafını saran alüminyum çerçeveye gösterilmiştir. 6 numara ile panelin üst bölümünde gerçekleşebilecek olası ısı kayıplarını engellemek amacıyla 45 mm kalınlığında cam yünü yalıtım malzemesi bulunmaktadır. Çerçeve kenarlarıyla ve 2 numara ile gösterilen üst sac panel ile aralarında herhangi bir boşluk kalmayacak şekilde sisteme yerleştirilmiştir.

Tavan tipi sulu radyant panelde kullanılan borulara ait dış çap ( $D$ ) ve uzunluk ( $L$ ) Şekil 3.5'te gösterilmiştir. Sistem 10 adet çelik borudan oluşmaktadır ve modelde kullanılan tüm boruların et kalınlıkları 1,5 mm'dir. Su girişinin ve çıkışının sağlandığı borular 352 mm uzunluğundadır. Panel içinde kalan diğer 8 boru ise 176 mm uzunluğundadır. Boruların merkezleriarası mesafe 150 mm'dir.



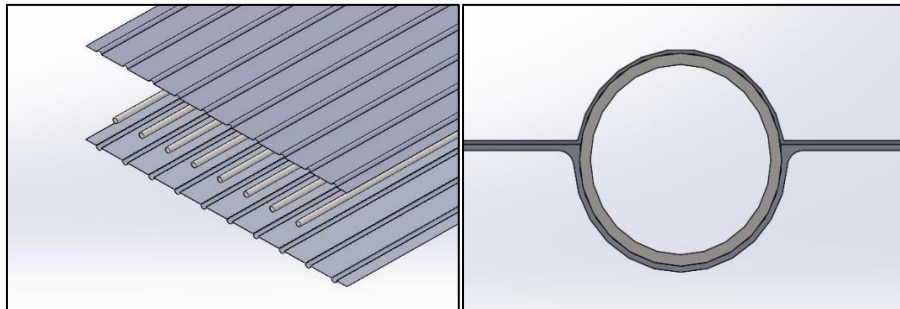
Şekil 3.5. Boru modelinin çap ve uzunluk gösterimi

Şekil 3.4'te 2 ve 3 numara ile gösterilen üst ve alt saclara ait ayrıntılı görünüş Şekil 3.6'da verilmiştir. Saclar alüminyum olup 1500x1880 mm ölçülerindedir. Üst sacın ve alt sacın kalınlıkları sırasıyla 0,5 mm ve 0,8 mm'dir.



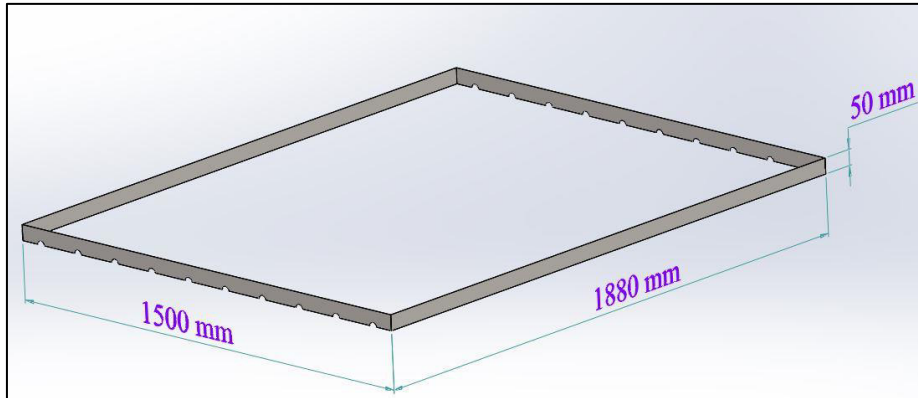
Şekil 3.6. Üst ve alt sac modeli ve ölçülerı

Tavan tipi sulu radyant panelinde kullanılan sacların ve boruların montajına ait görünüş Şekil 3.7'de gösterilmiştir. Borular, merkezleri arasında 150 mm mesafe olacak şekilde iki sac arasında, sacların düz yüzeyleri birbirlerini karşılayacak şekilde monte edilmiştir. Sacların boru hizasında kalan bölümleri ise borunun dış çap formunda olup yine arada herhangi bir boşluk kalmayacak şekilde yerleştirilmiştir. Aralarında herhangi bir yalıtım malzemesi olmamakla beraber, borulardaki ısı enerjisi yüzeylerin teması sayesinde saclara aktarılmaktadır.



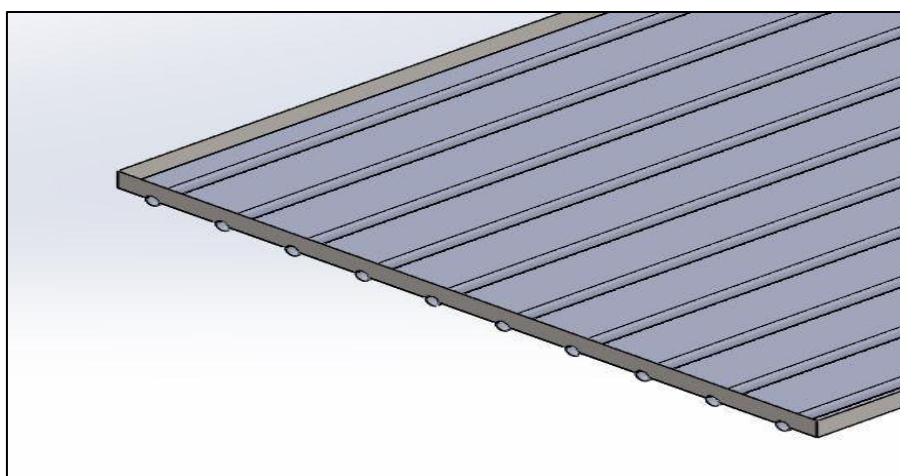
Şekil 3.7. Sacların ve boruların montajı

Şekil 3.8'de panel sisteminin etrafını çevreleyen 1500x1880x50 mm boyutlarındaki alüminyum çerçeve gösterilmiştir. Çerçeve 1 mm kalınlığındaki alüminyum saclardan oluşmaktadır.



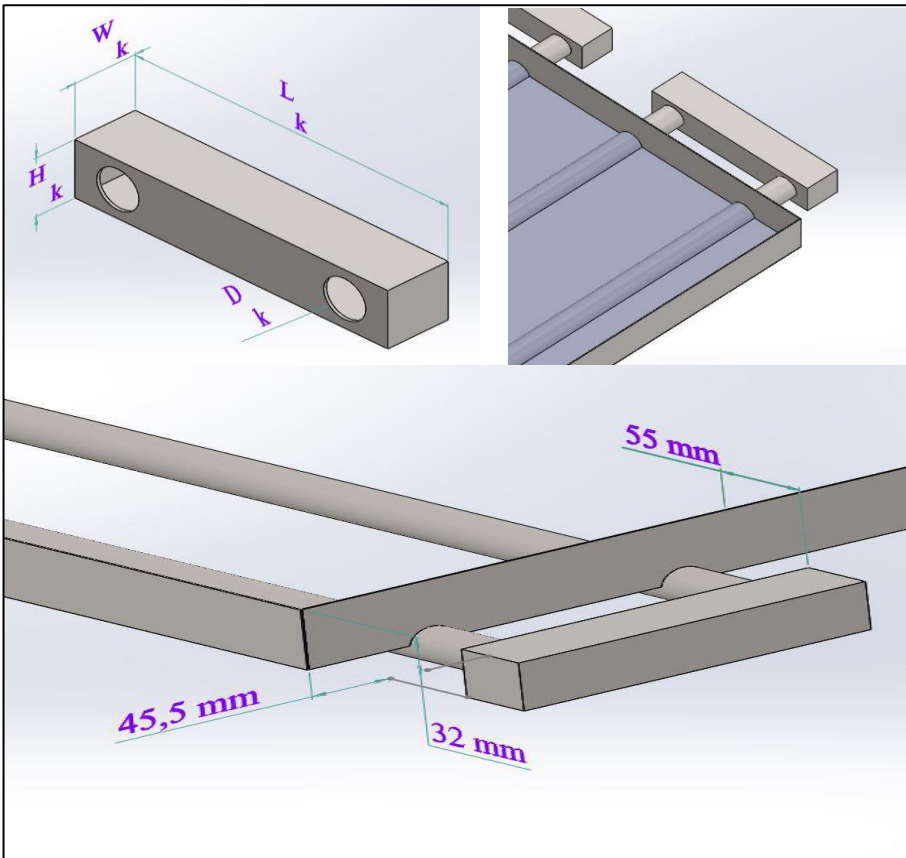
Şekil 3.8. Çerçevenin görünüsü

Şekil 3.9'da çerçevenin saclara montaj görüntüsü verilmiştir. Çerçevenin, üst sacın boru formunu alan yerleri ve kesişen bölgeleri, aynı dairesel şekli almaktadır. Çerçeve üst saca aralarında boşluk kalımayacak şekilde monte edilmiştir.



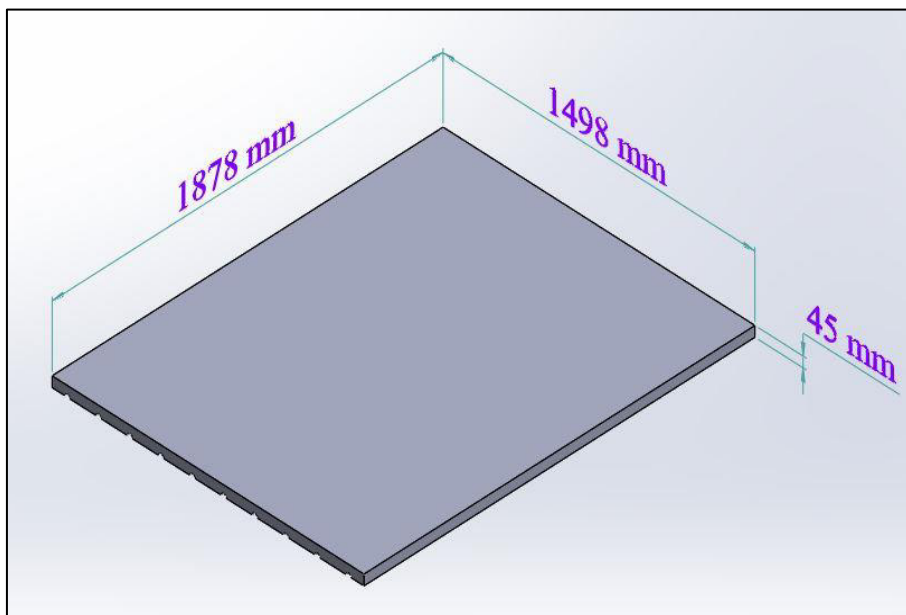
Şekil 3.9. Çerçevenin montajı

Şekil 3.10'da sistemde bir borudan diğer boruya suyun aktarılmasını sağlayan kolektör gösterilmiştir. Kolektör 2 mm kalınlığındadır ve malzemesi çeliktir. Kolektörün uzunluğu ( $L_k$ ), genişliği ( $W_k$ ), yüksekliği ( $H_k$ ) ve delik çapı ( $D_k$ ) şekilde gösterilmiştir. Delik çapı, sistemde kullanılan boruların dış çapına eşittir.



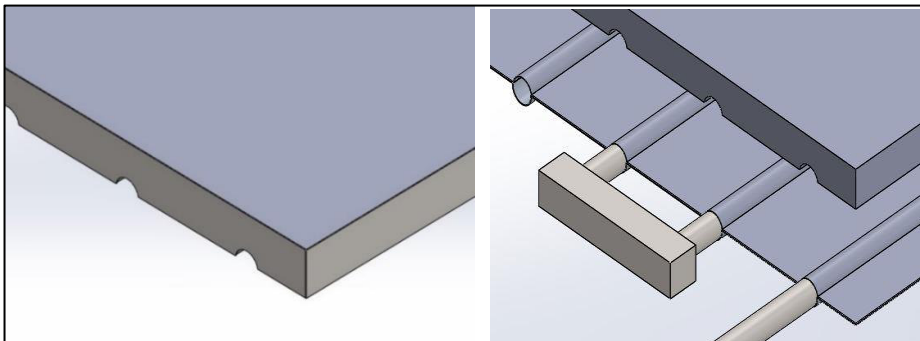
Şekil 3.10. Kolektörün yapısı ve montajı

Şekil 3.11'de sistemde kullanılan yalıtım malzemesinin modeli verilmiştir. Yalıtım malzemesi cam yünü olup 1878x1498x45 mm boyutlarındadır.



Şekil 3.11. Yalıtım malzemesinin boyutları

Yalıtım malzemesinin montajı Şekil 3.12'de gösterilmiştir. Yalıtım malzemesi, çerçeveyenin iç yüzeyleriyle aralarında boşluk olmayacak şekilde ve boruların üstünde yer alan 0,5 mm kalınlığındaki alüminyum sacın yüzeyiyle de aralarında boşluk olmayacak şekilde monte edilmiştir. Yalıtım malzemesinin altında kalan sacın, boru formunda olan bölgeleriyle karşılaşan bölgeleri, aralarında boşluk olmayacak şekilde aynı formdadır.



Şekil 3.12. Yalıtım malzemesinin montajı

### 3.3. Matematiksel Formülasyon

Gerçekleştirilen parametrik çalışmalarda boru içi akış ele alındığında, Reynolds sayısı 4000'in üzerinde değerler için kullanılmıştır. Bu değer ve üstü durumlar için türbülanslı akış söz konusudur. Belirlenen şartlarda gerçekleştirilen simülasyonlarda gerekli çıkış sıcaklık değerini elde etmek için kütlesel debi hesaplanmış ve çalışmalarda kullanılan debi değerleri elde edilmiştir. Bu debi değerleri Eş. 3.1'de Re değerleri kullanılarak hesaplanmıştır.

$$Re = \frac{\rho V D}{\mu} = \frac{4\dot{m}}{D_i \pi \mu} \quad (3.1)$$

Burada  $\dot{m}$  suyun kütlesel debisidir ( $\text{kg/s}$ ),  $\mu$  ise suyun dinamik viskozitesidir ( $\text{kg/ms}$ ) ve  $D_i$  ise borunun iç çapıdır ( $\text{m}$ ). Re değerleri ve diğer değerler yerine konulduğunda çalışmalarda belirlenen Re değerine karşılık gelen kütlesel debi değeri hesaplanmıştır. Tüm çalışmalarda  $Re > 2300$  kullanıldığı için bu da panel içindeki akışın türbülanslı olduğunu göstermiştir. Dinamik viskozite değeri de tablolar yardımıyla elde edilmiştir [29].

Sistemde gerçekleşen doğal taşınım, sıcaklık değişimi sebebiyle akışkanın yoğunluğundaki değişimle gerçekleşmektedir. Yoğunluk değişimi ve yer çekimi etkisiyle akış gerçekleşir.

Doğal taşınım ile ısı transferinde akış rejimini belirlemede boyutsuz Rayleigh sayısı kullanılmaktadır ve şu şekilde hesaplanmaktadır:

$$Ra = \frac{g\beta(T_s - T_\infty)L^3}{v^2} Pr \quad (3.2)$$

Burada L panel yüksekliği (m) olup levha alanının levha çevresine oranı olarak kullanılmıştır.  $T_\infty$  odadaki hava sıcaklığını,  $T_s$  ortalama yüzey sıcaklığını,  $v$  kinematik viskoziteyi ( $m^2/s$ ),  $Pr$  havanın Prandtl sayısını ve  $\beta$  hacimsel genleşme katsayısını ( $1/K$ ) göstermektedir. Bu denklemde doğal taşınım etkilerinin hacimsel genleşme katsayısına bağlı olduğu görülmektedir. Hacimsel genleşme katsayı  $\beta$  akışkanın türüne bağlı olarak belirlenmektedir.

Havanın ilgili tüm özelliklerini elde edebilmek amacıyla film sıcaklığı ( $T_f$ ) kullanılmıştır ve şu şekilde hesaplanmıştır:

$$T_f = \frac{T_s + T_\infty}{2} \quad (3.3)$$

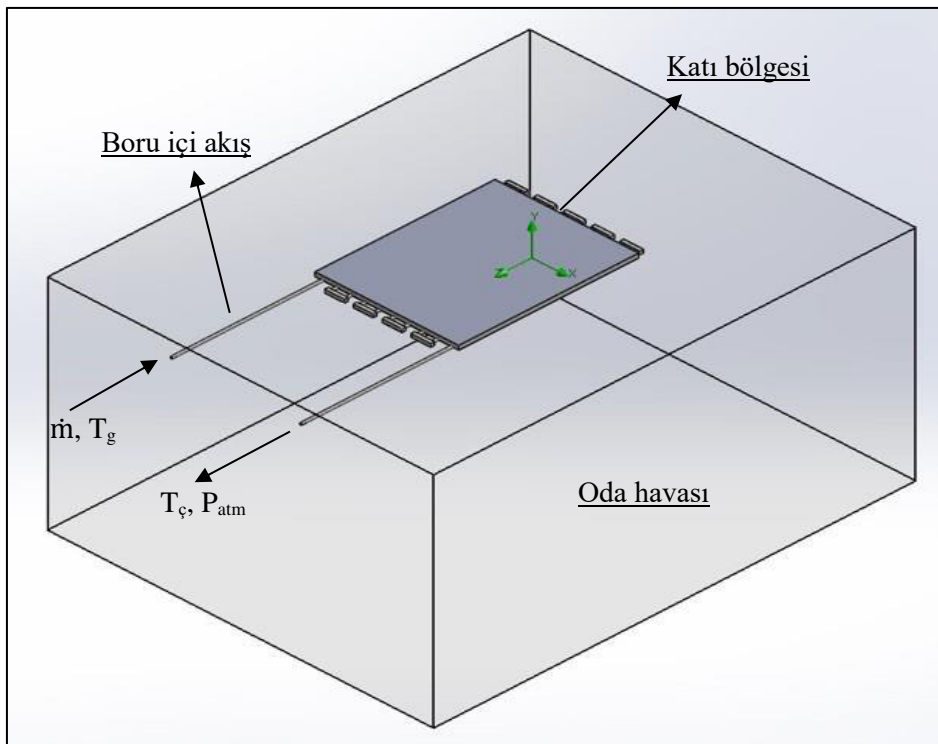
C. Teodosiu, Kuznik ve R. Teodosiu gerçekleştirdikleri çalışmada akış geçişinin  $Ra = 2,1-2,2 \times 10^6$  değerleri arasında olduğunu belirtmişlerdir [30]. Bu çalışmada,  $Ra$  değeri  $10^8$  ve  $10^9$  mertebelerinde hesaplanmıştır. Dolayısıyla oda içerisindeki akısta türbülanslı çözülmüştür.

Sınır şartı olarak sisteme giriş yapan suyun sıcaklığı tüm parametrik çalışmalarında tanımlanmış ve çıkıştaki sıcaklık değeri elde edilmiştir. Giriş ve sıcaklık değerleri ile kütlesel debi kullanılarak Eş. 3.4 ile toplam transfer miktarı hesaplanmıştır. Bu denklemde  $h_g$  ve  $h_c$  sırasıyla giriş ve çıkış entalpi değeridir ( $kJ/kg$ ) ve termodinamik tablolar yardımıyla elde edilmiştir [31]. Tüm parametrik çalışmalarında bu hesaplama kullanılmıştır.

$$Q_T = \dot{m}(h_g - h_c) \quad (3.4)$$

Nümerik çalışma kapsamında kullanılmış olan üç boyutlu, sürekli, laminer, türbülanslı ve sıkıştırılamaz akış için korunum denklemleri sunulmuş olup radyant panelde, borular içinde dolaşan su ısısını zorlanmış taşınım ile borulara iletmektedir. Borular ise saclar yardımıyla

ısını oda havasına iletmektedir. Oda havasının ısınması ile birlikte doğal taşınım başlamaktadır ve buna radyasyonun da eklenmesiyle oda havası ısınmaktadır. Sistemde farklı ısı transfer mekanizmaları söz konusudur. Şekil 3.13'te nümerik çalışma kapsamında incelenen çözüm bölgeleri gösterilmiştir.



Şekil 3.13. İncelenen çözüm bölgeleri

#### Boru içi akış bölgesi

Boru içi akış için üç boyutlu zorlanmış konveksiyon için korunum denklemleri sunulmuştur. Panele sabit kütlesel debi ve sıcaklıkta su girmektedir. Çıkışta ise atmosfer koşulları kabul edilmiştir. Boru kanallarında kaymama sınır şartından dolayı tüm hız bileşenleri sıfırdır.

Süreklik denklemi:

$$\frac{\partial u}{\partial x} + \frac{\partial v}{\partial y} + \frac{\partial w}{\partial z} = 0 \quad (3.5)$$

x-y-z yönündeki momentum denklemi:

$$u \frac{\partial u}{\partial x} + v \frac{\partial v}{\partial y} + w \frac{\partial w}{\partial z} = -\frac{1}{\rho} \frac{\partial p}{\partial x} + v \left[ \frac{\partial^2 u}{\partial x^2} + \frac{\partial^2 u}{\partial y^2} + \frac{\partial^2 u}{\partial z^2} \right] \quad (3.6)$$

$$u \frac{\partial v}{\partial x} + v \frac{\partial v}{\partial y} + w \frac{\partial v}{\partial z} = -\frac{1}{\rho} \frac{\partial p}{\partial y} + v \left[ \frac{\partial^2 v}{\partial x^2} + \frac{\partial^2 v}{\partial y^2} + \frac{\partial^2 v}{\partial z^2} \right] \quad (3.7)$$

$$u \frac{\partial w}{\partial x} + v \frac{\partial w}{\partial y} + w \frac{\partial w}{\partial z} = -\frac{1}{\rho} \frac{\partial p}{\partial z} + v \left[ \frac{\partial^2 w}{\partial x^2} + \frac{\partial^2 w}{\partial y^2} + \frac{\partial^2 w}{\partial z^2} \right] \quad (3.8)$$

Enerjinin korunumu denklemi:

$$u \frac{\partial T}{\partial x} + v \frac{\partial T}{\partial y} + w \frac{\partial T}{\partial z} = \alpha \left[ \frac{\partial^2 T}{\partial x^2} + \frac{\partial^2 T}{\partial y^2} + \frac{\partial^2 T}{\partial z^2} \right] \quad (3.9)$$

Burada  $u$ ,  $v$  ve  $w$  sırasıyla  $x$ ,  $y$ ,  $z$  eksenlerindeki hız bileşenleridir ( $m/s$ ).  $\rho$  yoğunluk ( $kg/m^3$ ),  $P$  basınç (Pa) ve  $T$  ise sıcaklıktır (K). Suyun giriş yaptığı bölgede  $T=T_g$  ve kütlesel debinin sabit olduğu sınır şartı kullanılmıştır. Çıkış için ise tüm hız gradyanlarının sıfır olduğu ve basıncın atmosferik basınçta eşit olduğu kabulü yapılmıştır. Ayrıca suyu panele ve taşıyan giriş ve çıkış boruları yalıtılmıştır. Bu sınır şartı tanımlamalarıyla oda içerisindeki tek ısı kaynağı olarak tavan tipi sulu radyant panel olmuştur. Bu denklemler laminer bölge için tanımlanmaktadır.

Boru içindeki su akışında zorlanmış taşınım söz konusudur ve boru yüzeyleri ile su arasında şu sınır şartı söz konusudur;

$$k_{su} \left( \frac{\partial T}{\partial n} \right)_{su} = k_{boru} \left( \frac{\partial T}{\partial n} \right)_{boru} \quad (3.10)$$

Denklemde  $k$  ısı iletim katsayısını,  $n$  ise yüzey normalini ifade etmektedir.

Tüm çalışmalarında  $Re > 2300$  kullanıldığı için boru içi akış türbülanslıdır ve bunun için türbülanslı korunum denklemleri sunulmuştur.

$$\frac{\partial \bar{u}_i}{\partial x_i} = 0 \quad (3.11)$$

$$\rho \bar{u}_i \frac{\partial \bar{u}_j}{\partial x_i} = - \frac{\partial \bar{p}}{\partial x_j} + \frac{\partial}{\partial x_i} \left[ \mu \left( \frac{\partial \bar{u}_i}{\partial x_j} + \frac{\partial \bar{u}_j}{\partial x_i} \right) - \rho \bar{u}'_i \bar{u}'_j \right] \quad (3.12)$$

$$\rho c_p \bar{u}_i \frac{\partial \bar{T}}{\partial x_i} = \frac{\partial}{\partial x_i} \left[ k \frac{\partial \bar{T}}{\partial x_i} - \rho c_p \bar{u}'_i \bar{T}' \right] \quad (3.13)$$

Enerji denklemindeki  $c_p$  özgül ıslı ( $\text{j/kgK}$ ) ve K ise ıslı iletim katsayısidır ( $\text{W/mK}$ ).

### Katı bölgesi

Boru ve sac arasındaki yüzeylerde iletim ile ıslı transferi söz konusudur. Zamandan bağımsız ve ıslı üretimi olmayan borular için Fourier ıslı iletim yasası x-y-z yönlerinde sunulmuştur.

$$\frac{\partial}{\partial x} \left( k_{panel} \frac{\partial T}{\partial x} \right) + \frac{\partial}{\partial y} \left( k_{panel} \frac{\partial T}{\partial y} \right) + \frac{\partial}{\partial z} \left( k_{panel} \frac{\partial T}{\partial z} \right) = 0 \quad (3.14)$$

Paneldeki ıslı iletim katsayısı sabit olduğu için eşitlikteki ıslı iletim katsayısı sadeleştir ve şu hali alır.

$$\frac{\partial^2 T}{\partial x^2} + \frac{\partial^2 T}{\partial y^2} + \frac{\partial^2 T}{\partial z^2} = 0 \quad (3.15)$$

Boru ile panel yüzeyleri arasında şu sınır şartı oluşmaktadır

$$k_{boru} \left( \frac{\partial T}{\partial n} \right)_{boru} = k_{panel} \left( \frac{\partial T}{\partial n} \right)_{panel} \quad (3.16)$$

### Oda havası

Oda havası bölgesi incelenecək olursa panellerden odaya doğal taşınım olmaktadır. Radyant panelin odaya bakan yüzeylerinde sıcaklık farkından dolayı havanın yoğunluğunda değişim

meydana gelmektedir ve bu değişimden dolayı hava yukarı yönde hareket etmektedir. Modellemede doğal taşınım etkileri tanımlanmıştır ve -z yönünde  $9,81 \text{ m/s}^2$ 'lik yer çekim ivmesi uygulanmaktadır. Oda duvar sıcaklığının ayrıca değerlendirildiği parametrik çalışma dışında oda duvar sıcaklığı sabit  $20^\circ\text{C}$  olarak tanımlanmıştır. Radyant panelin tüm yüzeylerinde ve oda duvarlarında kaymama sınır şartı vardır ve bu yüzden tüm hız bileşenleri sıfırdır.

Sabit özelliklere sahip oda içindeki hava için sürekli ve üç boyutlu doğal taşınım için süreklilik, x-y-z yönlerindeki momentum ve enerji korunum denklemleri sunulmuştur.

$$\frac{\partial u}{\partial x} + \frac{\partial v}{\partial y} + \frac{\partial w}{\partial z} = 0 \quad (3.17)$$

$$u \frac{\partial u}{\partial x} + v \frac{\partial u}{\partial y} + w \frac{\partial u}{\partial z} = -\frac{1}{\rho} \frac{\partial p}{\partial x} + \nu \left[ \frac{\partial^2 u}{\partial x^2} + \frac{\partial^2 u}{\partial y^2} + \frac{\partial^2 u}{\partial z^2} \right] \quad (3.18)$$

$$u \frac{\partial v}{\partial x} + v \frac{\partial v}{\partial y} + w \frac{\partial v}{\partial z} = -\frac{1}{\rho} \frac{\partial p}{\partial y} + \nu \left[ \frac{\partial^2 v}{\partial x^2} + \frac{\partial^2 v}{\partial y^2} + \frac{\partial^2 v}{\partial z^2} \right] \quad (3.19)$$

$$u \frac{\partial w}{\partial x} + v \frac{\partial w}{\partial y} + w \frac{\partial w}{\partial z} = -\frac{1}{\rho} \frac{\partial p}{\partial z} + \nu \left[ \frac{\partial^2 w}{\partial x^2} + \frac{\partial^2 w}{\partial y^2} + \frac{\partial^2 w}{\partial z^2} \right] - g\rho \quad (3.20)$$

$$u \frac{\partial T}{\partial x} + v \frac{\partial T}{\partial y} + w \frac{\partial T}{\partial z} = \alpha \left[ \frac{\partial^2 T}{\partial x^2} + \frac{\partial^2 T}{\partial y^2} + \frac{\partial^2 T}{\partial z^2} \right] \quad (3.21)$$

Kayma kuvveti ve ivmenin olmadığı durumda Eş. 3.19 sadeleşir ve şu hale gelir:

$$\frac{\partial p}{\partial z} = -g\rho \quad (3.22)$$

Sınır tabaka dışında kalan havanın yoğunluğuna  $\rho_h$  tanımı yapar ve kayma sınır tabakası içinde ve dışındaki basınç değerlerinin aynı olduğunu kabul edersek şu eşitlik elde edilir:

$$u \frac{\partial w}{\partial x} + v \frac{\partial w}{\partial y} + w \frac{\partial w}{\partial z} = -\frac{1}{\rho} \frac{\partial p}{\partial z} + \nu \left[ \frac{\partial^2 w}{\partial z^2} + \frac{\partial^2 w}{\partial z^2} + \frac{\partial^2 w}{\partial z^2} \right] - g(\rho_h - \rho) \quad (3.23)$$

Doğal taşınımıla gerçekleşen ısı transferinde yoğunluk değişimi düşük olduğu için  $g$  terimi dışındaki yerlerde yoğunluk aynı kabul edilip Eş. 3.22'nin son hali şu şekilde olur.

$$u \frac{\partial w}{\partial x} + v \frac{\partial w}{\partial y} + w \frac{\partial w}{\partial z} = - \frac{1}{\rho} \frac{\partial p}{\partial z} + v \left[ \frac{\partial^2 w}{\partial z^2} + \frac{\partial^2 w}{\partial z^2} + \frac{\partial^2 w}{\partial z^2} \right] - g \beta (T - T_h) \quad (3.24)$$

Radyant panelin odaya bakan ve hava ile temasta olan yüzeylerinde bileşik ısı transferi olmaktadır ve şu sınır şartı uygulanır.

$$k_{panel} \left( \frac{\partial T}{\partial y n} \right)_{panel} = k_{hava} \left( \frac{\partial T}{\partial y n} \right)_{hava} + q_r \quad (3.25)$$

Eş. 3.24'de bulunan  $q_r$  değeri radyant panel yüzeyinden gerçekleşen radyasyon ısı transferini temsil etmektedir.

Oda havası için türbülanslı süreklilik, momentum ve enerji korunum denklemleri şu şekilde verilmiştir.

$$\frac{\partial \bar{u}_i}{\partial x_i} = 0 \quad (3.26)$$

$$\rho \bar{u}_i \frac{\partial \bar{u}_j}{\partial x_i} = - \frac{\partial \bar{p}}{\partial x_j} + \frac{\partial}{\partial x_i} \left[ \mu \left( \frac{\partial \bar{u}_i}{\partial x_j} + \frac{\partial \bar{u}_j}{\partial x_i} \right) - \rho \bar{u}'_i \bar{u}'_j \right] \quad (3.27)$$

$$\rho c_p \bar{u}_i \frac{\partial \bar{T}}{\partial x_i} = \frac{\partial}{\partial x_i} \left[ k \frac{\partial \bar{T}}{\partial x_i} - \rho c_p \bar{u}'_i \bar{T}' \right] \quad (3.28)$$

Enerji denklemindeki  $c_p$  özgül ısı ( $\text{J/kgK}$ ) ve  $K$  ise ısı iletim katsayısıdır ( $\text{W/mK}$ ). Sunulan bu denklemler Lem-Bremhorst  $k-\epsilon$  türbülans modeli denklemleri yardımıyla çözülmüştür.

Hem oda içerisindeki hava hem de borular içindeki su akışında türbülanslı denklemler söz konusudur. Türbülanslı korunum denklemlerinde bilinmeyen sayısı çok fazladır. Dolayısıyla türbülans modellemesinin ana amacı; Reynolds gerilmelerini ve transport denklemlerini elde etme amacıyla sayısal yöntemler geliştirmektir.

Mevcut çalışmada Lem-Bremhorst  $k-\varepsilon$  türbülans modeli kullanılmıştır ve bu modeled Reynolds gerilmeleri aşağıdaki eşitlik kullanılarak modellenir.

$$-\rho \bar{u}_i' \bar{u}_j' = \mu_k \left( \frac{\partial u_i}{\partial x_j} + \frac{\partial u_j}{\partial x_i} \right) - \frac{2}{3} \rho k \delta \quad (3.29)$$

Sönümleme fonksiyonları, sınır tabakasını daha iyi çözübilme amacıyla yazılıma ilave edilmiş olup laminer, türbülanslı ve geçiş akışını çözmekte kullanışlıdır. Türbülanslı kinetik enerjisi  $k$  ve dissipasyon oranı  $\varepsilon$  için sırasıyla aşağıdaki eşitlikler kullanılır.

$$\rho \bar{u}_i \frac{\partial k}{\partial x_i} = \frac{\partial}{\partial x_i} \left[ \left( \mu + \frac{\mu_t}{\sigma_k} \right) \frac{\partial k}{\partial x_i} \right] + \mu_t \left( \frac{\partial \bar{u}_i}{\partial x_j} + \frac{\partial \bar{u}_j}{\partial x_i} \right) \frac{\partial \bar{u}_i}{\partial x_j} + G_k - \rho \dot{\varepsilon} \quad (3.30)$$

$$\rho \bar{u}_i \frac{\partial \dot{\varepsilon}}{\partial x_i} = \frac{\partial}{\partial x_i} \left[ \left( \mu + \frac{\mu_t}{\sigma_k} \right) \frac{\partial \dot{\varepsilon}}{\partial x_i} \right] + f_1 C_1 \mu_t \frac{\varepsilon}{K} \left( \frac{\partial \bar{u}_i}{\partial x_j} + \frac{\partial \bar{u}_j}{\partial x_i} \right) \frac{\partial \bar{u}_i}{\partial x_j} + C_1 G_k - f_2 C_2 \rho \varepsilon \frac{1}{k} \quad (3.31)$$

Eşitliklerde kullanılan türbülanslı kinetik viskozitesi ( $\mu_t$ ) şu şekilde elde edilir.

$$\mu_t = f_\mu C_\mu \rho \frac{k^2}{\dot{\varepsilon}} \quad (3.32)$$

Denklemlerdeki  $G_k$  terimi kaldırma kuvvetinden kaynaklanan türbülans üretimini gösterir ve Eş.3.33 ile hesaplanır. Boru içi akışta zorlanmış taşınım olduğu için bu terim sadeleşir.

$$G_k = - \frac{g_i}{\sigma_B} \frac{1}{\rho} \frac{\partial p}{\partial x_i} \quad (3.33)$$

Bu türbülans modelinde duvar fonksiyonları kullanılmamakta olup standar türbülans modelinden farklı olarak deneysel sabitlerin ( $C_1$ ,  $C_2$  ve  $C_\mu$ ) sırayla südümleme fonksiyonlarıyla çarpılmasıyla elde edilir. Südümleme fonksiyonları standart modeldekiyle aynıdır.

$$f_\mu = [1 - \exp(-0,0165 Re_z)]^2 \left( 1 + \frac{20,5}{Re_t} \right) \quad (3.34)$$

$$f_1 = \left[ 1 + \frac{0,05}{f_\mu} \right]^3 \quad (3.35)$$

$$f_2 = 1 - \exp[-Re_t]^2 \quad (3.36)$$

Eşitliklerde gösterilen  $Re_t$  türbülans Reynolds sayısını;  $Re_z$  ise duvar yakınındaki türbülans Reynolds sayısının göstermektedir.

Seçilen türbülans modelinde duvar fonksiyonları uygulanmadığı için hem boru içinde hem de oda duvarlarında kinetik enerji ve dissipasyon oranı 0'a eşittir.

Radyasyon modeli olarak Discrete Transfer modeli kullanılmıştır. Bu model bir yüzeyi farklı açılarda terk eden ışınların hepsini, tek bir ışın kabulu yaklaşımına sahiptir. Bu modelin avantajları ise uygulamasının basit olması ve ışın sayısını arttıracak çözümün doğruluğunun artırılmasıdır. Bu modelde radyasyon şiddeti, bir yüzeyi yarıküresel şekilde kapsayarak terk eden belirli sayıdaki ışındaki radyasyon yoğunluğu değişiminin takibi ile hesaplanmaktadır. Formülü şu şekildedir:

$$I_{n+1} = I_n(1 - \varepsilon) + \varepsilon \frac{\sigma T^4}{\pi} \quad (3.37)$$

Bu denklemde  $I$  radyasyon şiddetini,  $\varepsilon$  yüzeyin yayıcılık katsayısını,  $\sigma$  Stefan-Boltzmann sabitini ( $5,67 \times 10^{-8} \text{ W/m}^2\text{K}^4$ ) ve  $T$  (K) ise sıcaklığı göstermektedir.

Bir cisim, üzerine gelen ışının enerjisinin tamamını yutuyorsa o cisme siyah cisim; tamamını yansıtıyorrsa beyaz cisim denir. Fakat uygulamada bütün cisimler ikisinin arasında olduğu için gri cisim tanımı yapılmıştır. Siyah cisimlerin yayıcılık katsayıısı 1'dir, gri cisimlerin ise 0 ile 1 arasındadır. Gri cismin yaydığı ışının enerjisi ise şu şekilde tanımlanmaktadır:

$$E = \varepsilon \sigma T^4 \quad (3.38)$$



## **4. ÇALIŞMANIN DOĞRULANMASI**

Bu bölümde FloEFD kodu ile gerçekleştirilen sayısal çalışmanın, akredite test laboratuvarından alınan test sonuçlarıyla karşılaştırılması ve doğrulanması yapılmıştır. Bir önceki bölümde üç boyutlu modellemesi anlatılan tavan tipi sulu radyant panel, 10 borulu ticari bir üründür. Bu ticari ürünün DIN EN 14037 -1, -2, -3 standartlarına göre yapılmış olan test sonuçları karşılaştırma ve doğrulama için kullanılmıştır.

Karşılaştırma ve doğrulama için test sonuçları kullanılmak üzere seçilen ve modellemesi yapılan tavan tipi sulu radyant panel Resim 4.1'de sunulmuştur.



Resim 4.1. Modellemesi yapılan tavan tipi radyant panel

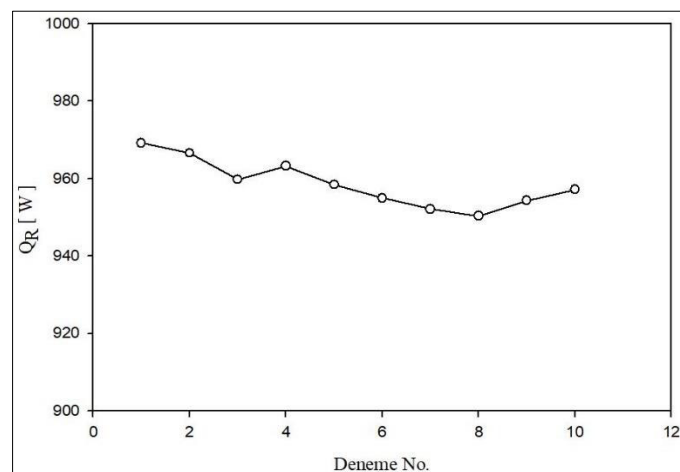
Sayısal çalışmada kullanılan FloEFD kodunun tekniği oldukça güvenilirdir. Yazılımda korunum denklemleri, sonlu hacimler yöntemine dayalı bir sayısal yöntem ile çözdürülmekte olup çözümlemelerde kartezyen koordinatları kullanılmaktadır. Kontrol hacimleri paralel yüzeylerden oluşmaktadır ve geometrinin sınırlarında cut cell yaklaşımı kullanılmaktadır. Bu yaklaşımından dolayı sınırına yakın hücreler çokgen şeklinde olup yüzeyleri düzensiz şekildedir. Bu sayede FloEFD yazılımı kullanmış olduğu dikdörtgen yapıdaki hücreler ile sınır hücrelerini ve bunlara ilave olarak belirtildiğinde bölgesel hücre sıkıştırmalarıyla istenilen bölgelerde detaylı inceleme yapabilmektedir.

#### 4.1. Nümerik Çalışmanın Hücre Sayısından Bağımsızlaştırılması

Karşılaştırma ve doğrulama çalışmasını yapmak amacıyla ilk aşama olarak referans çalışmasına uygun olarak oluşturulmuş olan modelin, hücre sayısından bağımsızlaştırılması yapılmıştır. Bu amaçla 10 farklı hücre yapısı değerlendirilmiş olup çözümlerde kullanılan hücre sayıları Çizelge 4.1'de gösterilmiştir. Buna göre hücre sayıları her çalışmada düzenli olarak arttırlılmıştır. Çözümlerin sonuçları Şekil 4.1'de, hücre sayısının altıncan elde edilen radyasyon miktarına ( $Q_R$ ) göre değişimi grafiğinde gösterilmiştir. Şekilden de görüldüğü üzere 6 numaralı hücre yapısından sonra çözümler yaklaşık hale gelmektedir. Bu yüzden çözüm süresini kısa tutmak ve kullanılan bilgisayar kapasitesini zorlamamak amacıyla en uygun hücre yapısı olan 6 numaralı hücre sayısını kullanılarak doğrulama işlemeye geçilmiştir.

Çizelge 4.1. x-y-z koordinatlarındaki hücre sayıları

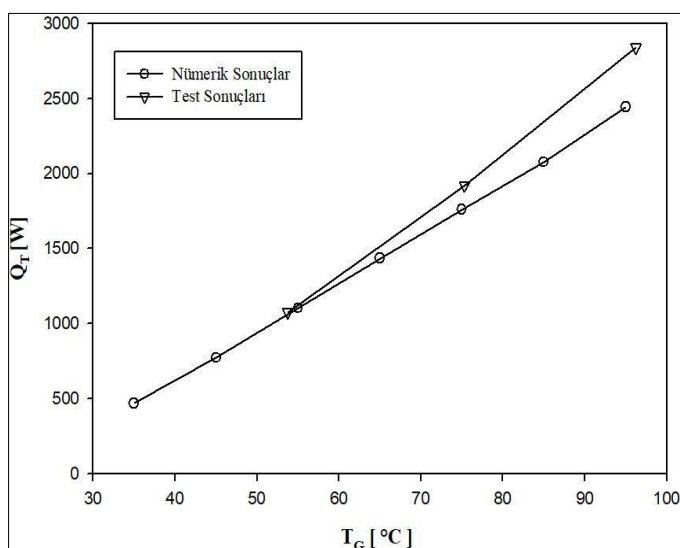
	X	Y	Z	Toplam Hücre Sayısı
Çalışma 1	7	8	7	99813
Çalışma 2	20	20	20	196152
Çalışma 3	40	38	40	333860
Çalışma 4	45	41	45	396242
Çalışma 5	60	49	60	504429
Çalışma 6	68	56	68	601952
Çalışma 7	72	59	72	704583
Çalışma 8	76	67	76	800922
Çalışma 9	77	71	77	910425
Çalışma 10	80	73	80	995595



Şekil 4.1. Hücre sayısından bağımsızlaştırma sonuçları

#### 4.2. Sayısal Çalışmanın Doğrulanması

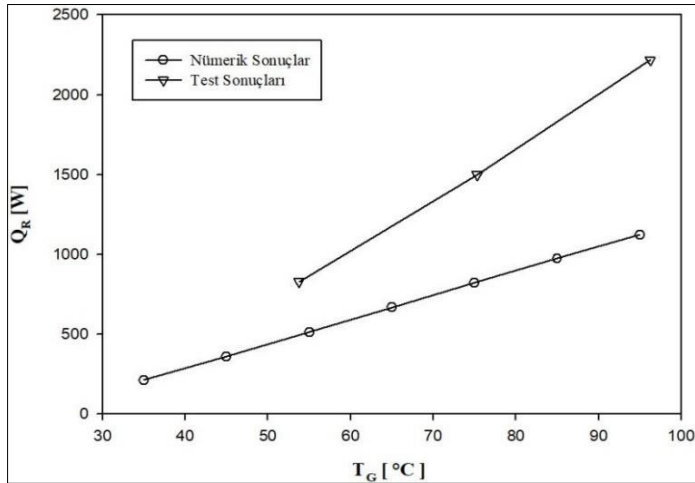
Hücre sayısından bağımsızlaştırma çalışmasından sonra sayısal çalışmanın akredite test laboratuvarından alınan sonuçlar ile doğrulanmasına geçilmiştir. Doğrulamalar, su giriş sıcaklığının ( $T_g$ ) toplam ısıl güç ( $Q_T$ ), alt yüzeyden elde edilen radyasyon miktarı ( $Q_R$ ) ve alt yüzeyin ortalama yüzey sıcaklığı ( $T_s$ ) üzerindeki etkileri değerlendirilerek yapılmıştır. Testlerde 53,74 °C, 75,31 °C ve 96,27 °C kullanılmıştır. Sayısal çalışmada ise 35 °C – 95 °C arasında düzenli olarak arttırılarak gerçekleştirilmiştir.



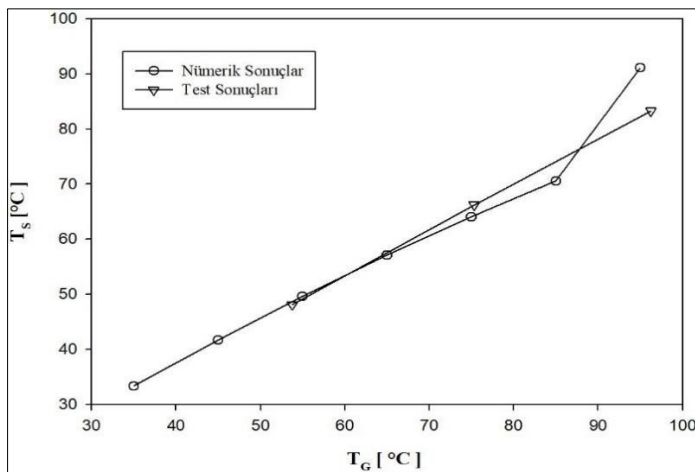
Şekil 4.2. Doğrulama çalışması (Toplam ısı transfer miktarı)

Şekil 4.2'de su giriş sıcaklığının toplam ısı transfer miktarı üzerindeki etkisi test ve nümerik sonuçlarla birlikte gösterilmiştir. Sonuçlar değerlendirildiğinde, nümerik sonuçların test sonuçlarıyla yakın ve uyumlu olduğu gözlemlenmiştir.

Şekil 4.3'te su giriş sıcaklığının alt sac yüzeyinden elde edilen radyasyon miktarı üzerindeki etkisi test ve nümerik sonuçlarla birlikte gösterilmiştir. Şekil 4.4'te ise su giriş sıcaklığının radyasyon yayıcı alt sac yüzeyinin ortalama yüzey sıcaklığı üzerindeki etkisi gösterilmiş olup test ve nümerik sonuçların birbirlerine yakın ve uyumlu olduğu gözlemlenmiştir.



Şekil 4.3. Doğrulama Çalışması (Radyasyon miktarı)



Şekil 4.4. Doğrulama çalışması (Ortalama yüzey sıcaklığı)

Doğrulama çalışmalarının tamamlanmasından sonra parametrik çalışmalarında kullanılacak model oluşturulmuştur.

#### 4.3. Analizlerde Kullanılan Model

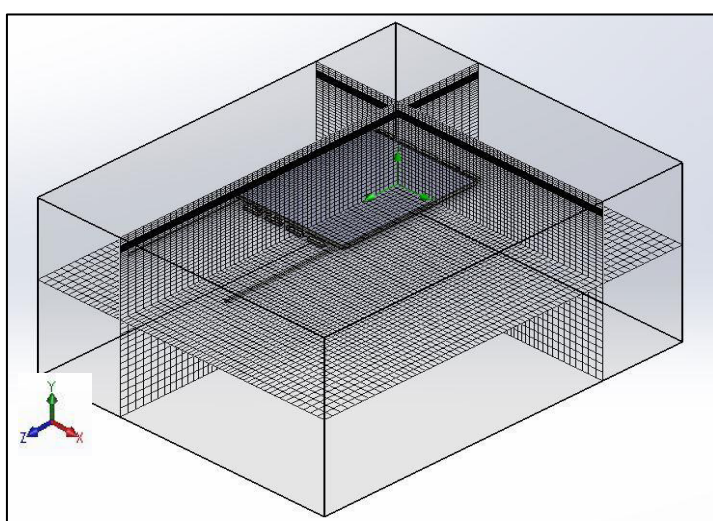
Parametrik çalışmalarında kullanılacak olan 3 boyutlu model Şekil 3.1'de gösterilmiştir. 3 boyutlu modele ait geometrik özellikler şu şekildedir: Modelde tavan tipi sulu radyant panel, 4000x5000x2550 mm boyutlarındaki oda içerisine yerleştirilmiştir. Tavan tipi sulu radyant panele ait 3 boyutlu model Şekil 3.3'te gösterilmiştir. Panel 1500x1800x50 mm boyutlarında olup 10 adet çelik borudan oluşmaktadır. Borular 28 mm dış çapa (D) sahip olup 1,5 mm et kalınlığındadır. ( $t_b$ ) Boruların merkezleri arasındaki mesafe ( $X_b$ ) ise 150 mm'dir. Boruların

üst ve alt kısmında kullanılan alüminyum saclar ise sırasıyla 0,8 mm ve 0,5 mm kalınlığa sahiptir. Boruların merkezi üst ve alt sacların tam ortasında yer almaktadır. Paneli kapsayan alüminyum çerçeveye  $1500 \times 1800 \times 50$  mm boyutlarında olup 1 mm kalınlığa sahiptir. Sistemde 2 mm kalınlıkta çelik malzemeden oluşan kolektörlerin uzunluğu ( $L_k$ ) 207 mm, genişliği ( $W_k$ ) 40 mm, yüksekliği ( $H_k$ ) 40 mm ve delik çapı ( $D_k$ ) ise boruların dış çapına eşit olup 28 mm ölçüsündedir. Tavan tipi panelin üst tarafında gerçekleşebilecek ısı kayıplarını önlemek amacıyla kullanılan yalıtım malzemesi cam yünü olup  $1878 \times 1498 \times 45$  mm boyutlarındadır.

Tavan tipi sulu radyant panel su çıkışında sınır şartı atmosferik basınç olacak şekilde tanımlanmıştır. Hareketsiz duvar sınır koşulu olduğu için radyant panelin yüzeylerinde hız sıfırdır. Radyasyon modeli olarak discrete transfer modeli, katılar arasında taşınım ve yerçekimi etkileri, tüm analizler için programda seçilmiş ve uygulanmıştır. Boruların panel dışında kalan bölümleri yalıtılmıştır.

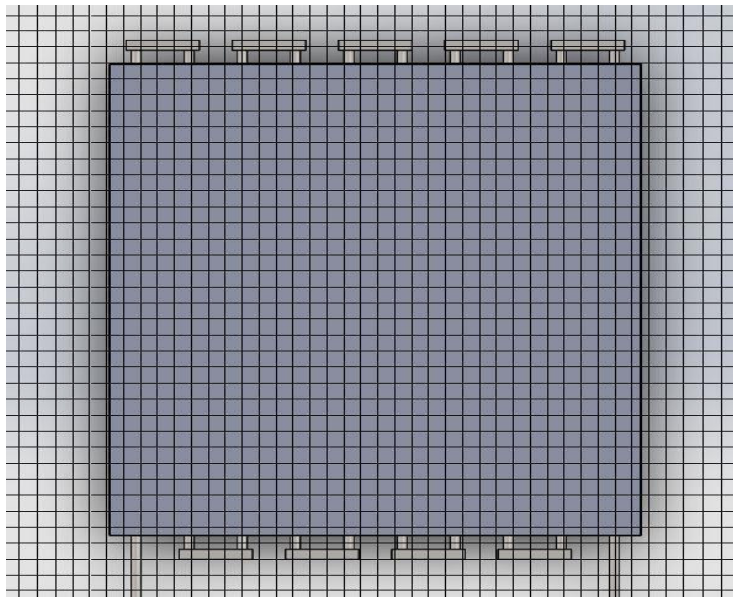
Tavan tipi sulu radyant ısıtma panelinin alt bölümündeki 0,8 mm kalınlığındaki sac, radyasyon yayıcı yüzey olup yayıcılık katsayısı ( $\epsilon_p$ ) 0,93 olarak seçilmiştir. Yine aynı değer oda duvarlarının yayıcılık katsayısı ( $\epsilon_d$ ) olarak seçilmiştir.

Çözüm süresini uzatmamak, bilgisayar kapasitesini zorlamamak ve en hassas çözüm sonuçlarını elde etmek amacıyla Çizelge 4.1'de gösterilen 6 numaralı çalışmaya ait hücre yapısı analizlerde kullanılmıştır. Kullanılan hücre yapısı Şekil 4.5'te gösterilmiştir.

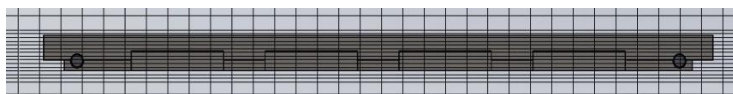


Şekil 4.5. 3 boyutlu modele ait x-y-z koordinatları hücre yapısı gösterimi

Şekil 4.6'da kullanılan hücre yapısına ait detaylı gösterimi düzlemleriyle birlikte sunulmuştur. Hücre yapısı daha hassas sonuç elde etmek amacıyla panel bölgesinde sıklaştırılmıştır.



a) Üst görünüm. (x-z düzleme)



b) Su giriş ve çıkış bölümü. (x-y düzleme)



c) Yan görünüm. (y-z düzleme )

Şekil 4.6. Çözümlerde kullanılan hücre yapısının detaylı gösterimi

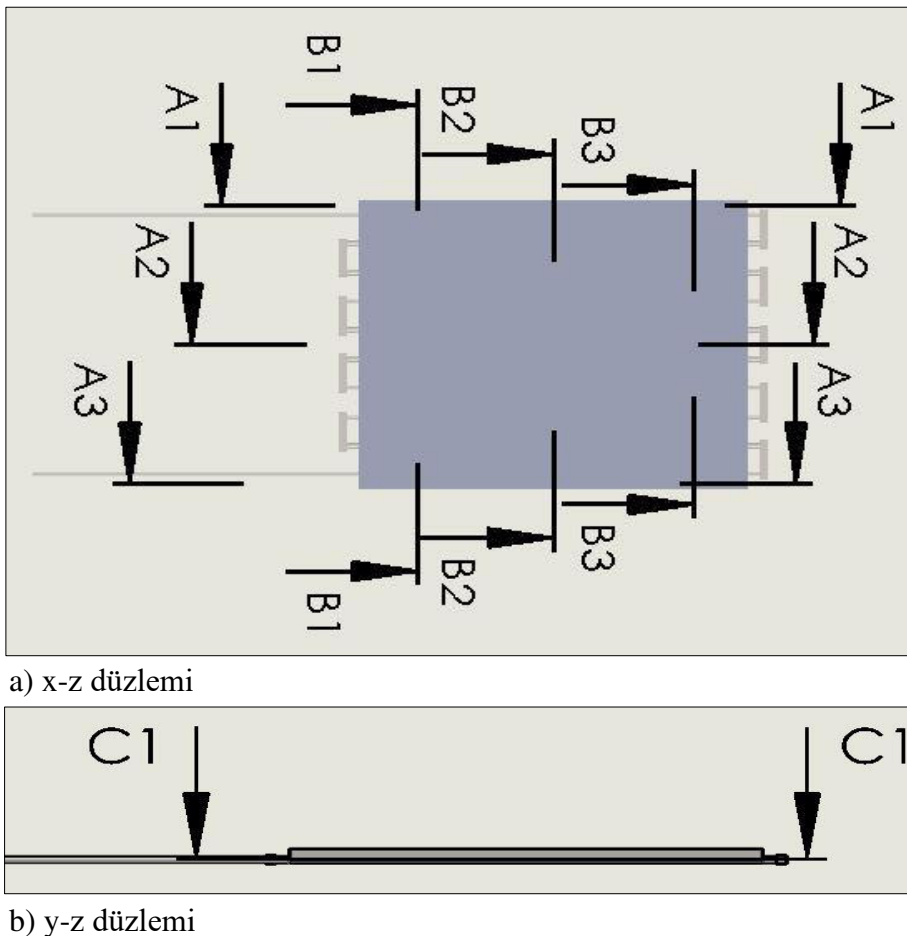
## 5. PARAMETRİK ÇALIŞMALAR

Modele uygun hücre yapısı elde edildikten sonra farklı değişkenlerin, tavan tipi sulu radyant panelin ısıtma performansına etkilerini analiz etmek amacıyla parametrik çalışmalara geçilmiştir. Bu bölümde FloEFD yazılımı kullanılarak gerçekleştirilen simülasyonların sonuçları, farklı parametreler ele alınarak incelenmiş ve simülasyon sonuçları sunulmuştur.

Her parametre için elde edilen sonuçlar karşılaştırılmalı olarak gösterilmiştir. Çalışmalarımızda enerji, kütle ve süreklilik denklemleri sağlanmış olup değerler yazılımın sonuç kütüğünden okunmuştur ve bölümlerin içerisinde gösterilmiştir. Tavan tipi sulu radyant ısıtma paneline ait birçok farklı parametresinin ısıtma performansı üzerindeki etkisini belirlemeyi amaçlayan bu çalışmamızda Reynolds sayısı, su giriş sıcaklığı, oda sıcaklığı, yayıcılık katsayısı, boru malzemesi, boru çapı, boruların saca gömülme mesafesi, boru geçiş sayısı ve kolektör geometrisi değiştirilmiş ve bu değişimlerin sistemin ısıtma performansına olan etkileri detaylı olarak incelenmiştir. Sayısal analizler yardımıyla değerlendirilmeler yapılmıştır.

Bütün parametreler için oda ve panel boyutları, panelin oda içerisindeki yerleşim mesafesi ve yalıtım malzemesinin boyutu sabit tutulmuş olup çıkış sınır şartı atmosferik basınç kullanılmıştır. Bir parametre incelenirken diğer parametreler sabit tutulmuştur.

İncelenen parametrelerin tavan tipi sulu radyant panelin ısıtma performansına etkileri incelenirken sonuçlar grafik halinde sunulmuş olup FloEFD yazılımı yardımıyla elde edilen sıcaklık konturu dağılımları ve vektörel hız dağılımları Şekil 6.1'de gösterilen kesitler kullanılarak gösterilmiştir.



Şekil 5.1. Kesitlerin gösterimi

### 5.1. Reynolds Sayısının Performans Üzerindeki Etkisi

Hücre sayısından bağımsızlaştırma tamamlandıktan sonra, parametrik çalışmalara Şekil 3.1'deki ana model kullanılarak başlanmıştır ve ilk olarak Reynolds sayısının performans üzerindeki etkisi incelenmiştir.

Çizelge 5.1'de analizde kullanılan sabit değerler ve değişken değerler gösterilmiştir. Çalışmada Reynolds sayısının performans üzerindeki etkisini incelemek amacıyla Reynolds sayısı 3000 ve 16000 aralığında arttırılarak toplam 14 analiz gerçekleştirilmiştir.

Çizelge 5.1. Reynolds sayısı analizinde kullanılan parametreler

Parametre	Değer
Su Giriş Sıcaklığı $T_g$ (°C)	75
Duvar Sıcaklığı $T_d$ (°C)	20
Panel Yayıcılık Katsayısı $\epsilon_p$	0,93
Oda Duvarları Yayıcılık Katsayısı $\epsilon_d$	0,93
Re	3000, 3500, 4000, 4500, 5000, 5500, 6000, 6500, 7000, 7500, 8000, 10000, 12000, 16000

Su giriş sıcaklığı ( $T_g$ ) her durum için sabit 75 °C'dir ve bu sıcaklık değerine karşılık gelen dinamik viskozite ( $\mu$ ) değeri 0,000378 kg/ms'dir. Bu değerler kullanılarak Eş.3.14. yardımıyla her bir Reynolds sayısına karşılık gelen kütlesel debi ( $\dot{m}$ ) değeri elde edilmiştir.

75 °C su giriş sıcaklığı için giriş entalpi ( $h_g$ ) değeri 314,03 kj/kg'dır. Çözümün ardından çıkış sıcaklık değeri ( $T_c$ ) programdan elde edilir ve çıkış entalpi ( $h_c$ ) değeri her durum için termodinamik tablolar yardımıyla elde edilir.

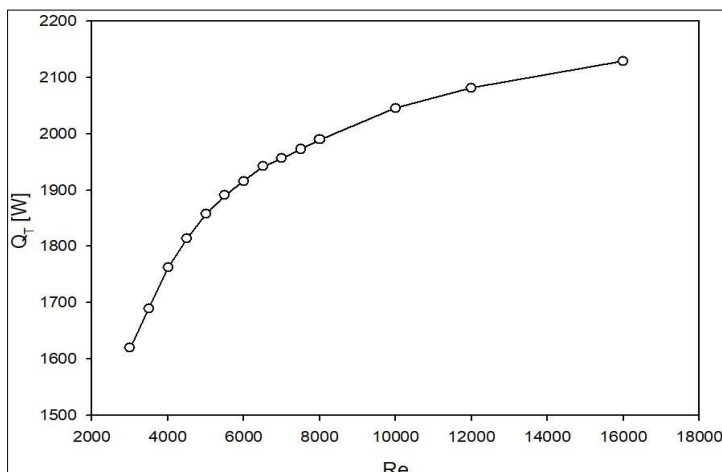
Çizelge 5.2. Re çalışması için hesaplanan değerler

Re	$\dot{m}$ (Kg/s)	$T_c$ (°C)	$h_c$ (kj/kg)	$Q_T$ (W)
3000	0,022	57,58	241,26	1619,47
3500	0,025	59,39	248,97	1689,21
4000	0,029	60,83	254,65	1761,98
4500	0,033	62,03	259,68	1914,32
5000	0,037	63,05	263,95	1857,53
5500	0,040	63,94	267,68	1891,09
6000	0,044	64,73	270,98	1916,13
6500	0,048	65,39	273,75	1942,24
7000	0,051	66,01	276,35	1956,63
7500	0,055	66,54	278,57	1972,88
8000	0,059	67	280,5	1989,87
10000	0,074	68,42	286,449	2046,02
12000	0,089	69,42	290,639	2082,24
16000	0,118	70,72	296,088	2129,57

Kütlesel debi, giriş ve çıkış entalpi değerleri elde edildikten sonra Eş.3.15 yardımıyla toplam ısıl güç ( $Q_T$ ) değeri elde edilmiştir.

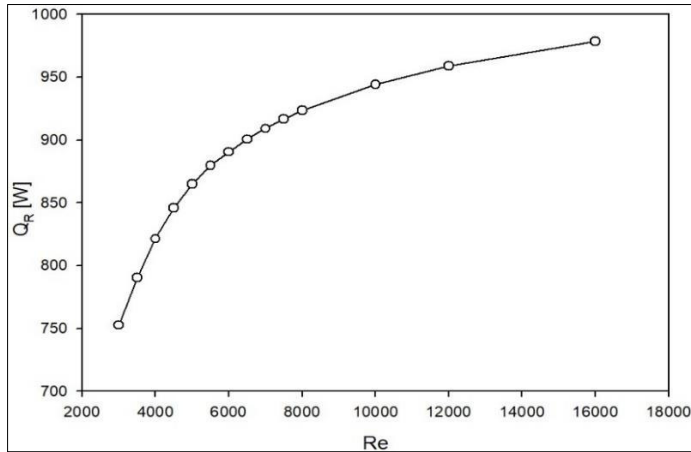
Çizelge 5.2'de her bir Reynolds değeri için elde edilen kütlesel debi ( $\dot{m}$ ), çıkış sıcaklığı ( $T_c$ ), çıkış entalpi ( $h_c$ ) ve toplam ısıl güç ( $Q_T$ ) değerleri sunulmuştur.

Toplam ısı transfer miktarı sonuçlarına ait grafik Şekil 6.2'de gösterilmiştir. Grafikte gösterilen ısıl güç değerleri, eşitlikler yardımıyla hesaplanarak Çizelge 6.2'de sunulan değerler kullanılarak sunulmuştur. Grafikten de görüldüğü üzere, Re değeri arttıkça su giriş debi değeri de artmaktadır ve elde edilen toplam ısı transfer miktarı artış göstermektedir. Bunun nedeni ise belli bir sıcaklığa sahip olan giriş suyunun, yüksek kütlesel debi sayesinde daha fazla yol alarak borular aracılığıyla daha fazla yüzeye ısısı aktarabilmesidir. Çünkü sistem içerisinde dolaşan su, çıkışa doğru sıcaklığını kaybetmektedir ve ne kadar hızlı yol alabilirse yüksek sıcaklığını kaybetmeden daha fazla yüzeye yüksek ısısı aktarabilmektedir.

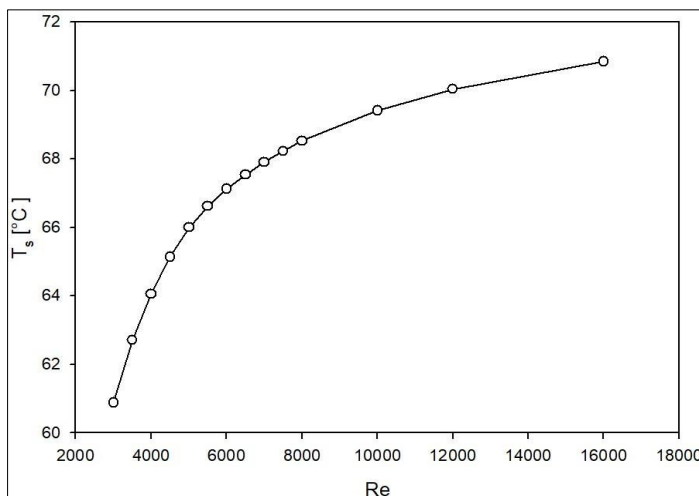


Şekil 5.2. Toplam ısı transfer miktarının Reynolds sayısıyla değişimi

Re sayısına bağlı olarak, alt sac yüzeyinden elde edilen radyasyon miktarındaki değişimini gösteren grafik Şekil 5.3'de sunulmuştur. Alt sac yüzeyinden elde edilen radyasyon miktarı programdan elde edilmiş olup toplam ısısı transfer miktarının değişimine benzer bir değişiklik beklenmektedir. Çünkü toplam ısısı transfer miktarına benzer şekilde, yüksek sıcaklıktaki su ne kadar hızlı bir şekilde sistem içerisinde yol alabilirse, sıcaklığını çıkış bölümüne kadar minimum oranda kaybederek, ısısını daha fazla yüzeye aktarır ve bu sayede tavan tipi sulu radyant panelin radyasyon yayan alt sac yüzeyinden elde edilen toplam radyasyon miktarı da artmış olur.



Şekil 5.3. Alt sac yüzeyinden elde edilen radyasyon miktarının Reynolds sayısıyla değişimi



Şekil 5.4. Alt sac ortalama yüzey sıcaklığının Reynolds sayısıyla değişimi

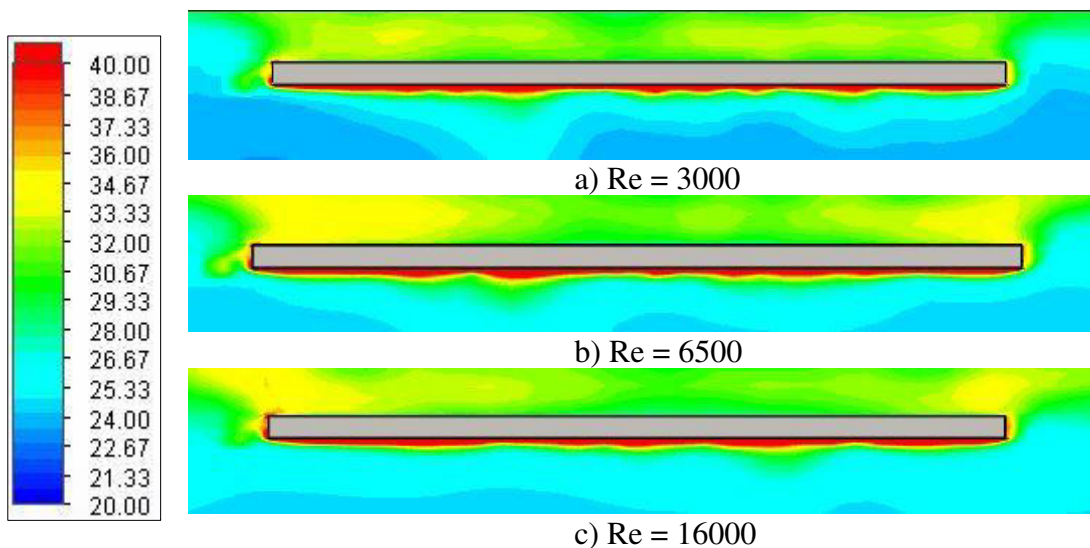
Radyasyon yayıcı alt sac yüzey ortalama sıcaklığının Reynolds sayısına bağlı değişimi gösteren grafik Şekil 5.4'te sunulmuştur. Toplam ısı transfer ve radyasyon miktarları değişimlerini gösteren grafiklerdekine benzer bir sonuç grafikte görülmektedir. Reynolds sayısı arttıkça dolayısıyla sisteme giriş yapan suyun kütlesel debisi arttıkça yüksek sıcaklıklı suyun enerjisi daha fazla yüzeye aktarılmakta ve daha fazla yüzey alanı ısınmaktadır.

### 5.1.1. Reynolds sayısının sıcaklık ve hız dağılımına etkisi

Bu bölümde Reynolds sayısının oda içerisindeki sıcaklık ve hız konturlarının dağılımına etkisi Şekil 5.1'de gösterilen kesitler kullanılarak, Reynolds sayısının 3000, 6500 ve 16000 olduğu durumlar için karşılaştırılmış olarak verilmiştir. Kullanılan tüm kesitlerde panel

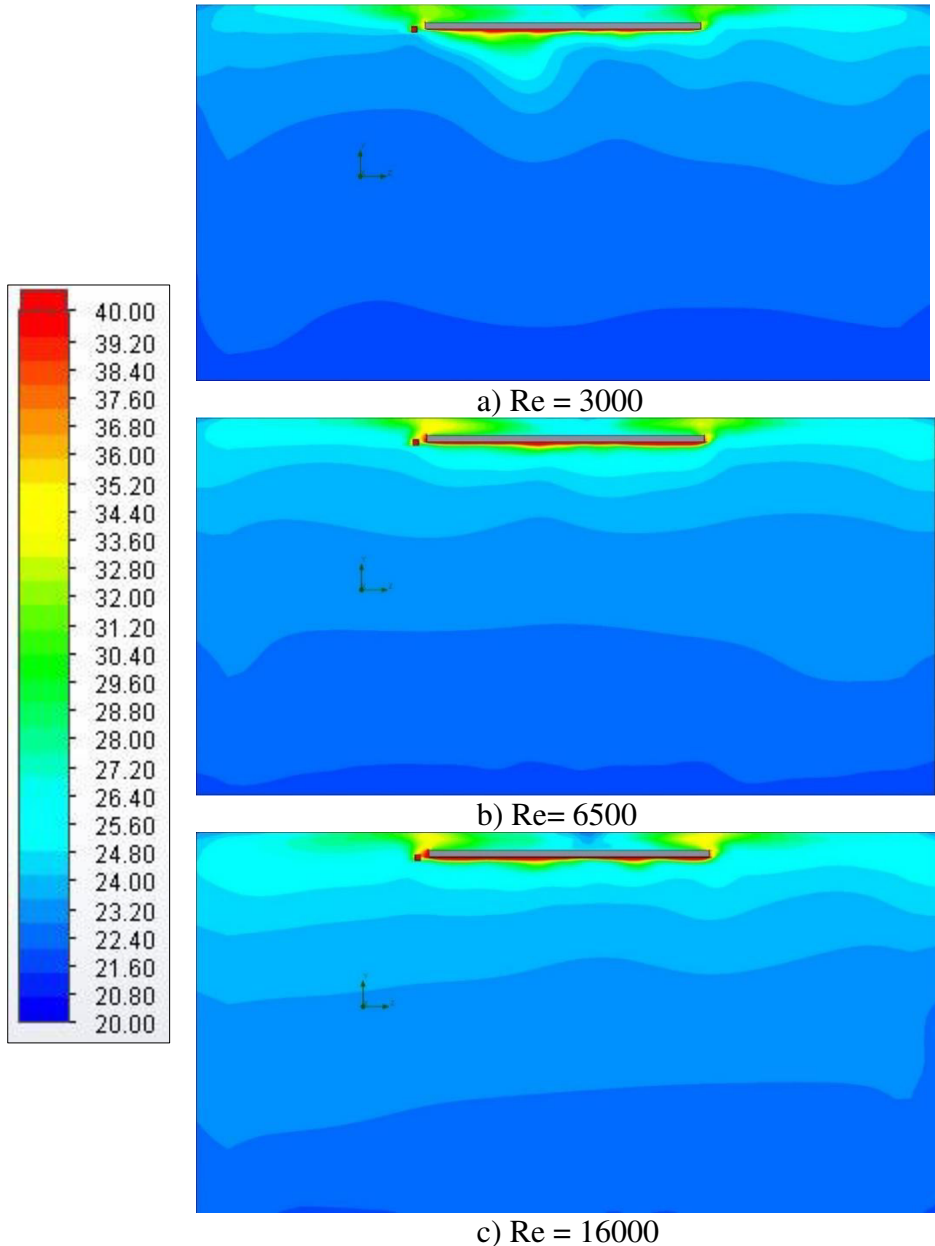
etrafındaki sıcaklık konturlarının dağılımları daha net incelenmesi amacıyla yakınlaştırılmış olarak verilmiştir. A2 ve B2 kesitleri sistemin ortasında bulundukları için yakınlaştırılmış görüntülerine ek olarak oda içerisindeki sıcaklık konturlarının dağılımı da gösterilmiştir.

Şekil 5.5'te A1 kesiti için oda içerisindeki sıcaklık konturlarının dağılımı gösterilmiştir. Sıcaklık konturları incelendiğinde Reynolds sayısının artmasıyla beraber panel etrafındaki sıcaklık değerlerinin de artmaya başladığı görülmektedir. Bunun sebebi Reynolds sayısı arttığında kütlesel debi değeri de artmaktadır ve yüksek sıcaklıklı su daha fazla yüzey alanına sıcaklığının koruyarak temas etmekte ve ısısını aktarabilmektedir. A1 kesiti sistemin giriş bölgesindeki boruya daha yakında bulunmaktadır ve bu yüzden Re değeri arttıkça sıcaklık panelin alt yüzeyindeki sıcaklık değeri de artış göstermektedir.



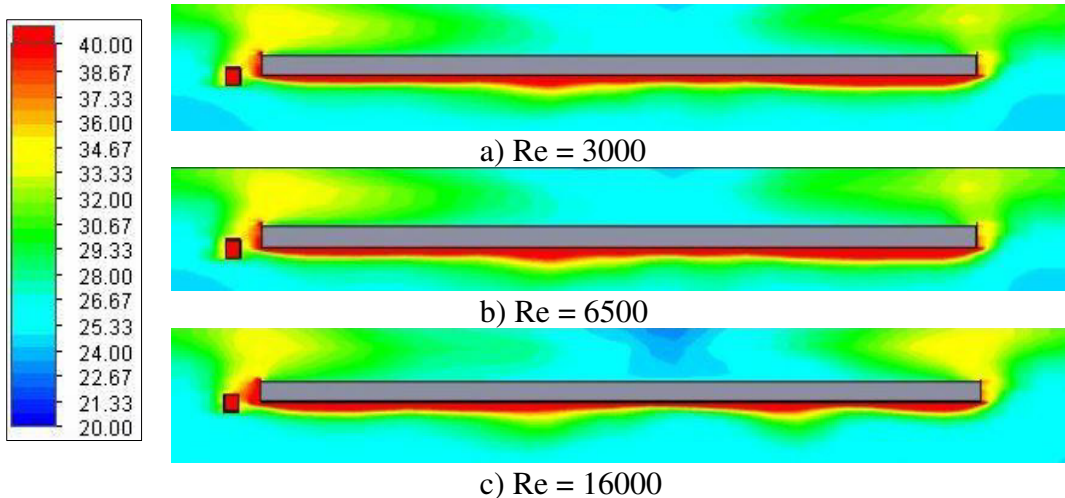
Şekil 5.5. A1 kesitinde panel bölgesindeki sıcaklık dağılımına Re değerinin etkisi

A2 kesetine ait oda içerisindeki sıcaklık konturlarının dağılımları Şekil 5.6'da gösterilmiştir. Re değeri arttıkça oda içerisindeki sıcaklık değerinin oda zemine doğru arttığı görülmektedir.



Şekil 5.6. A2 kesitinde oda içerisindeki sıcaklık dağılımının Re değeriyle değişimi

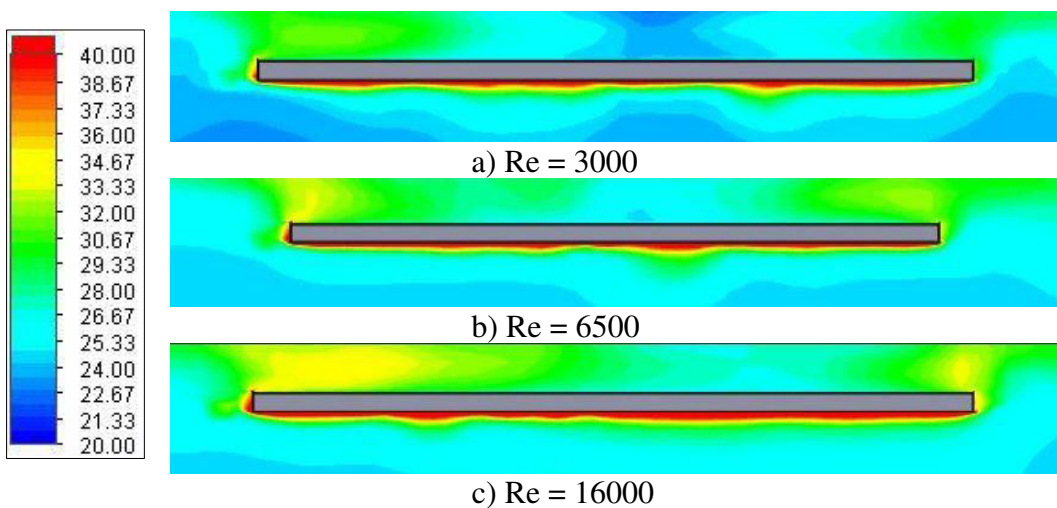
A2 kesiti sistemin x-z eksenine göre tam ortasında yer almaktır. Re değeri arttıkça sisteme giriş yapan suyun kütlesel debisi artmaktadır ve sıcak su ısısını çok yüksek değerlerde kaybetmeden daha fazla yüzey alanına temas ederek ısısını panel alt yayıcı yüzeye aktarmaktadır. Dolayısıyla Re değeri arttıkça panel bölgesi etrafında da daha kararlı sıcaklık dağılımı elde edilmiştir. Panel bölgesi etrafındaki sıcaklık konturlarının dağılımını daha net incelemek amacıyla yakınlaştırılmış görüntüleri alınmıştır ve bu görüntüler Şekil 5.7'de gösterilmiştir.



Şekil 5.7. A2 kesitinde panel bölgesindeki sıcaklık dağılımına Re değerinin etkisi

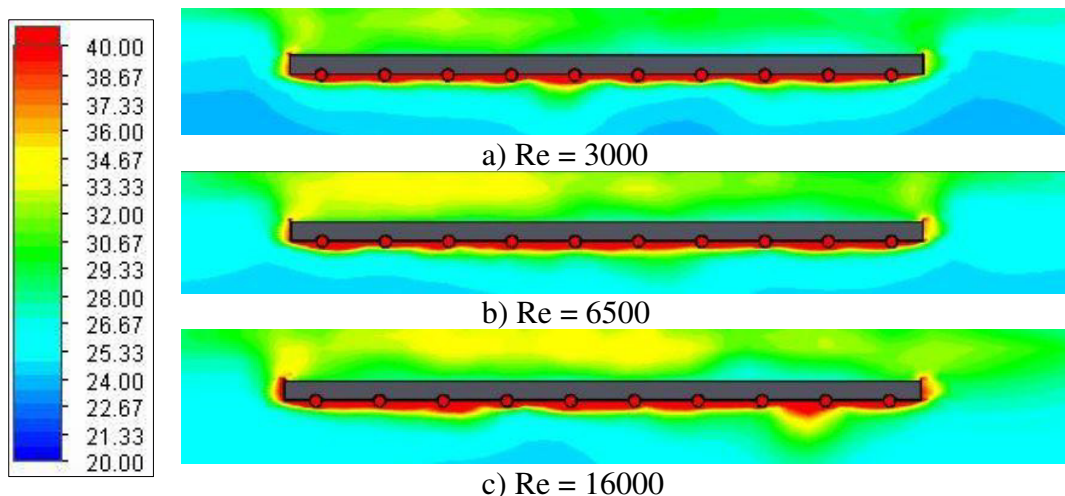
Re değeri arttıkça sıcak su daha fazla yüzey alanına temas etmekte ve ısısını aktarmaktadır. Panelin alüminyum malzeme olan alt radyasyon yayıcı yüzeyinde ve yan saclarında da Re değeri arttıkça panel etrafına yayılan sıcaklık değeri artmaktadır. Bu sebeple de Şekil 5.6'da görülen daha kararlı sıcaklık dağılımı elde edilmektedir.

Şekil 5.8'de A3 kesiti için panel bölgesi etrafındaki sıcaklık konturlarının dağılımı gösterilmiştir. A3 kesiti sistemin çıkış bölgesine yakın olduğu için bu bölgeye yaklaşıkça sıcaklık değerleri giriş bölümündeki değerlere göre düşmektedir. Re değeri arttıkça A3 kesiti için panel bölgesi etrafında sıcaklık değeri düzgün bir şekilde artmaktadır ve daha kararlı sıcaklık dağılımı elde edilmiştir.



Şekil 5.8. A3 kesitinde panel bölgesindeki sıcaklık dağılımına Re değerinin etkisi

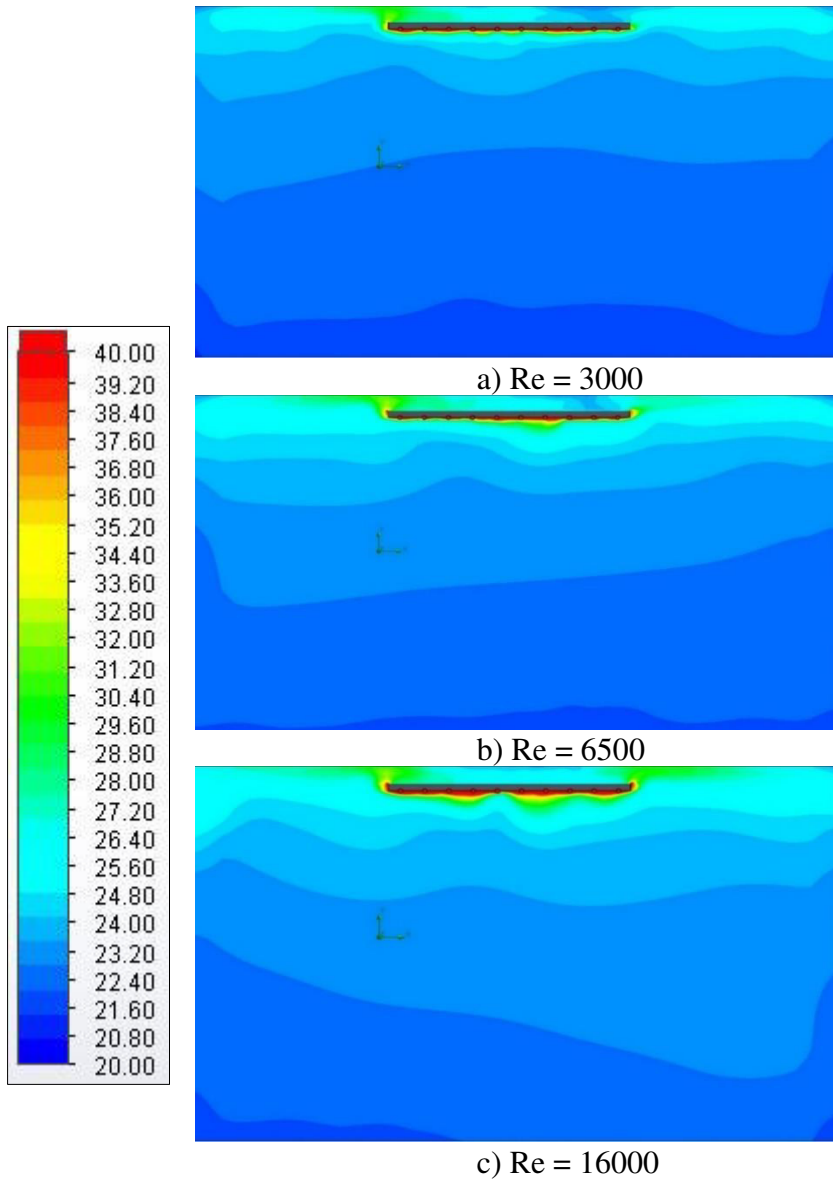
Şekil 5.9'da B1 kesiti için panel bölgesi etrafındaki sıcaklık konturlarının dağılımı gösterilmiştir. Re değeri arttıkça panel bölgesi etrafında sıcaklık değerleri de artmakta ve daha kararlı bir hale gelmektedir. Aynı şekilde Re değeri arttıkça radyasyon yayıcı alt yüzeyde çıkış bölümüne doğru da sıcaklık değeri artmaktadır.



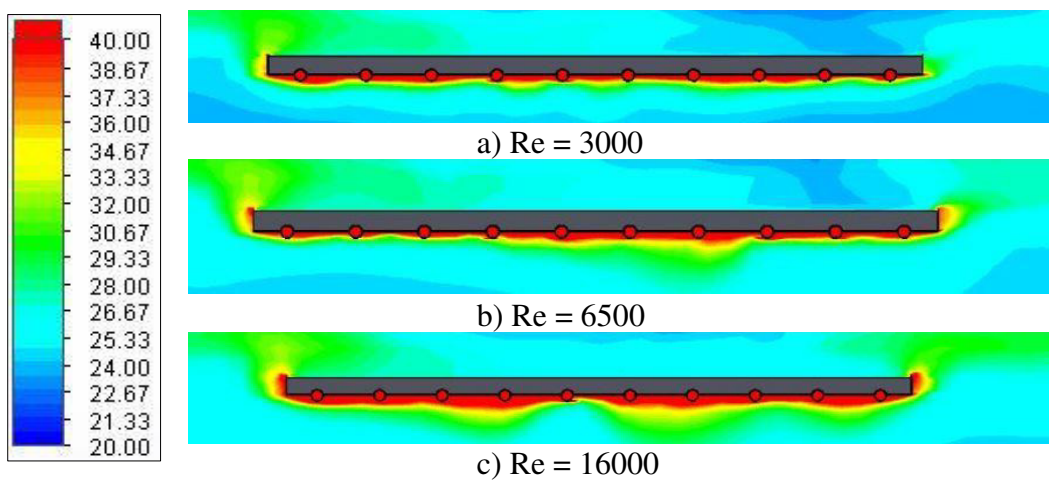
Şekil 5.9. B1 kesitinde panel bölgesindeki sıcaklık dağılımına Re değerinin etkisi

B2 kesiti x-z düzleminde sistemin ortasında bulunmaktadır ve bu kesite ait oda içerisindeki sıcaklık konturlarının dağılımı aşağıda bulunan Şekil 5.10.'da gösterilmiştir.

Re değeri arttıkça oda içerisinde tavandan zemine doğru sıcaklık değerinin arttığı görülmektedir. Panel çevresindeki sıcaklık dağılımı ise daha düzenli hale gelmektedir. Panel bölgesi etrafındaki sıcaklık kontur dağılımını daha net incelemek amacıyla kullanılan yakınlaştırılmış görüntü Şekil 5.11'de gösterilmiştir. Diğer kesitlerdeki duruma benzer şekilde Re değeri arttıkça sisteme giren suyun kütlesel debisi artmaktadır; sıcak su daha fazla mesafe alarak ısısını aktardığı yüzey alanını genişletmektedir. Re değerinin 3000 olduğu durumda çıkış bölgesine doğru sıcaklık değeri azalmakta iken; Re değeri arttıkça sıcaklık değeri artmaktadır. Buna ek olarak alt ve yan yüzeylerden odaya aktarılan sıcaklık değeri de artmaktadır.

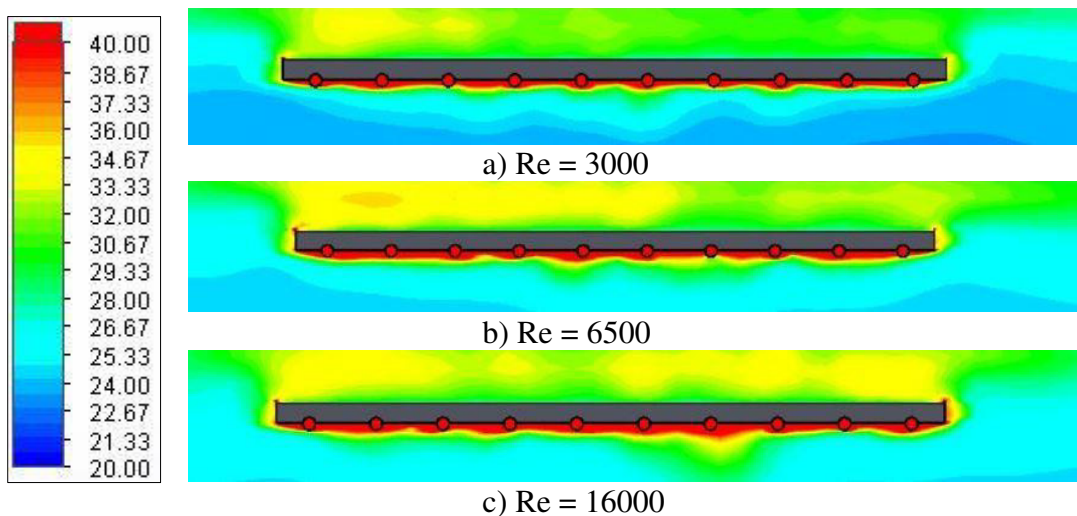


Şekil 5.10. B2 kesitinde oda içerisindeki sıcaklık dağılımına Re değerinin etkisi



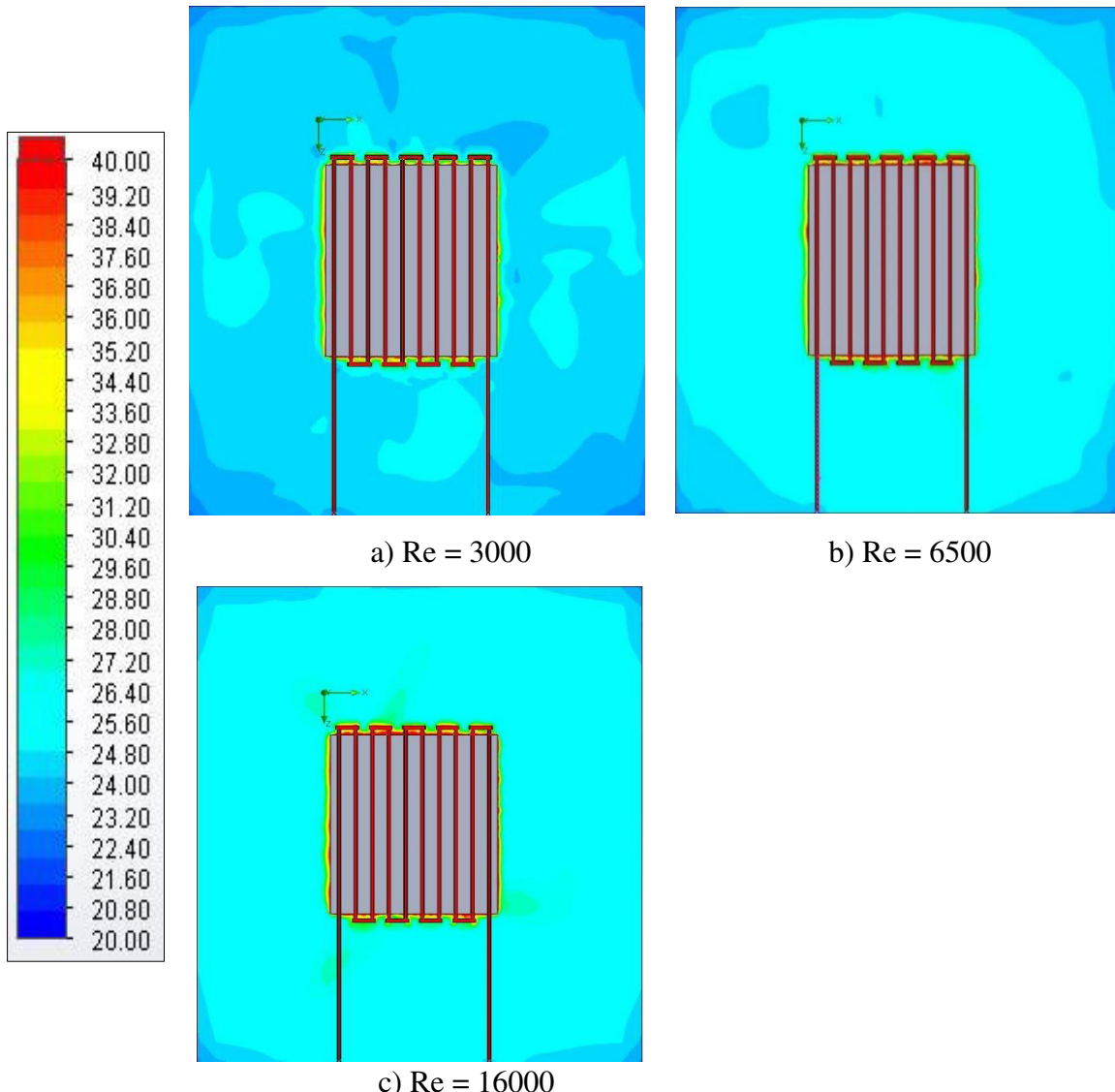
Şekil 5.11. B2 kesitinde panel bölgesindeki sıcaklık dağılımına Re değerinin etkisi

Şekil 5.12'de B3 kesiti için sıcaklık konturlarının dağılımı verilmiştir. Re değeri arttıkça panel etrafındaki sıcaklık değerinin özellikle panelin alt bölümünde arttığı gözlemlenmektedir. Yine panelin alt bölümünden odaya yayılan sıcaklık değeri de Re değeri arttıkça artmaktadır. Panelin üst bölümünde ise Re değerinin 6500 olduğu durumda sol bölümde, 16000 olduğu durumda ise üst bölümünde düzgün bir sıcaklık artışı elde edilmiştir.



Şekil 5.12. B3 kesitinde panel bölgesindeki sıcaklık dağılımına Re değerinin etkisi

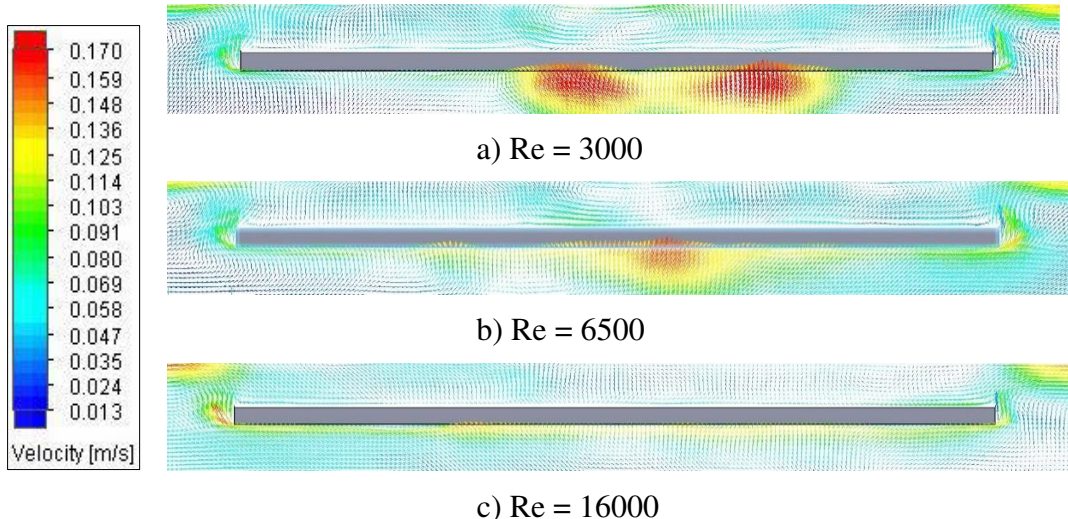
C1 kesiti sistemi y-z düzleminde kesmektedir ve Şekil 5.13'te sistemin C1 kesitinde oda içindeki sıcaklık konturlarının dağılımı gösterilmiştir. Re değerinin 3000 olduğu durumda sadece panel etrafında sıcaklık artışı görülmektedir ve panelden uzaklaşıkça sıcaklık azalmaktadır. Re değeri sırayla 6500 ve 16000 değerlerine yükseltildiğinde ise sistem içindeki sıcak su, ısısını daha fazla yüzey alanına aktarmaktadır ve y-z ekseni boyunca 3000 değerindeki durumun aksine Re değeri arttıkça sıcaklık değerleri de artmaktadır. Odanın köşelerindeki kör noktalarda ise sıcaklık değeri kısmen düşüktür.



Şekil 5.13. C1 kesitinde oda içerisindeki sıcaklık dağılımına Re değerinin etkisi

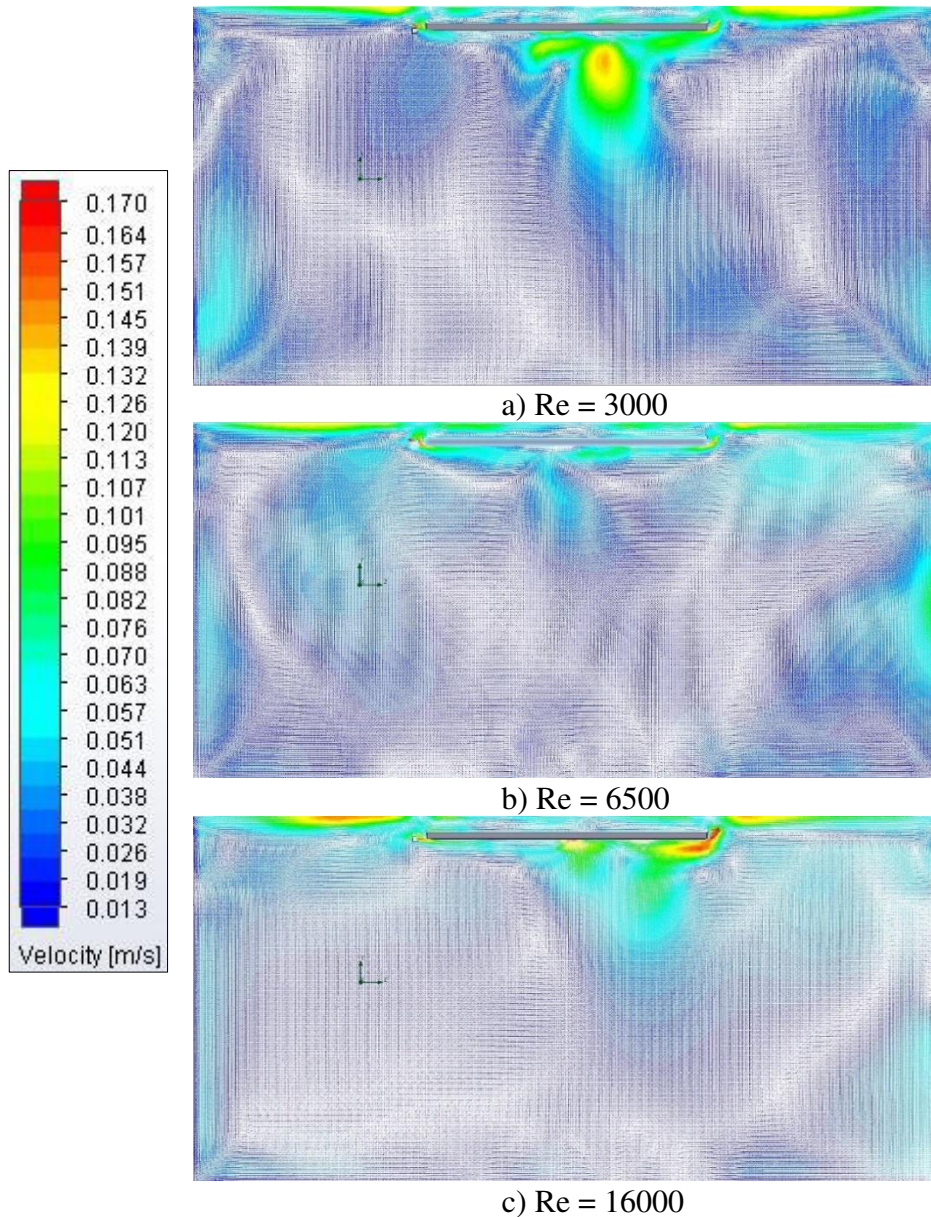
Sıcaklık konturlarının gösteriminden sonra hız konturlarının gösterimi sunulmuştur. Hız kontur gösterimlerinde Şekil 5.1'de gösterilen eksenler kullanılmış olup panel bölgesi etrafındaki hız konturları gösterilmiştir. Bunlara ek olarak sistemin ortasından geçen A2 ve B2 kesitleri için ayrıca oda içerisindeki hız kontur dağılımı gösterilmiştir.

Şekil 5.14'te A1 kesiti için Reynolds sayısının 3000, 6500 ve 16000 olduğu durumlar için panel bölgesindeki hız kontur dağılımları gösterilmiştir. Re değeri arttıkça panelin alt bölümündeki hız değerlerinin azaldığı gözlemlenmiştir. Panelin alt bölümünde hız değeri azalırken yan bölümlerde ise hız değerlerinde artış gözlemlenmiştir. Benzer şekilde Re değeri arttıkça panelin üst bölümündeki vorteks oluşumlarının kaybolarak daha düzenli bir hız vektör dağılımı gözlemlenmiştir.



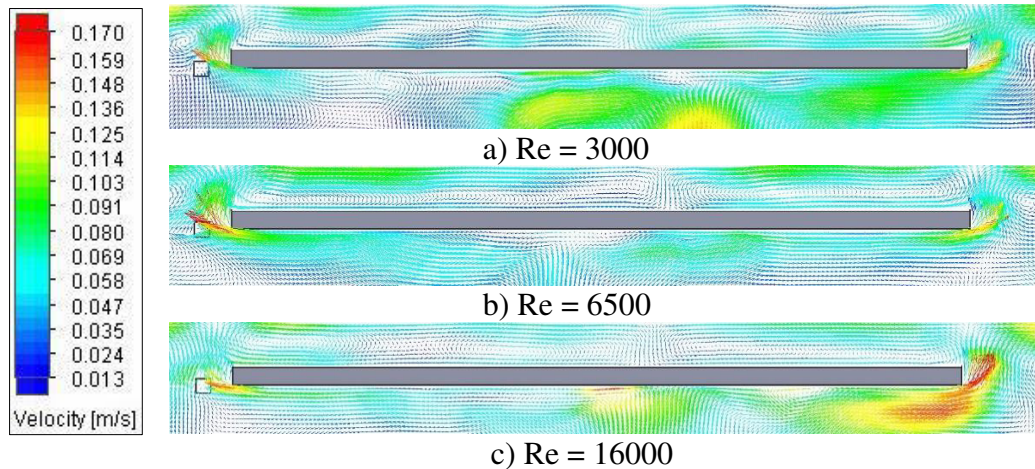
Şekil 5.14. A1 kesitinde panel bölgesindeki hız dağılımına Re değerinin etkisi

A2 kesiti x-z düzleminde sistemin tam ortasında bulunmaktadır ve bu kesite ait hız kontur dağılımı Şekil 5.15'te gösterilmiştir. Hız dağılımı değişik konumlarda farklılıklar göstermektedir. Re değeri arttıkça panelin alt bölümündeki hız değerleri azalmakta iken panelin sağ tarafında artmakta ve yine benzer şekilde odanın alt bölmelerine doğru kenar odanın yan duvarlarında belli artışlar göstermektedir. Oda ölçülerinin büyük olması ve hız vektörlerinin boyutlarından dolayı vektör hareketleri net görülememektedir. Daha net görebilmek amacıyla panel bölgesindeki hız kontur dağılımı da incelenmiştir.



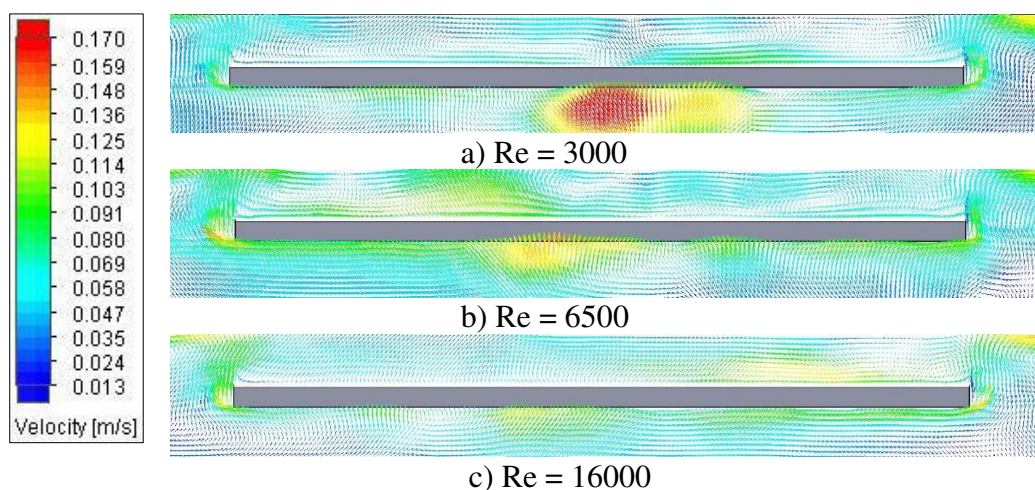
Şekil 5.15. A2 kesitinde oda içerisindeki hız dağılımına Re değerinin etkisi

Şekil 5.16'da A2 kesiti için panel bölgesindeki hız kontur dağılımı gösterilmiştir. Panel bölgesi yakından incelendiğinde Re değerinin 3000 olduğu durumda panelin alt bölümündeki hız değerlerinin diğer iki duruma kıyasla daha yüksek olduğu ve panelin üst bölümünde belli bölgelerde vortekslerin olduğu gözlemlenmiştir. Bu vorteksler Re değeri arttıkça ortadan kaybolmakta ve hız vektörleri daha düzenli bir hâle gelmektedir. Re değerinin 16000 olduğu durumda panelin sağ tarafında hız değerlerinin arttığı görülmektedir.



Şekil 5.16. A2 kesitinde panel bölgesindeki hız dağılımına Re değerinin etkisi

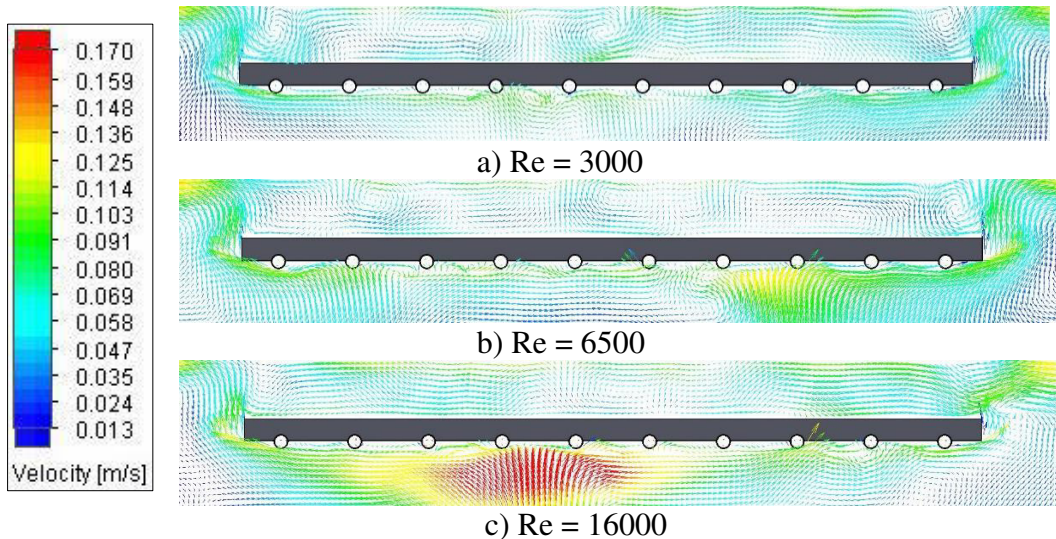
Şekil 5.17'de A3 kesiti için panel bölgesindeki hız kontur dağılımı gösterilmiştir. Bu kesitte de A2 kesitindeki duruma benzer şekilde Re değeri arttıkça panelin alt bölümündeki hız değerleri azalmakta ve panelin üst bölümündeki vorteks oluşumları azalarak daha düzenli bir yapıya geçtiği gözlemlenmektedir.



Şekil 5.17. A3 kesitinde panel bölgesindeki hız dağılımına Re değerinin etkisi

Şekil 5.18'de B1 kesiti için panel bölgesindeki hız kontur dağılımı gösterilmiştir. B1 kesiti sisteme giriş ve çıkış bölgesine yakın olan kesittir ve Re değeri arttıkça özellikle panelin alt bölümünde orta bölüme doğru hız değeri artmaktadır. Aynı şekilde hız vektörleri de özellikle panelin üst bölümünde daha düzenli bir yapıya geçmektedir. Panelin yan bölümlerinde ise hız değerleri Re değeri arttıkça 3000 olan duruma göre kısmen daha yüksek değerlere ulaşmaktadır. A3 kesiti sistemin çıkış bölümüne yakın olduğu için bu bölüme doğru sistem

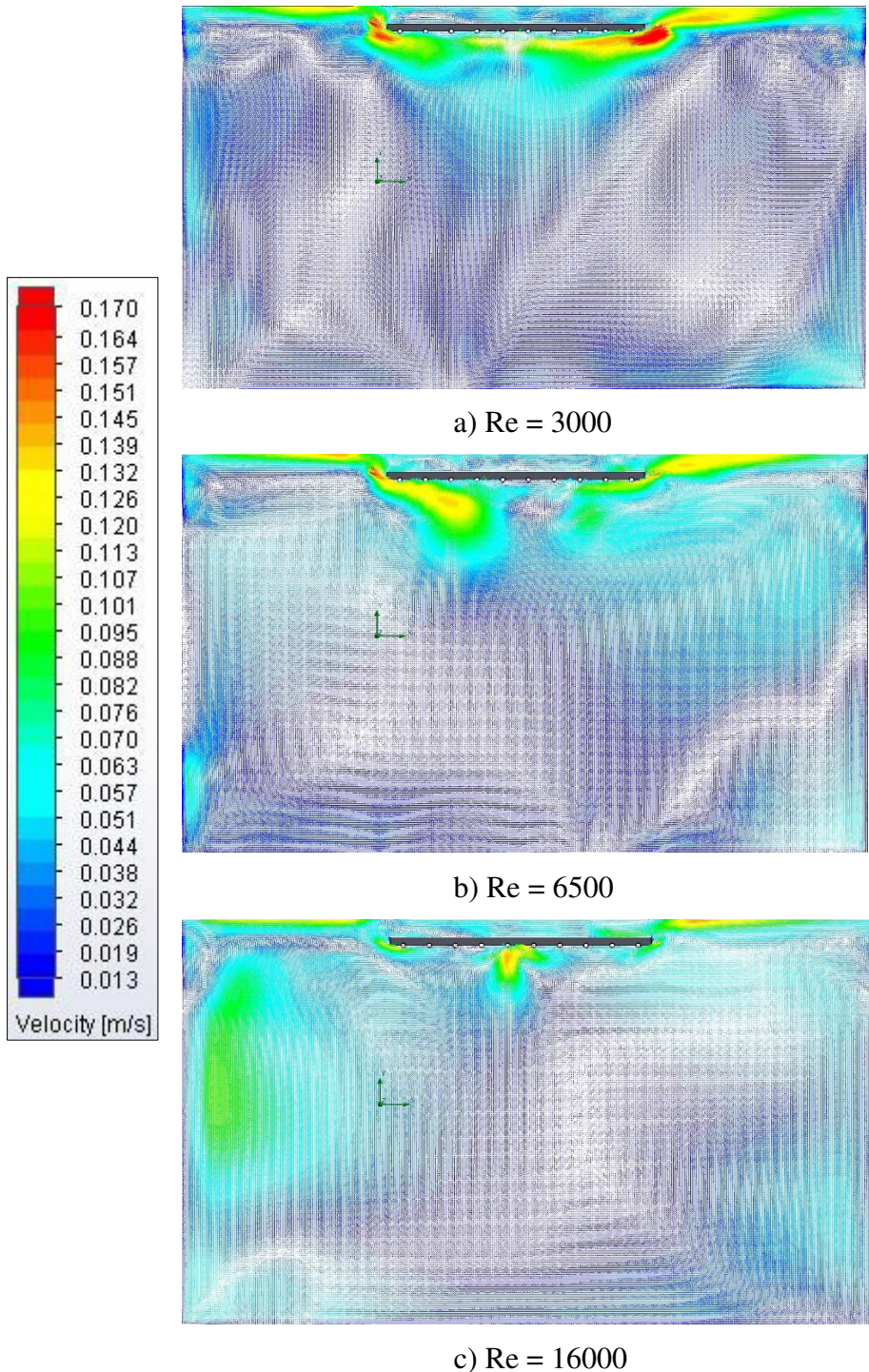
îçerisinde çalısan sıcak su sıcaklığını kaybetmekte ve ısı transfer oranı azalmaktadır. Dolayısıyla konveksiyon oranı da azalmaktadır ve bu farklılıklara sebep olmaktadır.



Şekil 5.18. B1 kesitinde panel bölgesinde hız dağılımına Re değerinin etkisi

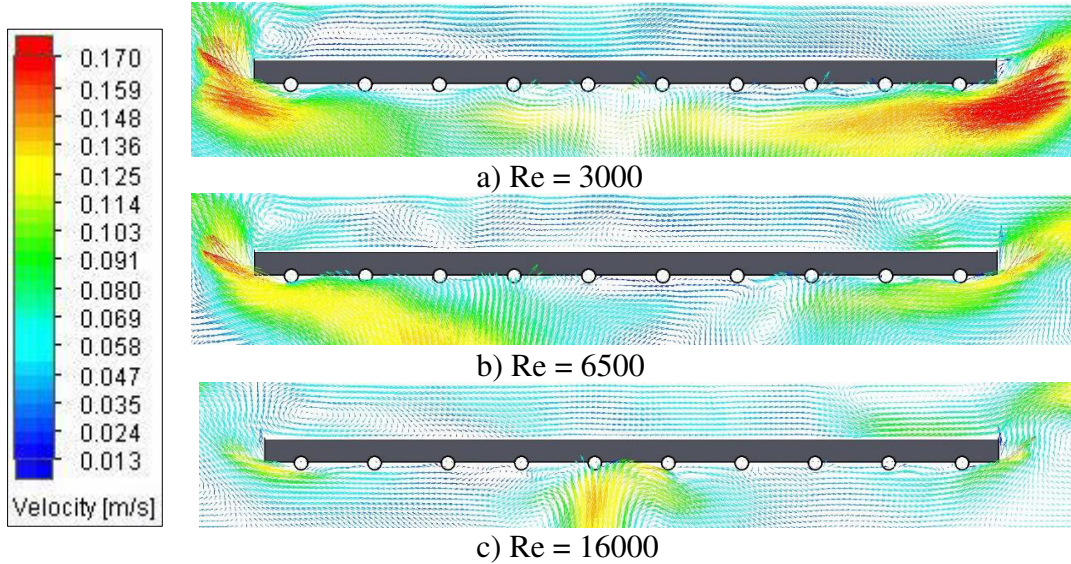
Panelin yan bölgelerinde ise hız değerleri Re değeri arttıkça 3000 olan duruma göre kısmen daha yüksek değerlere ulaşmaktadır. A3 kesiti sistemin çıkış bölümüne yakın olduğu için bu bölüme doğru sistem içerisinde çalısan sıcak su sıcaklığını kaybetmekte ve ısı transfer oranı azalmaktadır. Dolayısıyla konveksiyon oranı da azalmaktadır ve bu farklılıklara sebep olmaktadır.

B2 kesiti x-z kesitinde sistemin tam ortasında bulunmaktadır ve bu kesite ait oda içerisindeki hız konturlarının dağılımı Şekil 5.19'da gösterilmiştir. Re değerinin 3000 olduğu durumda özellikle panelin kenar bölgelerinde hız değeri yüksektir ve Re değeri arttıkça bu bölgedeki hız değeri de azalmaktadır. Oda içerisinde ise Re değeri arttıkça odanın belli bölgelerinde hız değerleri de artış göstermektedir. Oda boyutunun büyük olmasından ve hız vektörlerinin küçük olmasından dolayı vektör hareketleri net görülememektedir. Daha net görebilmek amacıyla panel bölgesinde hız kontur dağılımı da incelenmiştir.



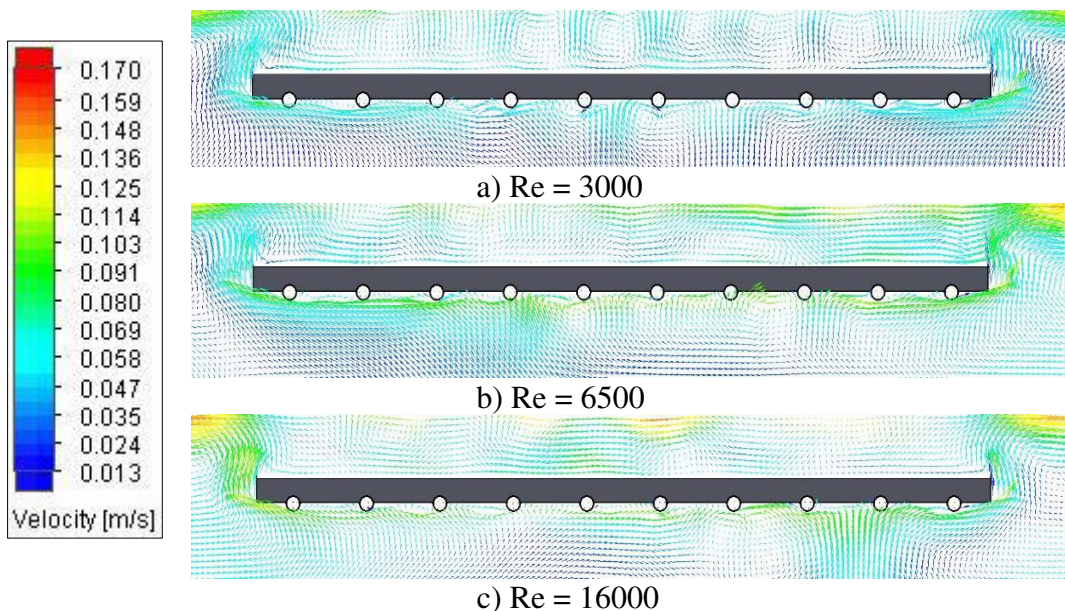
Şekil 5.19. B2 kesitinde oda içerisindeki hız dağılımına Re değerinin etkisi

B2 kesitinde panel bölgelerindeki hız konturlarını daha net inceleyebilmek amacıyla panel bölgelerine yakınlaştırılmış görüntü Şekil 5.20'de gösterilmiştir. Re değeri arttıkça kenar bölgelerdeki yüksek hız yoğunluğu azalırken 16000 değerinde orta bölümde artış göstermektedir.

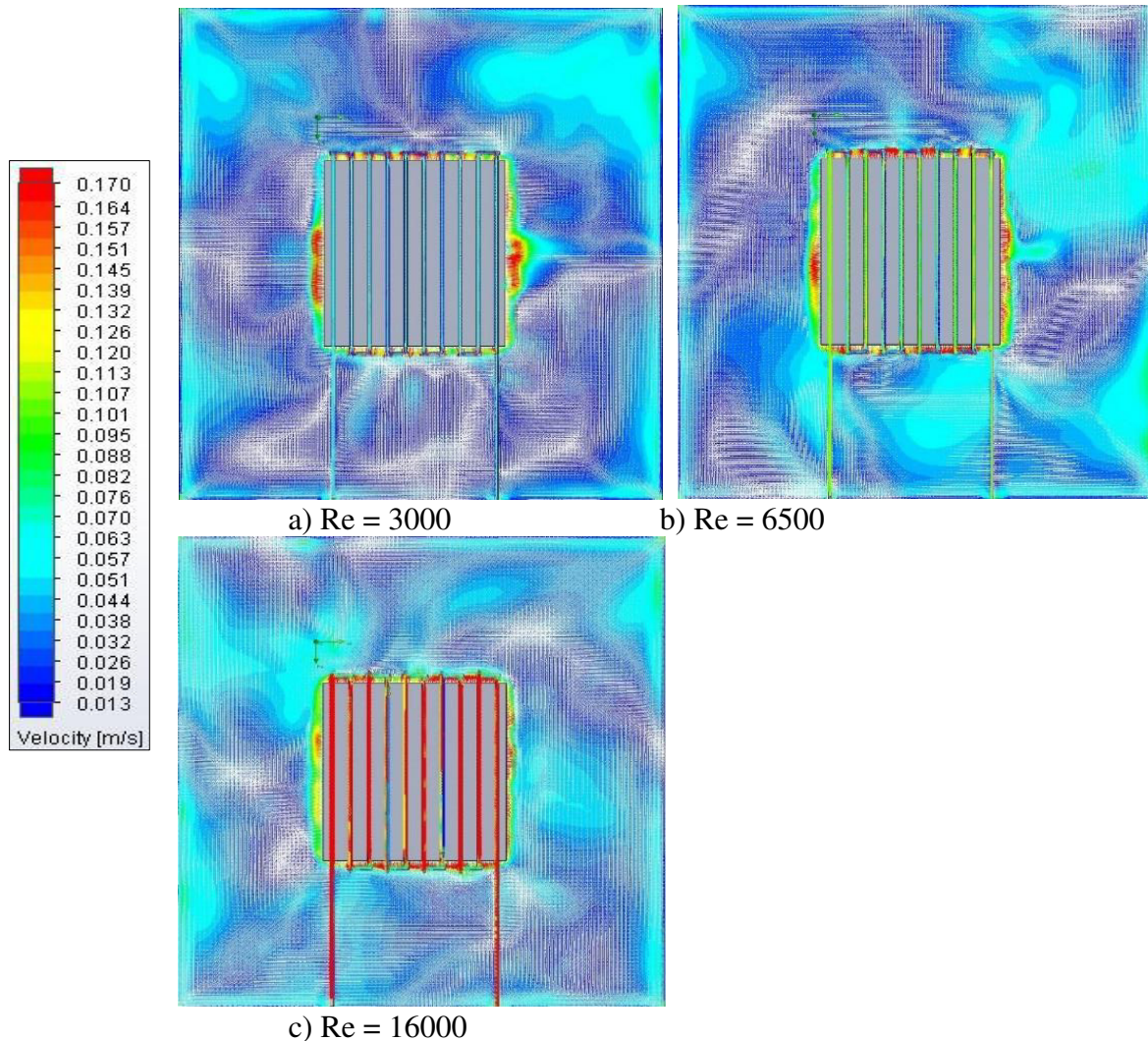


Şekil 5.20. B2 kesitinde panel bölgesindeki hız dağılımına Re değerinin etkisi

B3 kesitine ait panel bölgesindeki hız kontur dağılımı Şekil 5.21'de gösterilmiştir. Re değerinin artmasıyla sisteme giriş yapan su, ısısını daha fazla yüzeye aktarmaktadır ve bunun neticesinde konveksiyon oranı da artmaktadır. Dolayısıyla panel bölgesindeki hız değerleri de Re değeri arttıkça artmaktadır. Özellikle Re değerinin 3000 olduğu durumda panelin üst bölümünde gözlemlenebilen düzensiz vektör hareketi, Re değeri arttıkça kaybolmakta ve hız değerini artırarak daha düzenli bir yapıya geçmektedir.



Şekil 5.21. B3 kesitinde panel bölgesindeki hız dağılımına Re değerinin etkisi



Şekil 5.22. C1 kesitinde oda içerisindeki hız dağılımına Re değerinin etkisi

C1 kesiti sistemi y-z düzleminde kesmektedir ve Şekil 5.22'de sistemin C1 kesitinde oda içindeki hız konturlarının dağılımı gösterilmiştir. Re değerinin 3000 olduğu durumda panele yakın bölgelerde hız değerinin daha yüksek olduğu görülmektedir. Re değeri arttıkça panele yakın bölümdeki hız değeri düşerken panelden uzaklaşmaya başladıkça hız değerleri de bölgesel olarak artmaktadır. Re değerinin artışıyla boru içerisindeki hız değeri de net bir şekilde artmakta ve 16000 değerinde en yüksek değerlere ulaştığı net bir şekilde görülmektedir. Re değeri arttıkça debi miktarı artmaktadır ve bu durum doğrulanmaktadır.

### 5.1.2. Reynolds sayısının boruyu çevreleyen saclar üzerindeki etkisi

Tavan tipi sulu radyant panel içerisindeki suyun dolaşmasını sağlayan borular ve bu boruları alt ve üst bölümünden çevreleyen saclara ait bilgiler daha önceki bölümlerde verilmiştir ve

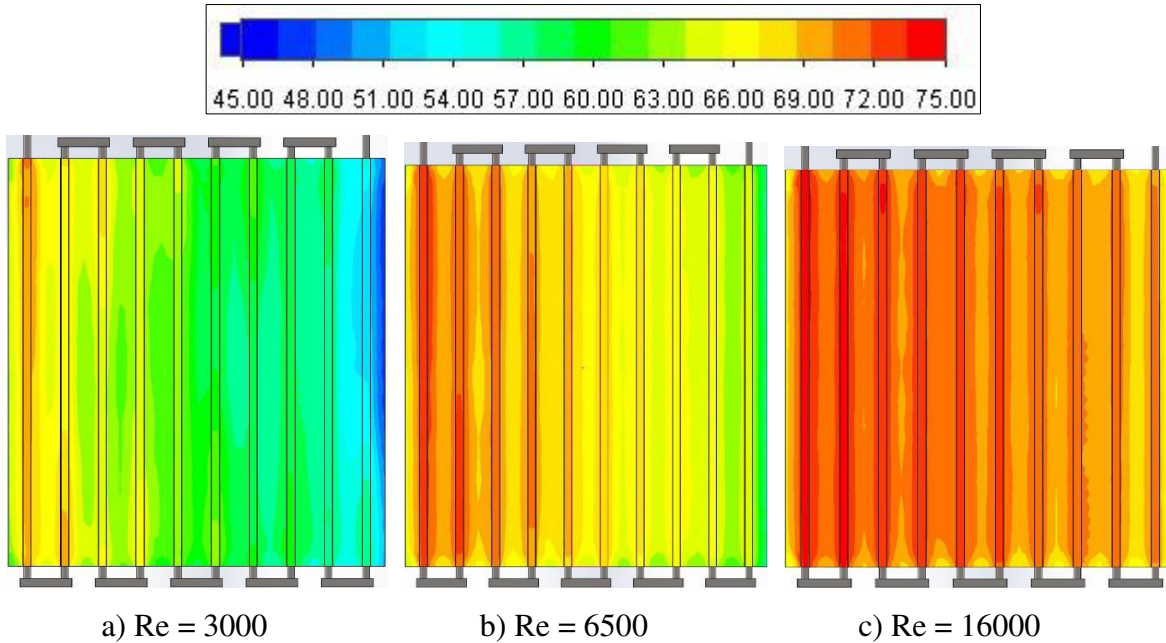
Şekil 3.7'de gösterilmiştir. 0,8 mm kalınlığındaki alüminyum alt sac, boruların ve sistemin alt bölümünde yer almaktır olup radyasyon yayıcı yüzey olarak adlandırılmıştır. İşinler bu sac üzerinden odaya ve odadaki cisimlere yayılmaktadır. Reynolds sayısının radyasyon yayıcı alt sac üzerindeki etkisi incelemek; saclar üzerindeki sıcaklık dağılımı, ısı transferi ve radyasyon miktarı hakkında yorumlar yapılabilmesine olanak tanımaktadır. Üst sac ise boruların üst bölümünde yer almaktadır ve 0,5 mm kalınlığındadır. Üstünde ise cam yünü yalıtım malzemesi bulunmaktadır. Bu sac üzerindeki etkilerde ise sistemde oluşan kayıplar hakkında yorum yapılabilmesine olanak tanımaktadır.

Bu amaçla alt ve üst sac üzerinde Reynolds sayısına bağlı olarak yüzeydeki sıcaklık kontur dağılımları incelenmiştir. Reynolds sayısının 3000, 6500 ve 16000 değerleri için sıcaklık kontur dağılımları karşılaştırılmış olarak verilmiş ve değerlendirilmiştir.

Şekil 5.23'te Reynolds sayısına bağlı, tavan tipi sulu radyant panelin alt bölümündeki radyasyon yayıcı alüminyum sacdaki sıcaklık dağılımları gösterilmiştir.  $75^{\circ}\text{C}$  sıcaklığıla sisteme giriş yapan su, Reynolds sayısının 3000, 6500 ve 16000 olduğu 3 durumda da giriş bölümünde sıcaklığını korumuştur. Fakat akış devam ettikçe su sıcaklığını kaybetmekte ve çıkış bölgesi etrafında da en düşük değerlerine ulaşmaktadır. Reynolds sayısı arttırdıkça, dolayısıyla sisteme giren suyun külesel debisi arttıkça sıcak suyun enerjisi daha fazla yüzeye etki etmektedir. Bu durum Reynolds sayısı 3000'den 16000'e arttırdığında kademeli olarak görülebilmektedir ve en yüksek sıcaklıkların Re değerinin 16000 olduğu durumda olduğu gözlemlenmektedir.

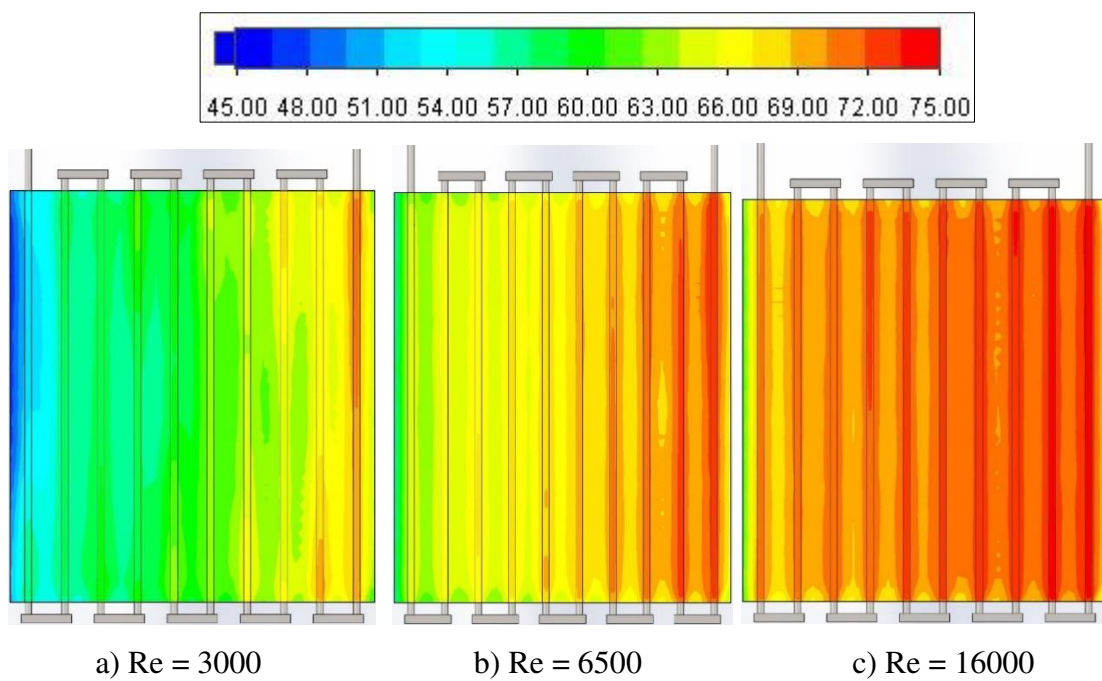
Re değerinin 3000 olduğu durumda sağ tarafta bulunan çıkış bölümüne yaklaşıkça yeterli su sıcaklığını kaybetmekte ve yeterli ısı transferi sağlanamamaktadır. Dolayısıyla çıkış bölümüne doğru üç durum arasında en düşük sıcaklık değerine ulaşmaktadır. Fakat Re değeri arttıkça yeterli ısı transferi sağlanmakta ve çıkış bölümüne doğru elde edilen sıcaklık değeri de artmaktadır.

Şekildeki sıcaklık kontur dağılımları ile toplam ısı transfer miktarı, radyasyon miktarı ve alt sac ortalama yüzey sıcaklık değerlerinin Reynolds sayısına bağlı değişimini gösteren grafikler birbirlerini doğrulamaktadır.



Şekil 5.23. Alt sacdaki sıcaklık dağılımına Re değerinin etkisi

Şekil 5.24'te borular ile yalıtım malzemesi arasında kalan üst sac üzerindeki sıcaklık dağılımları gösterilmiştir. Re değeri arttıkça alt sacdaki duruma benzer şekilde sağda bulunan giriş bölümünde sıcaklık değerleri artmaktadır. Çıkışta ise en düşük değer Re=3000 olan durumda olmaktadır. Bu sebeple sac üzerinde bulunan yalıtım malzemesine de özellikle giriş bölgesi hızasında bulunan kısımlardan daha fazla ısı iletimi olması beklenmektedir.

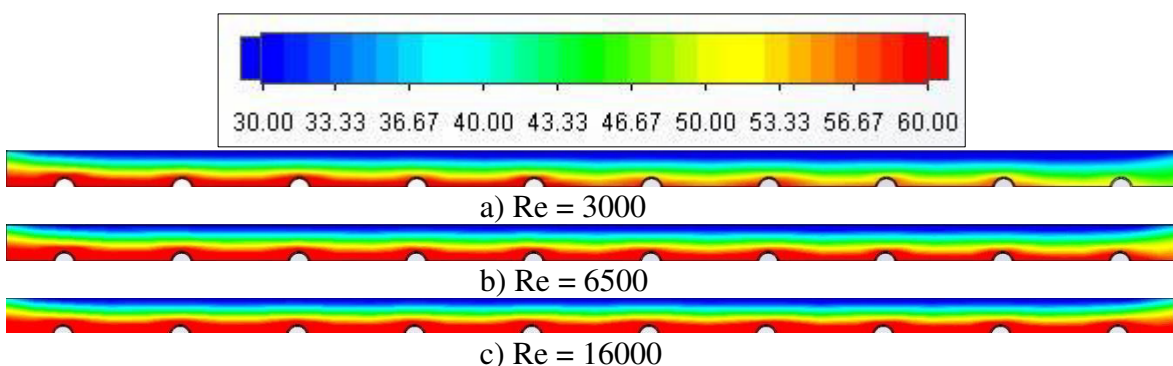


Şekil 5.24. Üst sacdaki sıcaklık dağılımına Re değerinin etkisi

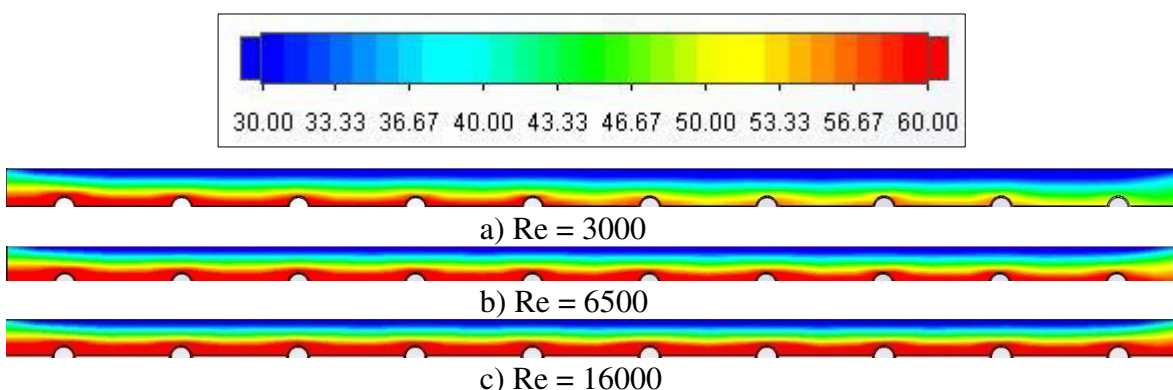
### 5.1.3. Reynolds sayısının yalıtım malzemesi içindeki sıcaklık dağılımına etkisi

Reynolds sayısının yalıtım malzemesi üzerindeki etkisini görmek amacıyla sıcaklık dağılımları incelenmiştir. Bu kapsamında Reynolds sayısının 3000, 6500 ve 16000 olduğu 3 durum için Şekil 5.1'de gösterilen x-z düzlemi üzerindeki B1, B2, B3 kesitleri ve bunlara ek olarak y-z ekseninde cam yünü yalıtım malzemesinin tam ortasından geçen kesit kullanılarak sıcaklık dağılımları elde edilmiştir ve üç farklı durum için karşılaştırmalı olarak değerlendirilmiştir.

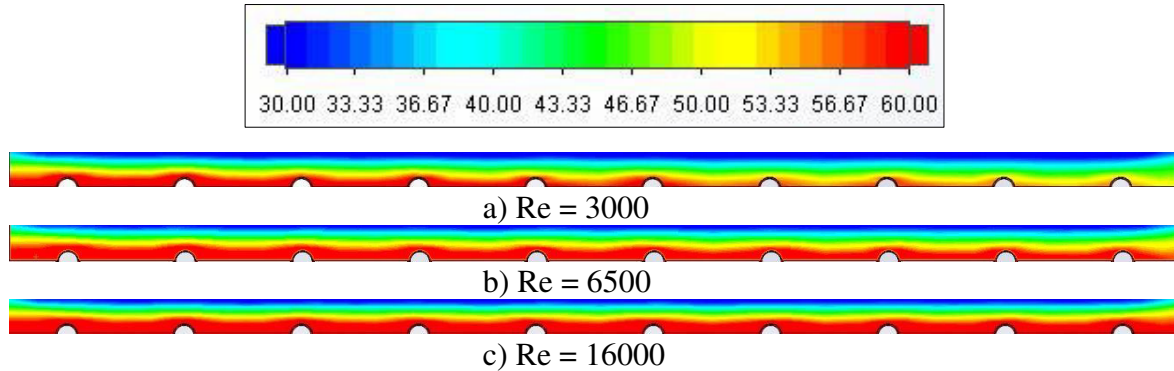
Şekil 5.25 – Şekil 5.27 arasında sırasıyla B1, B2 ve B3 kesitleri için sıcaklık dağılımları gösterilmiştir. Re değeri arttıkça suyun kütlesel debisi artmakta ve daha fazla yüzeye ısısını transfer etmektedir. Isı borulardan üst saca, ardından yalıtım malzemesine iletilmektedir. Şekil incelendiğinde ise üç durumda da sol taraftaki giriş bölümünde sıcaklık değerleri birbirleriyle benzerlik göstermektedir. Fakat çıkış bölümünde ise Re değeri arttıkça sıcaklık değeri artmaktadır. Bu da açıklaması yapılan durumu doğrulamaktadır.



Şekil 5.25. B1 kesitinde yalıtım malzemesindeki sıcaklık dağılımına Re değerinin etkisi

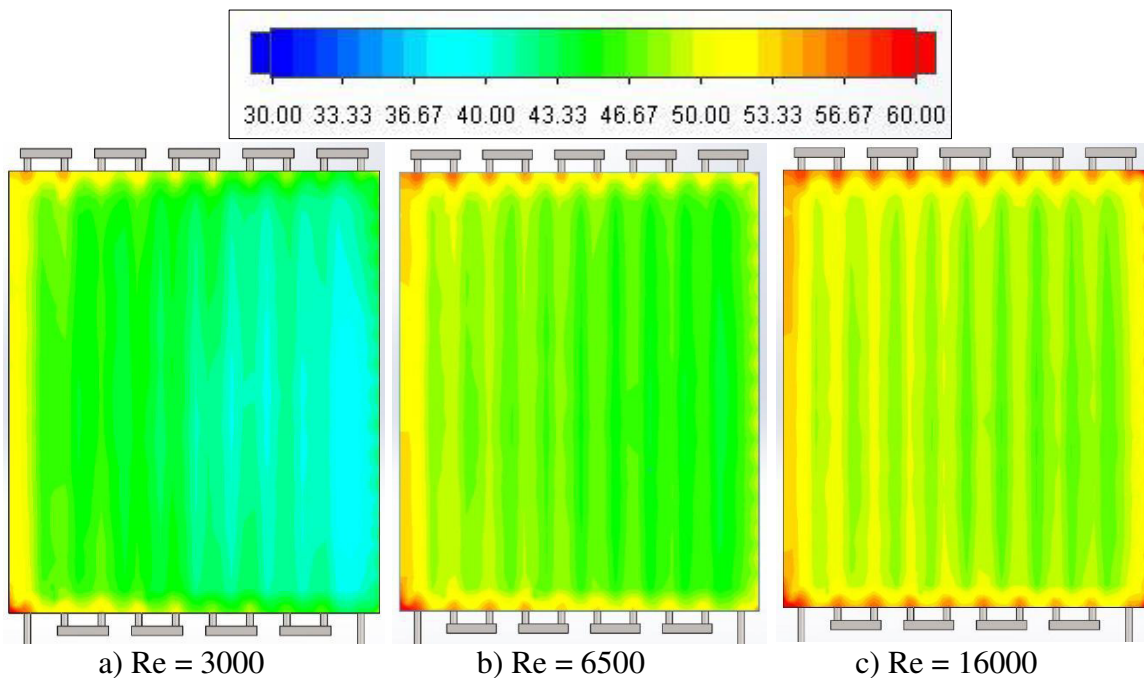


Şekil 5.26. B2 kesitinde yalıtım malzemesindeki sıcaklık dağılımına Re değerinin etkisi



Şekil 5.27. B3 kesitinde yalıtılmalzemesindeki sıcaklık dağılımına Re değerinin etkisi

Şekil 5.28'de ise y-z düzleminde yalıtılmalzemesinin tam ortasından geçen kesite göre yalıtılmalzemesindeki sıcaklık dağılımları üç farklı Re değeri için gösterilmiştir. Re değeri arttıkça borulardan üst saca ısı iletimi artmaktadır, dolayısıyla üst sacdan da yalıtılmalzemesine ısı iletimi artmaktadır.



Şekil 5.28. Yalıtılmalzemesinin Y-Z kesitinde sıcaklık dağılımına Re değerinin etkisi

## 5.2. Su Giriş Sıcaklığının Performans Üzerindeki Etkisi

Reynolds sayısı çalışmasının ardından, sisteme giriş yapan suyun sıcaklığının sistem performansı üzerindeki etkisi incelenmiştir. Bu kapsamda Çizelge 5.2'de çalışmada

kullanılan sabit ve değişken değerler gösterilmiştir. Su giriş sıcaklığının sistem performansı üzerindeki etkisini görmek amacıyla giriş sıcaklığı 35 °C ve 95 °C aralığında arttırlarak toplam 7 analiz gerçekleştirilmiştir.

Çizelge 5.3.  $T_g$  çalışmasında kullanılan parametreler

Parametre	Değer
Re	4000
Duvar Sıcaklığı $T_d$ (°C)	20
Panel Yayıcılık Katsayısı $\epsilon_p$	0,93
Oda Duvarları Yayıcılık Katsayısı $\epsilon_d$	0,93
Su Giriş Sıcaklığı $T_g$ (°C)	35, 45, 55, 65, 75, 85, 95

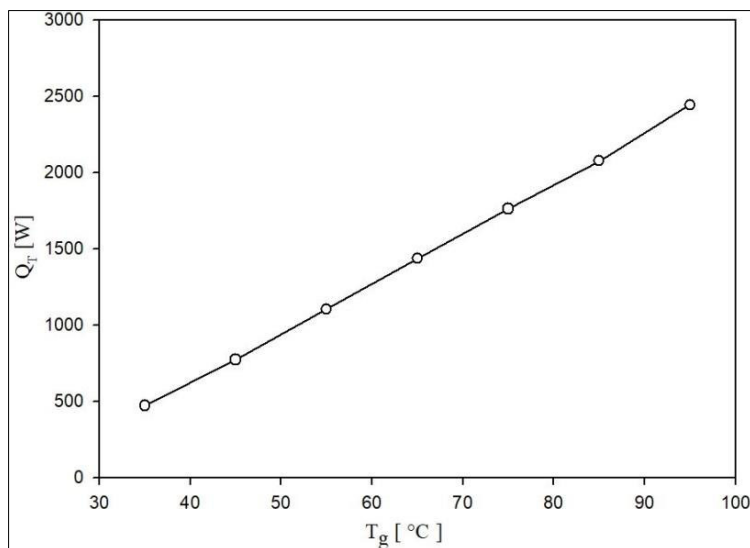
Su giriş sıcaklığı ( $T_g$ ) her durum için değiştirilmiştir ve bu sıcaklık değerlerine karşılık gelen dinamik viskozite ( $\mu$ ) değeri de değişmektedir. Bu değerler kullanılarak Eş.3.14. yardımıyla her bir giriş sıcaklık değerine karşılık gelen kütlesel debi ( $\dot{m}$ ) değeri elde edilmiştir. Çıkış sıcaklık değeri ( $T_c$ ), programdan elde edilmiş olup; çıkış entalpi ( $h_c$ ) ve giriş entalpi ( $h_g$ ) değerleri her durum için termodinamik tablolar yardımıyla elde edilir. Elde edilen entalpi değerleri  $Q_T$  değerinin hesaplanmasında kullanılmıştır.

Kütlesel debi, giriş ve çıkış entalpi değerleri elde edildikten sonra Eş.3.15. yardımıyla toplam ıslı güç ( $Q_T$ ) değeri elde edilmiştir. Elde edilen  $Q_T$  değerleri yardımıyla grafik oluşturulmuştur. Çizelge 5.4'te her bir giriş sıcaklık değeri için elde edilen giriş entalpi ( $h_g$ ), kütlesel debi ( $\dot{m}$ ), çıkış sıcaklık ( $T_c$ ), çıkış entalpi ( $h_c$ ) ve toplam ıslı güç ( $Q_T$ ) değerleri sunulmuştur.

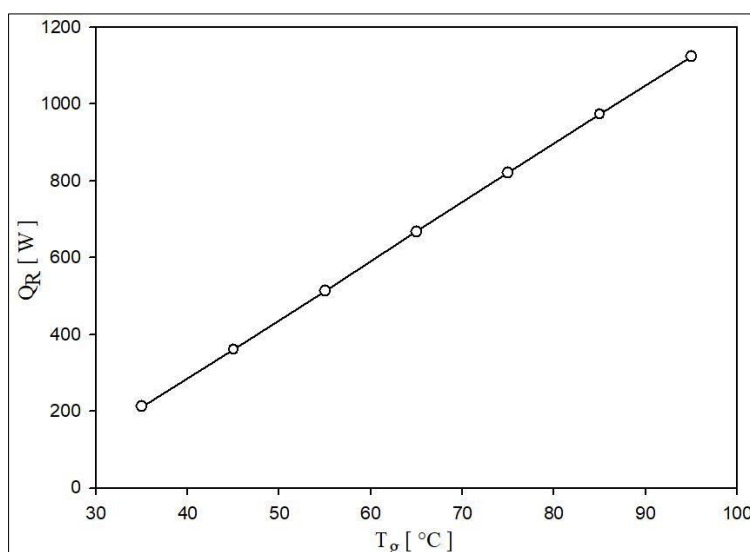
Çizelge 5.4.  $T_g$  çalışması için hesaplanan değerler

$T_g$ (°C)	$h_g$ (kj/kg)	$\dot{m}$ (Kg/s)	$T_c$ (°C)	$h_c$ (kj/kg)	$Q_T$ (W)
35	146,64	0,056	33,1	138,32	470,18
45	188,44	0,046	41,05	171,92	772,85
55	230,26	0,039	48,33	202,35	1103,87
65	272,12	0,033	54,91	229,88	1435,65
75	314,03	0,029	60,83	254,65	1761,98
85	356,02	0,026	66,06	276,56	2077,09
95	398,09	0,023	70,05	293,27	2443,61

Toplam ısı transfer miktarının değişimine ait grafik Şekil 5.29'da gösterilmiştir. Grafikte gösterilen ısı transfer miktarları, eşitlikler yardımıyla hesaplanarak Çizelge 5.3'te sunulan değerler kullanılarak sunulmuştur. Grafikten de görüldüğü üzere, su giriş sıcaklık değeri arttıkça elde edilen toplam ısı transfer miktarı artış göstermektedir.



Şekil 5.29. Toplam ısı transfer miktarının su giriş sıcaklığı ile değişimi

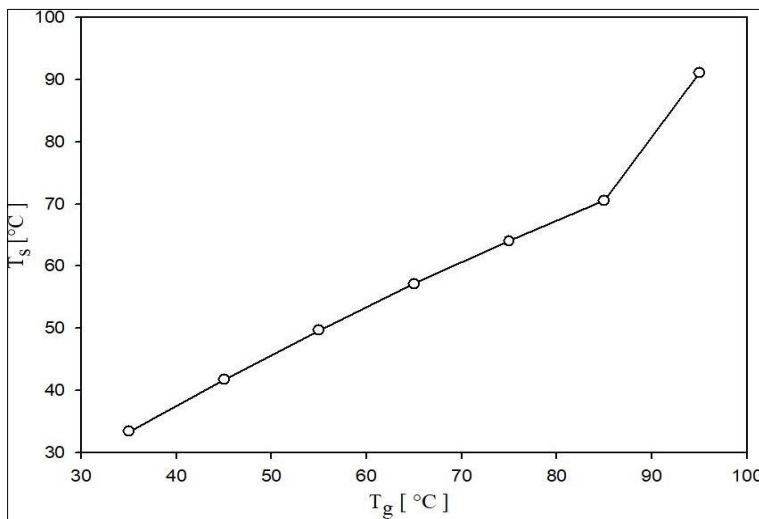


Şekil 5.30. Alt sac yüzeyinden elde edilen radyasyon miktarının su giriş sıcaklığı ile değişimi

Şekil 5.30'da alt yüzeyden elde edilen radyasyon miktarının ( $Q_R$ ), su giriş sıcaklığına bağlı değişimini gösteren grafik sunulmuştur. Toplam ısı transfer miktarı durumuna benzer şekilde, su giriş sıcaklık değeri arttıkça elde edilen net radyasyon değeri de artmaktadır.

Çünkü radyasyon yayıcı alt saca, borulardan aktarılan ısı değeri arttıkça alt sacdan da elde edilen net radyasyon değeri artmaktadır.

Radyasyon yayıcı yüzey sıcaklığının su giriş sıcaklığına bağlı değişimi gösteren grafik Şekil 5.31'de sunulmuştur. Toplam ısı transfer miktarı ve radyasyon miktarı değişimlerini gösteren grafiklerdekine benzer bir sonuç, grafikte görülmektedir. Su giriş sıcaklık değeri arttıkça yüksek sıcaklıklı suyun enerjisi daha fazla yüzeye aktarılmakta ve daha fazla yüzey alanı ısınmaktadır.

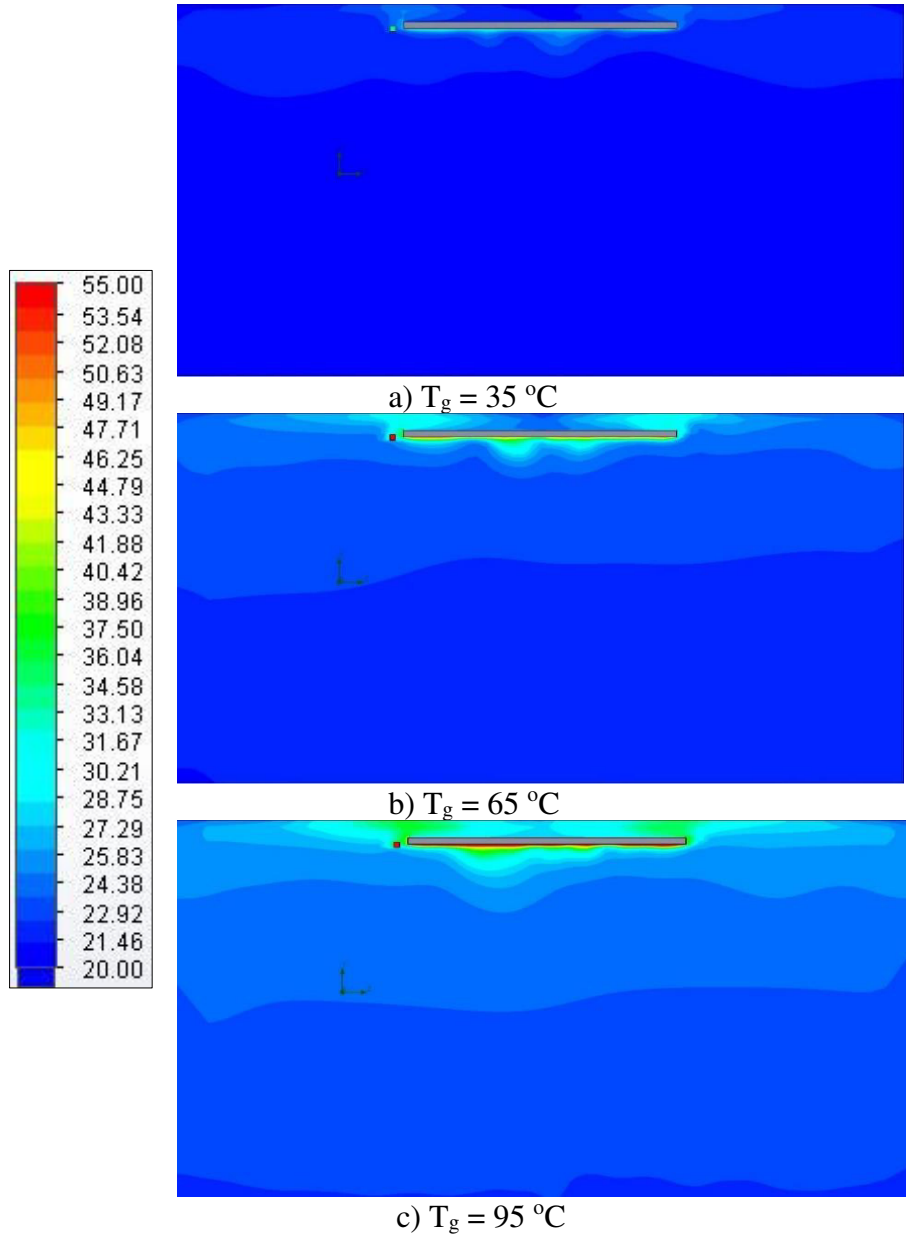


Şekil 5.31. Alt sac ortalama yüzey sıcaklığının su giriş sıcaklığı ile değişimi

### 5.2.1. Su giriş sıcaklığının sıcaklık ve hız dağılımına etkisi

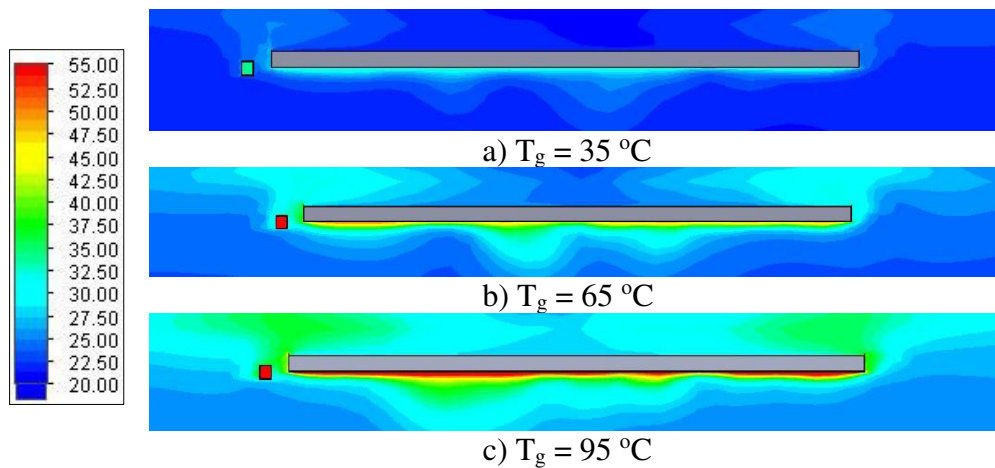
A2 kesitine ait oda içerisindeki sıcaklık konturlarının dağılımı Şekil 5.32'de gösterilmiştir. Su giriş sıcaklığı arttıkça oda içerisindeki sıcaklık değerleri de artmaktadır.

Panel bölgesi etrafındaki sıcaklık konturlarının dağılımını daha net incelemek amacıyla yakınlaştırılmış görüntüleri alınmıştır ve bu görüntüler Şekil 5.33'te gösterilmiştir. Su giriş sıcaklık değeri arttıkça panel bölgesindeki sıcaklık dağılımı da artmaktadır. Bu artış özellikle 95 °C değerinde daha net olarak görülmektedir. Su giriş sıcaklığı arttıkça borulardan panel yüzeylerine iletilen ısı miktarı artmakta ve odaya yayılan ısı miktarı da artmaktadır.

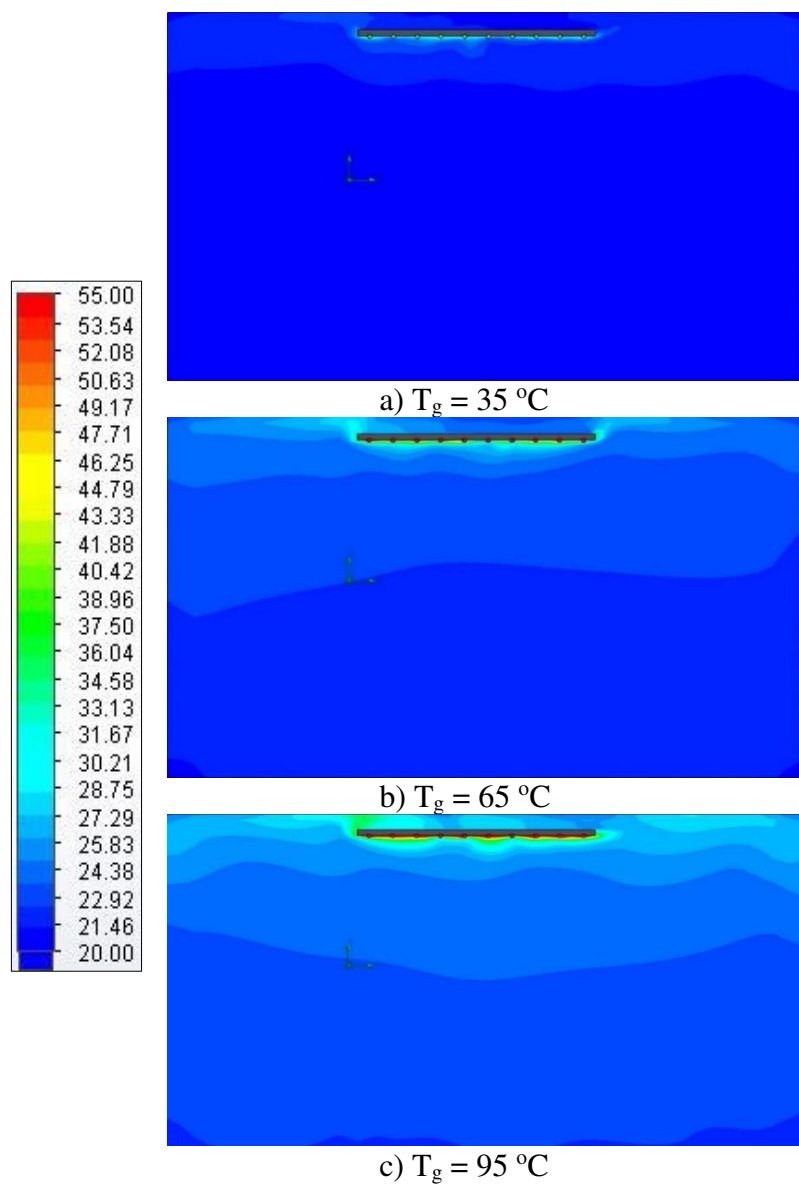


Şekil 5.32. A2 kesitinde oda içerisindeki sıcaklık dağılımına  $T_g$  değerinin etkisi

Panel bölgesi etrafındaki sıcaklık konturlarının dağılımını daha net incelemek amacıyla yakınlaştırılmış görüntüleri alınmıştır ve bu görüntüler Şekil 5.33'te gösterilmiştir. Su giriş sıcaklık değeri arttıkça panel bölgesindeki sıcaklık dağılımı da artmaktadır. Bu artış özellikle  $95^{\circ}\text{C}$  değerinde daha net olarak görülmektedir. Su giriş sıcaklığı arttıkça borulardan panel yüzeylerine iletilen ısı miktarı artmakta ve odaya yayılan ısı miktarı da artmaktadır. Su giriş sıcaklık değeri arttıkça panel bölgesindeki sıcaklık dağılımı da artmaktadır. Bu artış özellikle  $95^{\circ}\text{C}$  değerinde daha net olarak görülmektedir. Su giriş sıcaklığı arttıkça borulardan panel yüzeylerine iletilen ısı miktarı artmakta ve odaya yayılan ısı miktarı da artmaktadır.



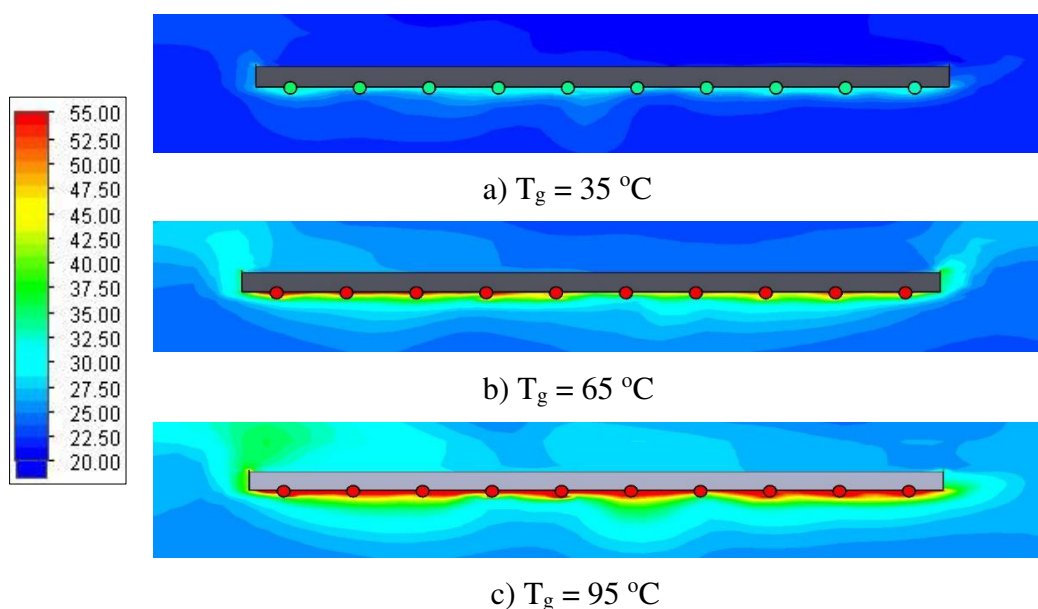
Şekil 5.33. A2 kesitinde panel bölgesindeki sıcaklık dağılımına  $T_g$  değerinin etkisi



Şekil 5.34. B2 kesitinde oda içerisindeki sıcaklık dağılımına  $T_g$  değerinin etkisi

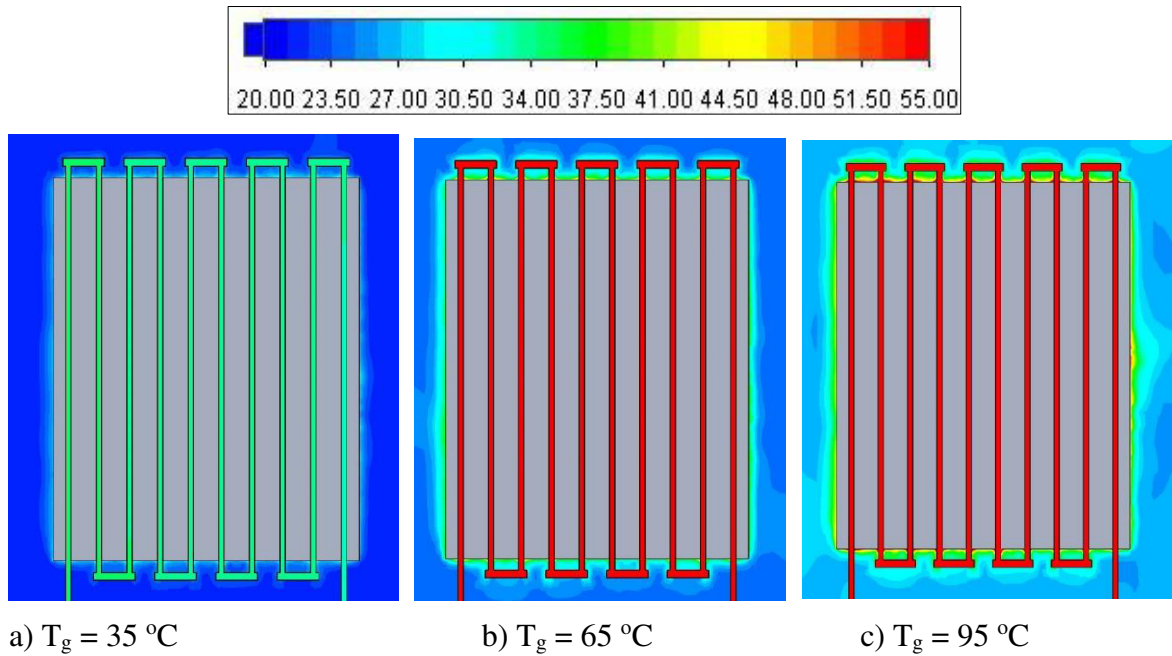
B2 kesitine ait oda içerisindeki sıcaklık konturlarının dağılımı Şekil 5.34'te gösterilmiştir. Sıcaklık dağılımları incelendiğinde A2 kesitindeki duruma benzer şekilde su giriş sıcaklığı arttıkça oda içerisinde sıcaklık değeri de artmaktadır. Su giriş sıcaklığı arttıkça borulardan panel yüzeylerine iletilen ısı miktarı artmakta ve odaya yayılan ısı miktarı da artmaktadır. Bu durum su giriş sıcaklığının  $35^{\circ}\text{C}$  ve  $95^{\circ}\text{C}$  olduğu durumlar kıyaslandığında net olarak gözlemlenmektedir. İlk durumda oda sıcaklık değeri düşük iken, ikinci durumda ise oda zemininden tavana doğru sıcaklık değerinin giderek arttığı görülmektedir. Özellikle de panel bölgesindeki artış net olarak görülmektedir.

B2 kesitinde panel bölgesindeki sıcaklık dağılımını daha net görebilmek amacıyla yakınlaştırılmış görüntüleri Şekil 5.35'te gösterilmiştir. Su giriş sıcaklığı arttıkça borulardan panel yüzeylerine iletilen ısı miktarı artmakta ve panellerden odaya yayılan ısı miktarı da artmaktadır.



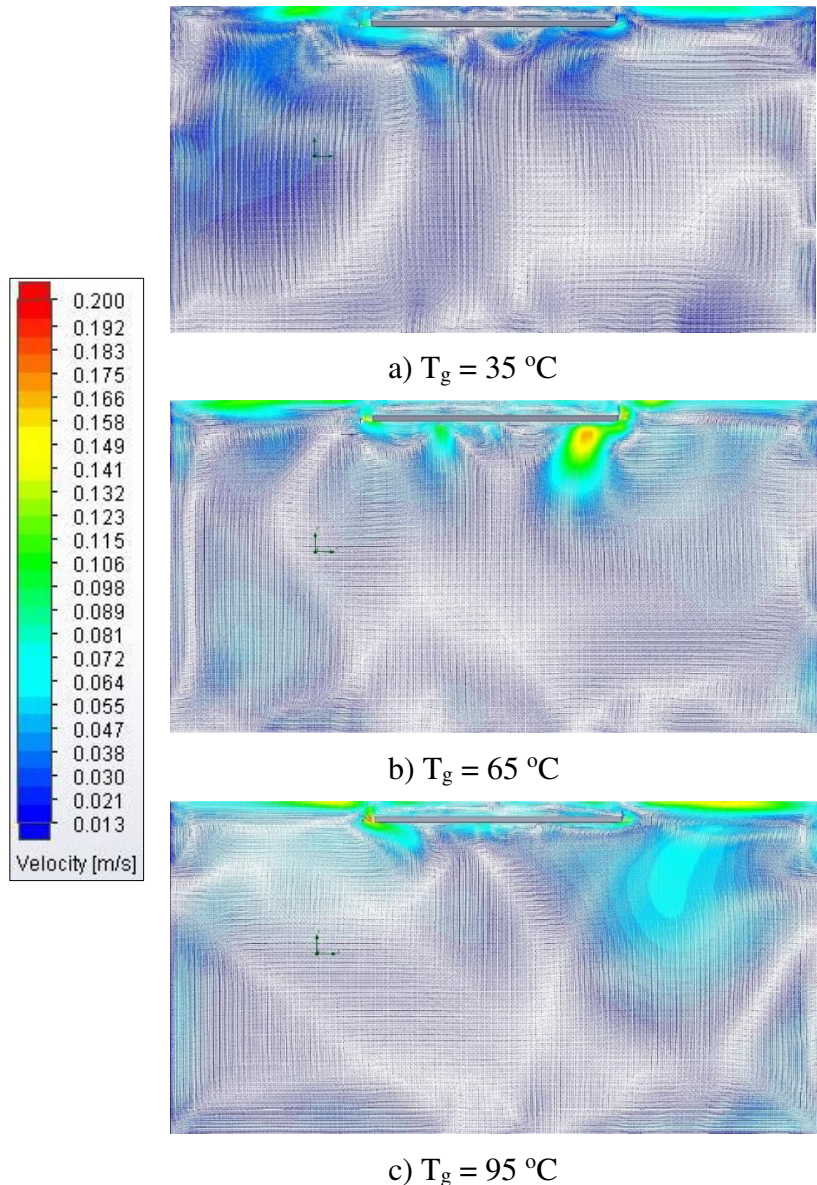
Şekil 5.35. B2 kesitinde panel bölgesindeki sıcaklık dağılımına  $T_g$  değerinin etkisi

C1 kesiti sistemdeki boruların tam ortasından kesmekte olup bu kesite ait panel bölgesindeki sıcaklık dağılımı Şekil 5.36'da gösterilmiştir. A2 ve B2 kesitleri için panel bölgesindeki sıcaklık dağılımlarındaki durumlara benzer şekilde su giriş sıcaklık değeri arttıkça panel bölgesindeki sıcaklık değerinin arttığı görülmektedir.



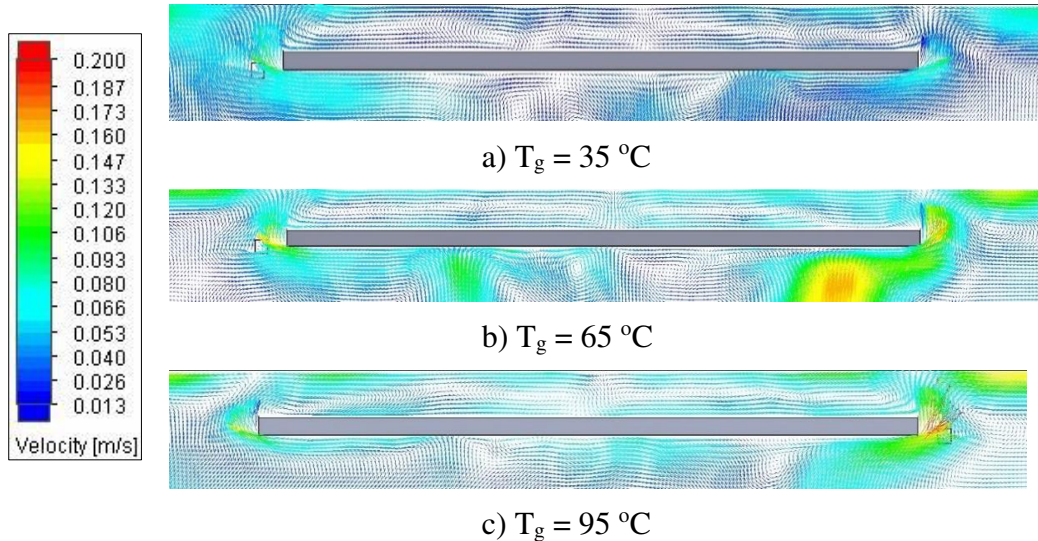
Şekil 5.36. C1 kesitinde panel bölgesindeki sıcaklık dağılımına  $T_g$  değerinin etkisi

Sıcaklık dağılımlarının ardından aynı kesitler için hız dağılımları sunulmuştur. A2 kesiti için oda içerisindeki hız dağılımı Şekil 5.37'de gösterilmiştir. Su giriş sıcaklık değeri arttıkça panelin üst bölgesiyle oda tavanı arasındaki bölgede hız değerlerinin artış gösterdiği görülmektedir. Sıcaklık değerinin  $65\text{ }^{\circ}\text{C}$  olduğu durumda panelin alt bölgesinde, sağ taraftaki giriş bölümüne yakın bölümünde hız değerinin artış gösterdiği görülmektedir.



Şekil 5.37. A2 kesitinde oda içerisindeki hız dağılımına  $T_g$  değerinin etkisi

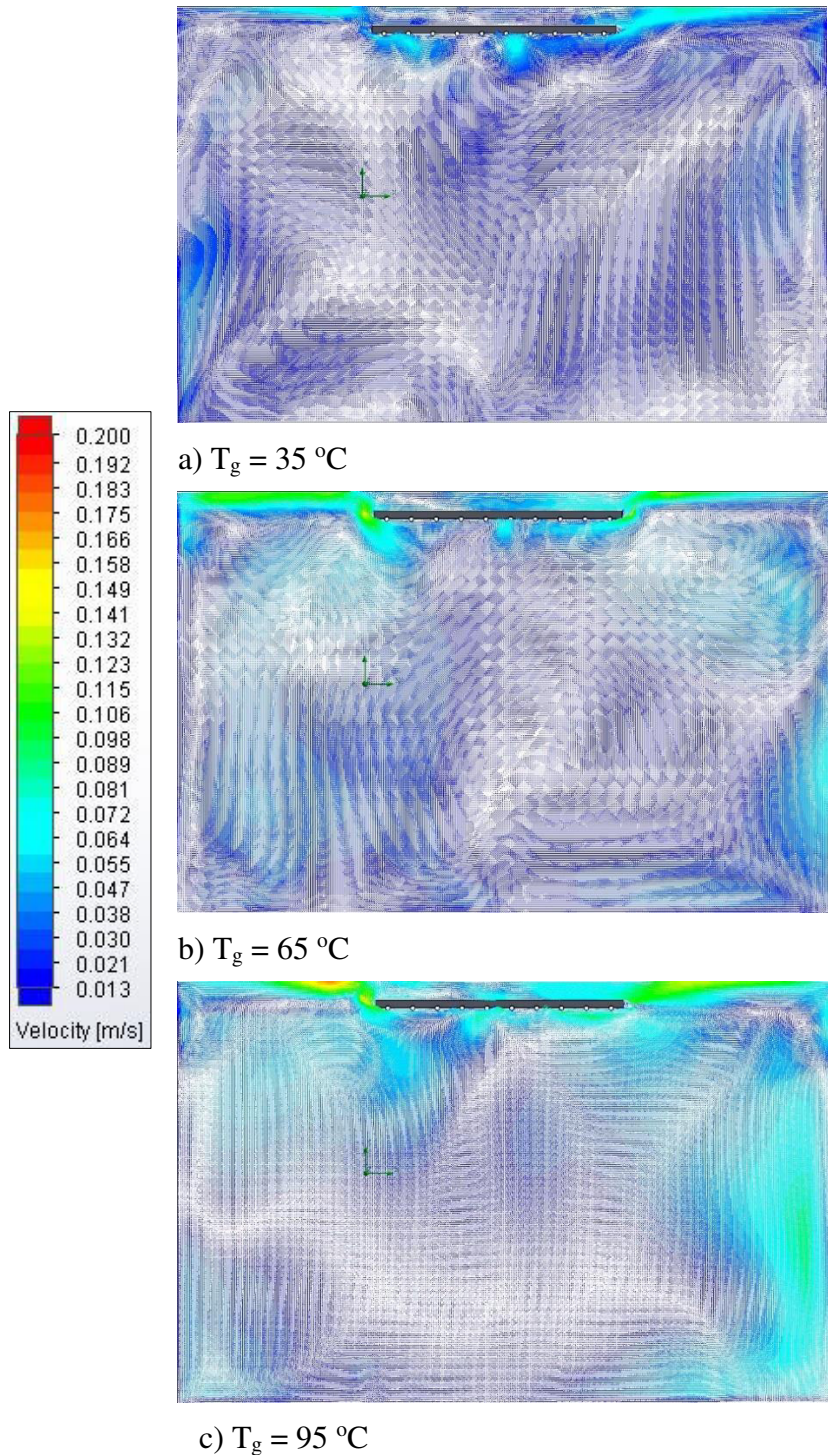
Şekil 5.37'de özellikle panel bölgesindeki hız dağılımını daha net görebilmek amacıyla panel bölgesinde yakınlaştırılmış görüntü Şekil 5.38'de sunulmuştur. Panelin sağ ve sol bölümündeki sıcaklık değerlerinin, su giriş sıcaklık değeri arttıkça arttığı görülmektedir. Su giriş sıcaklığı arttıkça panelin alt yüzey ortalama yüzey sıcaklığı ve çerçeveyenin sıcaklığı artmaktadır ve bu bölgelerde hava ısınarak ve hız değeri artarak tavana doğru yükselmektedir. Sıcaklığın  $35\text{ }^{\circ}\text{C}$  olduğu durumda panelin alt ve üst bölgesinde düzensizlikler görülmektedir. Fakat sıcaklık değeri arttıkça hem yüzey sıcaklık değerinin artmasıyla hem de taşının etkilerinden dolayı hız vektörleri daha düzenli bir duruma geçmektedir. Panelin üst bölgesinde ise yalıtım malzemesi ısısı tuttuğundan dolayı sıcaklık farkı fazla olmamakta ve çok yüksek sıcaklık artışı gözlemlenmemektedir.



Şekil 5.38. A2 kesitinde panel bölgesindeki hız dağılımına  $T_g$  değerinin etkisi

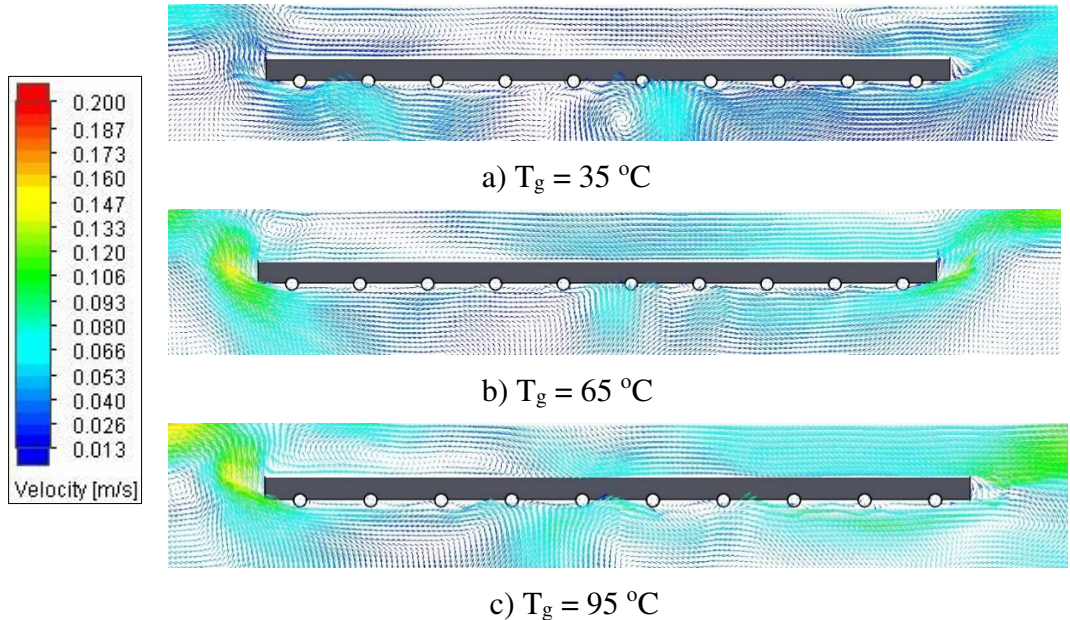
B2 kesiti için oda içerisindeki hız dağılımı Şekil 5.39'da gösterilmiştir. Su giriş sıcaklık değeri arttıkça hem panel bölgesinde hem de odanın belli bölgelerinde hız değerlerinin arttığı görülmektedir. Sıcaklığın  $95 \text{ } ^\circ\text{C}$  olduğu durumda odanın sağ duvar bölgesinde sıcaklık değerinin arttığı görülmektedir.

Oda boyutlarının büyük olmasından dolayı hız vektörleri net olarak görülememektedir. Oda içindeki hız dağılımı gösteriminin ardından, hız vektörlerini daha net görebilmek amacıyla panel bölgesindeki hız vektor dağılımı ayrıca sunulmuştur.



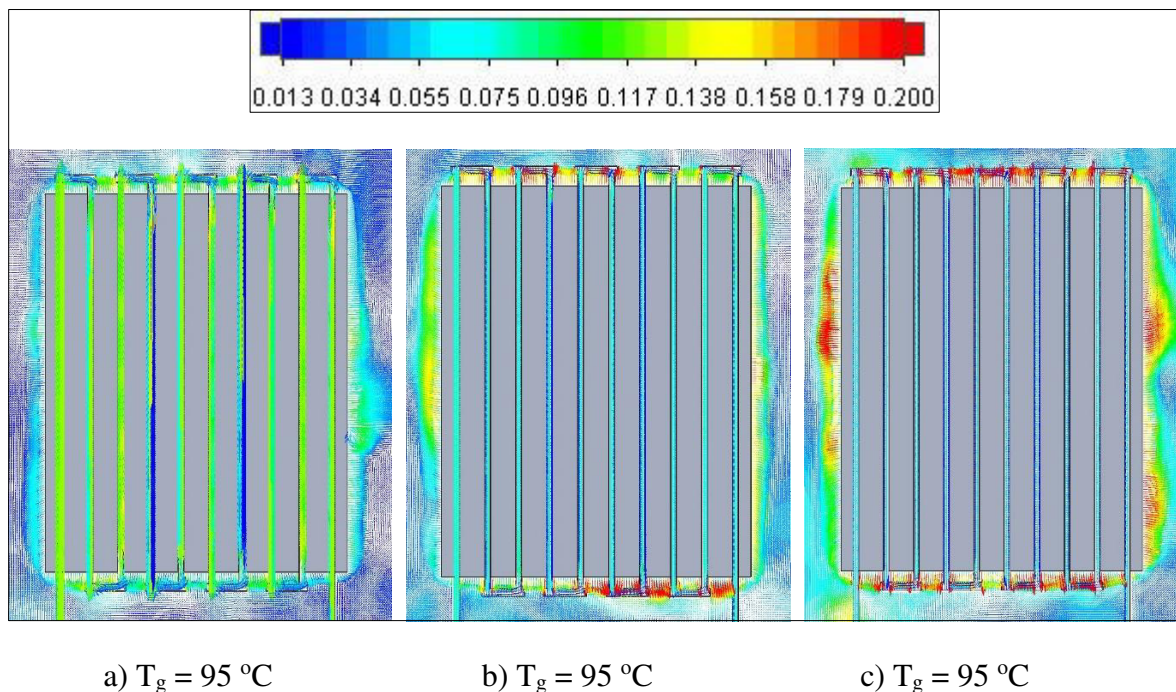
Şekil 5.39. B2 kesitinde oda içerisindeki hız dağılımına  $T_g$  değerinin etkisi

Şekil 5.40'da B2 kesiti için panel bölgesindeki hız dağılımları sunulmuştur. Su giriş sıcaklık değeri arttıkça panele ve çerçeveye aktarılan ısı miktarı artmakta, dolayısıyla yüzeylerdeki sıcaklık artmaktadır. Yalıtım malzemesinin ve tanımının olmadığı yan ve alt bölgelerde yüzey sıcaklığının artışından dolayı hız vektörleri artmakta ve yükselmektedir.



Şekil 5.40. A2 kesitinde panel bölgesindeki hız dağılımına  $T_g$  değerinin etkisi

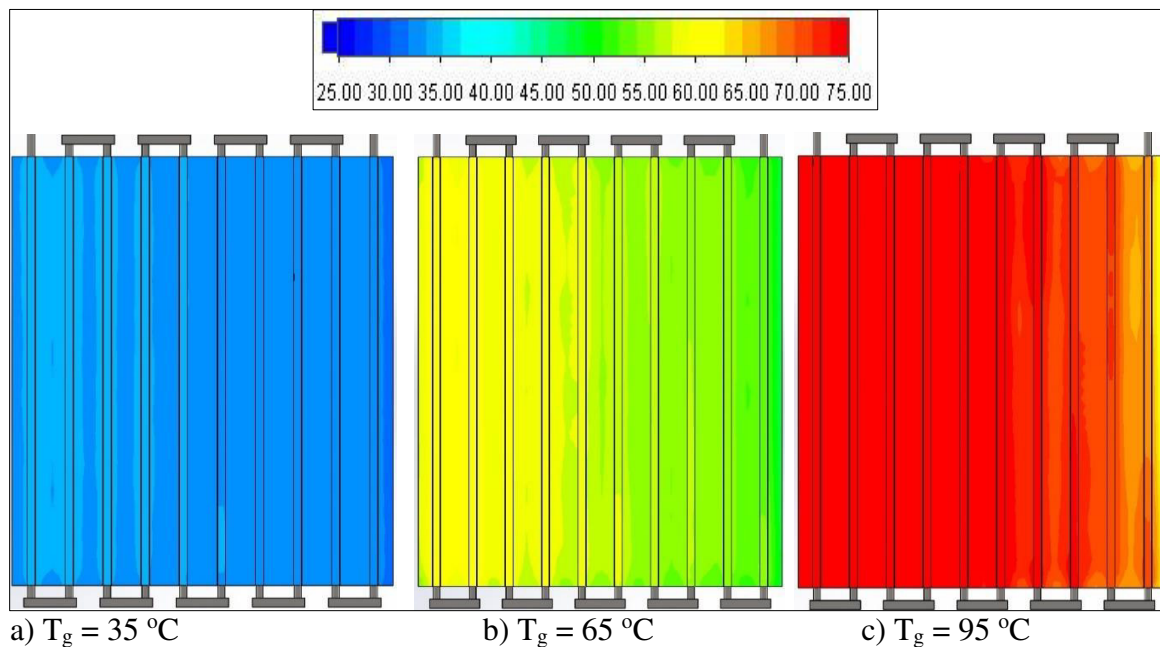
C1 kesitine ait panel bölgesindeki hız dağılımları Şekil 5.41'de sunulmuştur. Su giriş sıcaklık değeri arttıkça panel etrafındaki hız değerleri de artmaktadır.



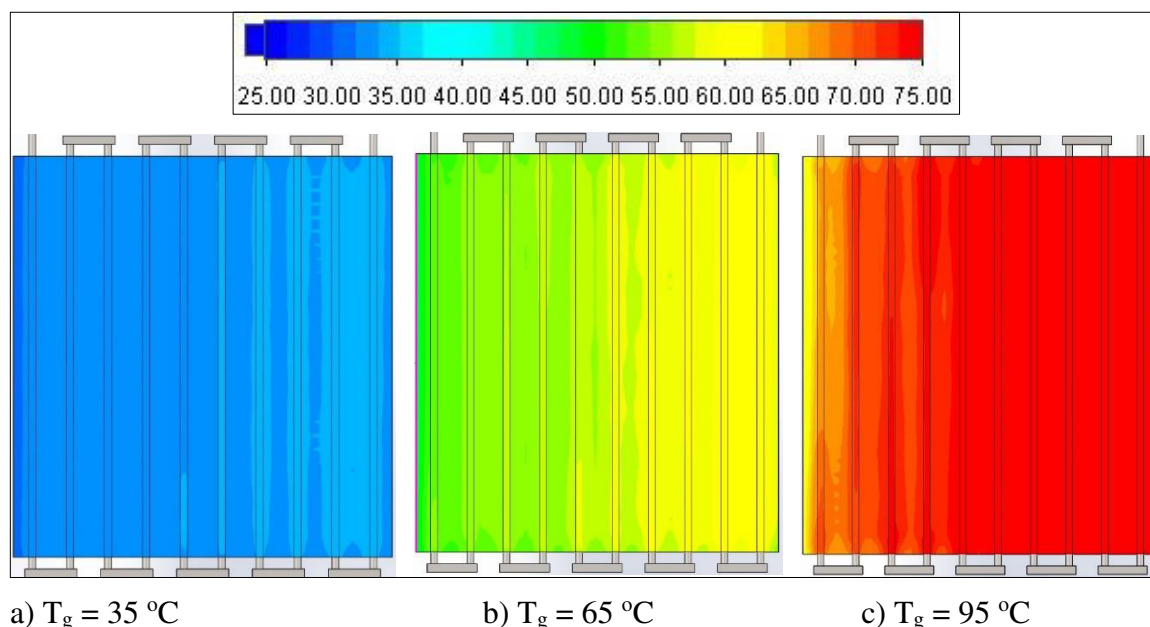
Şekil 5.41. C1 kesitinde panel bölgesindeki hız dağılımına  $T_g$  değerinin etkisi

### 5.2.2. Su giriş sıcaklığının boruyu çevreleyen saclar üzerindeki etkisi

Şekil 5.42'de su giriş sıcaklığına bağlı, tavan tipi sulu radyant panelin alt bölümündeki radyasyon yayıcı alüminyum sacdaki sıcaklık dağılımları gösterilmiştir. Su giriş sıcaklığı arttıkça borulardan saca iletilen ısı miktarı da artmaktadır.



Şekil 5.42. Alt sacdaki sıcaklık dağılımına  $T_g$  değerinin etkisi

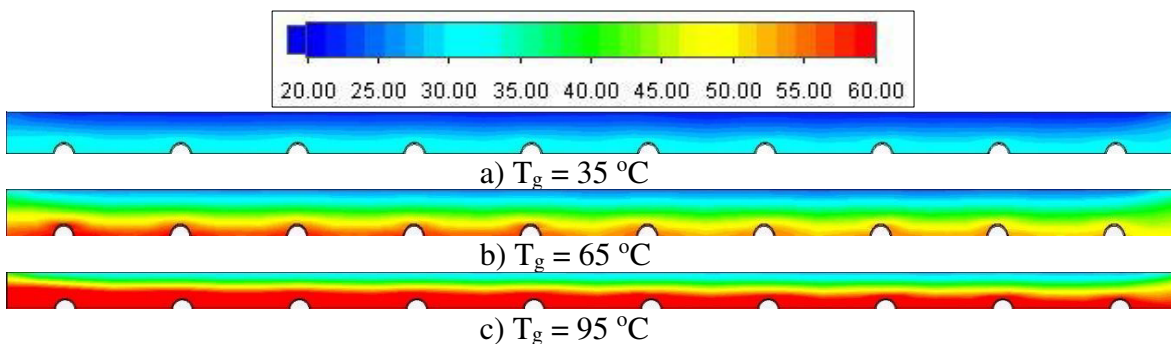


Şekil 5.43. Üst sacdaki sıcaklık dağılımına  $T_g$  değerinin etkisi

Şekil 5.43'te borular ile yalıtmalzemesi arasında kalan üst sac üzerindeki sıcaklık dağılımları gösterilmiştir. Alt sacdaki duruma benzer bir sıcaklık dağılımı gözlenmekte olup giriş sıcaklığı değeri arttıkça üst saca iletilen ısı miktarı da artmaktadır.

### 5.2.3. Su giriş sıcaklığının yalıtmalzemesi içindeki sıcaklık dağılımına etkisi

Su giriş sıcaklığının yalıtmalzemesi üzerindeki etkisini görmek amacıyla yalıtmalzemesinin B2 kesitindeki sıcaklık dağılımı Şekil 5.44'te sunulmuştur. Sıcaklık değerinin düşük olduğu durumda yalıtmalzemesindeki sıcaklık değerleri düşük iken su giriş sıcaklığı değeri arttıkça yalıtmalzemesindeki sıcaklık değeri de artmaktadır. Özellikle giriş bölümünde sıcaklık değerlerinin çıkışa kıyasla yüksek olduğu görülmektedir.



Şekil 5.44. B2 kesitinde yalıtmalzemesindeki sıcaklık dağılımına  $T_g$  değerinin etkisi

### 5.3. Oda Duvar Sıcaklığının Performans Üzerindeki Etkisi

Su giriş sıcaklığı çalışmasının ardından, oda duvar sıcaklığının sistem performansı üzerindeki etkisi incelenmiştir. Bu kapsamda Çizelge 5.5'te çalışmada kullanılan sabit ve değişken değerler gösterilmiştir. Oda duvar sıcaklığının sistem performansı üzerindeki etkisini görmek amacıyla giriş sıcaklığı 5 °C ve 25 °C aralığında arttırılarak toplam 5 analiz gerçekleştirilmiştir.

Oda duvar sıcaklığı ( $T_d$ ) her durum için değiştirilmiştir. Su giriş sıcaklık değeri ve debi değeri değişmediği için dinamik viskozite ( $\mu$ ) değeri tüm durumlar için aynıdır. Su giriş sıcaklık değeri aynı olduğu için her durumda giriş entalpi değeri de aynıdır. Su çıkış sıcaklık değeri her durumda değiştiği için, sıcaklık değerine karşılık gelen çıkış entalpi değerleri tablolar yardımıyla belirlenip toplam ısı transfer miktarı hesaplanmıştır.

Çizelge 5.5. Oda duvar sıcaklığı analizinde kullanılan parametreler

Parametre	Değer
Re	4000
Su Giriş Sıcaklığı $T_g$ (°C)	75
Panel Yayıcılık Katsayısı $\epsilon_p$	0,93
Oda Duvarları Yayıcılık Katsayısı $\epsilon_d$	0,93
Oda Duvar Sıcaklığı $T_d$ (°C)	5, 10, 15, 20, 25

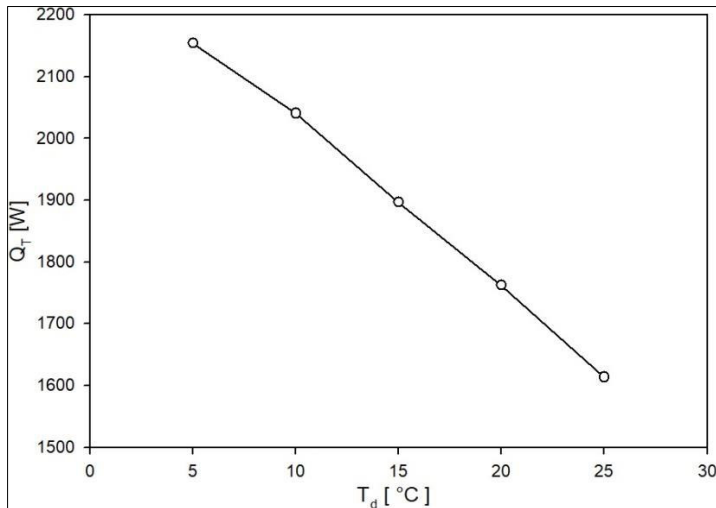
Kütlesel debi, giriş ve çıkış entalpi değerleri elde edildikten sonra Eş.3.15. yardımıyla toplam ısıl güç ( $Q_T$ ) değeri elde edilmiştir. Elde edilen  $Q_T$  değerleri yardımıyla grafik oluşturulmuştur.

Çizelge 5.6'da her bir oda duvar sıcaklık değeri için elde edilen giriş entalpi ( $h_g$ ), kütlesel debi ( $\dot{m}$ ), çıkış sıcaklık ( $T_c$ ), çıkış entalpi ( $h_c$ ) ve toplam ısı transfer (ısıl güç) ( $Q_T$ ) değerleri sunulmuştur.

Çizelge 5.6.  $T_d$  çalışması için hesaplanan değerler

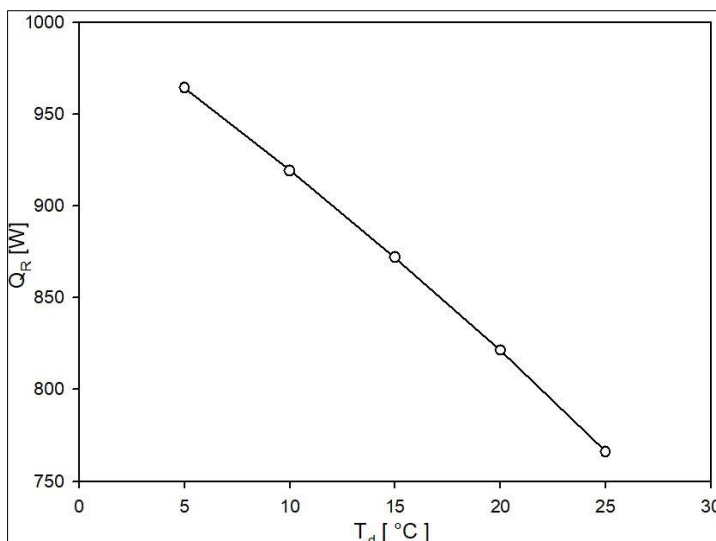
$T_d$ (°C)	$T_g$ (°C)	$h_g$ (kj/kg)	$\dot{m}$ (Kg/s)	$T_c$ (°C)	$h_c$ (kj/kg)	$Q_T$ (W)
5	75	314,03	0,029673	57,34	241,45	2153,66
10	75	314,03	0,029673	58,49	245,26	2040,61
15	75	314,03	0,029673	59,65	250,11	1896,69
20	75	314,03	0,029673	60,83	254,65	1761,98
25	75	314,03	0,029673	62,04	259,64	1613,91

Toplam ısı transfer miktarının değişimine ait grafik Şekil 5.45'te sunulmuştur. Grafikte gösterilen ısıl güç değerleri, eşitlikler yardımıyla hesaplanarak Çizelge 5.6'da sunulan değerler kullanılarak oluşturulmuştur. Grafikten de görüldüğü üzere, oda duvar sıcaklık değeri arttıkça elde edilen toplam ısı transfer değeri azalmaktadır. Bunun nedeni, sisteme giriş yapan su sıcaklığı sabit olduğu için radyasyon yayıcı alt sac yüzeyinin sıcaklık değeri her durumda aynı kalmakta iken oda duvar sıcaklık değerinin değişimiyle yüzey ile oda sıcaklık değerleri arasındaki farkın azalmasıdır. Dolayısıyla grafikteki gibi elde edilen toplam ısı transfer miktarı oda duvar sıcaklığı arttıkça azalmaktadır.



Şekil 5.45. Toplam ısı transfer miktarının oda duvar sıcaklığı ile değişimi

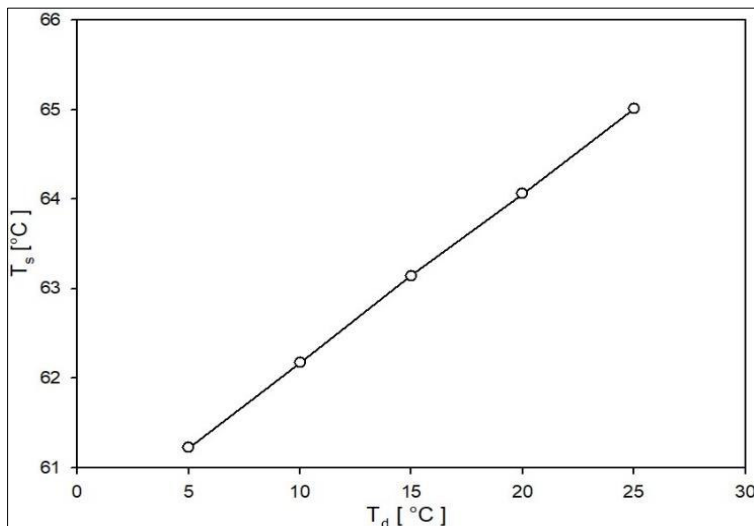
Şekil 5.46'da alt sac yüzeyinden elde edilen radyasyon miktarının ( $Q_R$ ), oda duvar sıcaklığına bağlı değişimini gösteren grafik sunulmuştur. Toplam ısı transfer değişimine benzer şekilde, oda duvar sıcaklık değeri arttıkça elde edilen radyasyon miktarı da azalmaktadır. Çünkü radyasyon yayıcı alt sac yüzey ile oda sıcaklığı arasındaki sıcaklık farkı azaldıkça elde edilen radyasyon miktarı azalmaktadır.



Şekil 5.46. Alt sac yüzeyinden elde edilen radyasyon miktarının oda duvar sıcaklığı ile değişimi

Radyasyon yayıcı alt yüzey ortalama sıcaklığının oda duvar sıcaklığına bağlı değişimini gösteren grafik Şekil 5.47'de sunulmuştur. Grafikten de görüldüğü üzere oda duvar

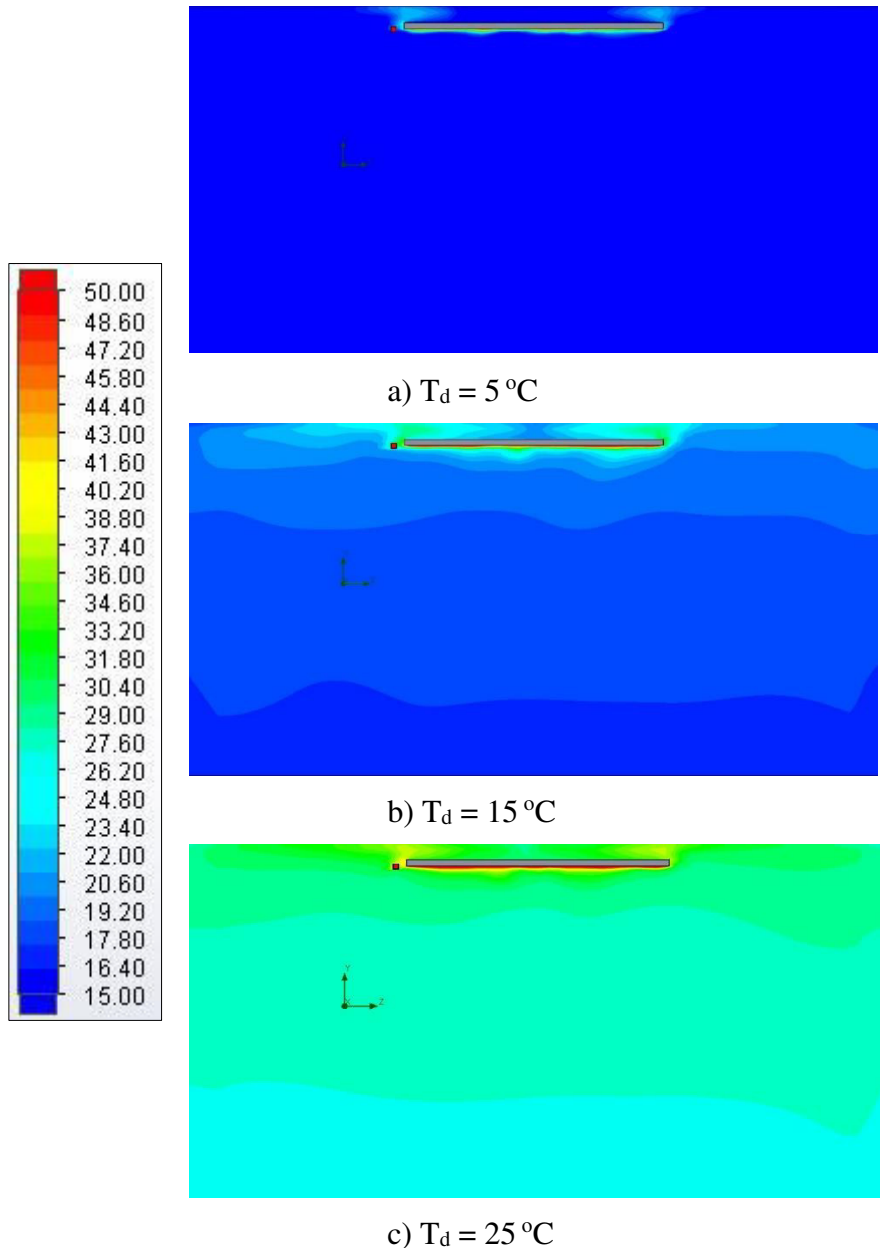
sıcaklığındaki  $20^{\circ}\text{C}$ 'lik artışa karşılık alt yüzey ortalama sıcaklığında yaklaşık  $4^{\circ}\text{C}$ 'lik artış gözlemlenmiştir.



Şekil 5.47. Alt sac ortalama yüzey sıcaklığının oda duvar sıcaklığı ile değişimi

### 5.3.1. Oda duvar sıcaklık değerinin sıcaklık ve hız dağılımına etkisi

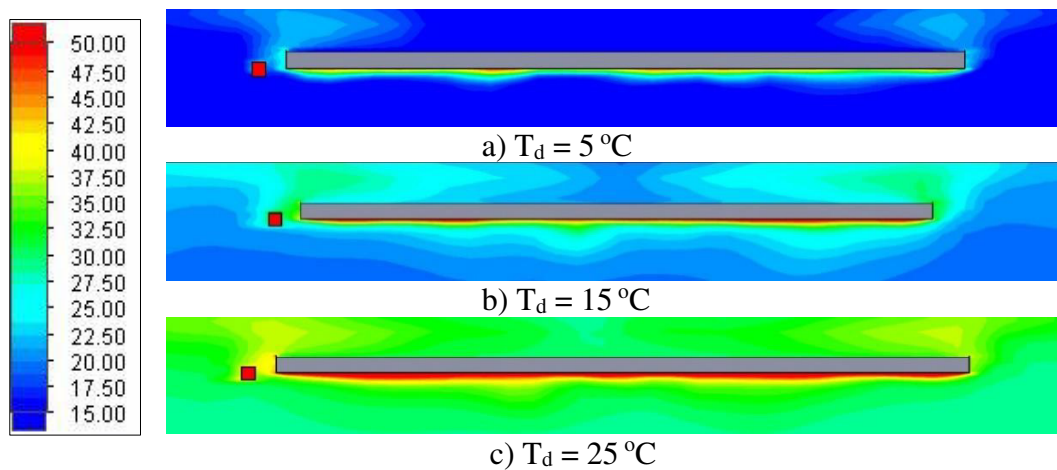
Grafiklerin gösterimini ardından oda duvar sıcaklık değerinin hem oda içerisindeki hem de panel bölgesindeki sıcaklık ve hız dağılımına etkisi sunulmuştur. Bu amaçla oda sıcaklık değerinin  $5^{\circ}\text{C}$ ,  $15^{\circ}\text{C}$  ve  $25^{\circ}\text{C}$  değerleri için; sistemi ortadan kesen A2, B2 kesitlerinde hem oda hem de panel bölgesindeki dağılımlar kullanılmıştır. Bunlara ilave olarak sistemdeki boruların tam ortasından geçen C1 kesiti için panel bölgesindeki dağılım da sunulmuştur.



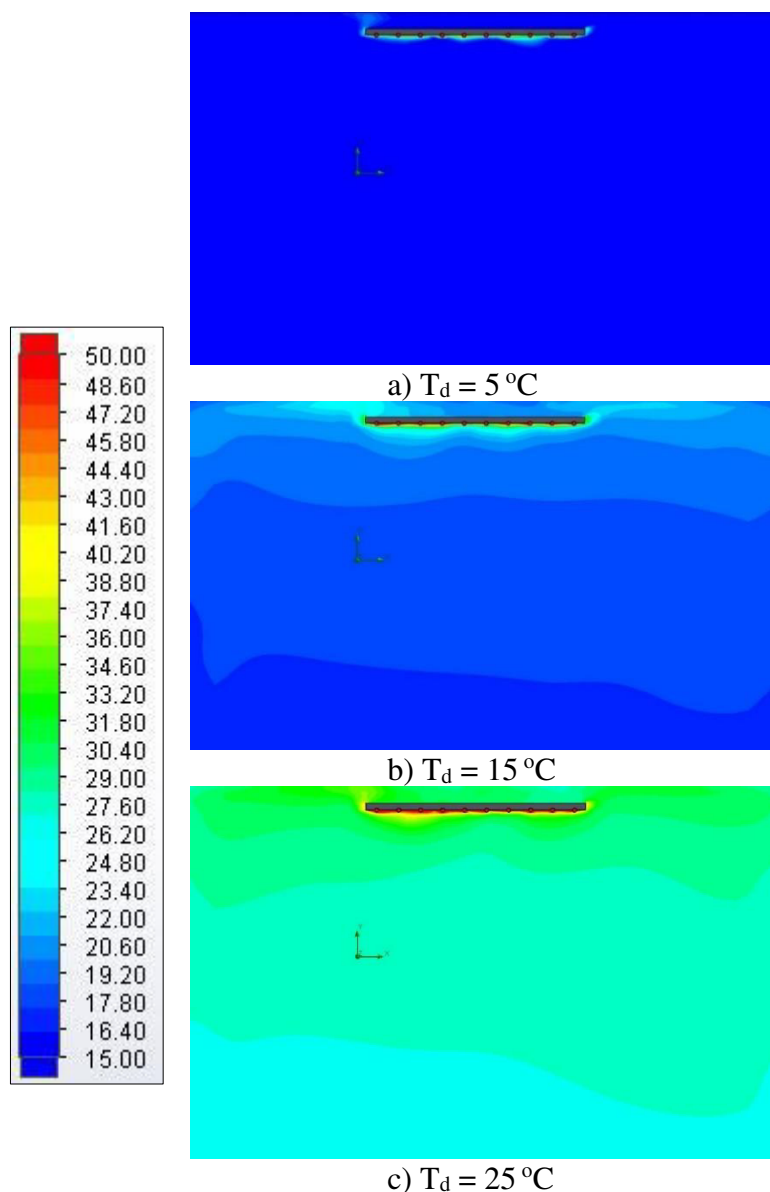
Şekil 5.48. A2 kesitinde oda içerisindeki sıcaklık dağılımına  $T_d$  değerinin etkisi

Şekil 5.48'de A2 kesiti için oda içerisindeki sıcaklık dağılımı sunulmuştur. Şekilden de net bir şekilde görülebildiği üzere oda duvar sıcaklık değeri arttıkça hem oda hem de panel bölgesi etrafındaki sıcaklık değerleri artmaktadır.

Panel bölgesindeki sıcaklık dağılımını daha net görebilmek amacıyla yakınlaştırılmış görüntüleri Şekil 5.49'da sunulmuştur. Oda duvar sıcaklığının artmasıyla beraber radyant panel bölgesindeki sıcaklık değerleri belirgin bir şekilde artmaktadır.



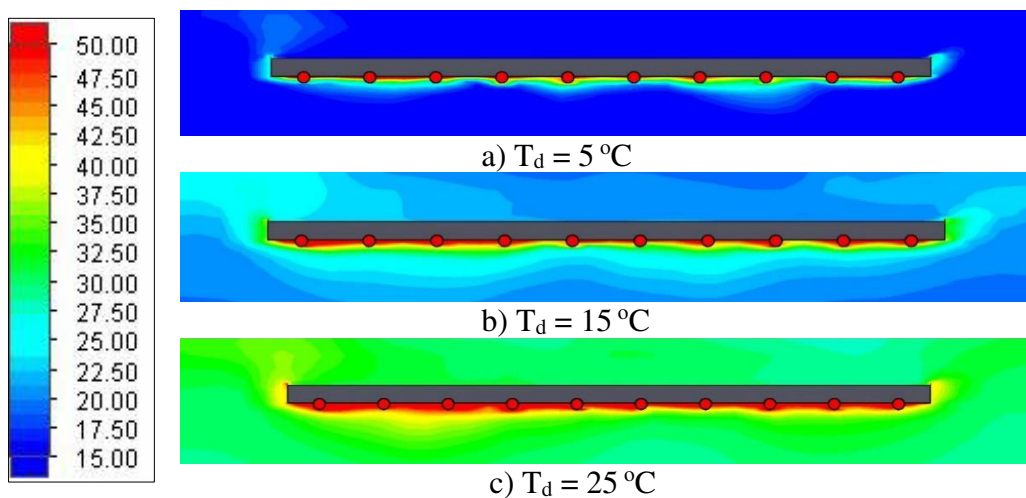
Şekil 5.49. A2 kesitinde panel bölgesindeki sıcaklık dağılımına  $T_d$  değerinin etkisi



Şekil 5.50. B2 kesitinde oda içerisindeki sıcaklık dağılımına  $T_d$  değerinin etkisi

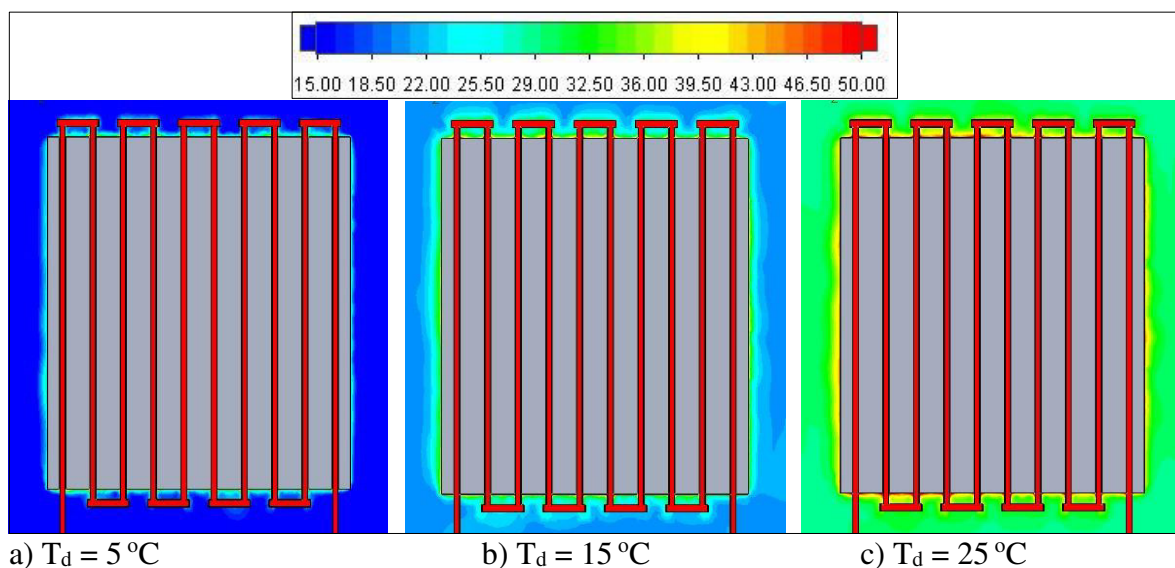
Şekil 5.50'de B2 kesiti için oda içerisindeki sıcaklık dağılımı sunulmuştur. A2 kesitindeki duruma benzer şekilde oda duvar sıcaklığı arttıkça hem oda hem de panel bölgesindeki sıcaklık değerleri artmaktadır.

B2 kesitinde panel bölgesindeki sıcaklık dağılımını daha net görebilmek amacıyla yakınlaştırılmış görüntülerini Şekil 5.51'de sunulmuştur. Oda duvar sıcaklığının artışıyla panel bölgesindeki sıcaklık değerlerinin arttığı görülmektedir.



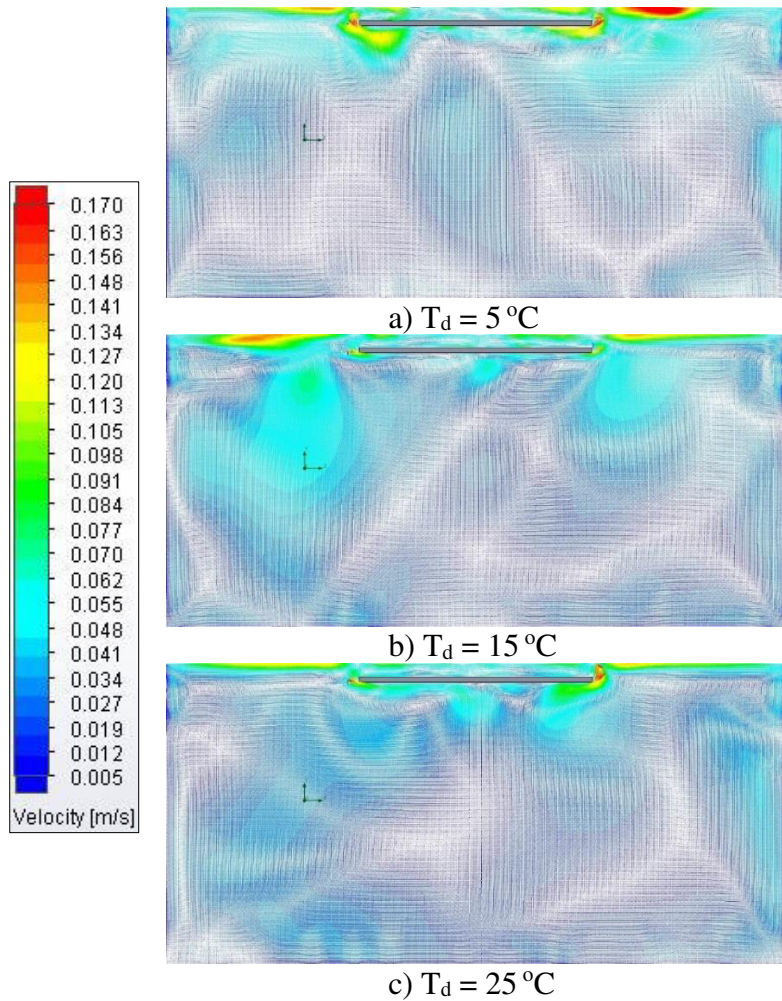
Şekil 5.51. B2 kesitinde oda içerisindeki sıcaklık dağılımına  $T_d$  değerinin etkisi

C1 kesiti sistemdeki boruların tam ortasından geçmektedir ve bu kesite ait panel bölgesindeki sıcaklık dağılımı Şekil 5.52'de sunulmuştur

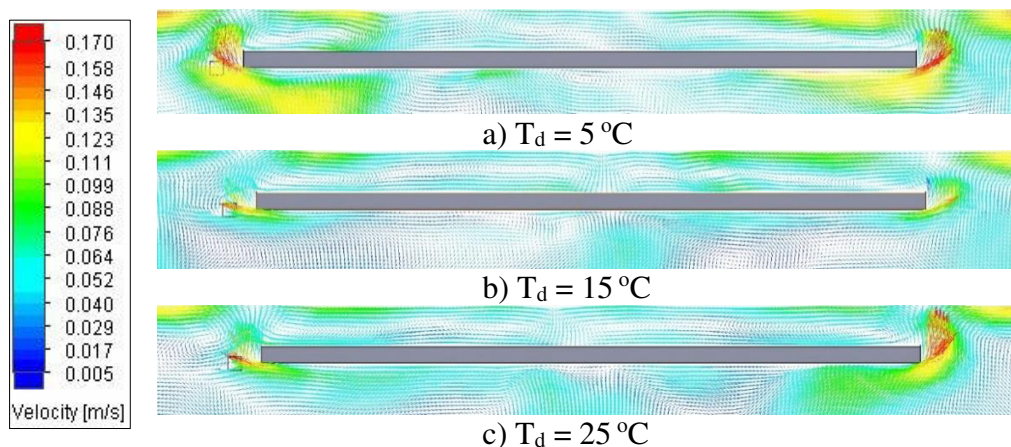


Şekil 5.52. C1 kesitinde panel bölgesindeki sıcaklık dağılımına  $T_d$  değerinin etkisi

Sıcaklık dağılımlarının ardından A2, B2 ve C1 kesitleri için oda ve panel bölgesindeki hız dağılımları sunulmuştur. Şekil 5.53'te A2 kesiti için oda içerisindeki hız dağılımı gösterilmiştir.



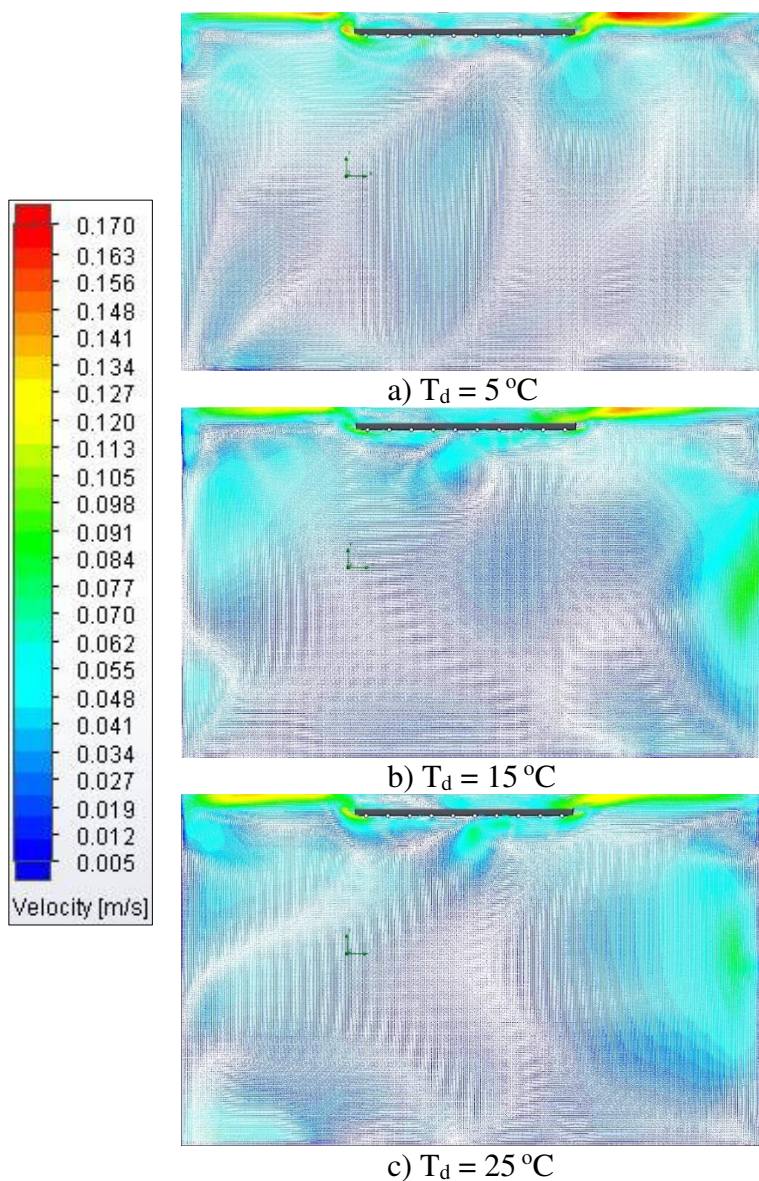
Şekil 5.53. A2 kesitinde oda içerisindeki hız dağılımına  $T_d$  değerinin etkisi



Şekil 5.54. A2 kesitinde panel bölgesindeki hız dağılımına  $T_d$  değerinin etkisi

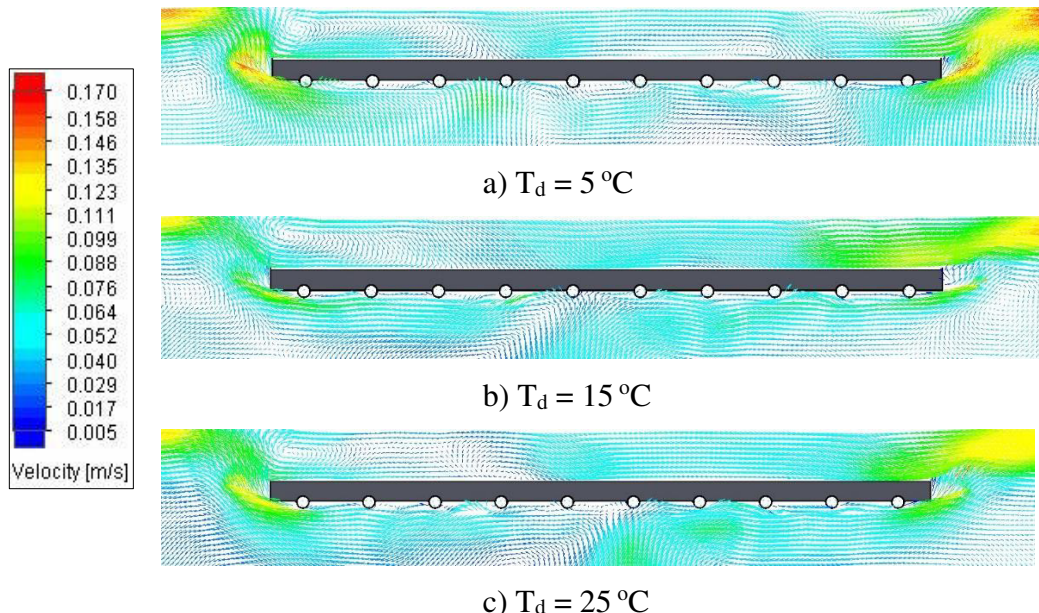
Oda ölçülerinden dolayı panel bölgesindeki hız dağılımı net görülememektedir. Bu amaçla Şekil 5.54'te panel bölgesinin yakınlaştırılmış görüntüleri sunulmuştur. Oda duvar sıcaklığının  $5^{\circ}\text{C}$  olduğu durumda panelin giriş bölümüne yakın sağ tarafında ve kolektöre yakın sol tarafında sıcaklık değerinin yüksek olduğu ve tavana doğru yükselmekte olduğu görülmektedir. Bu durum sıcaklığın  $15^{\circ}\text{C}$  olduğu durumda gözlemlenmemekte fakat sıcaklık  $25^{\circ}\text{C}$  olduğu durumda giriş bölümüne yakın olan sağ tarafta benzer bir durum görülmektedir.

Şekil 5.55'te B2 kesiti için oda içerisindeki hız dağılımı sunulmuştur. 3 durum için de hız değerlerinin birbirlerine yakın olduğu gözlemlenmiştir



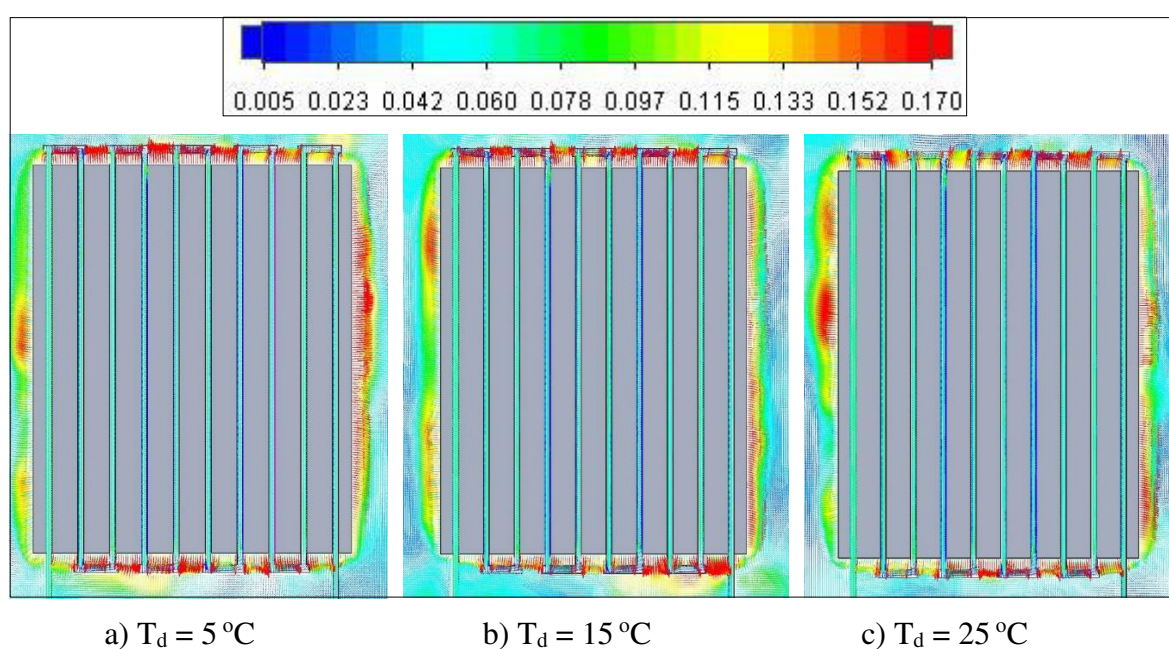
Şekil 5.55. B2 kesitinde oda içerisindeki hız dağılımına  $T_d$  değerinin etkisi

B2 kesiti için panel bölgesindeki hız dağılımını daha net görebilmek amacıyla panel bölgelere ait yakınlaştırılmış görüntüler Şekil 5.56'da sunulmuştur. 3 durumda da hız değerlerinin birbirlerine yakın olduğu görülmüştür.



Şekil 5.56. B2 kesitinde panel bölgesindeki hız dağılımına  $T_d$  değerinin etkisi

Şekil 5.57'de ise C1 kesiti için panel bölgesindeki hız dağılımı sunulmuştur. 3 durumda birbirleriyle benzerlik göstermektedir.

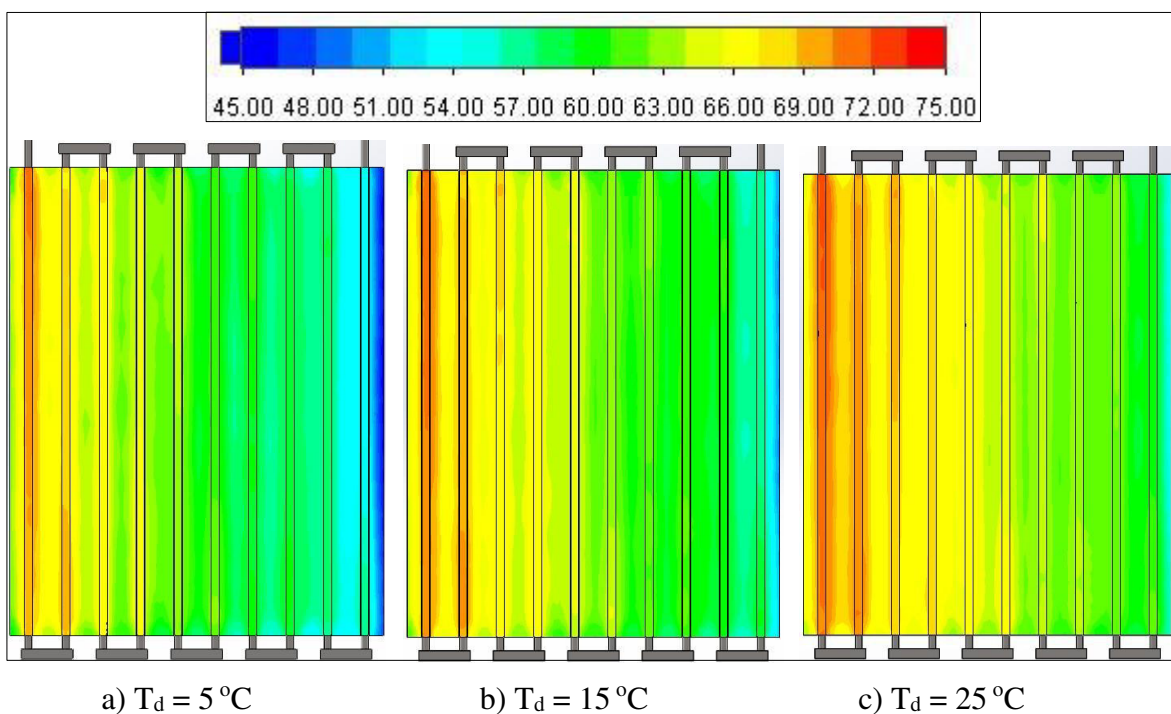


Şekil 5.57. C1 kesitinde panel bölgesindeki hız dağılımına  $T_d$  değerinin etkisi

Oda sıcaklık değerinin farklı olduğu 3 durumda da kolektör bölgelerindeki hız değerleri birbirlerine yakın değerlerde olduğu görülmektedir. Panele giriş yapan suyun taşıdığı sol taraftaki boru tarafında sıcaklığın  $25^{\circ}\text{C}$  olduğu durumda hız değerinin arttığı görülmekte iken çıkış borusuna yakın olan sol tarafta ise hız değerleri düşüş göstermektedir.

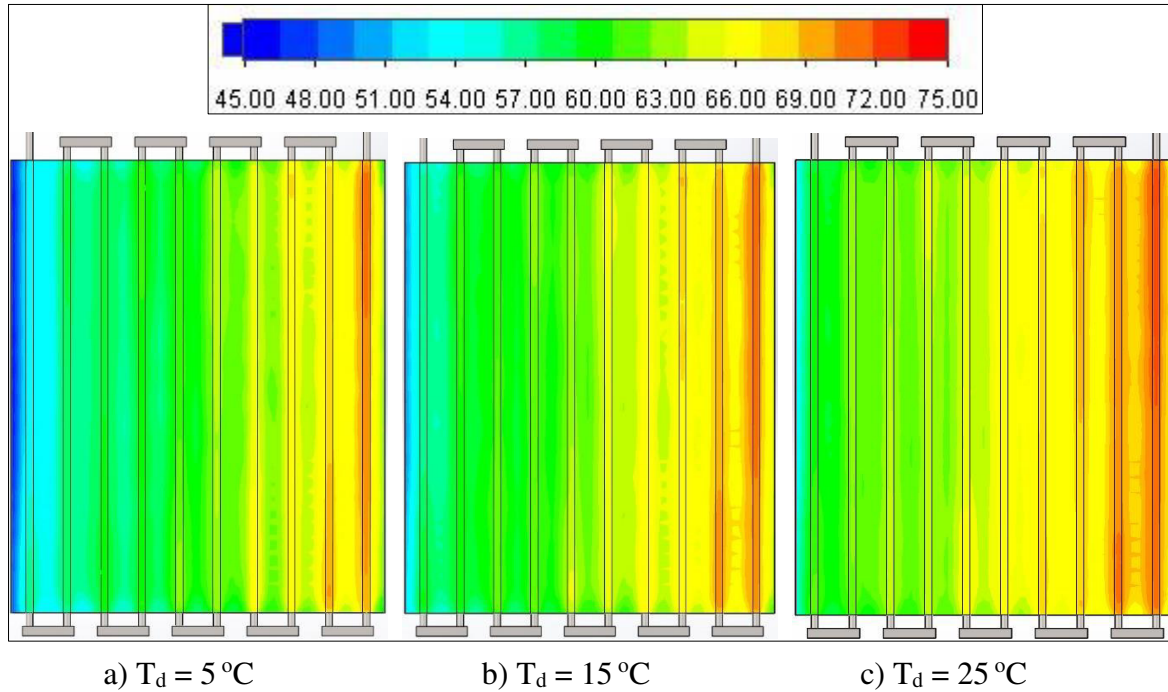
### 5.3.2. Oda duvar sıcaklığının boruları çevreleyen saclar üzerindeki etkisi

Oda içerisindeki ve panel bölgesindeki sıcaklık ve hız dağılımlarının ardından, oda duvar sıcaklığının radyasyon yayıcı alt sac yüzeyine ve üst sac yüzeyindeki sıcaklık dağılımları incelenmiştir. Bu amaçla Şekil 5.58'de alt sac yüzeyindeki sıcaklık dağılımı sunulmuştur. Oda duvar sıcaklığının 3 durumda da belirgin bir etki göstermediği gözlemlenmiştir. Sac üzerindeki sıcaklık değerleri tüm durumlarda benzerlik göstermektedir.



Şekil 5.58. Alt sacdaki sıcaklık dağılımına  $T_d$  değerinin etkisi

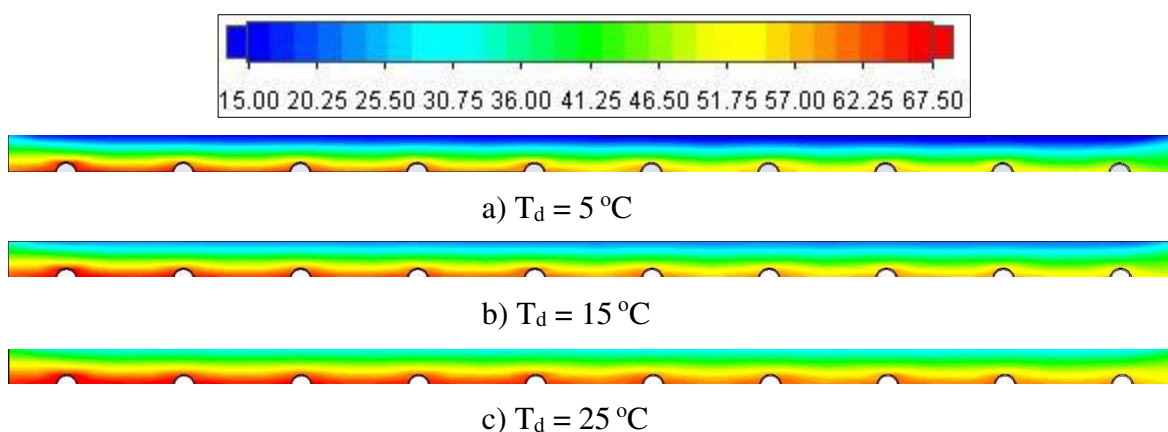
Şekil 5.59'da borular ile yalıtım malzemesi arasında kalan üst sac üzerinde oda duvar sıcaklığının etkisi sunulmuştur. Alt sacdaki duruma benzer bir sıcaklık dağılımı gözlenmekte olup tüm durumlarda değerler birbirleriyle benzerlik göstermektedir. Alt sacda olduğu gibi su giriş bölgesi etrafında sıcaklık değerinde artış olduğu görülmektedir.



Şekil 5.59. Üst sacdaki sıcaklık dağılımına  $T_d$  değerinin etkisi

### 5.3.3. Oda duvar sıcaklığının yalıtılmalzemesi içindeki sıcaklık dağılımına etkisi

Oda duvar sıcaklığının yalıtılmalzemesi üzerindeki etkisini görmek amacıyla yalıtılmalzemesinin B2 kesitindeki sıcaklık dağılımı Şekil 5.60'ta sunulmuştur. Oda duvar sıcaklığı değeri arttıkça yalıtılmalzemesinin üst bölgesindeki sıcaklık değeri de artmaktadır. Solda kalan giriş bölümünde sıcaklık değerlerinin çıkış bölgesine göre daha yüksek olduğu görülmektedir.



Şekil 5.60. B2 kesitinde yalıtılmalzemesindeki sıcaklık dağılımına  $T_d$  değerinin etkisi

#### **5.4. Yayıcılık Katsayısının Performans Üzerindeki Etkisi**

Oda duvar sıcaklığı çalışmasının ardından, yayıcılık katsayısının ısıtma performansı üzerindeki etkisi incelenmiştir. Gerçekleştirilen tüm çalışmalar oda duvarları ve panel için yayıcılık katsayısı ayrı ayrı belirlenmiştir. Bu çalışmada ise oda duvarlarının yayıcılık katsayısı sabit tutulmuş olup panel yayıcılık katsayısının ( $\varepsilon_p$ ) ısıtma performansı üzerindeki etkisi incelenmiştir. Bu amaçla panel yayıcılık katsayısı 0,80 ve 1,00 aralığında arttırılarak toplam 5 analiz gerçekleştirilmiştir. Çizelge 5.7'de çalışmada kullanılan sabit ve değişken parametreler sunulmuştur.

Oda duvar sıcaklığı ( $T_d$ ) ve su giriş sıcaklığı ( $T_g$ ) her durum için sabittir. Su giriş sıcaklık değeri ve debi değeri değişmediği için dinamik viskozite ( $\mu$ ) değeri tüm durumlar için aynıdır. Su giriş sıcaklık değeri aynı olduğu için her durumdaki giriş entalpi değeri de aynıdır. Su çıkış sıcaklık değeri her durumda değiştiği için, sıcaklık değerine karşılık gelen çıkış entalpi değerleri tablolar yardımıyla belirlenip toplam ısı transfer miktarı hesaplanmıştır.

**Çizelge 5.7. Yayıcılık katsayısı çalışmasında kullanılan parametreler**

Parametre	Değer
Re	4000
Su Giriş Sıcaklığı $T_g$ (°C)	75
Oda Duvar Sıcaklığı $T_d$ (°C)	20
Oda Duvarları Yayıcılık Katsayısı $\varepsilon_d$	0,93
Panel Yayıcılık Katsayısı $\varepsilon_p$	0,80 – 0,85 – 0,90 – 0,95 – 1,00

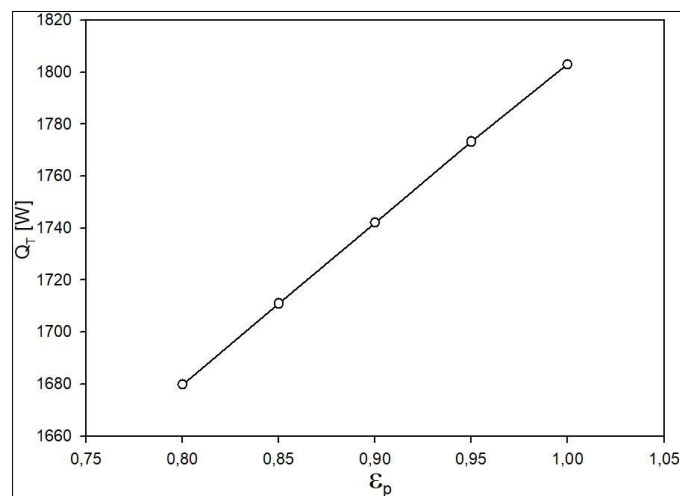
Kütlesel debi, giriş ve çıkış entalpi değerleri elde edildikten sonra Eş.3.15. yardımıyla toplam ısıl güç ( $Q_T$ ) değeri elde edilmiştir. Elde edilen  $Q_T$  değerleri yardımıyla grafik oluşturulmuştur.

Çizelge 5.8'de her bir yayıcılık katsayısı değeri için elde edilen giriş entalpi ( $h_g$ ), çıkış sıcaklığı ( $T_c$ ), çıkış entalpi ( $h_c$ ) ve toplam ısı transfer miktarı ( $Q_T$ ) değerleri sunulmuştur.

Çizelge 5.8. Yayıcılık katsayısı çalışması için hesaplanan değerler

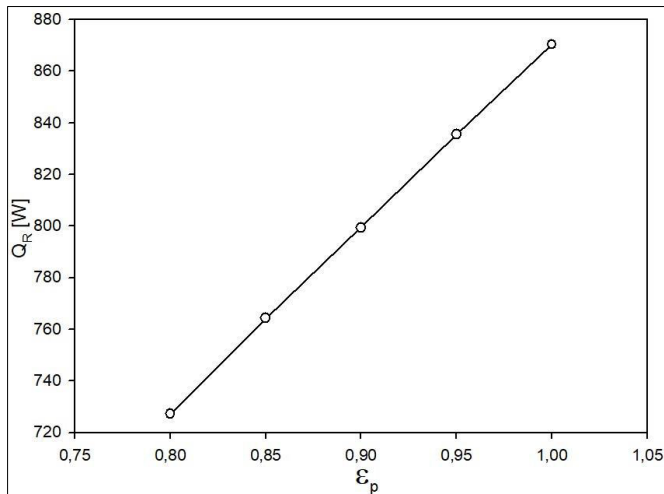
$T_g$ (°C)	$h_g$ (kj/kg)	$T_c$ (°C)	$h_c$ (kj/kg)	$Q_T$ (W)
75	314,03	61,49	257,42	1679,78
75	314,03	61,24	256,37	1710,94
75	314,03	60,99	255,32	1742,10
75	314,03	60,74	254,27	1773,25
75	314,03	60,50	253,27	1802,93

Toplam ısı transfer miktarı sonuçlarına ait grafik Şekil 5.61'de sunulmuştur. Grafikte gösterilen değerler, eşitlikler yardımıyla hesaplanarak çizelge 5.8'de sunulan değerler kullanılarak oluşturulmuştur. Grafikten de görüldüğü üzere, panelin yayıcılık katsayıları arttıkça elde edilen toplam ısı transfer miktarı artmaktadır. Bunun nedeni ise yayıcılık katsayıları arttıkça radyasyon ısı transfer miktarının artması ve dolayısıyla elde edilen toplam ısı transfer miktarının artmasıdır.



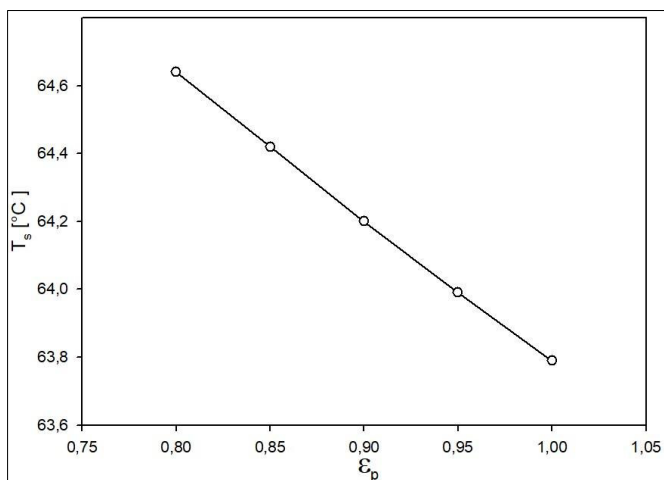
Şekil 5.61. Toplam ısı transfer miktarının panel yayıcılık katsayısı ile değişimi

Şekil 5.62'de alt sac yüzeyden elde edilen radyasyon miktarının ( $Q_R$ ), panel yayıcılık katsayısına bağlı değişimini gösteren grafik sunulmuştur. Toplam ısı transfer miktarı değişimine benzer şekilde, yayıcılık katsayısı değeri arttıkça elde edilen radyasyon miktarı da artmaktadır.



Şekil 5.62. Alt sac yüzeyinden elde edilen radyasyon miktarının panel yayıcılık katsayıısı ile değişimi

Radyasyon yayıcı alt sac yüzeyin ortalama sıcaklığının panel yayıcılık katsayısına bağlı değişimi gösteren grafik Şekil 5.63'te sunulmuştur. Grafikten de görüldüğü üzere yayıcılık katsayısının 0,80'den 1,00 değerine artışıyla yüzey sıcaklığında yaklaşık 1 °C'lik düşüş olmuştur. Panel yayıcılık katsayısının, panel yüzey sıcaklığına etkisi görüldüğü üzere ihmäl edilemeyecek değerdedir.

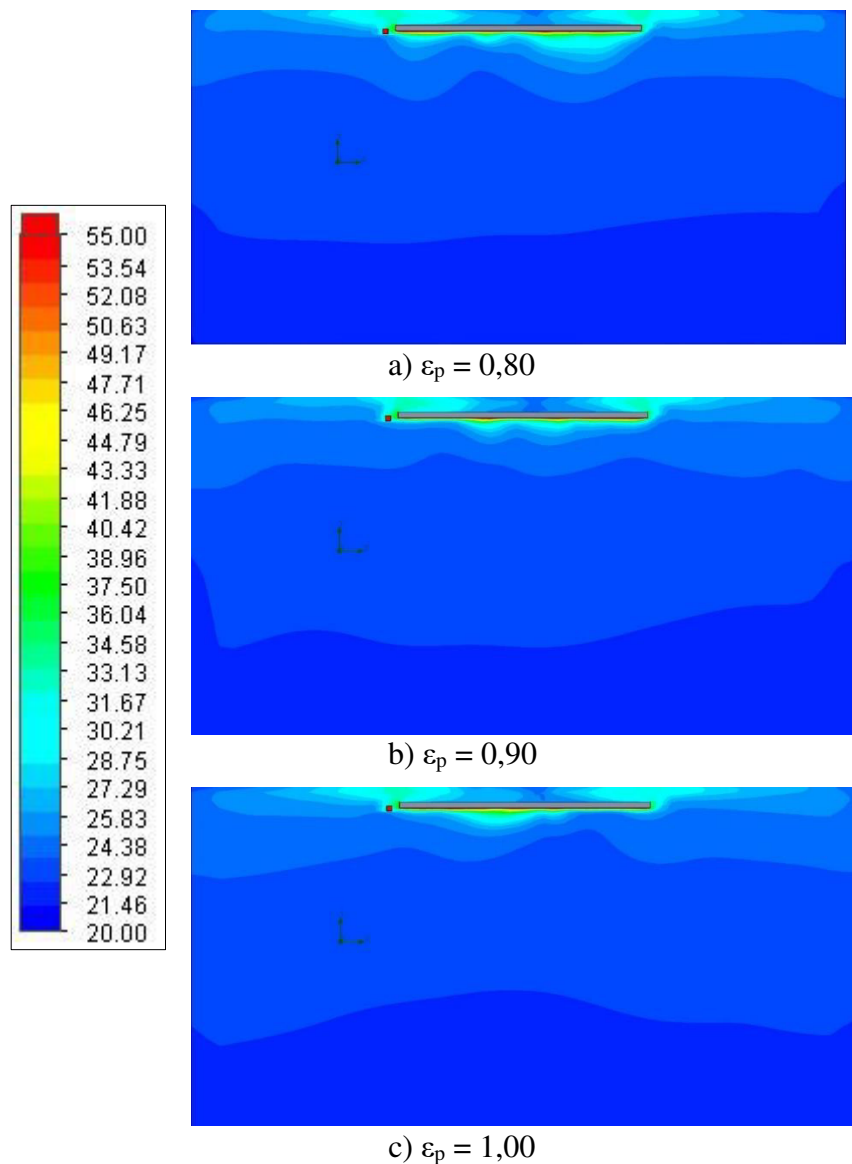


Şekil 5.63. Alt sac ortalama yüzey sıcaklığının panel yayıcılık katsayıısı ile değişimi

#### 5.4.1. Yayıcılık katsayıısı değerinin sıcaklık ve hız dağılımına etkisi

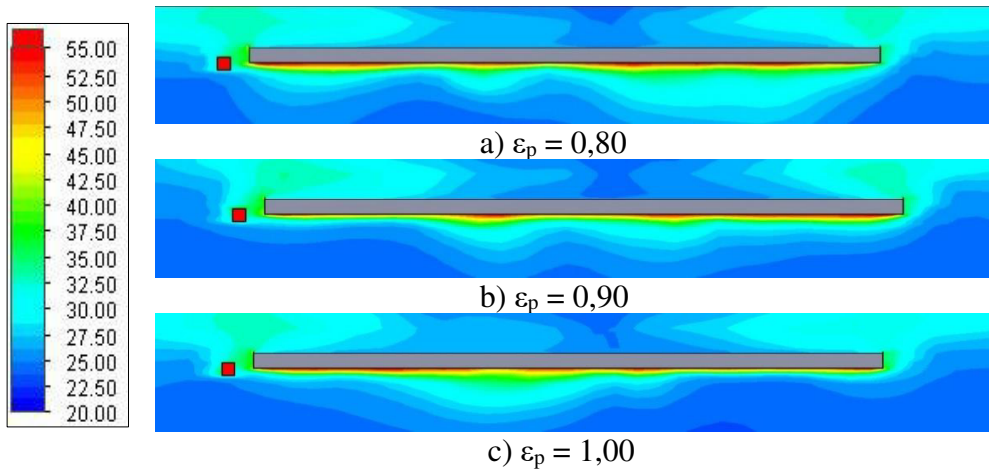
Grafiklerin gösteriminin ardından panel yayıcılık katsayısının hem oda içerisindeki hem de panel bölgesindeki sıcaklık ve hız dağılımına etkisi sunulmuştur. Bu amaçla yayıcılık

katsayısının 0,80, 0,90 ve 1,00 değerleri için; sistemi ortadan kesen A2, B2 kesitlerinde hem oda hem de panel bölgesindeki dağılımlar kullanılmıştır. Bunlara ilave olarak sistemdeki boruların tam ortasından geçen C1 kesiti için panel bölgesindeki dağılım da sunulmuştur.

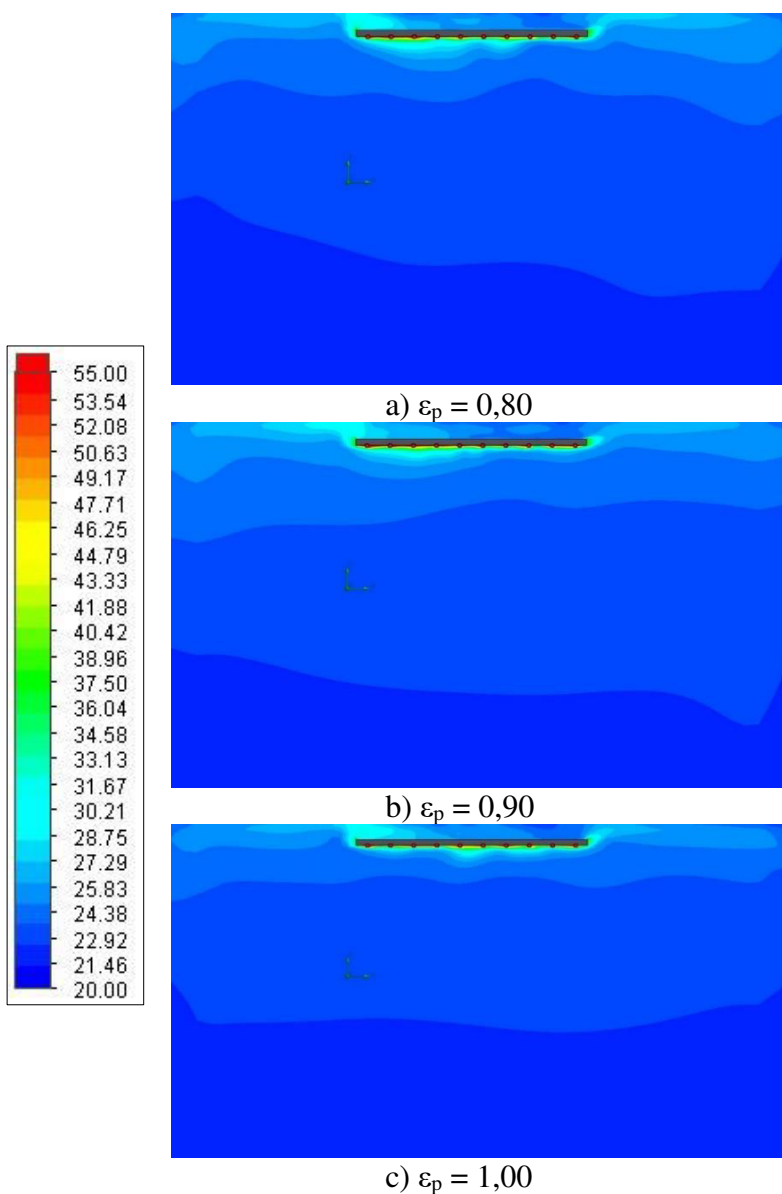


Şekil 5.64. A2 kesitinde oda içerisindeki sıcaklık dağılımına  $\epsilon_p$  değerinin etkisi

Şekil 5.64'te A2 kesiti için oda içerisindeki sıcaklık dağılımı sunulmuştur. Şekilden de net bir şekilde görülebildiği üzere yayıcılık katsayıları arttıkça tüm durumlar için oda içerisindeki sıcaklık dağılımında büyük değişimler gözlemlenmemiştir. A2 kesitinde panel bölgesindeki sıcaklık dağılımını daha net görebilmek amacıyla panel bölgesine yakınlaştırılmış görüntüler Şekil 5.65'te sunulmuştur. Görseller incelendiğinde oda içerisindeki dağılıma benzer şekilde panel bölgesinde de belirgin bir değişiklik gözlemlenmemiştir.



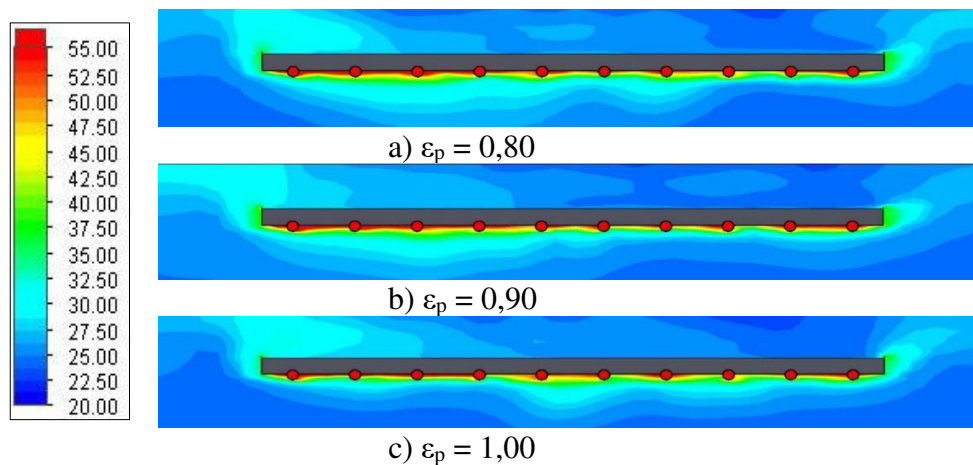
Şekil 5.65. A2 kesitinde panel bölgesindeki sıcaklık dağılımına  $\varepsilon_p$  değerinin etkisi



Şekil 5.66. B2 kesitinde oda içerisindeki sıcaklık dağılımına  $\varepsilon_p$  değerinin etkisi

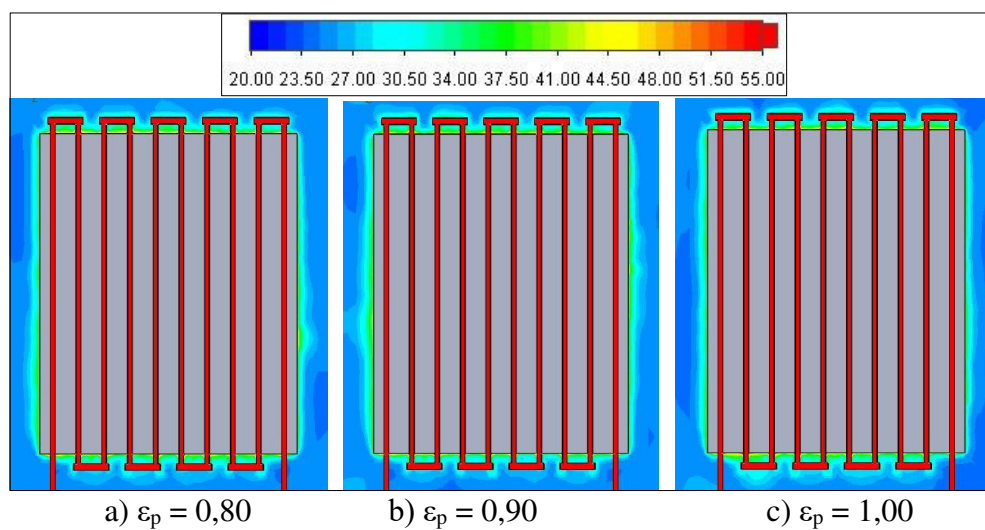
Şekil 5.66'da B2 kesiti için oda içerisindeki sıcaklık dağılımı sunulmuştur. A2 kesitindeki duruma benzer şekilde panel yayıcılık katsayısı arttıkça hem oda hem de panel belirgin bir sıcaklık değişimi gözlemlenmemiştir.

B2 kesitinde panel bölgesindeki sıcaklık dağılımını daha net görebilmek amacıyla panel bölgesine yakınlaştırılmış görüntüler Şekil 5.67'de sunulmuştur. Görüler incelendiğinde oda içerisindeki dağılıma benzer şekilde panel bölgesinde de belirgin bir değişiklik gözlemlenmemiştir.



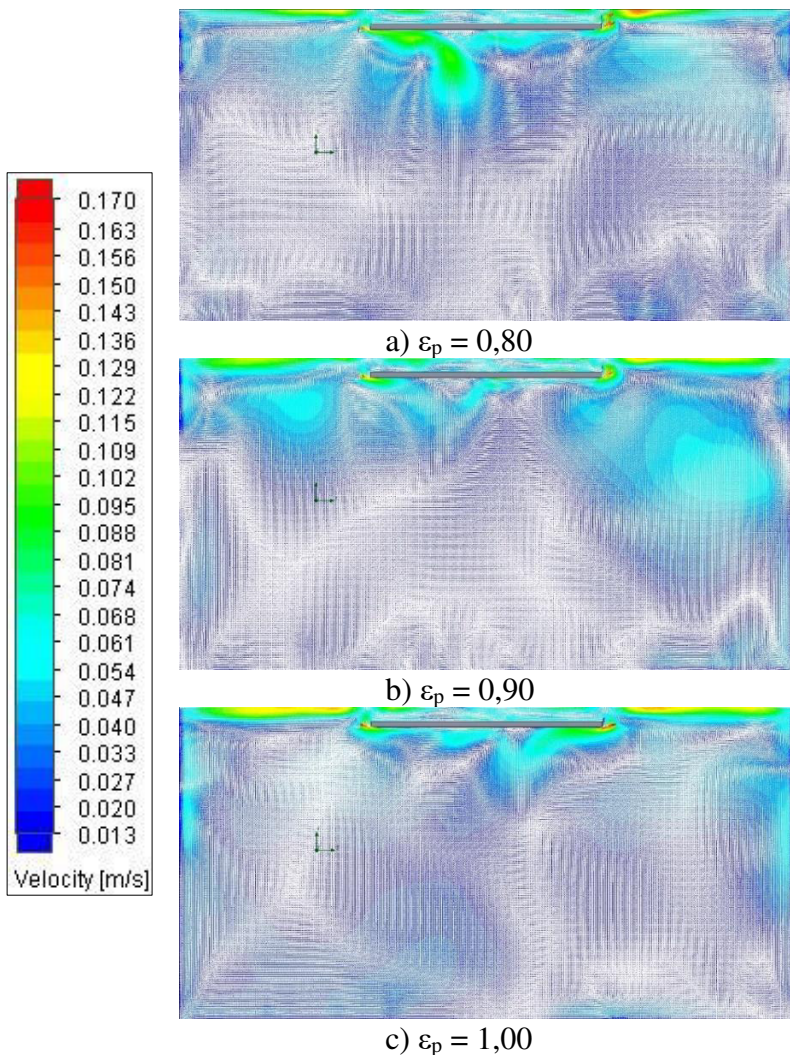
Şekil 5.67. B2 kesitinde panel bölgesindeki sıcaklık dağılımına  $\epsilon_p$  değerinin etkisi

C1 kesiti sistemdeki boruların tam ortasından geçmektedir ve bu kesite ait panel bölgesindeki sıcaklık dağılımı Şekil 5.68'de sunulmuştur.



Şekil 5.68. C1 kesitinde panel bölgesindeki sıcaklık dağılımına  $\epsilon_p$  değerinin etkisi

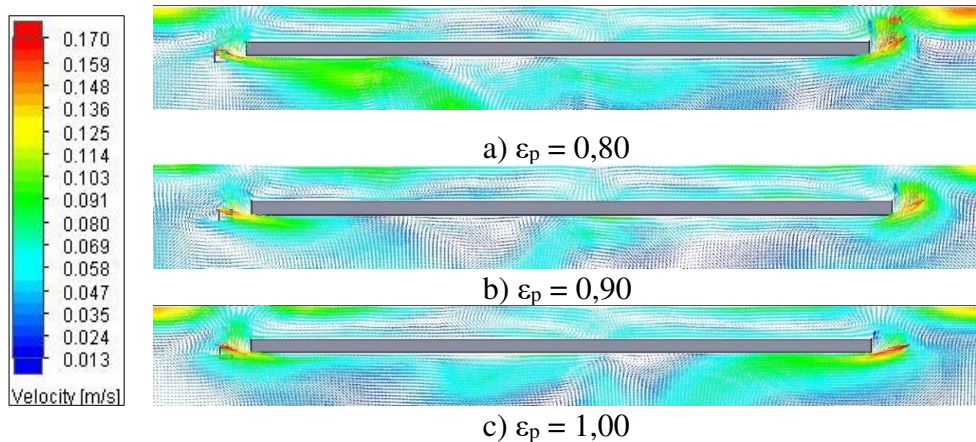
Sıcaklık dağılımlarının ardından A2, B2 ve C1 kesitleri için oda ve panel bölgesindeki hız dağılımları sunulmuştur. Şekil 5.69'da A2 kesiti için oda içerisindeki hız dağılımı gösterilmiştir. Panel yayıcılık katsayısının 0,80 olduğu ilk durum için panelin alt bölümünde kolektör bölgesine yakın yerlerde hız değerinin diğer durumlara kıyasla yüksek olduğu görülmektedir. Yayıcılık katsayıısı 1,00 değerine geldiğinde ise bu yüksek değerin sağ taraftaki giriş bölümüne yakın yerlerde olduğu görülmektedir.



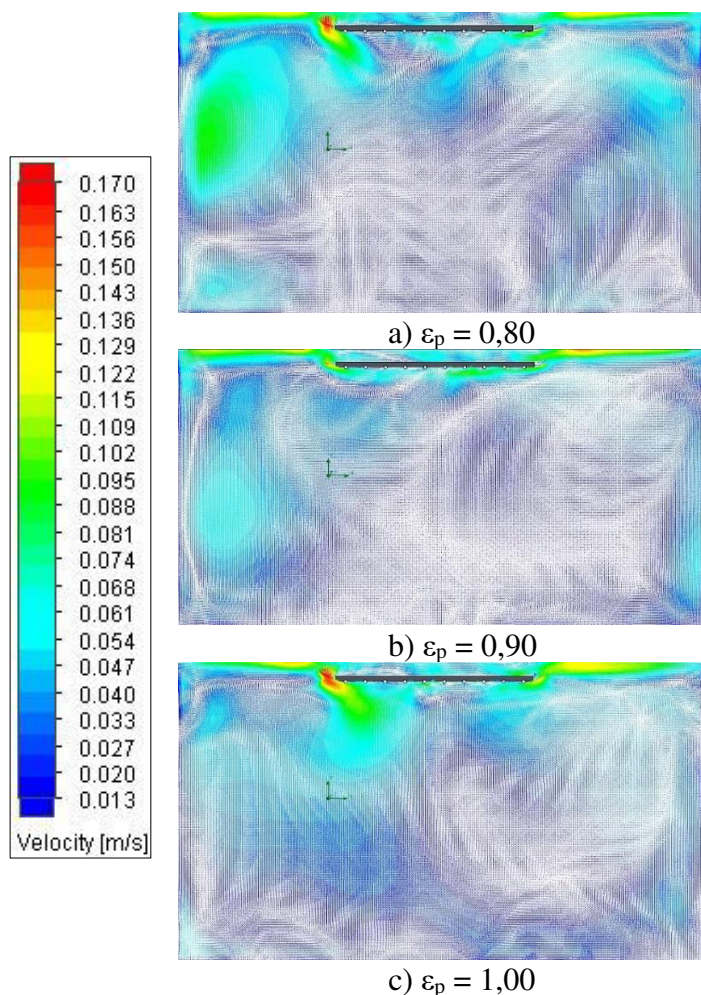
Şekil 5.69. A2 kesitinde oda içerisindeki hız dağılımına  $\epsilon_p$  değerinin etkisi

Oda ölçülerinden dolayı panel bölgesindeki hız dağılımı net görülememektedir. Bu amaçla Şekil 5.70'de A2 kesiti için panel bölgesinin yakınlaştırılmış görüntüleri sunulmuştur. Panel yayıcılık katsayıısı arttıkça radyasyon yayıcı alt sac yüzeyin ortalama sıcaklığı değişmemektedir fakat yüzeyden gerçekleşen radyasyon miktarı artmaktadır. Bu artışla beraber panel yüzeyinden havaya gerçekleşen taşınım ve işinim miktarı artmaktadır. Bu

yüzden panel yayıcılık katsayısı arttıkça ısısı artan hava panelin sağ ve sol taraflarından hızını artırarak tavana doğru yükselmektedir. Ayrıca yayıcılık katsayısı arttıkça panelin alt bölümünde oluşan vortekslerin ortadan kalktığı görülmektedir.

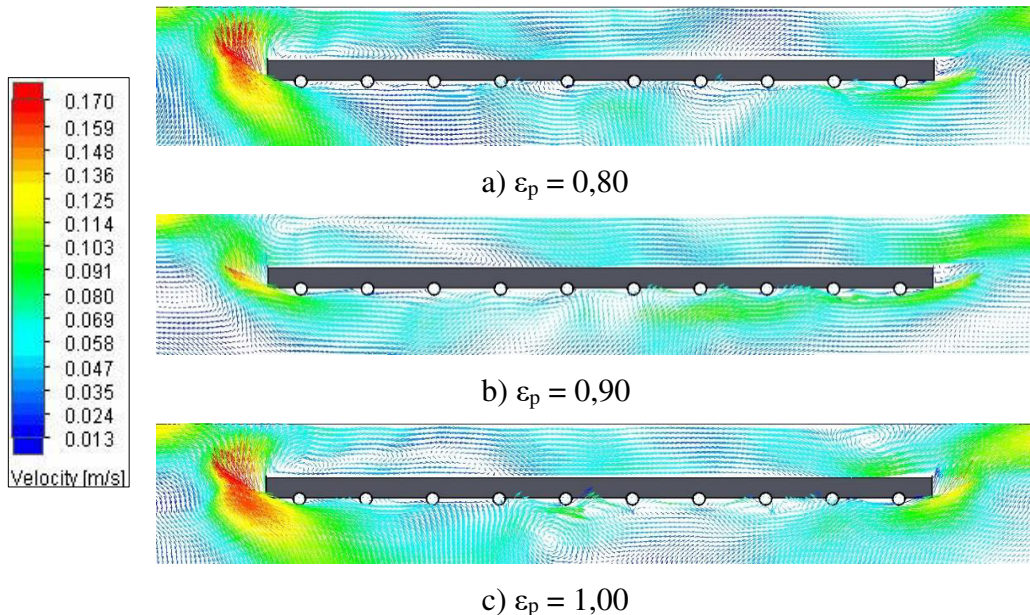


Şekil 5.70. A2 kesitinde panel bölgesindeki hız dağılımına  $\epsilon_p$  değerinin etkisi

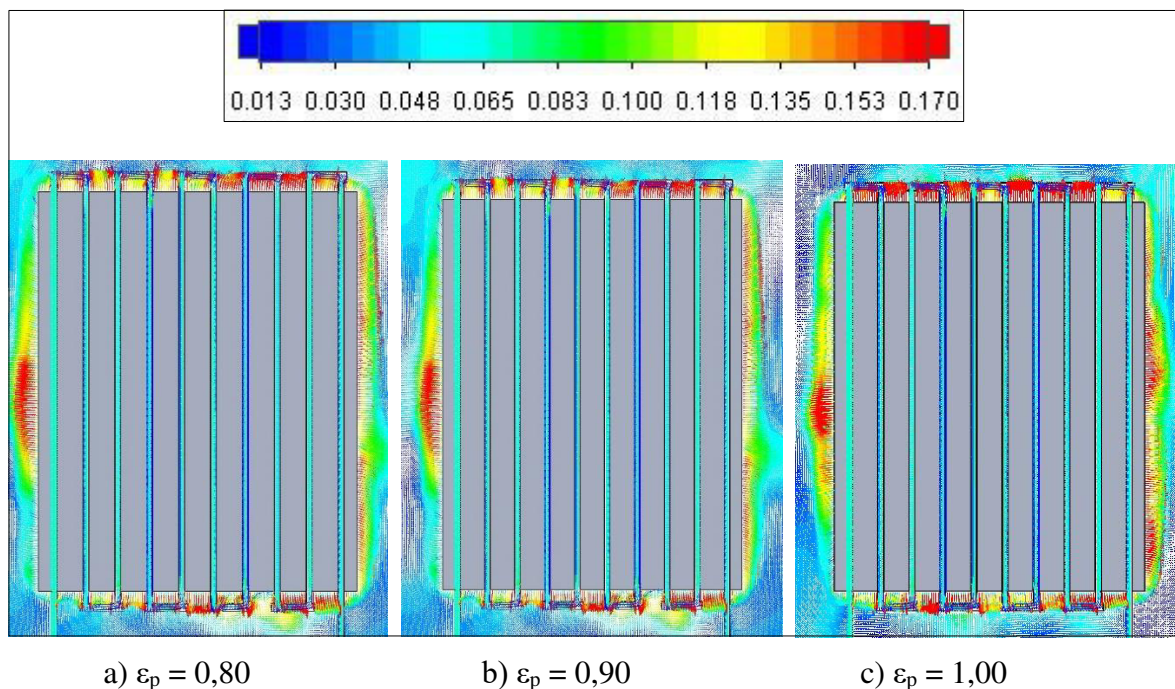


Şekil 5.71. B2 kesitinde oda içerisindeki hız dağılımına  $\epsilon_p$  değerinin etkisi

B2 kesiti için panel bölgesindeki hız dağılımını daha net görebilmek amacıyla panel bölgelerine ait yakınlaştırılmış görüntüler Şekil 5.72'de sunulmuştur. 3 durumda da hız değerlerinin birbirlerine yakın olduğu görülmüştür. Yayıcılık katsayısının 0,80 ve 1,00 olduğu durumlarda sol taraftaki giriş bölümüne yakın bölgelerde hız değerlerinin yüksek olduğu görülmektedir.



Şekil 5.72. B2 kesitinde panel bölgesindeki hız dağılımına  $\varepsilon_p$  değerinin etkisi

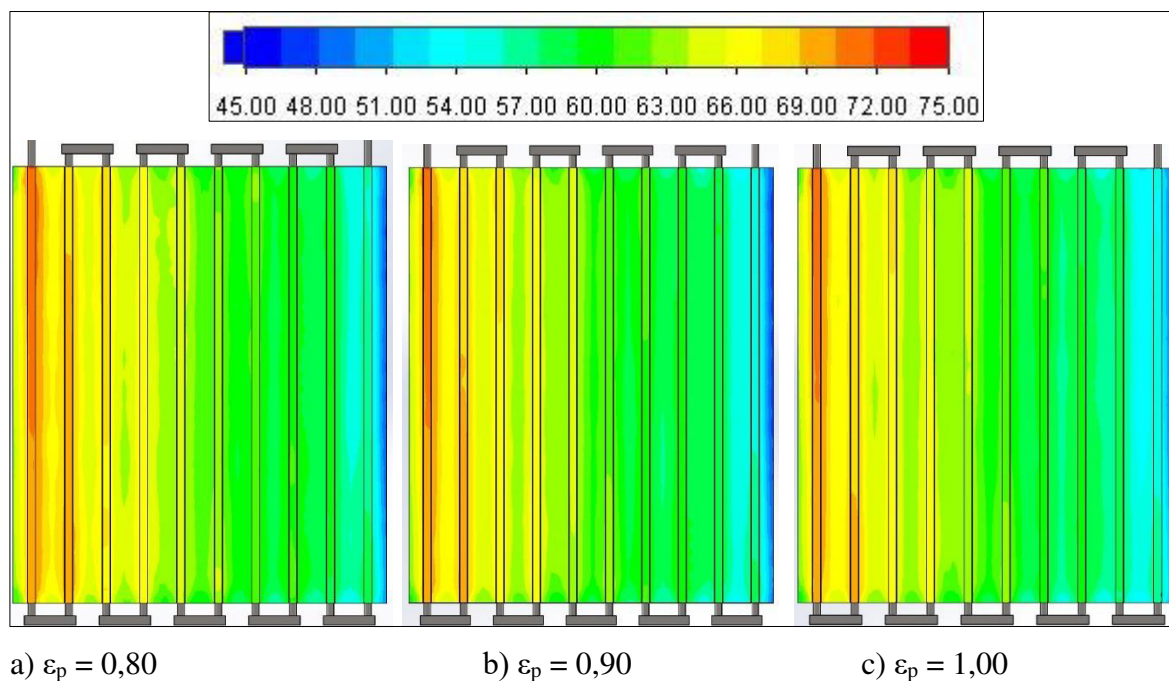


Şekil 5.73. C1 kesitinde panel bölgesindeki hız dağılımına  $\varepsilon_p$  değerinin etkisi

Şekil 5.73'te ise C1 kesiti için panel bölgesindeki hız dağılımı sunulmuştur. Yayıcılık katsayısının farklı olduğu 3 durumda da kolektör bölgelerindeki hız değerleri birbirlerine yakın değerlerde olduğu görülmektedir. Sadece yayıcılık katsayısının 1,00 olduğu durumda panel yüzey sıcaklığının artmasından dolayı kolektör ve yan bölgelerde hız değerlerinin diğer iki duruma kıyasla daha yüksek olduğu ve homojen dağıldığı görülmektedir.

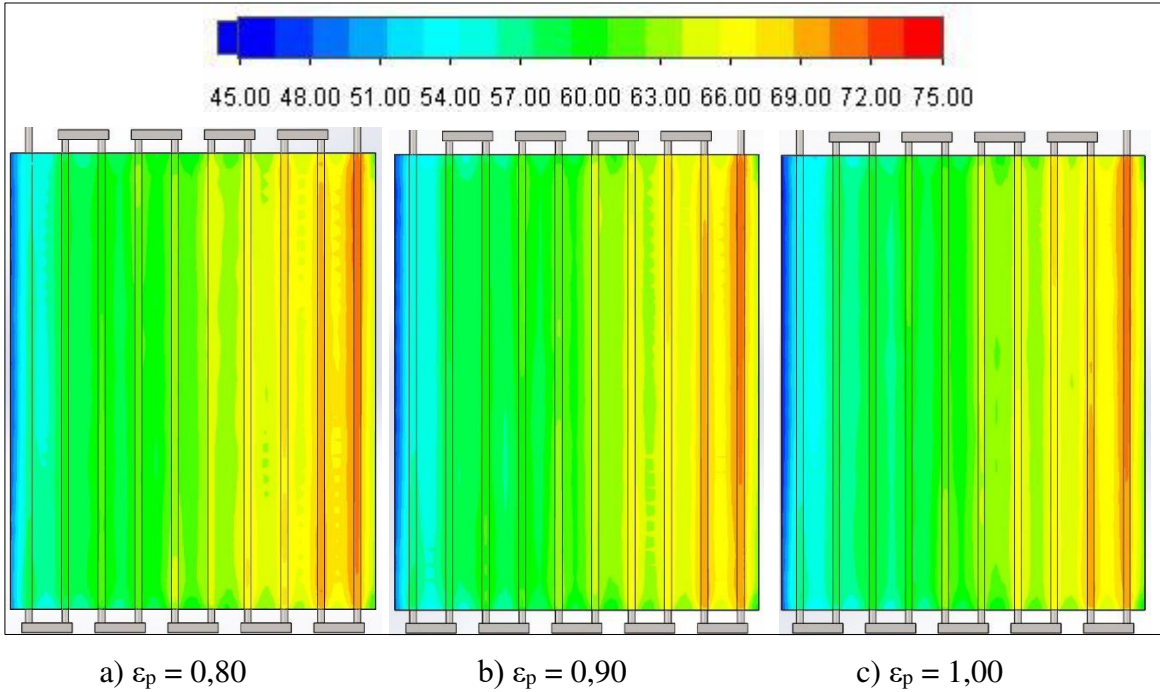
#### 5.4.2. Yayıcılık katsayı değerin boruları çevreleyen saclar üzerindeki etkisi

Oda içerisindeki ve panel bölgesindeki sıcaklık ve hız dağılımlarının ardından, panel yayıcılık katsayısının radyasyon yayıcı alt sac yüzeyine ve üst sac yüzeyindeki sıcaklık dağılımları incelenmiştir. Bu amaçla Şekil 5.72'de alt sac yüzeyindeki sıcaklık dağılımı sunulmuştur. Panel yayıcılık katsayısı arttıkça alt sac yüzey sıcaklığında yaklaşık  $1^{\circ}\text{C}$ 'lik düşüş olduğu Şekil 5.63'teki grafikte sunulmuştu. Şekil 5.74'teki görsellerle beraber grafik sonuçları doğrulanmaktadır. Panel yayıcılık katsayısının artmasıyla beraber yüzey sıcaklığında bir değişiklik gözlemlenmemiştir.



Şekil 5.74. Alt sacdaki sıcaklık dağılımına  $\varepsilon_p$  değerinin etkisi

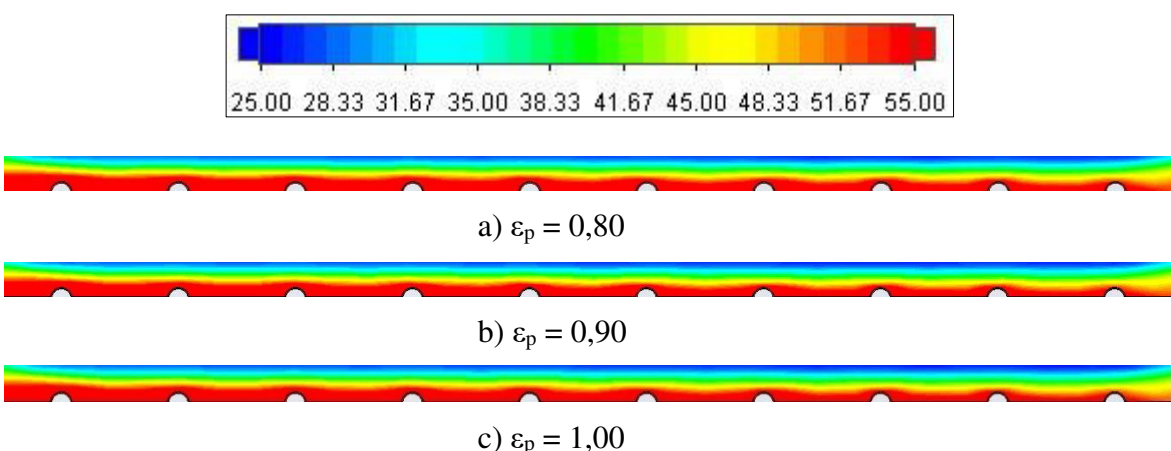
Şekil 5.75'te borular ile yalıtım malzemesi arasında kalan üst sac üzerindeki panel yayıcılık katsayısının etkisi sunulmuştur. Alt sacdaki duruma benzer bir sıcaklık dağılımı gözlenmekte olup yayıcılık katsayısının belirgin bir etkisi gözlemlenmemektedir.



Şekil 5.75. Üst sacdaki sıcaklık dağılımına  $\epsilon_p$  değerinin etkisi

#### 5.4.3. Yayıcılık katsayısının yalıtılmalzemesi içindeki sıcaklık dağılımına etkisi

Panel yayıcılık katsayısının yalıtılmalzemesi üzerindeki etkisini görmek amacıyla yalıtılmalzemesinin B2 kesitindeki sıcaklık dağılımı Şekil 5.76'da sunulmuştur. Şekilden de görüldüğü üzere panel yayıcılık katsayısının yalıtılmalzemesi üzerinde bir etkisi olmamaktadır.



Şekil 5.76. B2 kesitinde yalıtılmalzemesindeki sıcaklık dağılımına  $\epsilon_p$  değerinin etkisi

## 5.5. Boru Malzemesinin Performans Üzerindeki Etkisi

Bu çalışmada tüm parametreler sabit tutulmuş olup boru malzemesi değiştirilerek sistemin ısıtma performansı üzerindeki etkisi incelenmiştir. Bu amaçla boru malzemeleri program kütüphanesinden alüminyum, bakır ve st-321 paslanmaz çeliği olarak seçilmiştir ve toplam 3 analiz gerçekleştirilmiştir. Çizelge 5.9'da çalışmada kullanılan sabit ve değişken parametreler sunulmuştur.

Oda duvar sıcaklığı ( $T_d$ ) ve su giriş sıcaklığı ( $T_g$ ) her durum için sabittir. Su giriş sıcaklık değeri ve debi değeri değişmediği için dinamik viskozite ( $\mu$ ) değeri tüm durumlar için aynıdır. Su giriş sıcaklık değeri aynı olduğu için her durumdaki giriş entalpi değeri de aynıdır. Su çıkış sıcaklık değeri her durumda değiştiği için, sıcaklık değerine karşılık gelen çıkış entalpi değerleri tablolar yardımıyla belirlenip toplam ısıl güç hesaplanmıştır.

Çizelge 5.9. Boru malzemesi çalışmasında kullanılan parametreler

Parametre	Değer
Re	5000
Su Giriş Sıcaklığı $T_g$ (°C)	75
Oda Duvar Sıcaklığı $T_d$ (°C)	20
Oda Duvarları Yayıcılık Katsayısı $\epsilon_d$	0,93
Panel Yayıcılık Katsayısı $\epsilon_p$	0,95
Boru Malzemesi	Alüminyum – Bakır – St 321
Isı İletim Katsayısı $k$ (W/mK)	
Alüminyum	321
Bakır	401
St-321	15,1

Çizelge 5.10. Boru malzemesi çalışması için hesaplanan değerler

Malzeme	$T_g$ (°C)	$h_g$ (kj/kg)	$t_c$ (°C)	$h_c$ (kj/kg)
Al	75	314,03	62,29	264,58
Cu	75	314,03	62,28	260,73
St 321	75	314,03	63,2	260,39

Boru malzemelerine ait giriş sıcaklık, giriş entalpi, çıkış sıcaklık ve çıkış entalpi değerleri Çizelge 5.10'da sunulmuştur.

Çizelge 5.11'de radyasyon yayıcı yüzeye ait ortalama yüzey sıcaklığı ( $T_s$ ) ve aynı yüzeyden elde edilen radyasyon miktarı ( $Q_R$ ) değerleri programdan elde edilerek sunulmuştur. Bunlara ek olarak Çizelge 5.10'daki değerler yardımıyla hesaplanan toplam ısı transfer miktarı da ( $Q_T$ ) sunulmuştur.

Çizelge 5.11. Boru malzemesi için  $T_s$ ,  $Q_R$  ve  $Q_T$  değerleri

Malzeme	$T_s$ (°C)	$Q_R$ (W)	$Q_T$ (W)
Al	65,42	869,75	1834,16
Cu	65,58	873,71	1976,96
St 321	65,94	880,30	1989,57

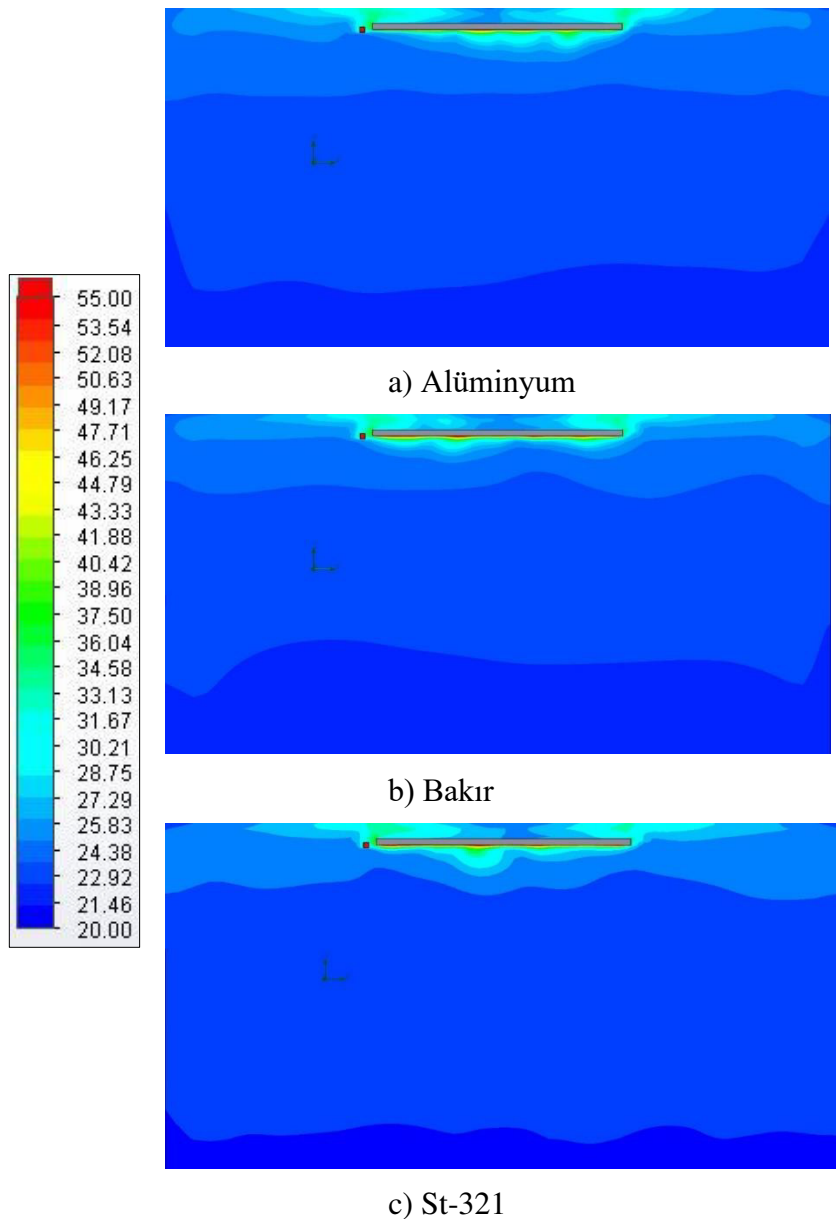
Sonuçlar incelendiğinde ortalama yüzey sıcaklık değerlerinin birbirlerine yakın olduğu görülmektedir. Alt yüzey radyasyon miktarı ise St 321 çeliğinde en yüksek değere sahiptir. Toplam ısı transfer miktarında da radyasyon değişimine benzer şekilde St 321 değerinde en yüksek değerine ulaşmaktadır. Bunun nedeni ise malzemelerin ısı iletim katsayılarının farklı olmasıdır. St 321 paslanmaz çeliğinin ısı iletim katsayısı alüminyum ve bakırдан daha düşük olduğu için borulardan panele iletilen ısı miktarı daha fazladır. Dolayısıyla yüzey daha fazla ısınmakta ve yüzeyden elde edilen radyasyon ve toplam ısı transfer miktarı da artmaktadır.

### 5.5.1. Boru malzemesinin sıcaklık ve hız dağılımına etkisi

Bu bölümde boru malzemesinin hem oda içerisindeki hem de panel bölgesindeki sıcaklık ve hız dağılımına etkisi sunulmuştur. Bu amaçla boru malzemesinin alüminyum, bakır ve st 321 paslanmaz çeliği olduğu durumlar için; sistemi ortadan kesen A2, B2 kesitlerinde hem oda hem de panel bölgesindeki dağılımlar kullanılmıştır. Bunlara ilave olarak sistemdeki boruların tam ortasından geçen C1 kesiti için panel bölgesindeki dağılım da sunulmuştur.

Şekil 5.77'de A2 kesiti için oda içerisindeki sıcaklık dağılımı sunulmuştur. Oda içerisindeki sıcaklık dağılımları benzerlik göstermektedir. Fakat boru malzemesinin st-321 paslanmaz çeliği olduğu durumda borulardan radyasyon yayıcı alt sac yüzeye daha fazla ısı iletimi

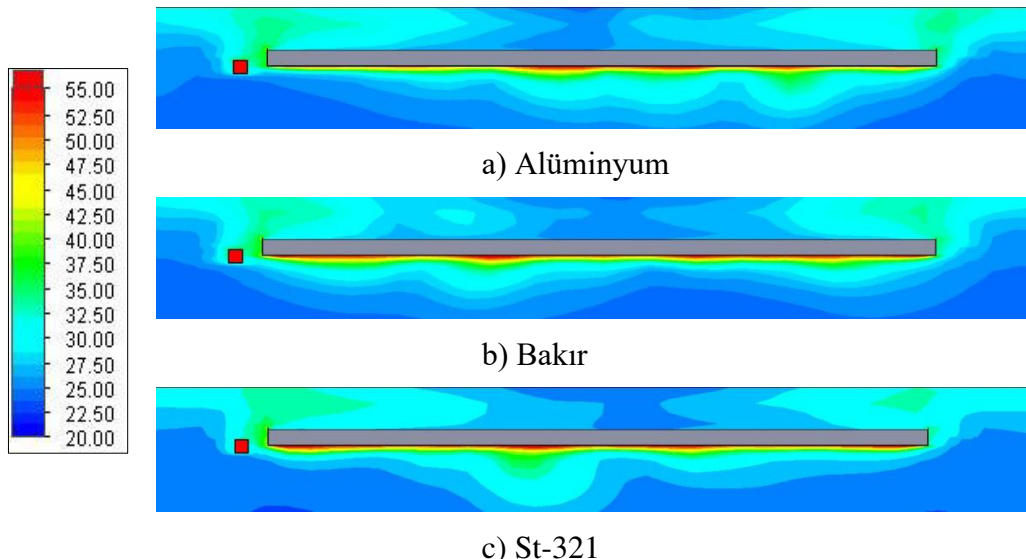
olduğu için özellikle panelin alt bölümünde sıcaklık değerlerinin daha yüksek ve yoğun olduğu görülmektedir.



Şekil 5.77. A2 kesitinde oda içerisindeki sıcaklık dağılımına malzemenin etkisi

A2 kesitinde panel bölgesindeki sıcaklık dağılımını daha net görebilmek amacıyla panel bölgeye yakınlaştırılmış görüntüler Şekil 5.78'de sunulmuştur. Görseller incelendiğinde oda içerisindeki dağılıma benzer şekilde panel bölgesinde benzer ve birbirine yakın sıcaklık dağılımı gözlemlenmektedir. Boru malzemesinin alüminyum olduğu durumda sıcaklık değerleri kolektör bölümüne yaklaşıkça düşmekte iken bakır ve St-321 paslanmaz çeliği olduğu durumlarda panelin alt bölümünde sıcaklığın homojen dağıldığı görülmektedir.

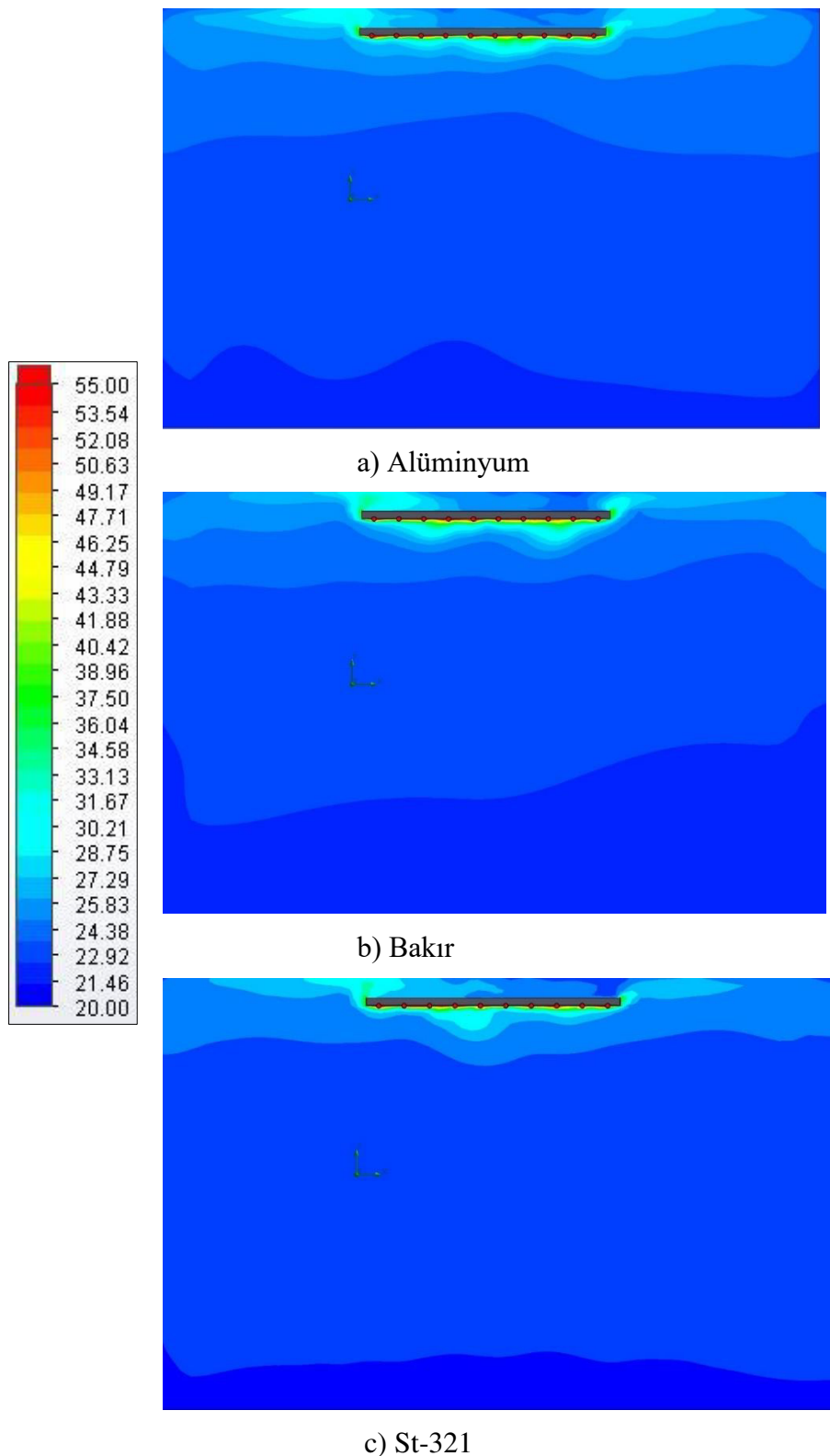
Fakat St-321 durumu için panelin alt tarafındaki orta bölümde sıcaklık yoğunluğu daha fazladır. Genel olarak ısı iletim katsayısı arttıkça borulardan panele iletilen ısı miktarı artmaktadır ve yüzeyden yayılan ısı değeri de artmaktadır.



Şekil 5.78. A2 kesitinde panel bölgesindeki sıcaklık dağılımına malzemenin etkisi

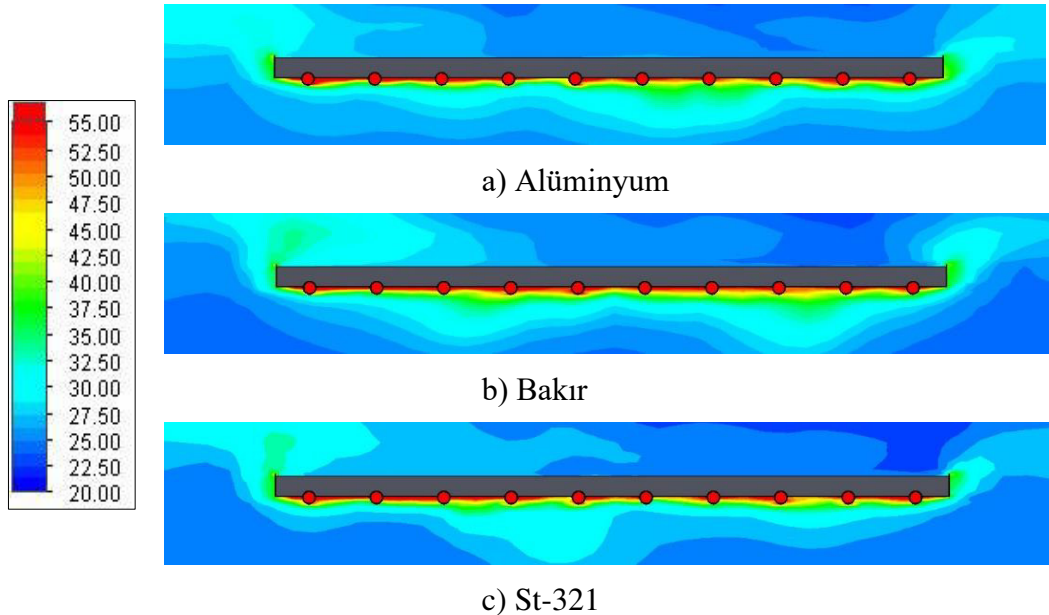
Şekil 5.79'da B2 kesiti için oda içerisindeki sıcaklık dağılımı sunulmuştur. A2 kesitindeki duruma benzer şekilde oda içerisindeki sıcaklık dağılımının benzerlik gösterdiği görülmektedir. Her üç durumda da sağdaki çıkış bölümünün üst tarafındaki sıcaklık değerlerinin soldaki giriş bölümüne göre daha düşük olduğu görülmektedir.

B2 kesitinde panel bölgesindeki sıcaklık dağılımını daha net görebilmek amacıyla panel bölgeye yakınlaştırılmış görüntüler Şekil 5.80'de sunulmuştur. Her üç durumda da panelin alt bölümünde sıcaklığın tüm yüzeye yayıldığı, fakat üst tarafta çıkış tarafının olduğu bölgelerde değerlerin daha düşük olduğu görülmektedir.



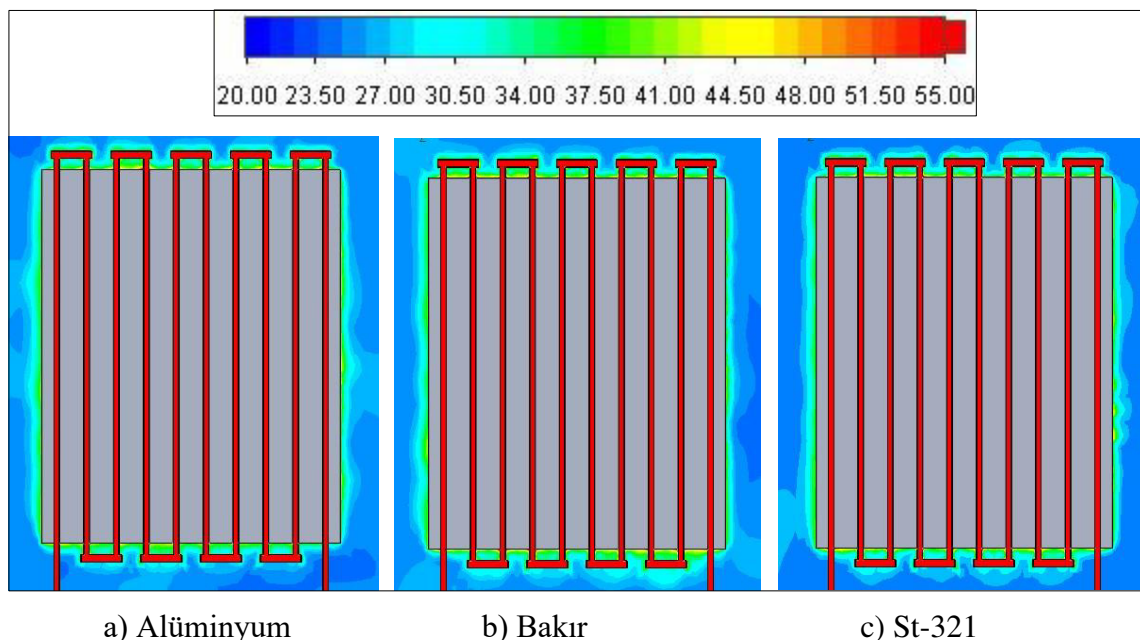
Şekil 5.79. B2 kesitinde oda içerisindeki sıcaklık dağılımına malzemenin etkisi

B2 kesitinde panel bölgesindeki sıcaklık dağılımını daha net görebilmek amacıyla panel bölgesine yakınlaştırılmış görüntüler Şekil 5.80'de sunulmuştur.



Şekil 5.80. B2 kesitinde panel bölgesindeki sıcaklık dağılımına malzemenin etkisi

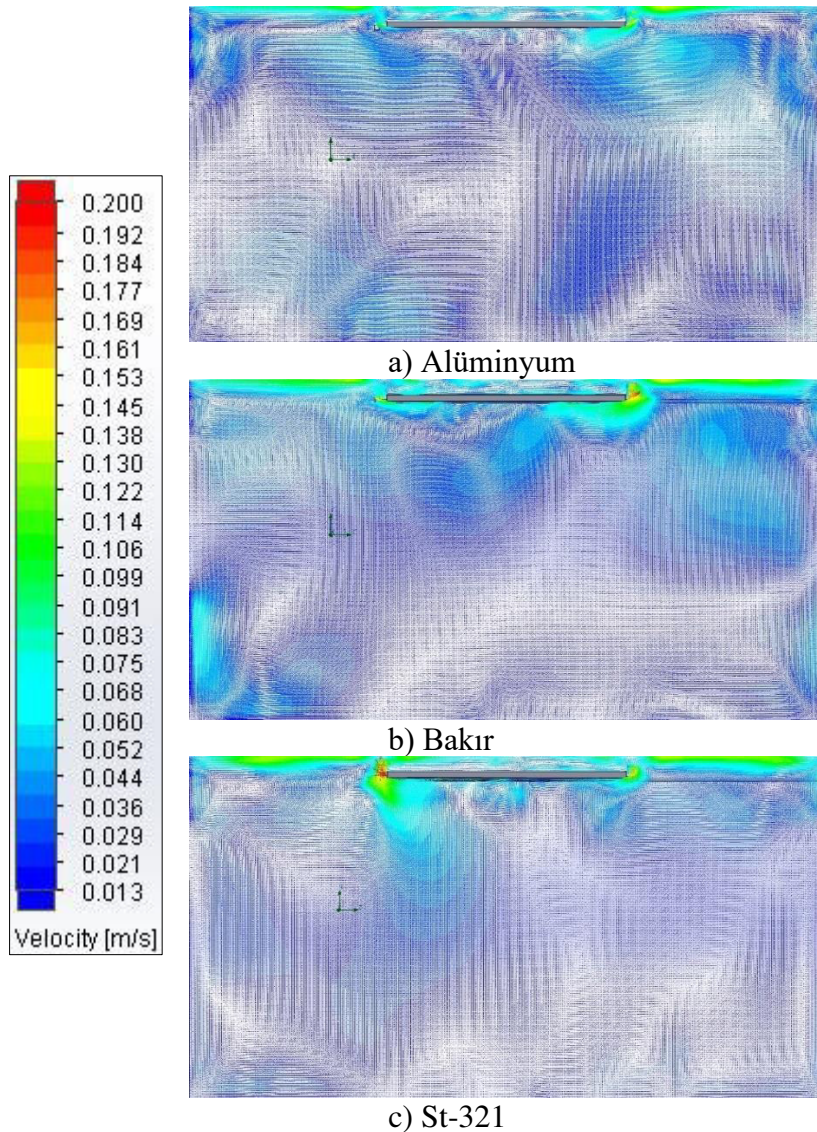
C1 kesiti sistemdeki boruların tam ortasından geçmektedir ve bu kesite ait panel bölgesindeki sıcaklık dağılımı Şekil 5.81'de sunulmuştur. A2 ve B2 kesitlerindeki duruma benzer şekilde panel etrafında benzer sıcaklık dağılımı gözlemlenmiştir.



Şekil 5.81. C1 kesitinde panel bölgesindeki sıcaklık dağılımına malzemenin etkisi

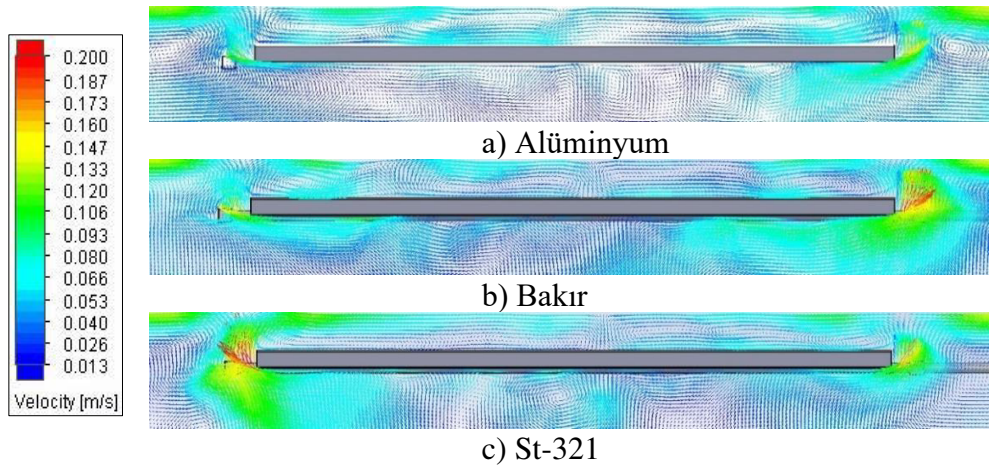
Sıcaklık dağılımlarının ardından A2, B2 ve C1 kesitleri için oda ve panel bölgesindeki hız dağılımları sunulmuştur. Şekil 5.82'de A2 kesiti için oda içerisindeki hız dağılımı

gösterilmiştir. Oda içerisindeki hız dağılımlarında benzerlikler gözlemlenirken özellikle bakır ve st-321 durumlarında oda tavanında sıcaklık değerlerinin arttığı görülmektedir.

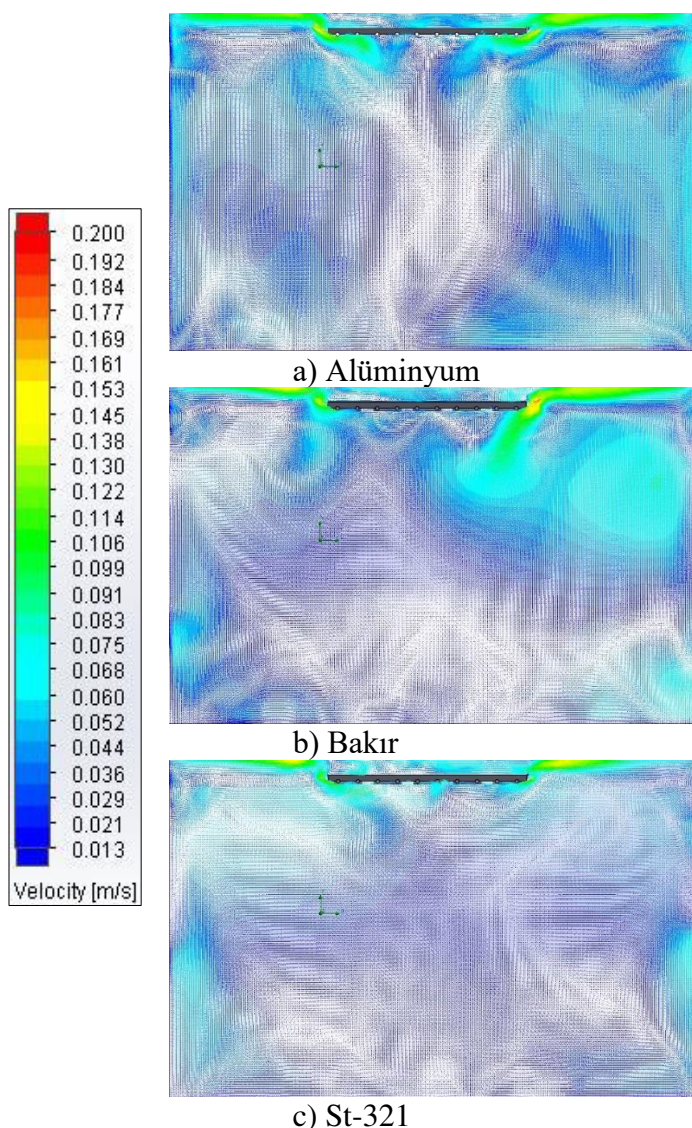


Şekil 5.82. A2 kesitinde oda içerisindeki hız dağılımına malzemenin etkisi

Oda ölçülerinden dolayı panel bölgesindeki hız dağılımı net görülememektedir. Bu amaçla Şekil 5.83'te A2 kesiti için panel bölgesinin yakınlaştırılmış görüntüleri sunulmuştur. Yüzey sıcaklığı arttıkça hava ısınarak ve hızını artırarak tavana doğru yükselmektedir. Bu durum özellikle bakır ve st-321 durumlarında panellerin yan taraflarında görülmektedir. Panel bölgesinde sıcaklık değerlerinin düşük olduğu alüminyum durumunda panel etrafında vorteksler oluşmaktadır. Hız değerleri arttıkça vortekslerin ortadan kalkarak daha düzgün hız profillerinin oluştuğu görülmektedir.

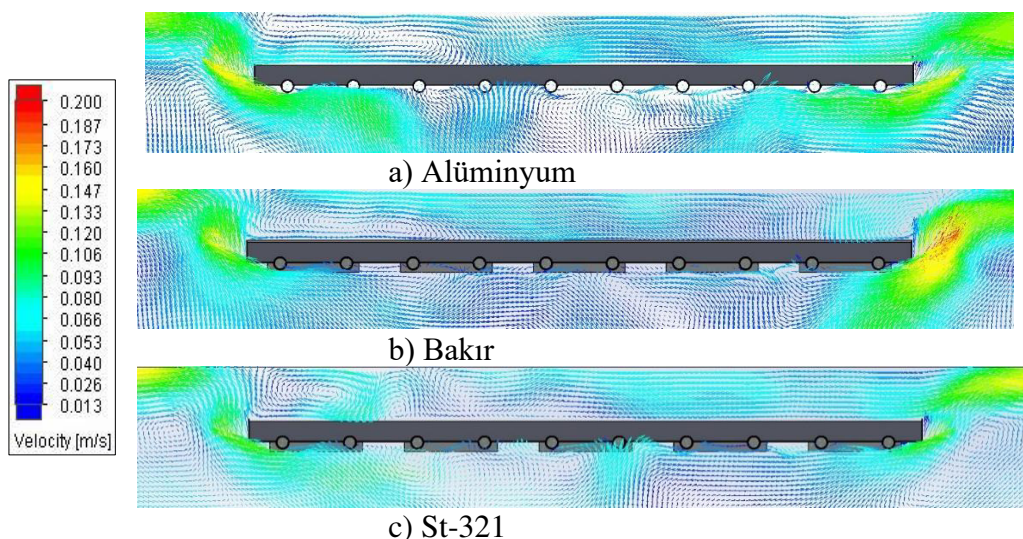


Şekil 5.83. A2 kesitinde panel bölgesindeki hız dağılımına malzemenin etkisi



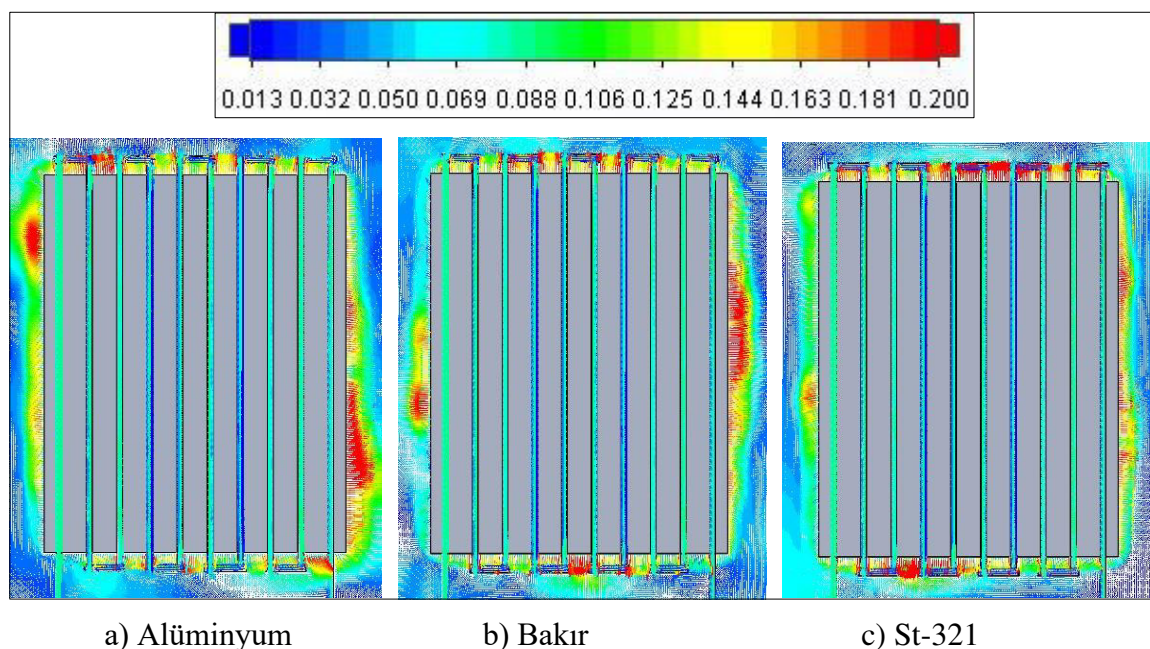
Şekil 5.84. B2 kesitinde oda içerisindeki hız dağılımına malzemenin etkisi

Şekil 5.85'te B2 kesiti için panel bölgesindeki hız dağılımları sunulmuştur. Hız dağılımları benzerlik göstermekle beraber boru malzemesinin bakır olduğu durumda panelin sağ bölümünde hız değerinin arttığı görülmektedir.



Şekil 5.85. B2 kesitinde panel bölgesindeki hız dağılımına malzemenin etkisi

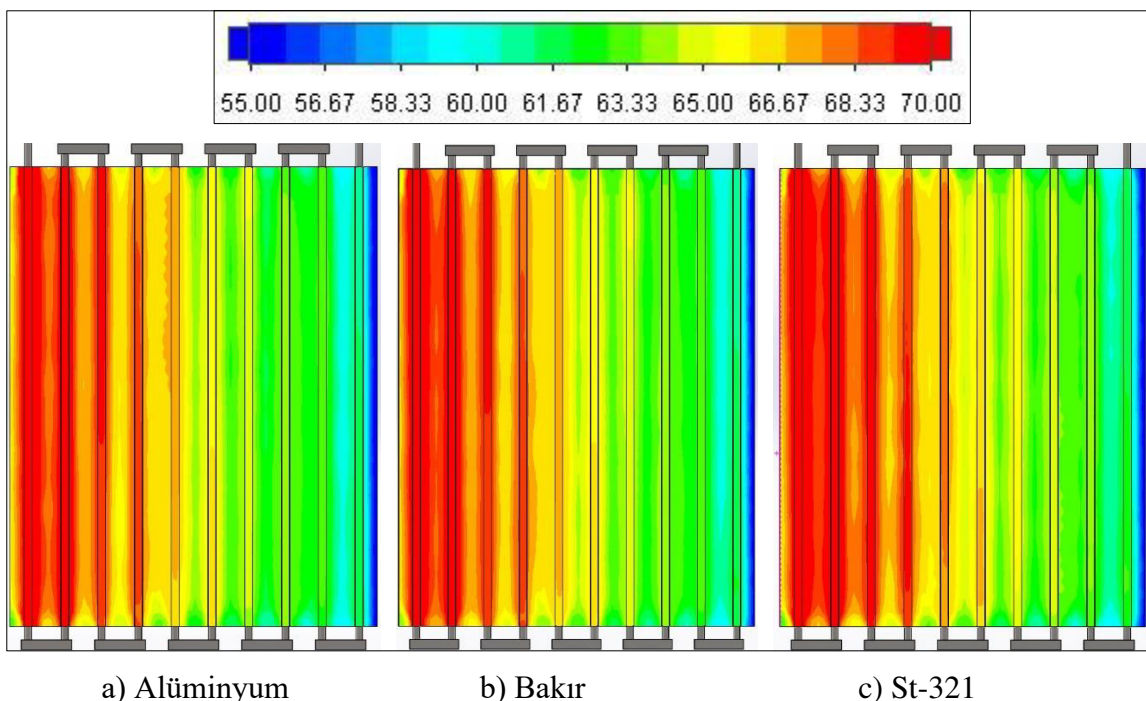
Şekil 5.86'da ise C1 kesiti için panel bölgesindeki hız dağılımı sunulmuştur. Boru malzemesinin alüminyum ve bakır olduğu durumlarda panelin sağ tarafında hız değerlerinin yüksek olduğu görülmektedir.



Şekil 5.86. C1 kesitinde panel bölgesindeki hız dağılımına malzemenin etkisi

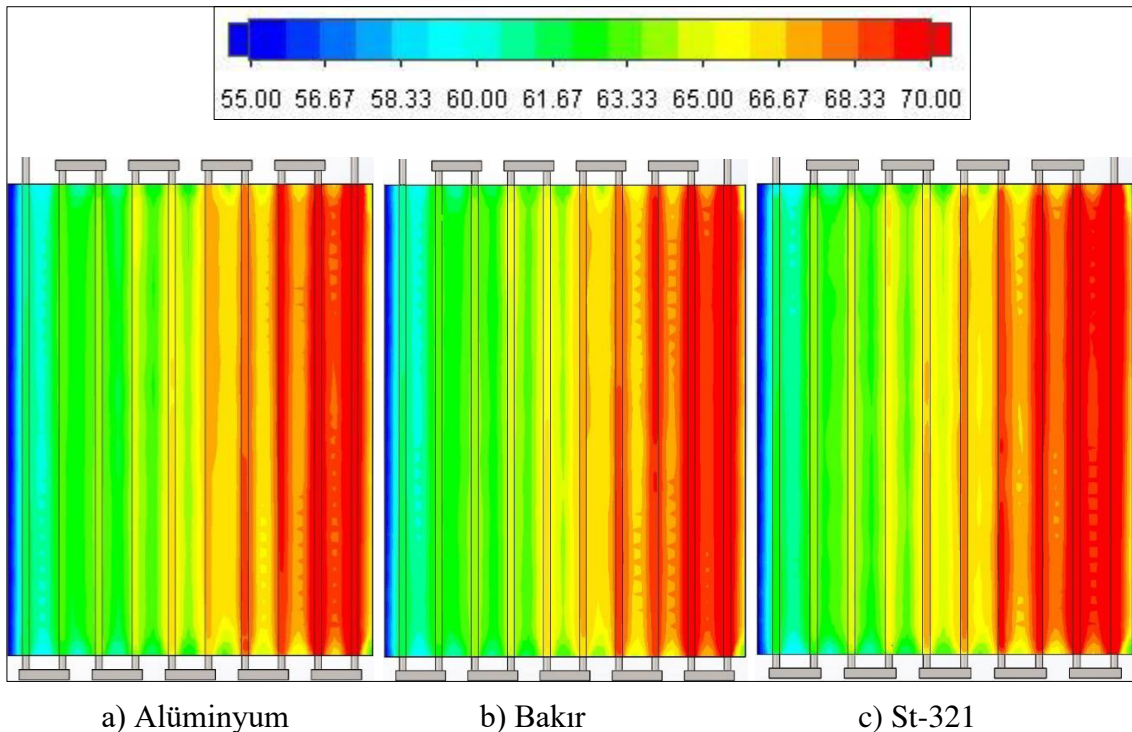
### 5.5.2. Boru malzemesinin boruları çevreleyen saclar üzerindeki etkisi

Oda içerisindeki ve panel bölgesindeki sıcaklık ve hız dağılımlarının ardından, boru malzemesinin radyasyon yayıcı alt sac yüzeyine ve üst sac yüzeyindeki sıcaklık dağılımları incelenmiştir. Bu amaçla Şekil 5.87'de alt sac yüzeyindeki sıcaklık dağılımı sunulmuştur. Genel olarak alt sac yüzeyindeki sıcaklık dağılımları benzerlik göstermektedir. Fakat boru malzemesinin st-321 olduğu durumda giriş bölgesinde sıcaklık yoğunluğunun diğer iki duruma kıyasla daha fazla olduğu görülmektedir. Çıkış bölümleri incelendiğinde ise her üç durumda da benzerlik görülmektedir ve çıkışa doğru sıcaklık değeri azalmaktadır.



Şekil 5.87. Alt sacdaki sıcaklık dağılımına malzemenin etkisi

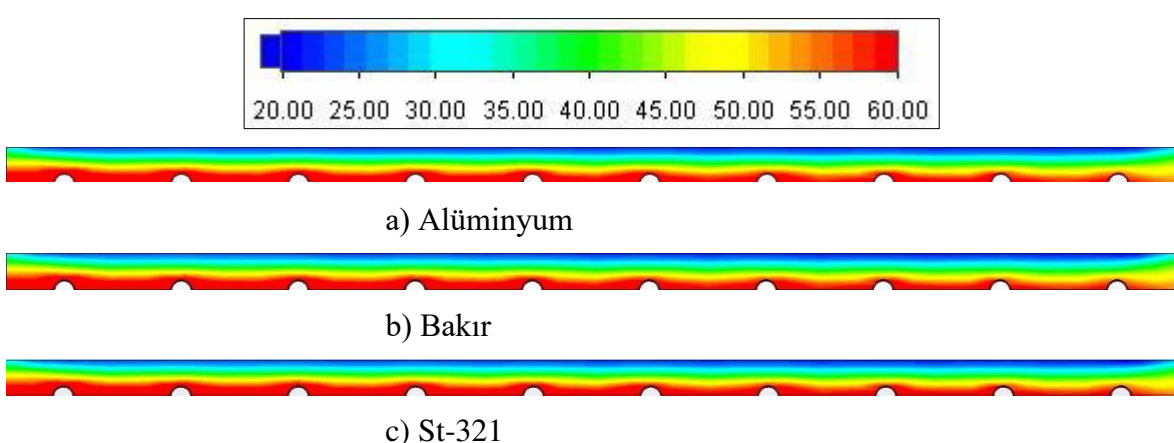
Şekil 5.88'de borular ile yalıtım malzemesi arasında kalan üst sac üzerindeki boru malzemesinin etkisi sunulmuştur. Alt sacdaki duruma benzer bir sıcaklık dağılımı gözlenmekte olup st-321 durumunda giriş bölgesi üzerindeki bölgelerde sıcaklık yoğunluğunun arttığı görülmektedir.



Şekil 5.88. Üst sacdaki sıcaklık dağılımına malzemenin etkisi

### 5.5.3. Boru malzemesinin yalıtılmalzemesi içindeki sıcaklık dağılımına etkisi

Boru malzemesinin yalıtılmalzemesi üzerindeki etkisini görmek amacıyla yalıtılmalzemesinin B2 kesitindeki sıcaklık dağılımı Şekil 5.89'da sunulmuştur. Şekilden de görüldüğü üzere boru malzemesinin yalıtılmalzemesi üzerinde belirgin bir etkisi görülememektedir.



Şekil 5.89. B2 kesitinde yalıtılmalzemesindeki sıcaklık dağılımına malzemenin etkisi

## 5.6. Boru Çapının Performans Üzerindeki Etkisi

Bu çalışmada tüm parametreler sabit tutulmuş olup boru çapı değiştirilerek sistemin ısıtma performansı üzerindeki etkisi incelenmiştir. Bu amaçla boru çapları 15 mm ve 35 mm aralığında seçilmiştir ve toplam 5 analiz gerçekleştirilmiştir. Çizelge 5.11'de çalışmada kullanılan sabit ve değişken parametreler sunulmuştur.

Oda duvar sıcaklığı ( $T_d$ ) ve su giriş sıcaklığı ( $T_g$ ) her durum için sabittir. Su giriş sıcaklık değeri ve debi değeri değişmediği için dinamik viskozite ( $\mu$ ) değeri tüm durumlar için aynıdır. Su giriş sıcaklık değeri aynı olduğu için her durumdaki giriş entalpi değeri de aynıdır. Su çıkış sıcaklık değeri her durumda değiştiği için, sıcaklık değerine karşılık gelen çıkış entalpi değerleri tablolar yardımıyla belirlenip toplam ısıl güç hesaplanmıştır. Boru çapı her durum için değiştiğinden dolayı kütlesel debi değeri de her durum için değişmektedir.

Çizelge 5.12. Boru çapı çalışmasında kullanılan parametreler

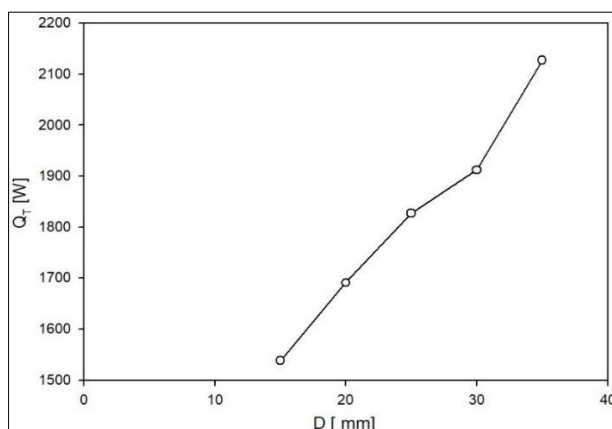
Parametre	Değer
Re	5000
Su Giriş Sıcaklığı $T_g$ (°C)	75
Oda Duvar Sıcaklığı $T_d$ (°C)	20
Oda Duvarları Yayıcılık Katsayısı $\epsilon_d$	0,93
Panel Yayıcılık Katsayısı $\epsilon_p$	0,95
Boru Çapı D [mm]	15, 20, 25, 30, 35

Çizelge 5.12'de her bir boru çapı için su giriş ve çıkış sıcaklıkları, entalpi değerleri, kütlesel debi ve toplam ısıl güç değerleri verilmiştir.

Çizelge 5.13. Boru çapı çalışması için hesaplanan değerler.

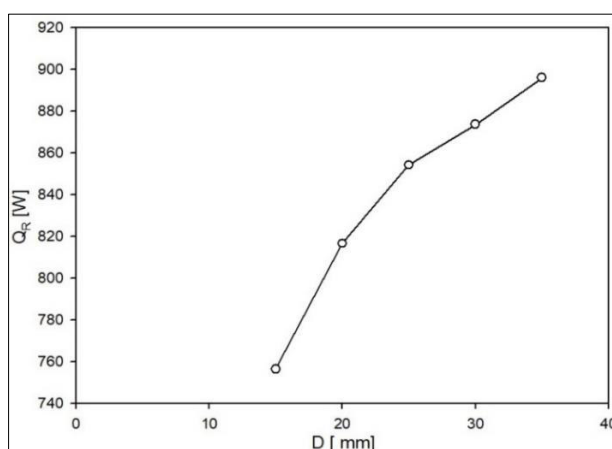
D (mm)	$T_g$ (°C)	$h_g$ (kj/kg)	$\dot{m}$ (kg/s)	$T_c$ (°C)	$h_c$ (kj/kg)	$Q_T$ (W)
15	75	314,03	0,017	54,37	227,63	1538,24
20	75	314,03	0,025	58,92	246,98	1691,13
25	75	314,03	0,032	61,64	258,05	1827,20
30	75	314,03	0,040	63,61	266,3	1911,99
35	75	314,03	0,047	64,31	269,23	2126,96

Toplam ısıl güç değişimine ait grafik Şekil 5.90'da sunulmuştur. Grafikte gösterilen ısıl güç değerleri, eşitlikler yardımıyla hesaplanarak Çizelge 5.12'de sunulan değerler kullanılarak oluşturulmuştur. Grafikten de görüldüğü üzere, boru çapı arttıkça elde edilen toplam ısır transfer miktarı artmaktadır. Bunun nedeni, boru çapı arttıkça sisteme giriş yapan suyun kütlesel debisi artmaktadır ve ısısını daha fazla yüzeye iletmektedir. Ayrıca boru çapı arttıkça, boruları çevreleyen alt ve üst sacların yüzey alanları artmaktadır. Artan yüzey alanları da toplam ısır transfer miktarının artmasını sağlamaktadır.



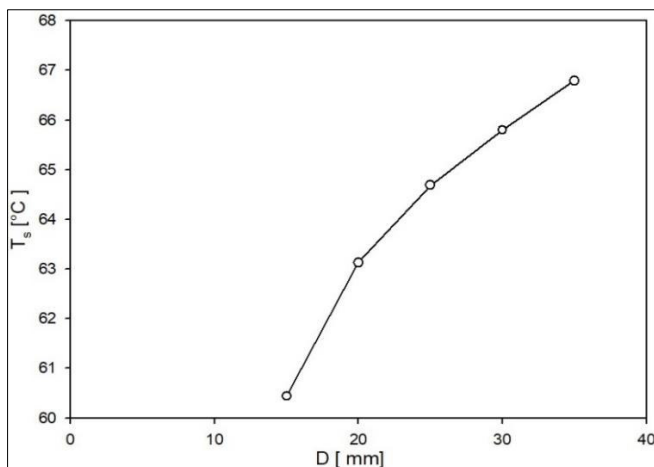
Şekil 5.90. Toplam ısır transfer miktarının boru çapı ile değişimi

Şekil 5.91'de alt sac yüzeyin radyasyon miktarının ( $Q_R$ ), boru çapına bağlı değişimini gösteren grafik sunulmuştur. Boru çapı arttıkça elde edilen radyasyon miktarı artmaktadır. Boru çapı arttıkça kütlesel debi ve alt sac yüzey alanı artmaktadır. Debi artışıyla sıcak su ısısını daha fazla yüzeye aktarmakta elde edilen net radyasyon miktarı da artmaktadır.



Şekil 5.91. Alt sac yüzeyinden elde edilen radyasyon miktarının boru çapı ile değişimi

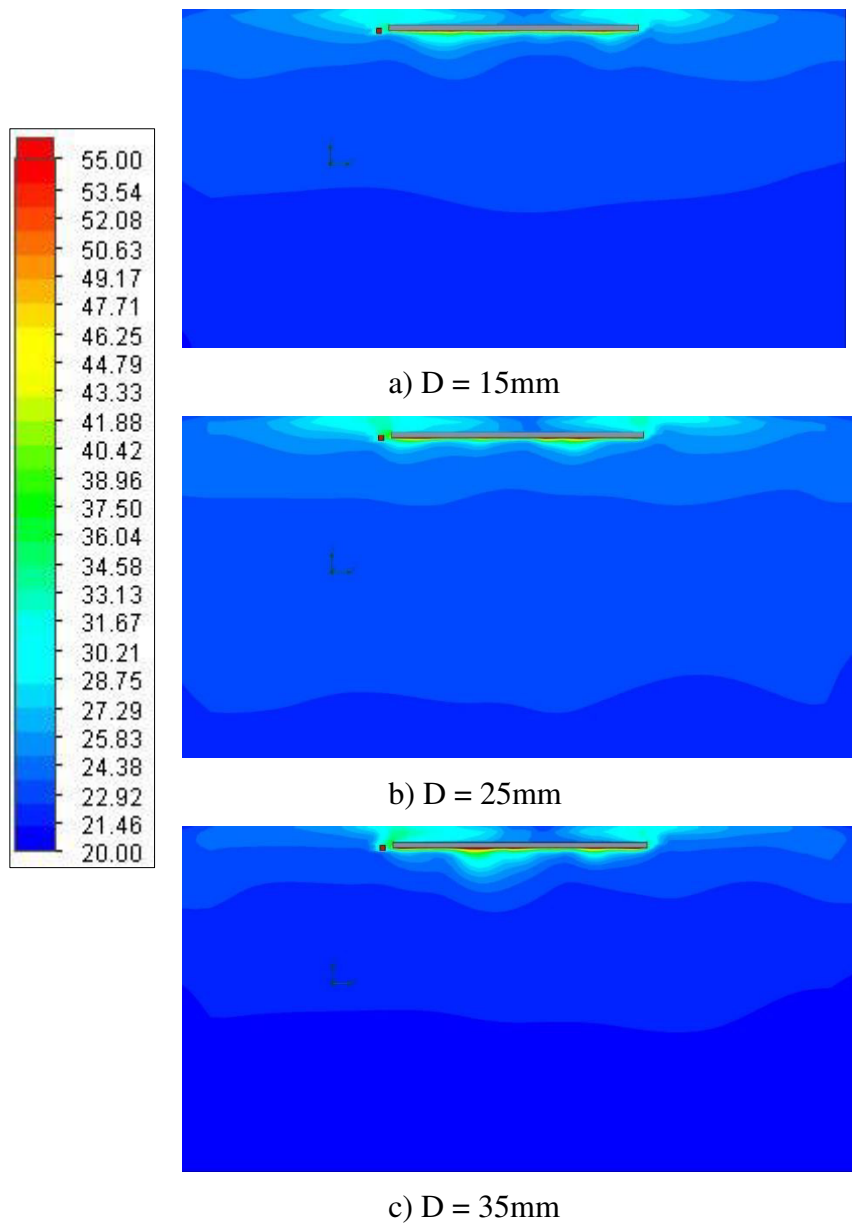
Radyasyon yayıcı yüzeyin ortalama sıcaklığının, boru çapına bağlı değişimini gösteren grafik Şekil 5.92'de sunulmuştur. Diğer grafiklere benzer şekilde boru çapı arttıkça yüzey sıcaklık değeri de artmaktadır. Boru çapı arttıkça kütlesel debi ve alt sac yüzey alanı artmaktadır. Debi artışıyla sıcak su ısısını daha fazla yüzeye aktarmakta ve aynı zamanda yüzey alanı da arttıkça elde edilen sıcaklık değeri de artmaktadır.



Şekil 5.92. Alt sac ortalama yüzey sıcaklığının boru çapı ile değişimi

### 5.6.1. Boru çapının sıcaklık ve hız dağılımına etkisi

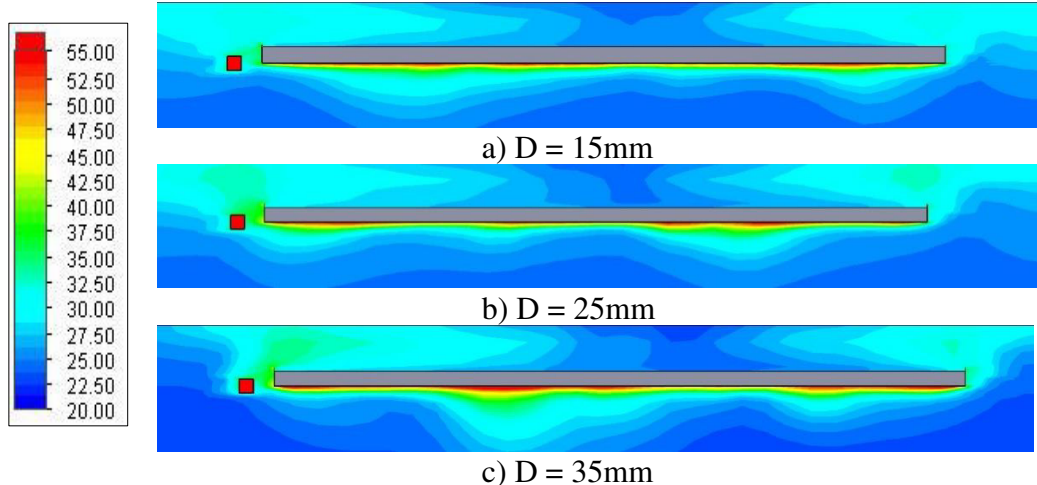
Grafiklerin gösteriminin ardından boru çapının hem oda içerisindeki hem de panel bölgesindeki sıcaklık ve hız dağılımına etkisi sunulmuştur. Bu amaçla boru çapının 15 mm, 25 mm ve 35 mm değerleri için; sistemi ortadan kesen A2, B2 kesitlerinde hem oda hem de panel bölgesindeki dağılımlar kullanılmıştır. Bunlara ilave olarak sistemdeki boruların tam ortasından geçen C1 kesiti için panel bölgesindeki dağılım da sunulmuştur.



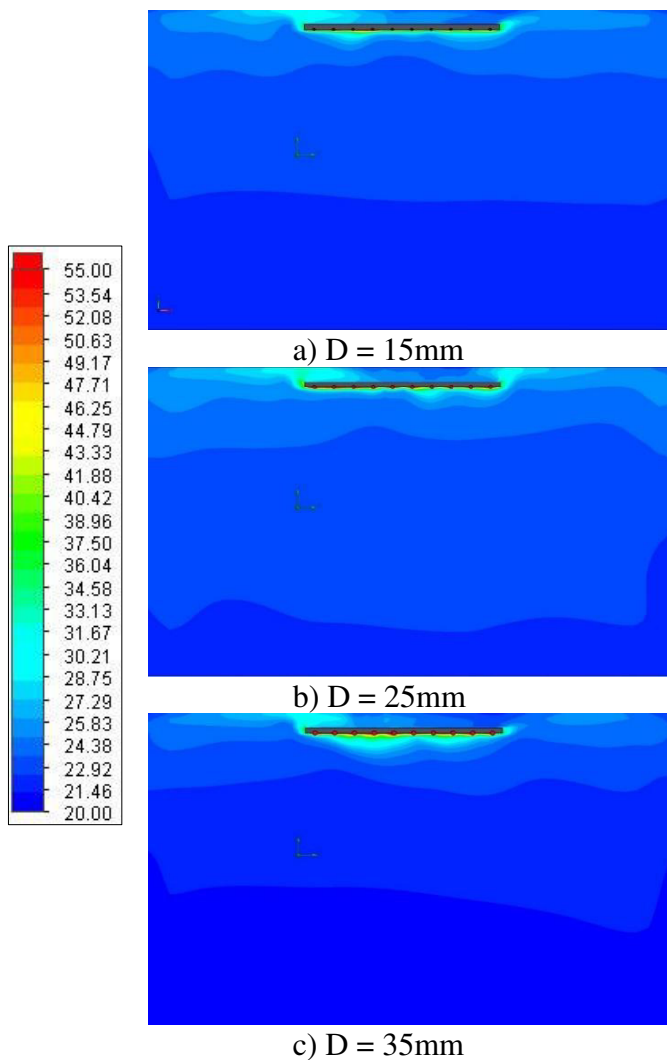
Şekil 5.93. A2 kesitinde oda içerisindeki sıcaklık dağılımına D değerinin etkisi

Şekil 5.93'te A2 kesiti için oda içerisindeki sıcaklık dağılımı sunulmuştur. Şekil incelendiğinde oda içerisindeki dağılımlarda ve sıcaklık değerlerinde benzerlikler görülmektedir.

A2 kesitinde panel bölgesindeki sıcaklık dağılımını daha net görebilmek amacıyla panel bölgeye yakınlaştırılmış görüntüler Şekil 5.94'te sunulmuştur. Boru çapı arttıkça debi ve yüzey alanı artmaktadır. Bundan dolayı da boru çapının 35 mm olduğu durumda panelin alt bölümündeki sıcaklık değerlerinin arttığı görülmektedir.



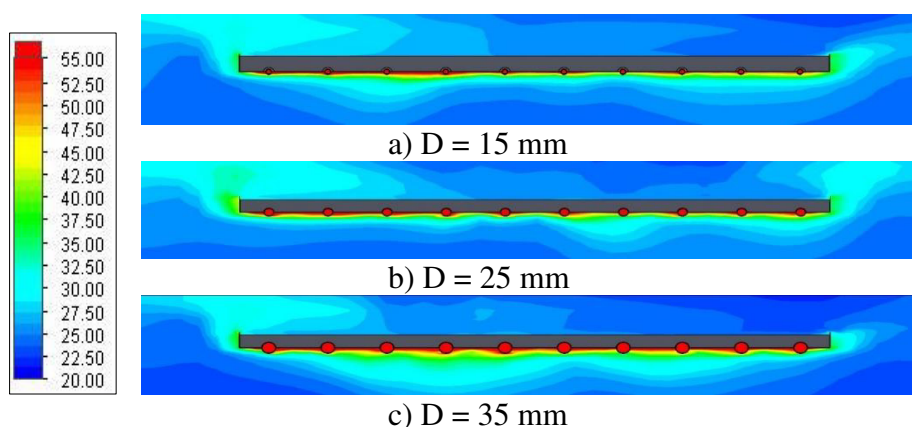
Şekil 5.94. A2 kesitinde panel bölgesindeki sıcaklık dağılımına D değerinin etkisi



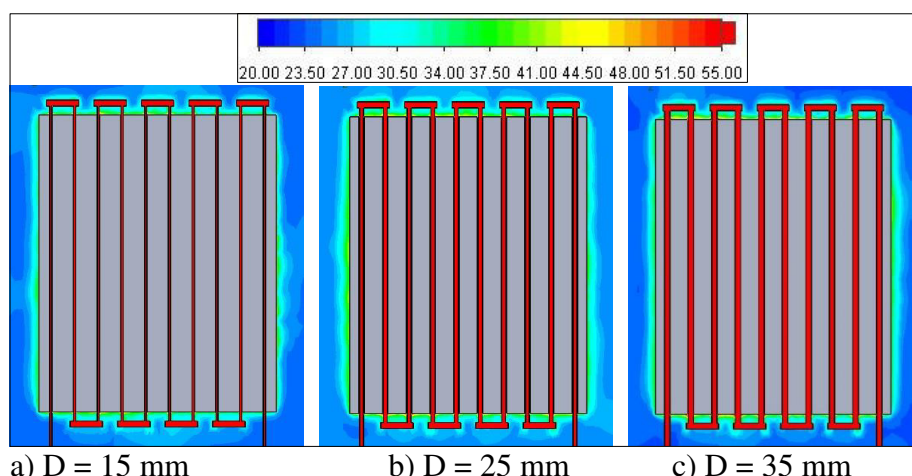
Şekil 5.95. B2 kesitinde oda içerisindeki sıcaklık dağılımına D değerinin etkisi

Şekil 5.95'te B2 kesiti için oda içerisindeki sıcaklık dağılımı sunulmuştur. Oda içerisindeki sıcaklık dağılımı benzerlik göstermekle beraber boru çapının 35 mm olduğu durumda A2 kesitindeki duruma benzer şekilde panel bölgesinde sıcaklık değerlerinin arttığı gözlemlenmektedir.

Şekil 5.96'da B2 kesiti için panel bölgesinde sıcaklık dağılımı sunulmuştur. Şekil incelendiğinde boru çapının artmasıyla panelin alt tarafındaki sıcaklık değerinin arttığı görülmektedir. Boru çapı arttıkça kütlesel debi ve panel yüzey alanı artmaktadır ve dolayısıyla daha fazla yüzeye ısı yayılmaktadır. Fakat boru çapının 35 mm olduğu durumda sistemin sağındaki çıkış bölümüne yakın bölgede sıcaklık değerinin düşüğü görülmektedir. Bunun sebebi debi değerinin bu boru çapı değeri için üst bölgeye yeterli ısıyı iletmeye yetmediği düşünülmektedir. 25 mm olan durumda ise üst bölgelerde sıcaklık değerleri en yüksek değerlerine ulaşmaktadır.



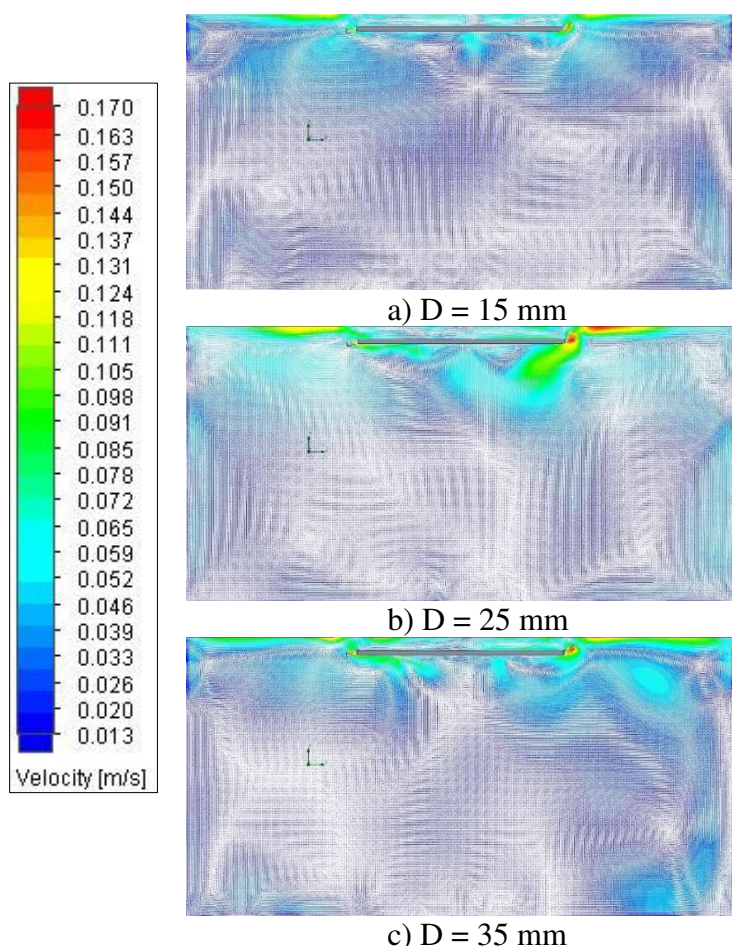
Şekil 5.96. B2 kesitinde panel bölgesinde sıcaklık dağılımına D değerinin etkisi



Şekil 5.97. C1 kesitinde panel bölgesinde sıcaklık dağılımına D değerinin etkisi

Şekil 5.97'de C1 kesiti için panel bölgesindeki sıcaklık dağılımı sunulmuştur. Boru çapının 25 mm olduğu durumda panelin etrafındaki sıcaklık değerleri diğer iki duruma kıyasla daha yüksektir. Debinin yetersiz kalmasından dolayı 35 mm olan durumda panelden uzaklaşıkça değerler düşmektedir. Fakat panele yaklaşıkça değerler iki durumda da birbirine yakındır.

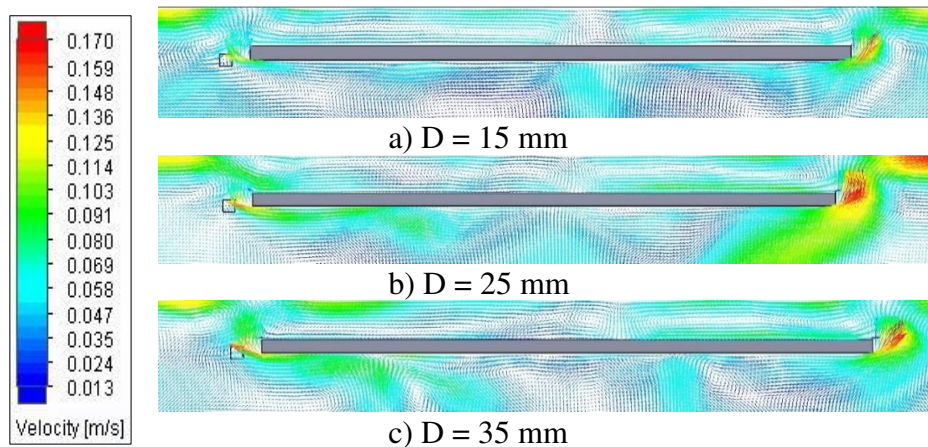
Sıcaklık dağılımlarının ardından A2, B2 ve C1 kesitleri için oda ve panel bölgesindeki hız dağılımları sunulmuştur. Şekil 5.98'de A2 kesiti için oda içerisindeki hız dağılımı gösterilmiştir. Oda içerisindeki hız dağılımlarında benzerlikler gözlemlenirken boru çapının 25 mm olduğu durumda panel bölgesinde hız değerlerinin yüksek görülmektedir.



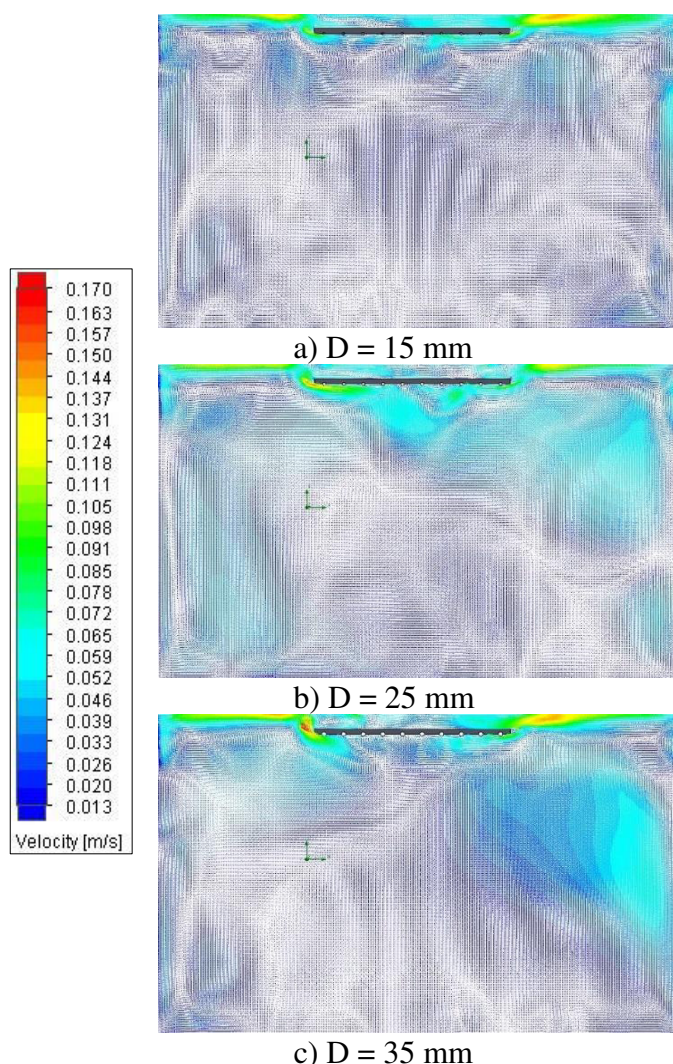
Şekil 5.98. A2 kesitinde oda içerisindeki hız dağılımına D değerinin etkisi

Şekil 5.99'da A2 kesiti için panel bölgesindeki hız dağılımları sunulmuştur. Boru çapının 25 mm olduğu durumda panelin giriş bölümüne yakın olan sağ tarafında hız değerlerinin diğer iki duruma göre daha yüksek olduğu ve havanın ısınarak yukarı yönlendiği görülmektedir.

Üç durumda da panelin üst bölümünde hız değerinin düşük olduğu yerlerde vortekslerin oluştuğu görülmektedir.



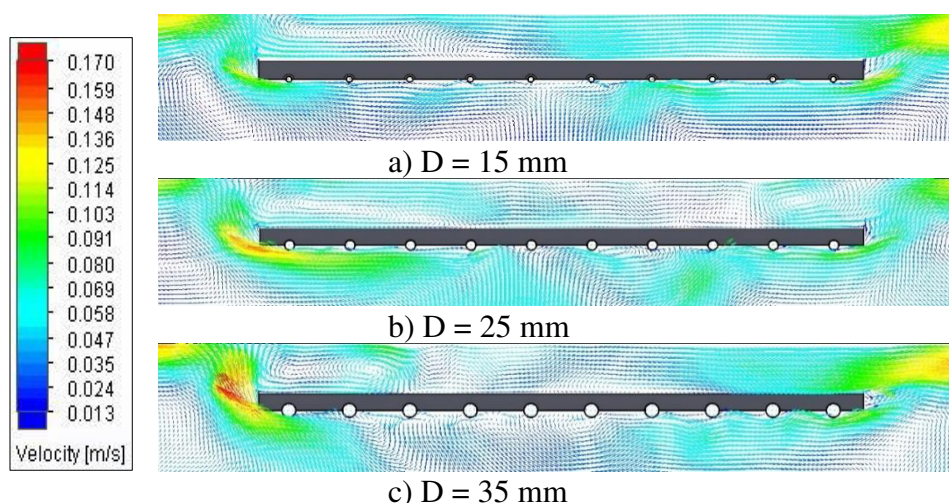
Şekil 5.99. A2 kesitinde panel bölgesindeki hız dağılımına  $D$  değerinin etkisi



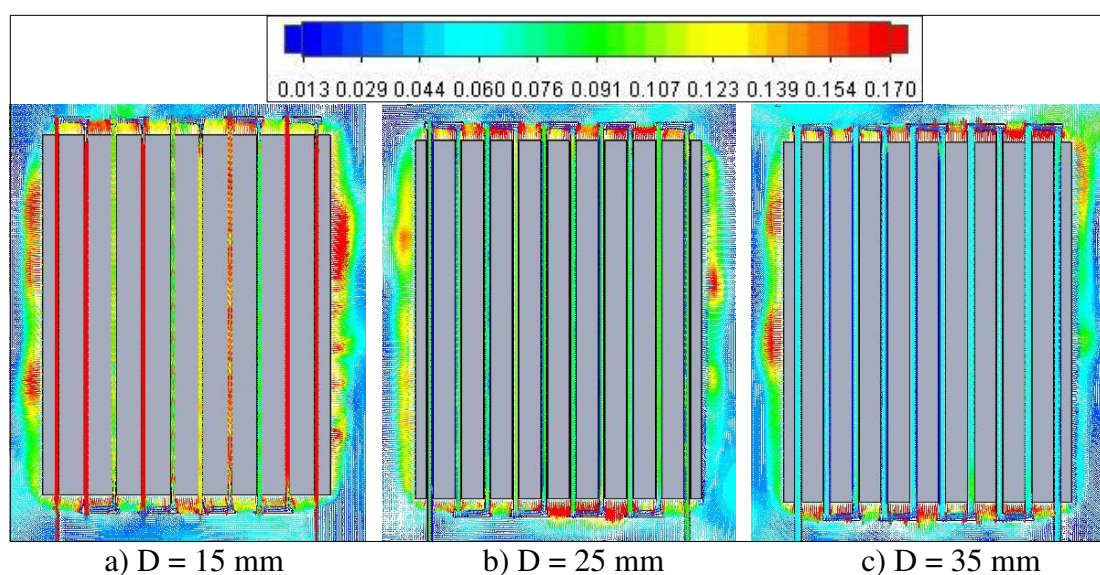
Şekil 5.100. B2 kesitinde oda içerisindeki hız dağılımına  $D$  değerinin etkisi

B2 kesiti için oda içerisindeki hız dağılımı Şekil 5.100'de sunulmuştur. Odanın sağ tarafında boru çapı arttıkça zemine doğru gidildikçe hız değerinin arttığı görülmektedir. Boru çapının 25 mm olduğu durumda panelin alt bölümünde hız değerlerinin ve yoğunluğunun diğer iki duruma göre daha yüksek olduğu görülmektedir.

Panel bölgesindeki hız dağılımını daha net görmek amacıyla yakınlaştırılmış görüntüler Şekil 5.101'de sunulmuştur. Boru çapının 35 mm olduğu durumda sol tarafta giriş bölgесine yakın olan bölümde hız değerinin daha yüksek olduğu ve yüzeyden taşınım yoluyla ısiman havanın yukarıya doğru yükselmekte olduğu görülmektedir.



Şekil 5.101. B2 kesitinde panel bölgesindeki hız dağılımına D değerinin etkisi

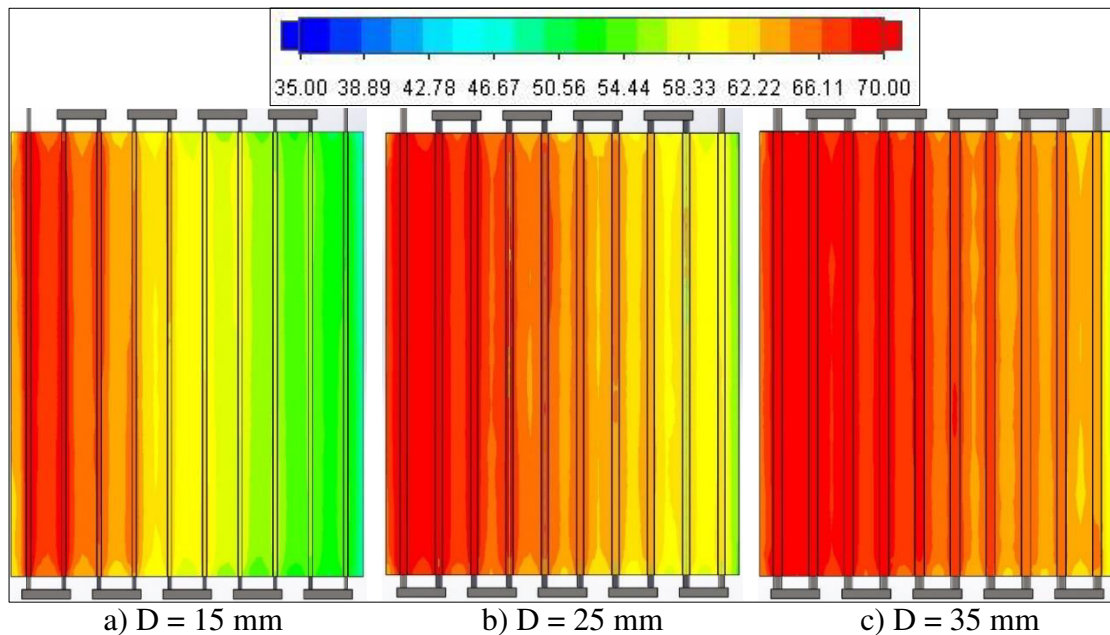


Şekil 5.102. C1 kesitinde panel bölgesindeki hız dağılımına D değerinin etkisi

Şekil 5.102'de ise C1 kesiti için panel bölgesindeki hız dağılımı sunulmuştur. Şekil incelendiğinde panel bölgesinde etrafında boru çapının 15 mm olduğu durumda hız değerlerinin daha yüksek olduğu görülmektedir. Boru çapı arttıkça ve çıkış bölümüne yaklaşıkça hız değerleri azalmaktadır. Bunun sebebi ise artan boru çapına karşılık debi değerinin yetersiz kalmasıdır. Bu nedenle yeterli ısı çıkış bölümüne kadar taşınamamakta ve yan yüzeye iletilememektedir. Boru çapının 25 mm olduğu durumda panel etrafında hız dağılımı diğer durumlara göre daha dengelidir.

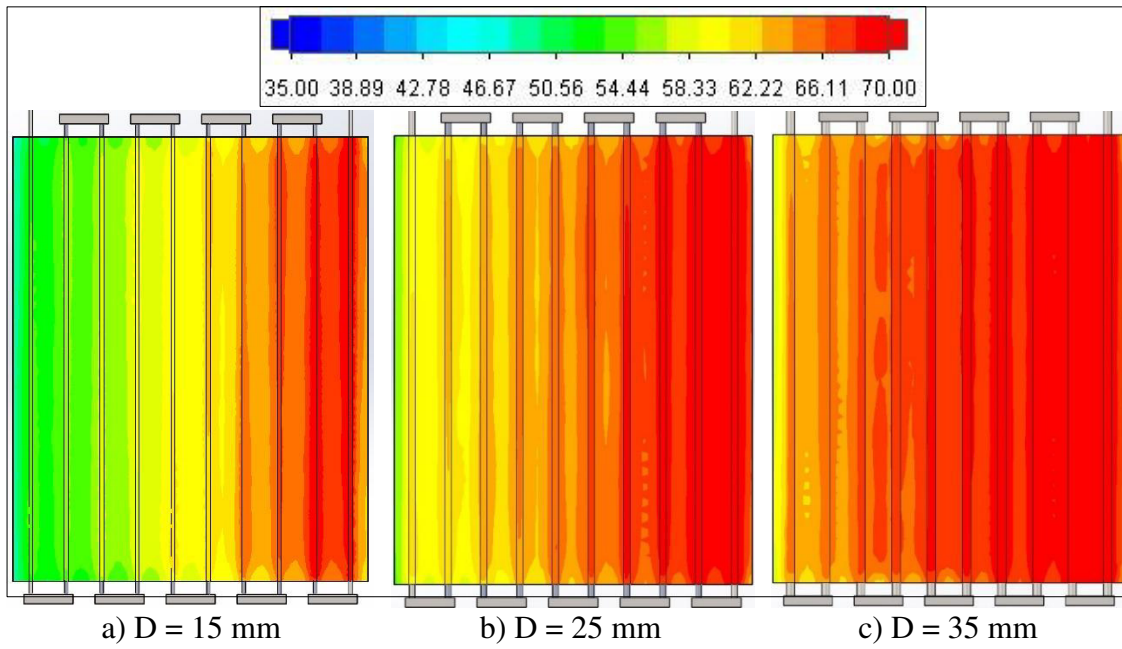
### **5.6.2. Boru çapının boruları çevreleyen saclar üzerindeki etkisi**

Oda içerisindeki ve panel bölgesindeki sıcaklık ve hız dağılımlarının ardından, boru çapının radyasyon yayıcı alt sac yüzeyine ve üst sac yüzeyindeki sıcaklık dağılımları incelenmiştir. Bu amaçla Şekil 5.103'te alt sac yüzeyindeki sıcaklık dağılımı sunulmuştur. Boru çapı arttıkça yüzeydeki sıcaklık değerlerinin ve yoğunluğunun arttığı görülmektedir. Boru çapı arttıkça kütlesel debi değeri ve alt sac yüzey alanı artmaktadır. Dolayısıyla sıcak su, yüksek debi ile sıcaklığını daha fazla yüzey alanına aktarmaktadır.



Şekil 5.103. Alt sacdaki sıcaklık dağılımına D değerinin etkisi

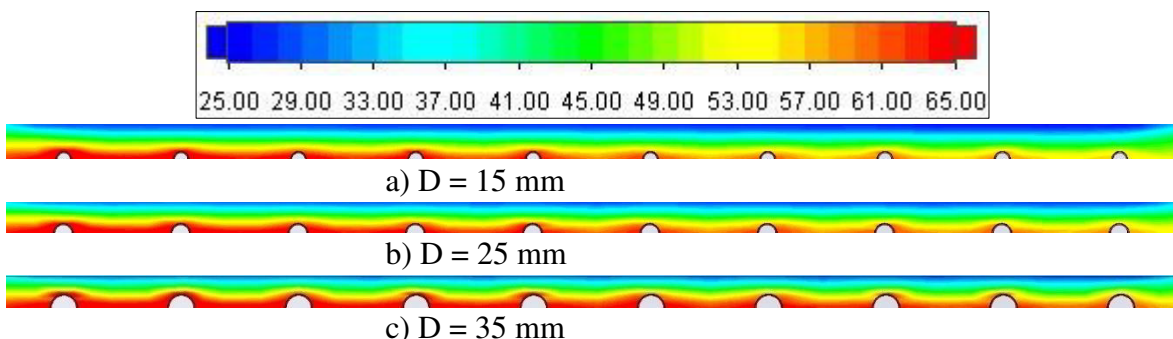
Şekil 5.104'te borular ile yalıtım malzemesi arasında kalan üst sac üzerindeki boru malzemesinin etkisi sunulmuştur. Alt sacdaki duruma benzer bir sıcaklık dağılımı gözlenmekte olup boru çapı arttıkça sıcaklık değeri ve yoğunluğu artmaktadır.



Şekil 5.104. Üst sacdaki sıcaklık dağılımına D değerinin etkisi

### 5.6.3. Boru çapının yalıtılmalzemesi içindeki sıcaklık dağılımına etkisi

Boru çapının yalıtılmalzemesi üzerindeki etkisini görmek amacıyla yalıtılmalzemesinin B2 kesitindeki sıcaklık dağılımı Şekil 5.105'te sunulmuştur.



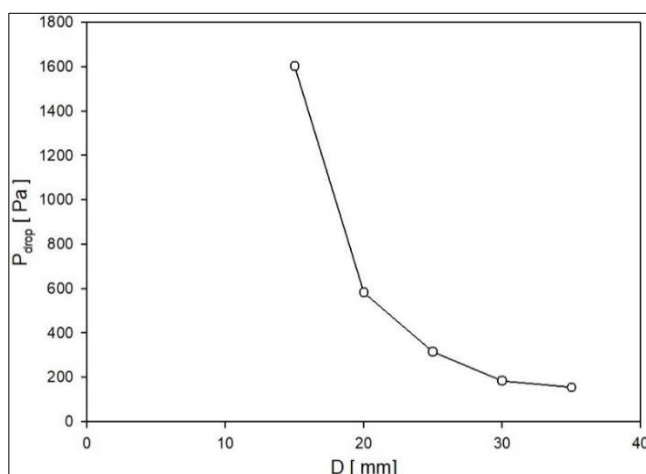
Şekil 5.105. B2 kesiti yalıtılmalzemesindeki sıcaklık dağılımına D değerinin etkisi

Boru çapı arttıkça sol taraftaki giriş bölümüne yakın bölgelerde sıcaklık değerinin arttığı görülmektedir. Ayrıca boru çapının düşük olduğu durumda suyun ısısı özellikle çıkış bölümüne doğru yaklaşıkça yalıtılmalzemesine yeterli miktarda iletilememekte ve sıcaklık değerlerinin düşük olduğu görülmektedir. Fakat boru çapı arttıkça bu durum ortadan kalkmakta ve suyun ısısı yalıtılmalzemesine her bölümde yakın değerlerde aktarılmaktadır.

#### 5.6.4. Boru çapının basınç düşümüne etkisi

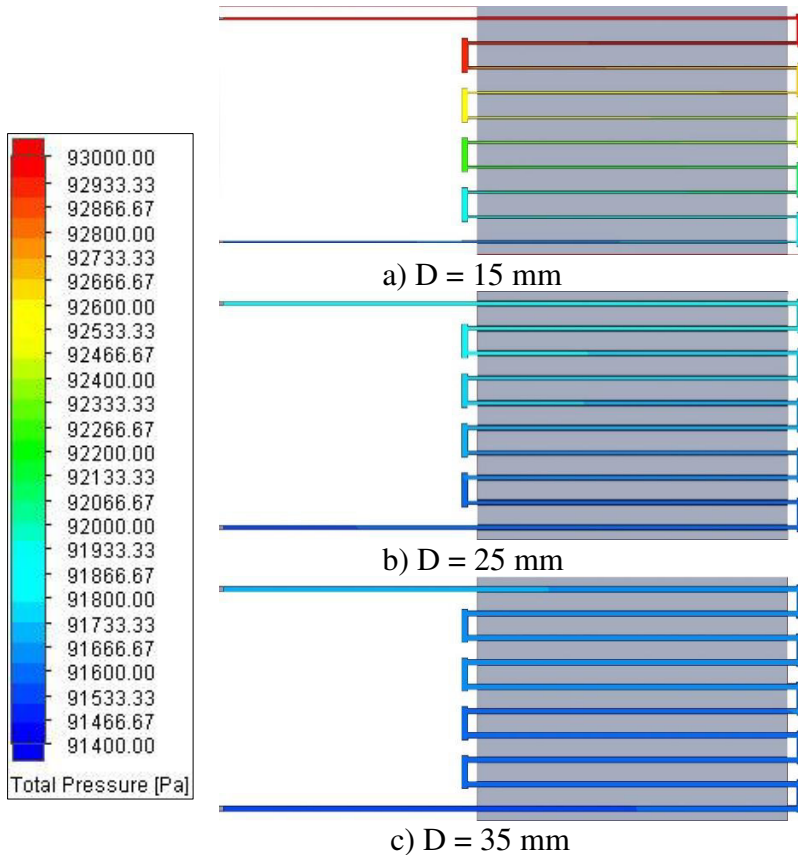
Boru çapı çalışmasındaki bir diğer önemli nokta da basınç düşümüdür. Analizlerde çıkış bölümü atmosferik hava koşullarına göre tanımlanmıştır. Suyun sistem içerisindeki hareketi sırasında çıkışa doğru sıcaklığını ve basıncını kaybetmektedir.

Şekil 5.106'da boru çapına bağlı basınç düşümü grafiği sunulmuştur. Boru çapının 15 mm'den 20 mm'ye çıkartılmasıyla yaklaşık 1000 Pa basınç düşümü gerçekleşmiştir. Bu düşüş çap arttıkça devam etmektedir fakat 30 mm – 35 mm aralığında düşük seviyelere gelmektedir. Diğer bir ifadeyle debi değeri arttıkça basınç farkı azalmaktadır.



Şekil 5.106. Basınç düşümünün boru çapı ile değişimi

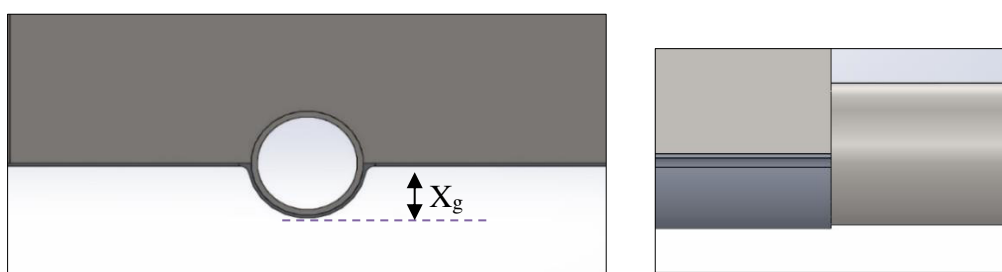
Şekil 5.107'de 3 farklı boru çapı için giriş çıkış arasındaki basınç farkı sunulmuştur. Boru çapı arttıkça giriş ve çıkış arasındaki basınç farkının düştüğünü görmektedir. Boru çapının 15 mm olduğu durumda giriş bölgesindeki basınç değerinin diğer durumlara kıyasla daha yüksek olduğu görülmektedir.



Şekil 5.107. C1 kesitinde borulardaki basınç düşümüne D değerinin etkisi

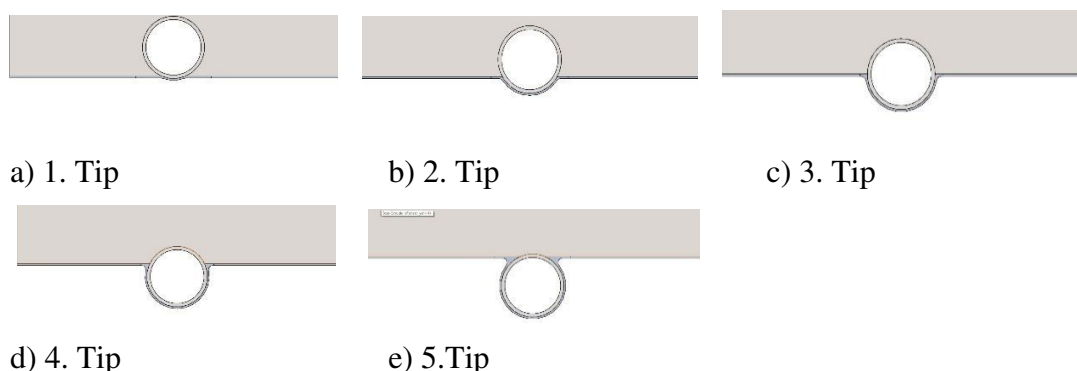
### 5.7. Gömülme Mesafesinin Performans Üzerindeki Etkisi

Boru çapı çalışmasının ardından, boruların radyasyon yayıcı alt saca gömülme mesafesinin sistemin ısıtma performansı üzerindeki etkisi incelenmiştir. Bu amaçla değişik gömülme mesafelerindeki durumlar incelenmiş olup boruların saca gömülme mesafesine bağlı olarak değişen yüzey alanlarının etkisini incelenmiştir. Gömülme mesafesinin 1 mm ve 27 mm aralığında değiştiği toplam 5 farklı durum üzerinde çalışılmıştır. Gömülme mesafesiyle ilgili ön ve yan görünüşler Şekil 5.108'de gösterilmiştir.



Şekil 5.108. Gömülme mesafesi ölçülendirilmesi

Çalışmalarda kullanılan 5 farklı tip Şekil 6.109'da sunulmuştur. Şekilde görüldüğü üzere gömülme mesafesi arttırıldıkça boruların radyasyon yayıcı alt sacdan çıkıştı artmaktadır ve sacın yüzey alanı artmaktadır.



Şekil 5.109. Gömülme tipleri

Çizelge 5.14'te ise Şekil 5.109'da sunulan, çalışmalarda kullanılmış modellere ait gömülme mesafeleri verilmiştir.

Çizelge 5.14. Gömülme mesafeleri

Model	Gömülme Mesafesi $X_g$ (mm)
1. Tip	1
2. Tip	7
3. Tip	14
4. Tip	20
5.Tip	27

Çizelge 5.15'de çalışmada kullanılan sabit ve değişken parametreler sunulmuştur.

Çizelge 5.15. Gömülme mesafesi çalışmasında kullanılan parametreler

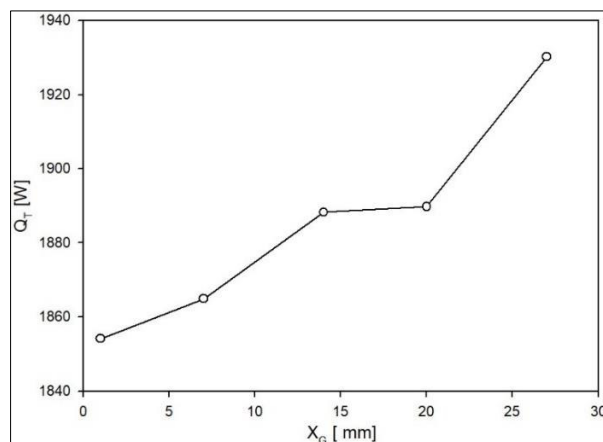
Parametre	Değer
Re	5000
Su Giriş Sıcaklığı $T_g$ (°C)	75
Oda Duvar Sıcaklığı $T_d$ (°C)	20
Oda Duvarları Yayıcılık Katsayısı $\epsilon_d$	0,93
Panel Yayıcılık Katsayısı $\epsilon_p$	0,95
Gömülme Mesafesi $X_g$ (mm)	1, 7, 14, 20, 27

Çizelge 5.16'te her bir gömülme mesafesi için su giriş ve çıkış sıcaklıkları, entalpi değerleri ve toplam ısı transfer miktarları verilmiştir. Su giriş sıcaklık değeri ve debi değeri değişmediği için dinamik viskozite ( $\mu$ ) değeri tüm durumlar için aynıdır. Su giriş sıcaklık değeri aynı olduğu için her durumda giriş entalpi değeri de aynıdır. Su çıkış sıcaklık değeri her durumda değiştiği için, sıcaklık değerine karşılık gelen çıkış entalpi değerleri tablolar yardımıyla belirlenip ısıl güç hesaplanmıştır.

Çizelge 5.16. Gömülme mesafesi çalışması için hesaplanan değerler

$X_g$ (mm)	$T_g$ (°C)	$h_g$ (kj/kg)	$T_c$ (°C)	$h_c$ (kj/kg)	$Q_T$ (W)
1	75	314,03	63,07	264,04	1854,19
7	75	314,03	63	263,75	1864,94
14	75	314,03	62,85	263,12	1888,31
20	75	314,03	62,84	263,08	1889,79
27	75	314,03	62,58	261,99	1930,22

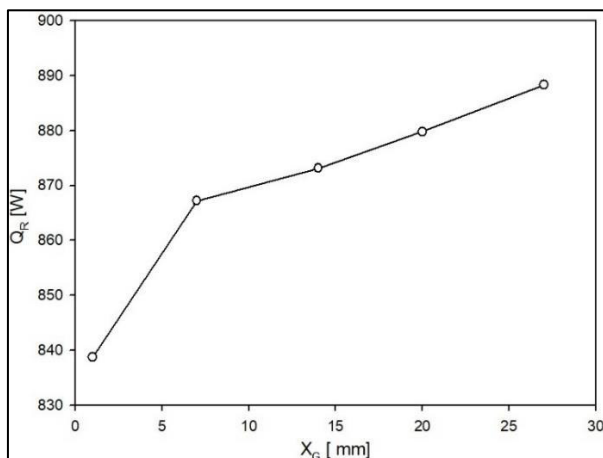
Toplam ısıl gücü sonuçlarına ait grafik Şekil 5.110'da sunulmuştur. Grafikte gösterilen ısıl güç değerleri, eşitlikler yardımıyla hesaplanarak Çizelge 5.16'da sunulan değerler kullanılarak oluşturulmuştur.



Şekil 5.110. Toplam ısı transfer miktarının gömülme mesafesi ile değişimi

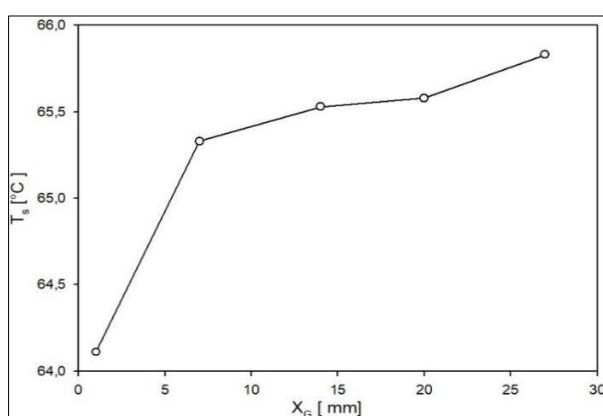
Grafikten de görüldüğü üzere, gömülme mesafesi arttıkça elde edilen toplam ısı transfer miktarı artmaktadır. Bunun nedeni gömülme mesafesi arttıkça radyasyon yayıcı alt sacın yüzey alanının artması ve dolayısıyla sistemde dolaşan sıcak suyun ısısını daha fazla yüzey alanına aktarmasıdır.

Şekil 5.111'de alt sac yüzeyinden elde edilen radyasyon miktarının ( $Q_R$ ), gömülme mesafesine bağlı değişimini gösteren grafik sunulmuştur. Toplam ısıl güç durumuna benzer şekilde gömülme mesafesi arttıkça elde edilen net radyasyon miktarı da artmaktadır. Boru çapı arttıkça kütlesel debi ve alt sac yüzey alanı artmaktadır. Debi artışıyla sıcak su ısısını daha fazla yüzeye aktarmakta ve aynı zamanda yüzey alanı da arttıkça elde edilen net radyasyon miktarı da artmaktadır.



Şekil 5.111. Alt sac yüzeyinden elde edilen radyasyon miktarının gömülme mesafesi ile değişimi

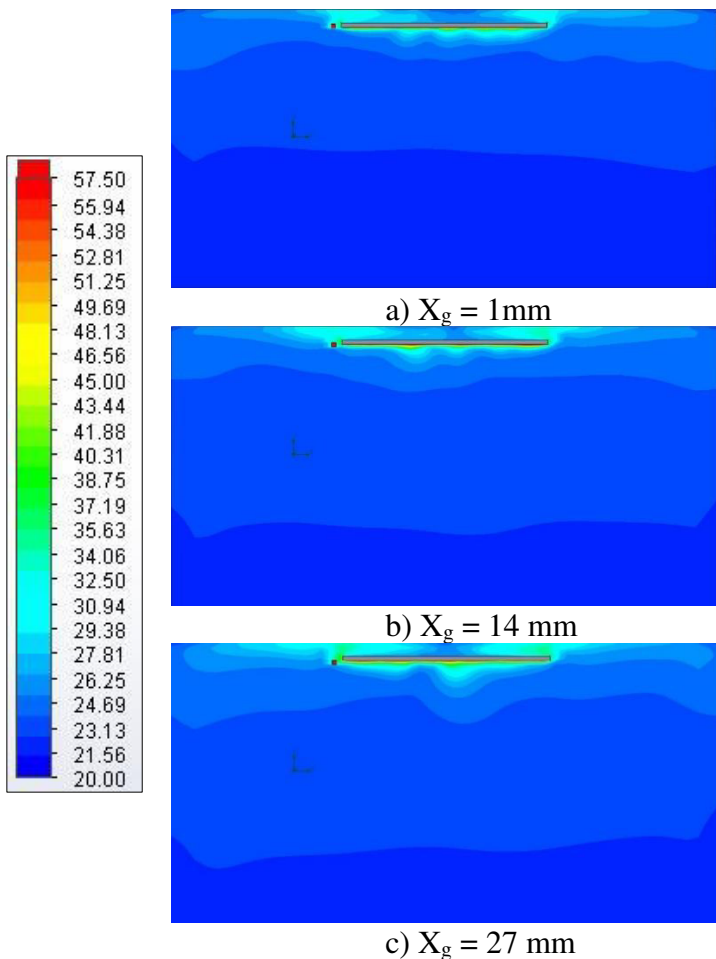
Radyasyon yayıcı alt sac yüzeyin ortalama sıcaklığının, boru çapına bağlı değişimini gösteren grafik Şekil 5.112'de sunulmuştur. Gömülme mesafesi arttıkça yüzey sıcaklık değeri ilk ve son durum arasında yaklaşık  $1,5^{\circ}\text{C}$  artmaktadır. Bu değer fazla olmamakla beraber ihmäl edilebilir seviyelerdedir. Gömülme mesafesinin artması alt sac yüzey alanını artırmakta fakat ortalama yüzey sıcaklığında belirgin bir değişime sebep olmamaktadır.



Şekil 5.112. Alt sac ortalama yüzey sıcaklığının gömülme mesafesi ile değişimi

### 5.7.1. Gömülme mesafesinin sıcaklık ve hız dağılımına etkisi

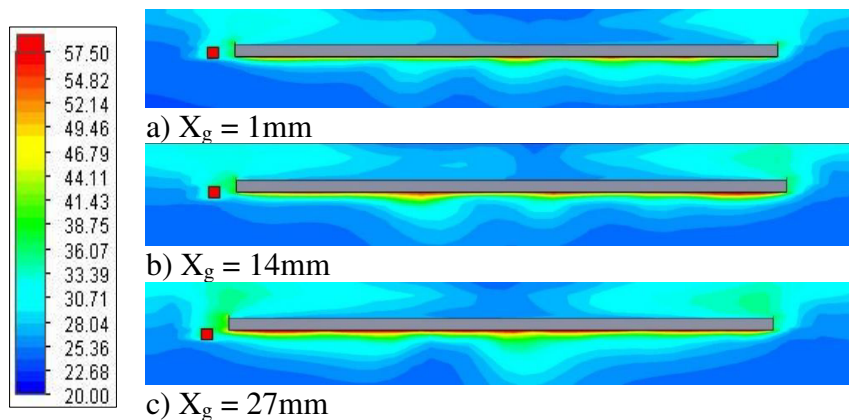
Grafiklerin gösteriminin ardından gömülme mesafesinin hem oda içerisindeki hem de panel bölgesindeki sıcaklık ve hız dağılımına etkisi sunulmuştur. Bu amaçla gömülme mesafesinin 1 mm, 14 mm ve 27 mm değerleri için; sistemi ortadan kesen A2, B2 kesitlerinde hem oda hem de panel bölgesindeki dağılımlar kullanılmıştır. Bunlara ilave olarak sistemdeki boruların tam ortasından geçen C1 kesiti için panel bölgesindeki dağılım da sunulmuştur. Şekil 5.113'te A2 kesiti için oda içerisindeki sıcaklık dağılımı sunulmuştur. Şekil incelendiğinde oda içerisindeki dağılımlarda ve sıcaklık değerlerinde benzerlikler görülmektedir. Panel bölgesine bakıldığı zaman gömülme mesafesi arttıkça panel etrafındaki yoğunluğun ve sıcaklık değerlerinin arttığı görülmektedir.



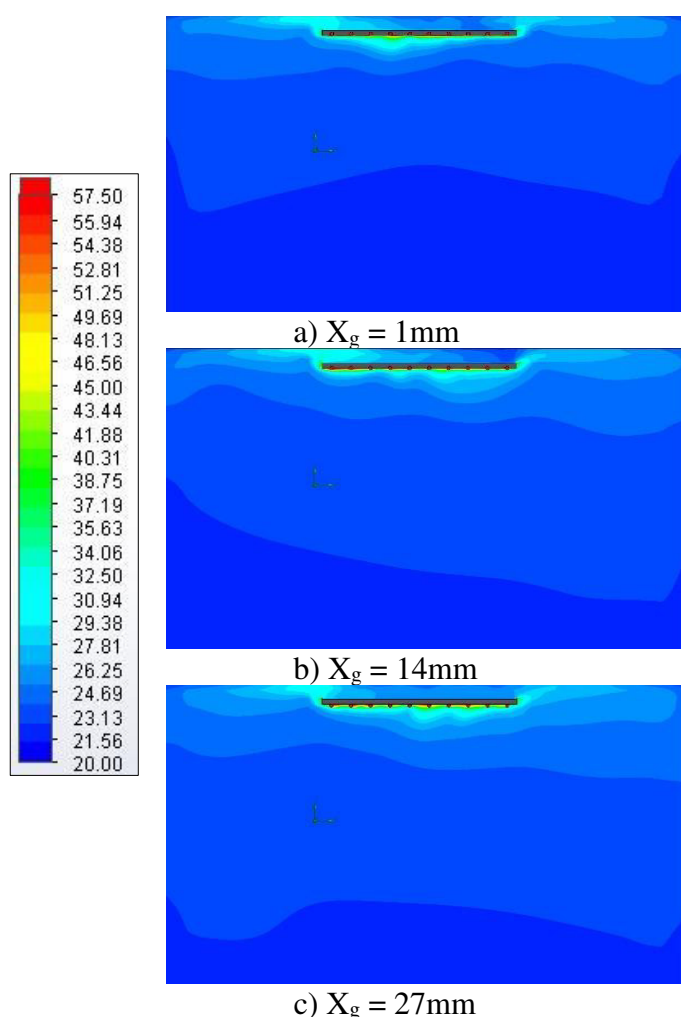
Şekil 5.113. A2 kesitinde oda içerisindeki sıcaklık dağılımına  $X_g$  değerinin etkisi

A2 kesitinde panel bölgesindeki sıcaklık dağılımını daha net görebilmek amacıyla panel bölgesine yakınlaştırılmış görüntüler Şekil 5.114'te sunulmuştur. Gömülme mesafesi

arttıkça alt sac yüzey alanı artmaktadır, bundan dolayı da gömülme mesafesinin 27 mm olduğu durumda panelin alt bölümündeki sıcaklık değerlerinin daha yüksek olduğu görülmektedir.

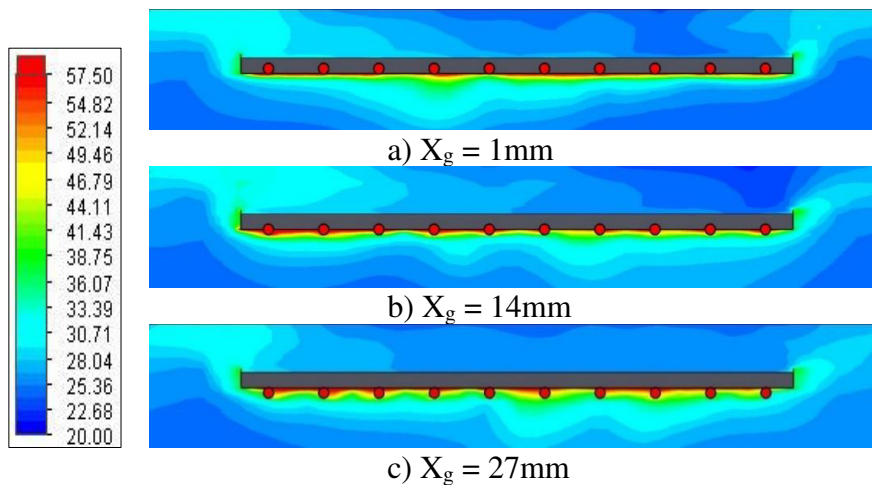


Şekil 5.114. A2 kesitinde panel bölgesindeki sıcaklık dağılımına  $X_g$  değerinin etkisi

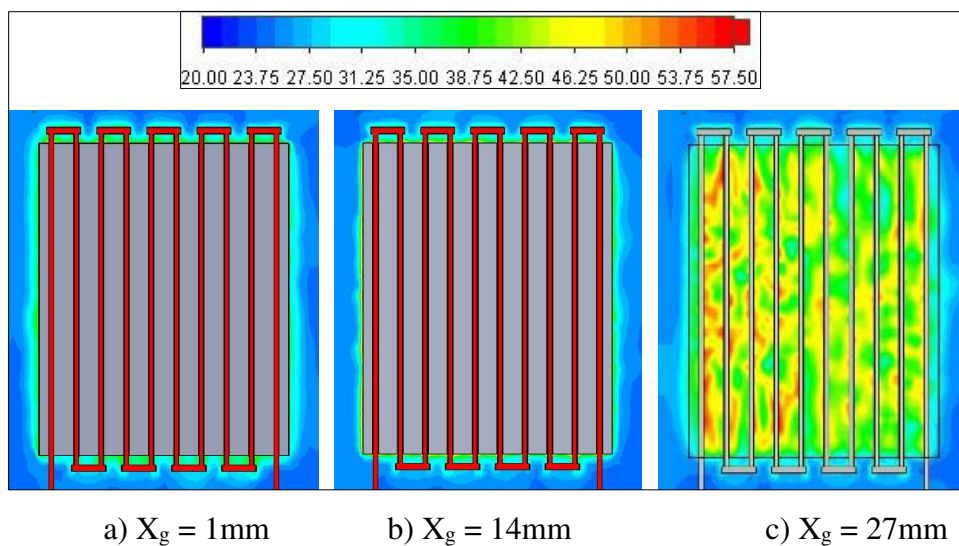


Şekil 5.115. B2 kesitinde oda içerisindeki sıcaklık dağılımına  $X_g$  değerinin etkisi

Şekil 5.116'da B2 kesiti için panel bölgesindeki sıcaklık dağılımı sunulmuştur. Şekil incelendiğinde gömülme mesafesinin artmasıyla panelin alt tarafındaki sıcaklık değerinin arttığı görülmektedir. Gömülme mesafesi arttıkça alt sac yüzey alanı artmaktadır ve dolayısıyla daha fazla yüzeye ısı yayılmaktadır. Panelin üst bölümündeki sıcaklık dağılımları ise üç durumda birbirlerine benzerlik göstermektedir.



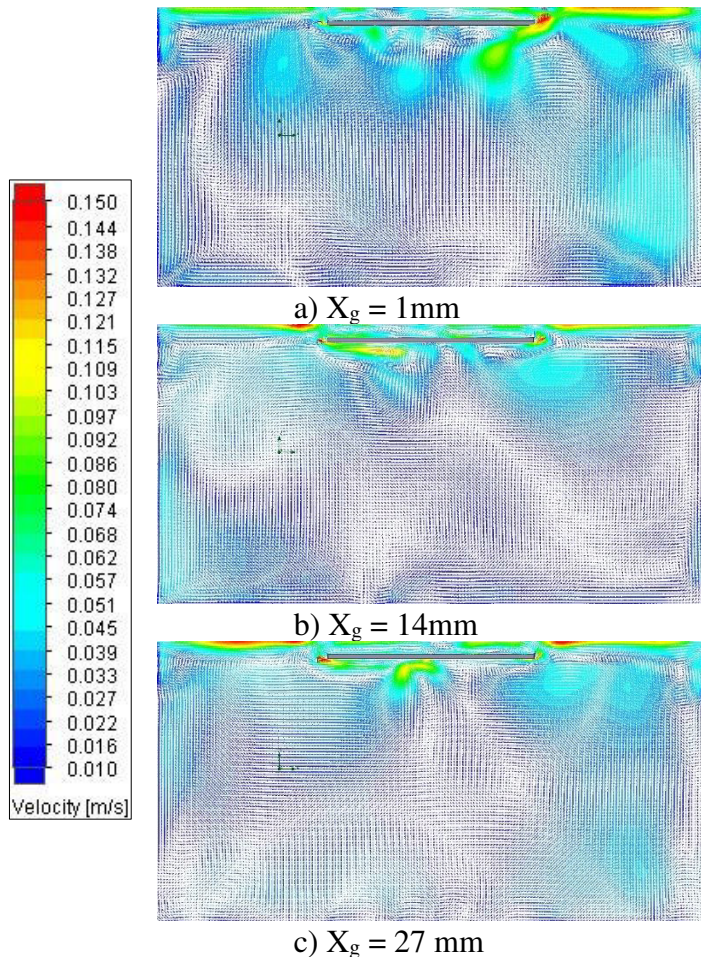
Şekil 5.116. B2 kesitinde panel bölgesindeki sıcaklık dağılımına  $X_g$  değerinin etkisi



Şekil 5.117. C1 kesitinde panel bölgesindeki sıcaklık dağılımına  $X_g$  değerinin etkisi

Şekil 5.117'de C1 kesiti için panel bölgesindeki sıcaklık dağılımı sunulmuştur. C1 kesiti tüm parametrik çalışmalar için boruların ortasından geçen düzlemdir. Diğer parametrik çalışmalarında gömülme mesafesi sabit olduğu için C1 kesiti hep aynı mesafededir. Bu çalışmada ise gömülme mesafesi değiştiği için boruların ortasından geçen kesitin y ekseni boyunca mesafesi değiştiği için gömülme mesafesinin 27 mm olduğu durumdaki görüntüde

borular arasındaki sıcaklık dağılımı da görülmektedir. Durumlar incelendiğinde ise gömülme mesafesinin bu kesitte panel bölgesi etrafında belirgin bir etkisi olmadığı görülmektedir ve üç durumda da sıcaklık dağılımlarının benzerlik gösterdiği görülmektedir.

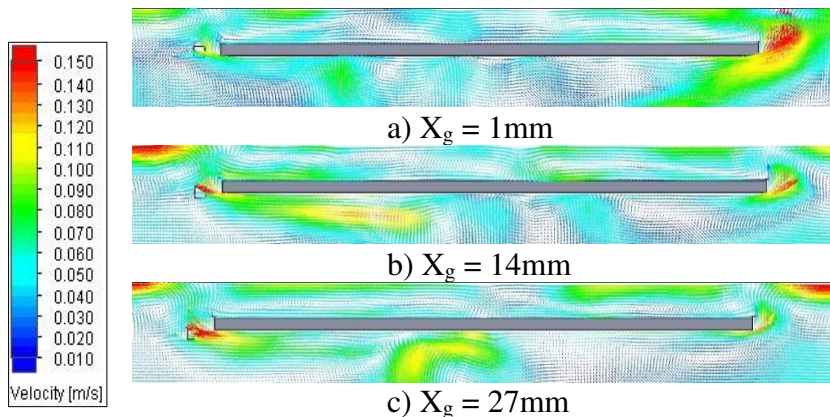


Şekil 5.118. A2 kesitinde oda içerisindeki hız dağılımına  $X_g$  değerinin etkisi

Sıcaklık dağılımlarının ardından A2, B2 ve C1 kesitleri için oda ve panel bölgesindeki hız dağılımları sunulmuştur. Şekil 5.118'de A2 kesiti için oda içerisindeki hız dağılımı gösterilmiştir. Oda içerisindeki hız dağılımlarında farklılıklar görülmektedir. Gömülme mesafesinin 1 mm olduğu durumda panelin giriş bölümüne yakın olan sağ bölümde hız değerlerinin yüksek olduğu görülmektedir. Fakat gömülme mesafesi arttıkça aynı bölgedeki yoğunluğun azaldığı görülmektedir. Benzer durum oda duvarları için de geçerlidir.

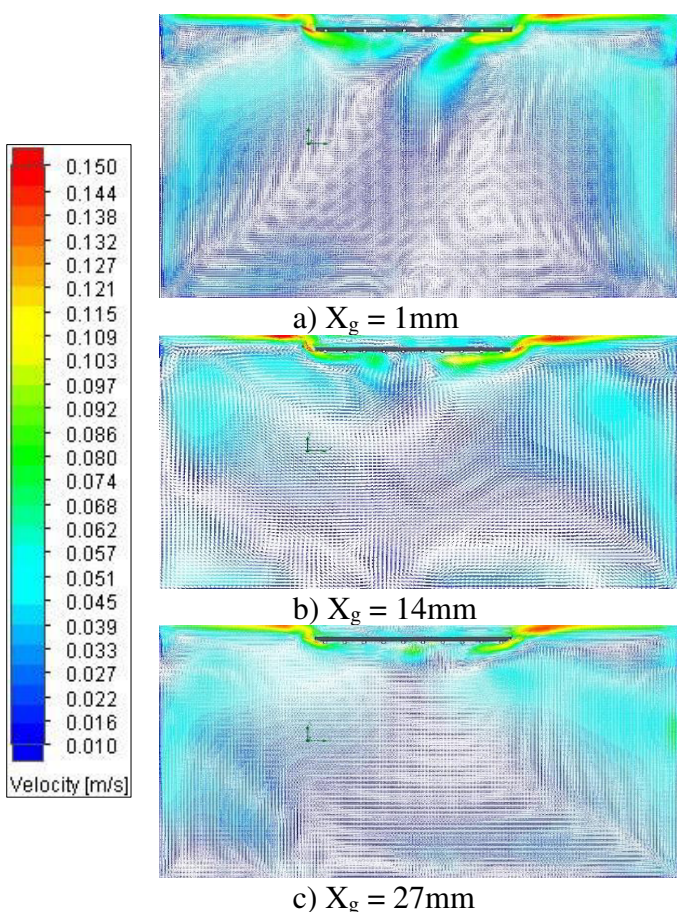
Şekil 5.119'da A2 kesiti için panel bölgesindeki hız dağılımları sunulmuştur. Gömülme mesafesinin 1 mm olduğu durumda borular yan saclaraya daha yakındır ve bu yüzden panelin giriş bölümüne yakın ve sıcaklık değerinin daha yüksek olduğu bölgede hava daha çok

ısimmaktadır. Dolayısıyla hava hızını arttıarak tavana doğru yönlenmektedir. Fakat gömülme mesafesi arttıkça bu bölgedeki hız değeri de düşmektedir.



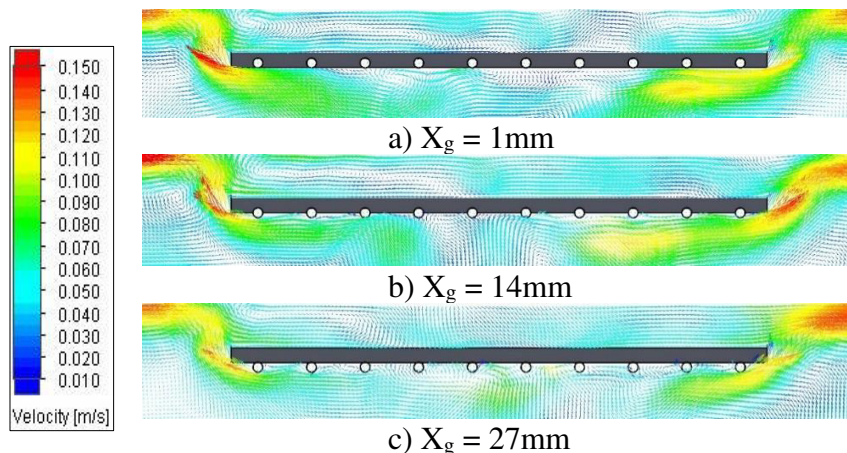
Şekil 5.119. A2 kesitinde panel bölgesindeki hız dağılımına  $X_g$  değerinin etkisi

B2 kesiti için oda içerisindeki hız dağılımı Şekil 5.120'de sunulmuştur. Panel bölgesindeki hız yoğunluğunun ve değerlerinin gömülme mesafesi arttıkça azaldığı görülmektedir.

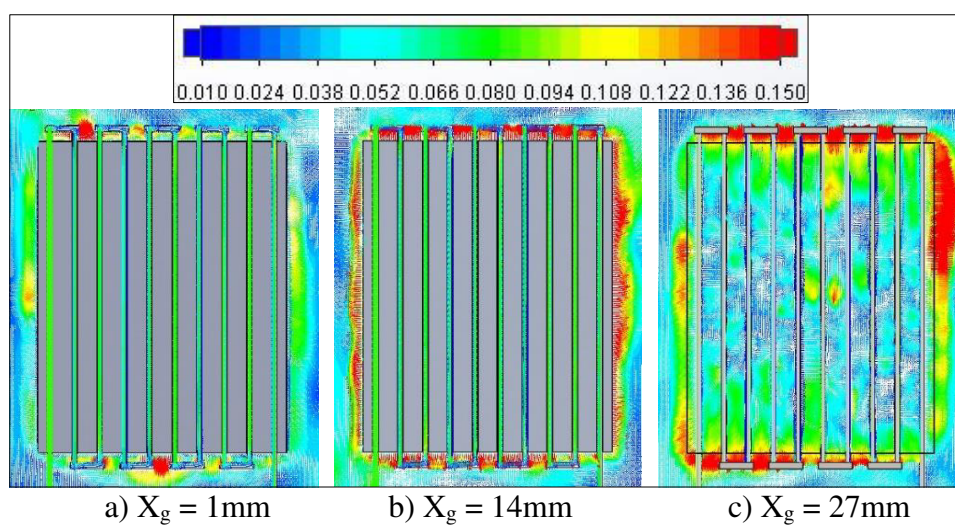


Şekil 5.120. B2 kesitinde oda içerisindeki hız dağılımına  $X_g$  değerinin etkisi

Panel bölgesindeki hız dağılımını daha net görmek amacıyla yakınlaştırılmış görüntüler Şekil 5.121'de sunulmuştur. Gömülme mesafesi arttıkça panelin yan taraflarındaki hız değerlerinin yakın olduğu fakat alt bölgelerde yoğunluğun azaldığı görülmektedir.



Şekil 5.121. B2 kesitinde panel bölgesindeki hız dağılımına  $X_g$  değerinin etkisi

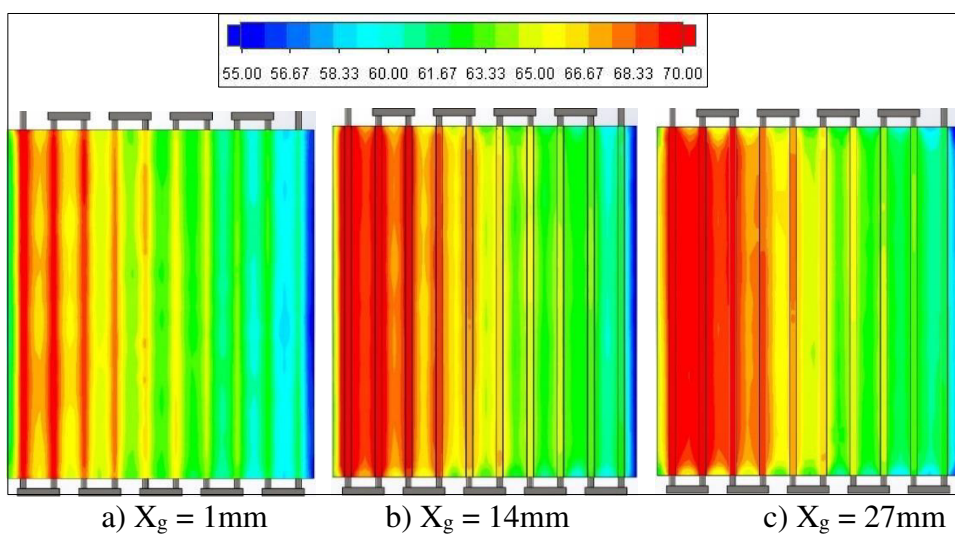


Şekil 5.122. C1 kesitinde panel bölgesindeki hız dağılımına  $X_g$  değerinin etkisi

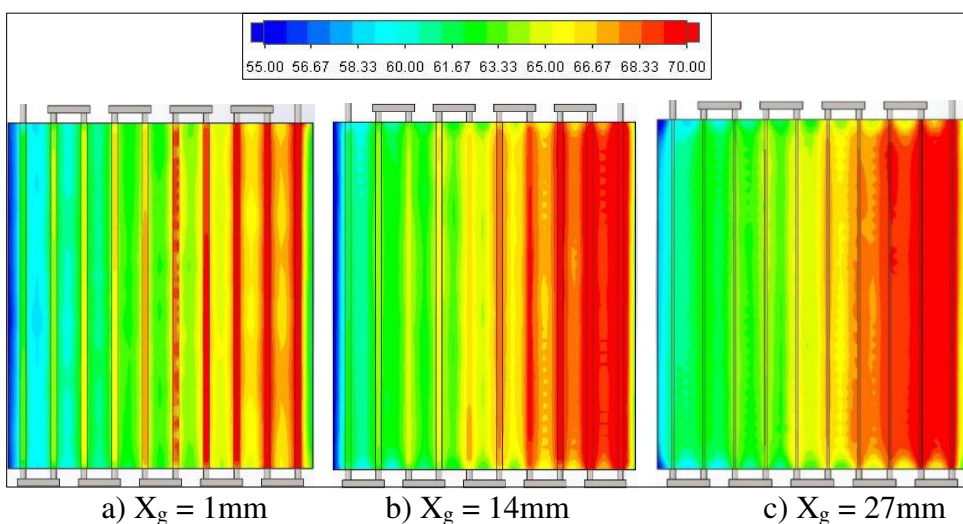
Şekil 5.122'de C1 kesiti için panel bölgesindeki hız dağılımı sunulmuştur. C1 kesiti tüm parametrik çalışmalar için boruların ortasından geçen düzlemdir. Diğer parametrik çalışmalarda gömülme mesafesi sabit olduğu için C1 kesiti hep aynı mesafededir. Bu çalışmada ise gömülme mesafesi değiştiği için boruların ortasından geçen kesitin y ekseni boyunca mesafesi değiştiği için gömülme mesafesinin 27 mm olduğu durumda görüntüde borular arasındaki hız dağılımı da görülmektedir. Durumlar incelendiğinde gömülme mesafesi arttıkça panel ve kolektör bölgelerinde hız değerlerinin arttığı görülmektedir.

### 5.7.2. Gömülme mesafesinin boruları çevreleyen saclar üzerindeki etkisi

Oda içerisindeki ve panel bölgesindeki sıcaklık ve hız dağılımlarının ardından, gömülme mesafesinin radyasyon yayıcı alt sac yüzeyine ve üst sac yüzeyindeki sıcaklık dağılımları incelenmiştir. Bu amaçla Şekil 5.123'te alt sac yüzeyindeki sıcaklık dağılımı sunulmuştur. Gömülme mesafesi arttıkça giriş bölümüne yakın yerlerde sıcaklık yoğunluğunun ve değerlerinin arttığı görülmektedir. Bunun nedeni ise gömülme mesafesi arttıkça yüzey alanının da artmasıdır. 14 mm ve 27 mm olan durumlar kıyaslandığında, 27 mm olan durumda sacdaki boru girintisi 14 mm olan duruma göre azaldığı için sıcaklık yoğunluğu giriş bölümünde daha fazladır. Orta bölümlere doğru etkisi ikinci duruma göre daha azdır.



Şekil 5.123. Alt sacdaki sıcaklık dağılımına  $X_g$  değerinin etkisi

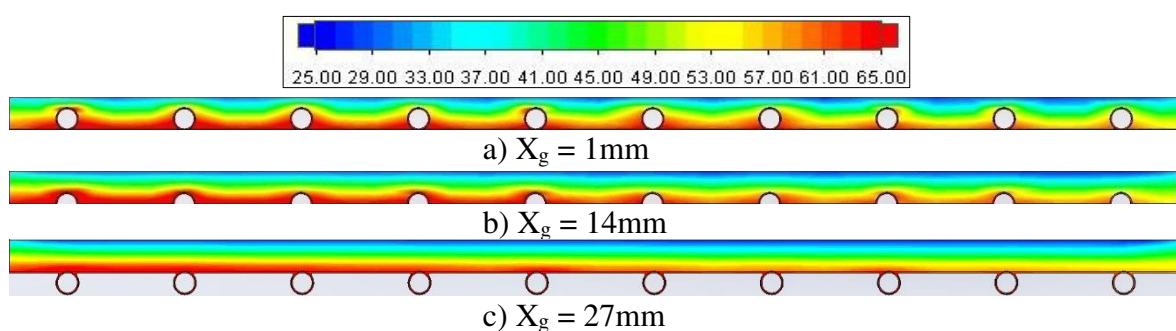


Şekil 5.124. Üst sacdaki sıcaklık dağılımına  $X_g$  değerinin etkisi

Şekil 5.124'te borular ile yalıtılmalzemesi arasında kalan üst sac üzerinde gömülme mesafesinin etkisi sunulmuştur. Alt sacdaki duruma benzer bir sıcaklık dağılımı gözlenmekte olup gömülme mesafesi arttıkça sağda kalan giriş bölümünde yakın yerlerde sıcaklık değeri ve yoğunluğu artmaktadır.

### 5.7.3. Gömülme mesafesinin yalıtılmalzemesi içindeki sıcaklık dağılımına etkisi

Yalıtılmalzemesinin B2 kesitindeki sıcaklık dağılımı Şekil 5.125'te sunulmuştur.



Şekil 5.125. B2 kesiti yalıtılmalzemesindeki sıcaklık dağılımına  $X_g$  değerinin etkisi

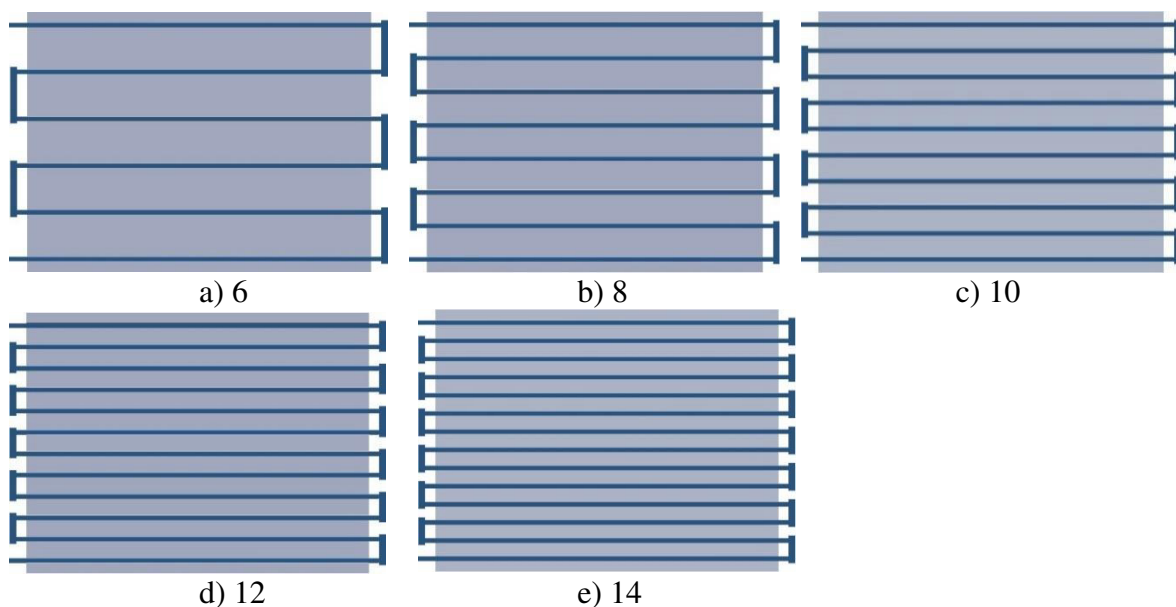
Gömülme mesafesi arttıkça boruların yalıtılmalzemesi içindeki gömülme miktarı azalmaktadır. Dolayısıyla yalıtılmalzemesi üzerindeki yoğunluk azalmaktadır.

### 5.8. Geçiş Sayısının Performans Üzerindeki Etkisi

Gömülme mesafesi çalışmasının ardından, boru geçiş sayısının sistem performansı üzerindeki etkisi incelenmiştir. Bu amaçla değişik geçiş sayısı durumları incelenmiş olup değişen boru sayısı ve boruların merkezleri arasındaki mesafelerin etkisini incelenmiştir. Oda ve panel boyutları değiştirilmemiş olup giriş ve çıkış boru konumları da sabit tutularak geçiş sayısı değiştirilmiştir. Dolayısıyla alt sac ve üst sac şekilleri de değişmiştir.

Bundan önceki parametrik çalışmalarında 10 geçişli model kullanılmıştır. Bu çalışmada boru geçiş sayısı 6 ve 14 arasında değiştirilerek toplam 5 çalışma gerçekleştirilmiştir. Çalışmalarda kullanılan boru geçiş sayılarına ait görüntüler Şekil 6.126'da sunulmuştur. Boru geçiş sayısı artırıldıkça boruların merkezleri arasındaki mesafe azalmakta, sacların

yüzey alanları boruların konumları değiştiği için değişmekte ve borular arası su geçişini sağlayan kolektörlerin de boyutları değişmektedir.



Şekil 5.126. Boru geçiş sayıları ve görselleri

Çizelge 5.17'de boru geçiş sayısına bağlı olarak boruların merkezleri arasındaki mesafe sunulmuştur. Çizelgeden de görüldüğü üzere geçiş sayısı arttıkça boruların merkezleri arasındaki mesafe azalmaktadır.

Çizelge 5.17. Geçiş sayısına bağlı boru merkezleri arasındaki uzaklık

Boru Geçiş Sayısı, n	X <sub>b</sub> (mm)
6	270
8	192,86
10	150
12	122,73
14	103,85

Çizelge 5.18'de çalışmada kullanılan sabit ve değişken parametreler sunulmuştur. Oda duvar sıcaklığı ( $T_d$ ) ve su giriş sıcaklığı ( $T_g$ ) her durum için sabittir. Ayrıca boru çapı değiştirilmemiş olup 28 mm çapa ve 1,5 mm et kalınlığına sahiptir. Gömülme mesafesi ise 14 mm'dir.

Çizelge 5.18. Geçiş Sayısı çalışmasında kullanılan parametreler

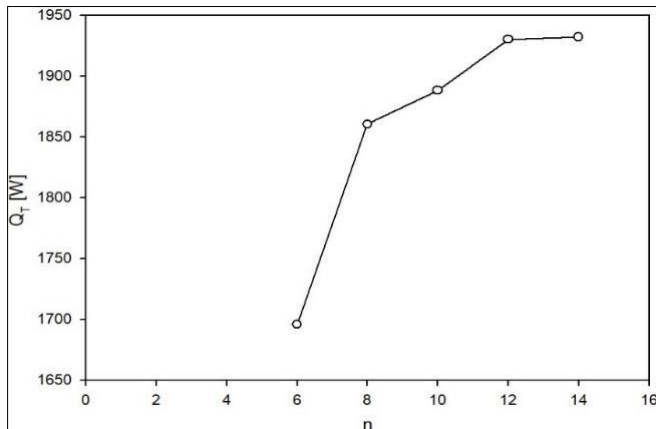
Parametre	Değer
Re	5000
Su Giriş Sıcaklığı $T_g$ (°C)	75
Oda Duvar Sıcaklığı $T_d$ (°C)	20
Oda Duvarları Yayıcılık Katsayısı $\epsilon_d$	0,93
Panel Yayıcılık Katsayısı $\epsilon_p$	0,95
Boru Geçiş Sayısı n	6, 8, 10, 12, 14

Çizelge 5.19'da her bir geçiş sayısı için su giriş ve çıkış sıcaklıklarını, entalpi değerleri ve toplam ısıl güç değerleri verilmiştir. Su giriş sıcaklık değeri ve debi değeri değişmediği için dinamik viskozite ( $\mu$ ) değeri tüm durumlar için aynıdır. Su giriş sıcaklık değeri aynı olduğu için her durumdaki giriş entalpi değeri de aynıdır. Su çıkış sıcaklık değeri her durumda değiştiği için, sıcaklık değerine karşılık gelen çıkış entalpi değerleri tablolar yardımcıyla belirlenip toplam ısı transfer miktarı hesaplanmıştır.

Çizelge 5.19. Geçiş sayısı çalışması için hesaplanan değerler

$X_g$ (mm)	$T_g$ (°C)	$h_g$ (kj/kg)	$T_c$ (°C)	$h_c$ (kj/kg)	$Q_T$ (W)
1	75	314,03	64,09	268,31	1695,81
7	75	314,03	63,03	263,87	1860,49
14	75	314,03	62,85	263,12	1888,31
20	75	314,03	62,58	261,99	1930,22
27	75	314,03	62,57	261,94	1932,083

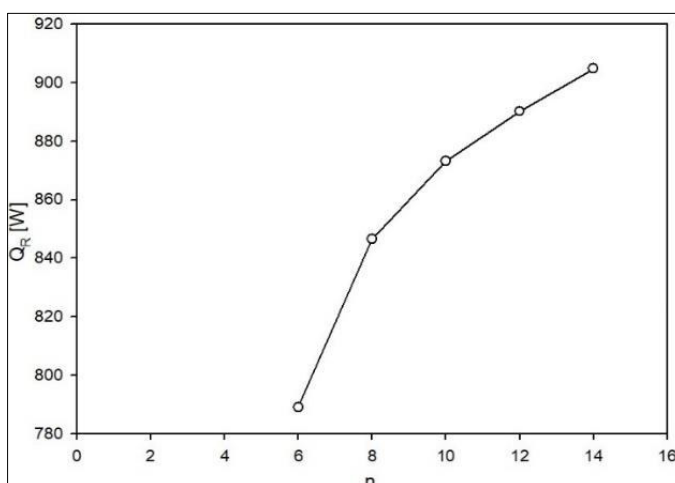
Toplam ısı transfer miktarının değişimine ait grafik Şekil 5.127'de sunulmuştur. Grafikte gösterilen ısıl güç değerleri, Çizelge 5.19'da sunulan değerler kullanılarak eşitlikler yardımcıyla hesaplanarak oluşturulmuştur.



Şekil 5.127. Toplam ısı transfer miktarının geçiş sayısı ile değişimi

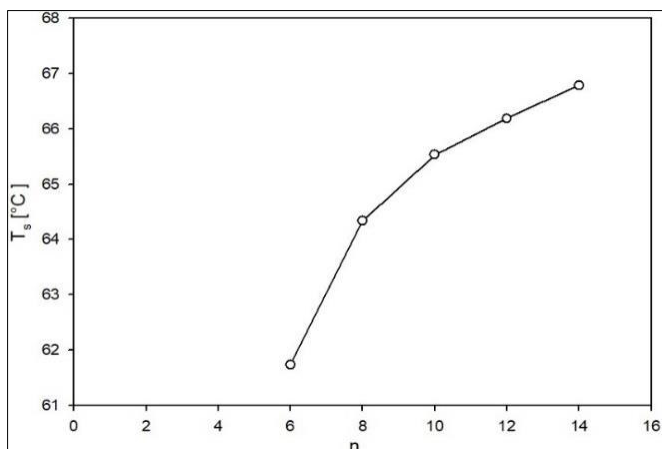
Grafik incelendiğinde geçiş sayısı arttıkça elde edilen toplam ısıl güç değerinin de arttığı görülmektedir. Çünkü boru sayısının artması boruların merkezleri arasındaki mesafenin azalmasına ve alt sac yüzey alanının azalmasına sebep olmaktadır. Bunun sonucunda ısı transferi artmaktadır. 12 geçişten sonra grafiğin sabit olmasının sebebi ise 12 geçişte bu sistem için yeterli ısı transferinin sağlanmış olmasıdır.

Şekil 5.128'de alt sac yüzeyden elde edilen radyasyon miktarının ( $Q_R$ ), boru geçiş sayısına bağlı değişimini gösteren grafik sunulmuştur. Geçiş sayısı arttıkça borular arası mesafe azalmakta ve daha fazla ısı transfer yüzeyi elde edilmektedir. Toplam ısı transfer değişimi durumuna benzer şekilde, geçiş sayısı arttıkça elde edilen net radyasyon miktarı da artmaktadır.



Şekil 5.128. Alt sac yüzeyinden elde edilen radyasyon miktarının geçiş sayısı ile değişimi

Radyasyon yayıcı alt sac yüzeyin ortalama sıcaklığının, boru geçiş sayısına bağlı değişimini gösteren grafik Şekil 5.129'da sunulmuştur. Boru geçiş sayısı arttıkça yüzey sıcaklık değeri ilk ve son durum arasında yaklaşık  $5^{\circ}\text{C}$  artmaktadır. Bunun sebebi, boru geçiş sayısı arttıkça alt sacdaki ısı transfer yüzeyinin artmasıdır.

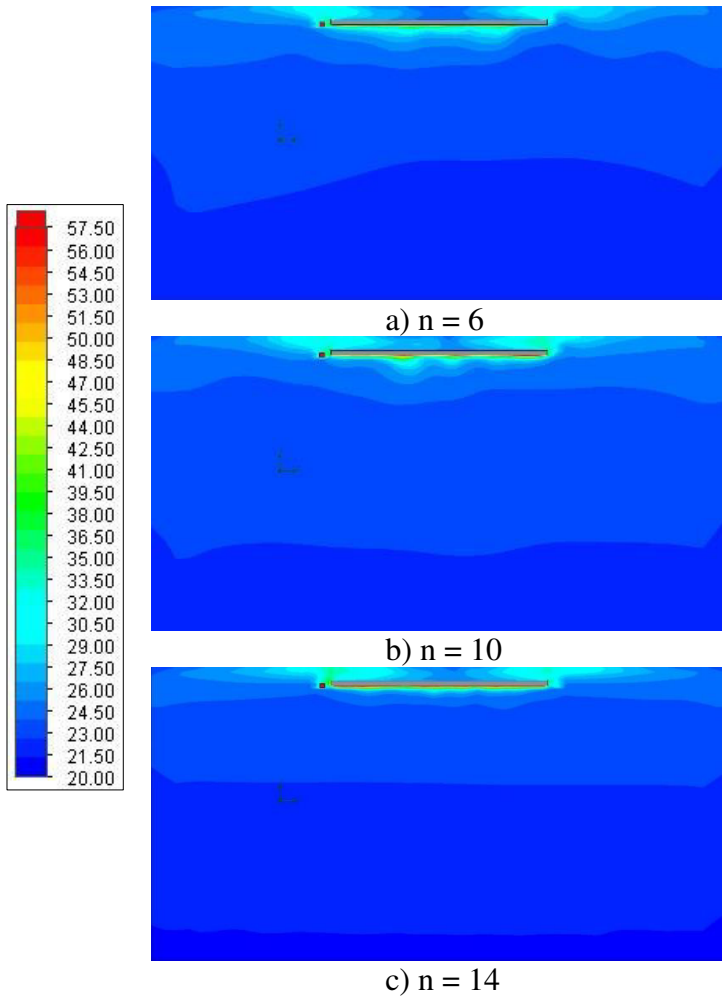


Şekil 5.129. Alt sac ortalama yüzey sıcaklığının geçiş sayısı ile değişimi

### 5.8.1. Boru geçiş sayısının sıcaklık ve hız dağılımına etkisi

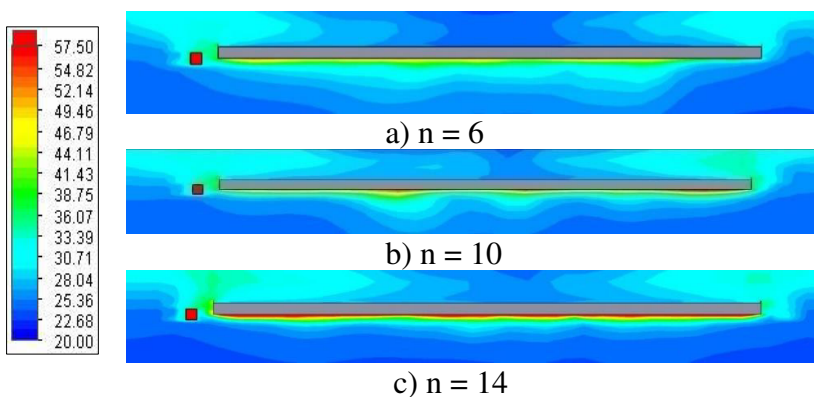
Grafiklerin gösteriminin ardından boru geçiş sayısının hem oda içerisindeki hem de panel bölgelerindeki sıcaklık ve hız dağılımına etkisi sunulmuştur. Bu amaçla geçiş sayısının 6, 10 ve 14 olduğu durumlar için; sistemi ortadan kesen A2, B2 kesitlerinde hem oda hem de panel bölgelerindeki dağılımlar kullanılmıştır. Bunlara ilave olarak sistemdeki boruların tam ortasından geçen C1 kesiti için panel bölgelerindeki dağılım da sunulmuştur.

Şekil 5.130'da A2 kesiti için oda içerisindeki sıcaklık dağılımı sunulmuştur. Şekil incelendiğinde oda içerisindeki dağılımlarda ve sıcaklık değerlerinde benzerlikler görülmektedir. 10 geçişli durumda panel bölgesinde, özellikle de panelin alt bölümünde, daha yoğun bir sıcaklık dağılımı elde edilmiştir. 14 geçişli durumda ise bu yoğunluk azalmaktadır.



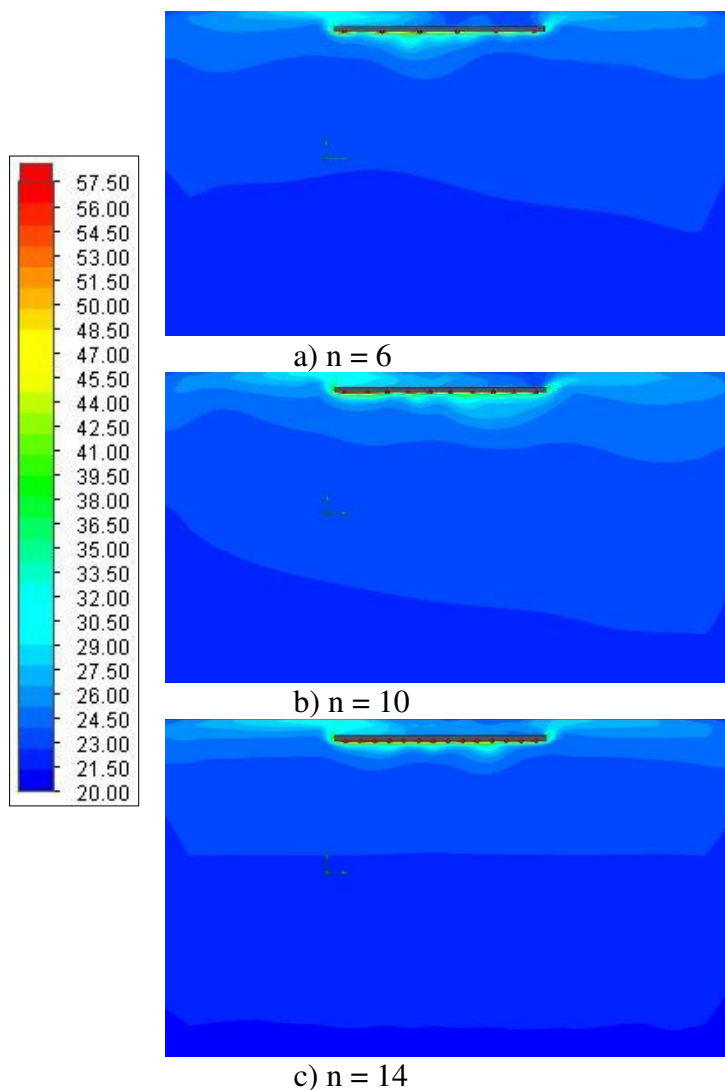
Şekil 5.130. A2 kesitinde oda içerisindeki sıcaklık dağılımına  $n$  değerinin etkisi

A2 kesitinde panel bölgesindeki sıcaklık dağılımını daha net görebilmek amacıyla panel bölge sine yakınlaştırılmış görüntüler Şekil 5.131'de sunulmuştur. Boru geçiş sayısının 14 olduğu durumda alt sac yüzeyine yakın noktalarda sıcaklık değerinin yüksek olduğu; 10 geçişli durumda ise panel bölgesinde daha yoğun sıcaklık dağılımı elde edilmiştir.



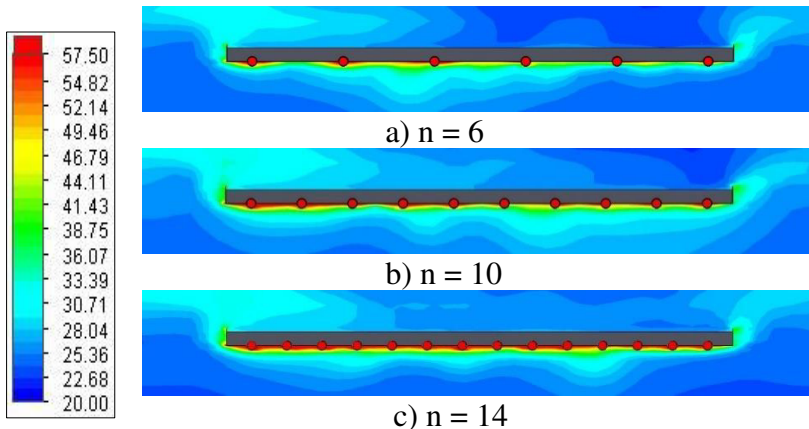
Şekil 5.131. A2 kesitinde panel bölgesindeki sıcaklık dağılımına  $n$  değerinin etkisi

Şekil 5.132'de B2 kesiti için oda içerisindeki sıcaklık dağılımı sunulmuştur. Oda içerisindeki sıcaklık dağılımı benzerlik göstermekle beraber 10 geçişli durumda A2 kesitindeki duruma benzer şekilde panel bölgesinde sıcaklık değerlerinin arttığı ve daha yoğun olduğu görülmektedir.



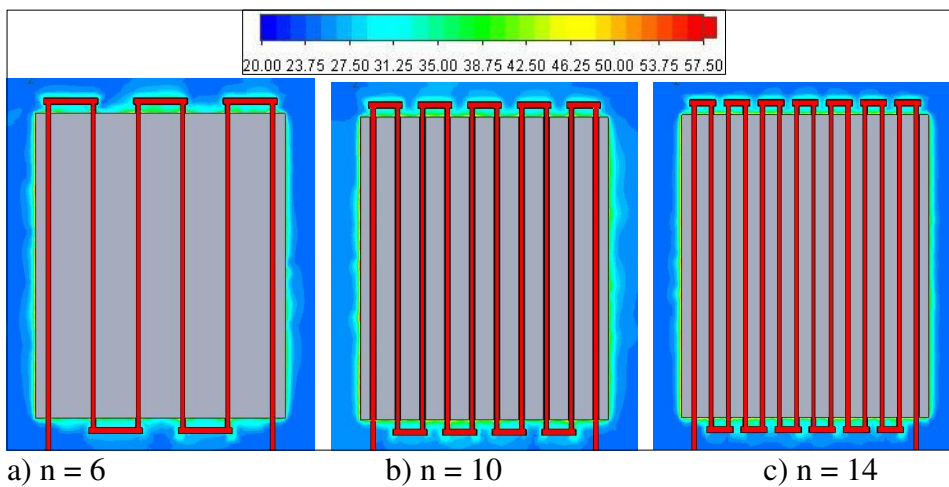
Şekil 5.132. B2 kesitinde oda içerisindeki sıcaklık dağılımına n değerinin etkisi

Şekil 5.133'te B2 kesiti için panel bölgesindeki sıcaklık dağılımı sunulmuştur. Şekil incelendiğinde geçiş sayısı arttıkça panelin alt tarafındaki sıcaklık değerlerinin ve yoğunluğunun arttığı görülmektedir.



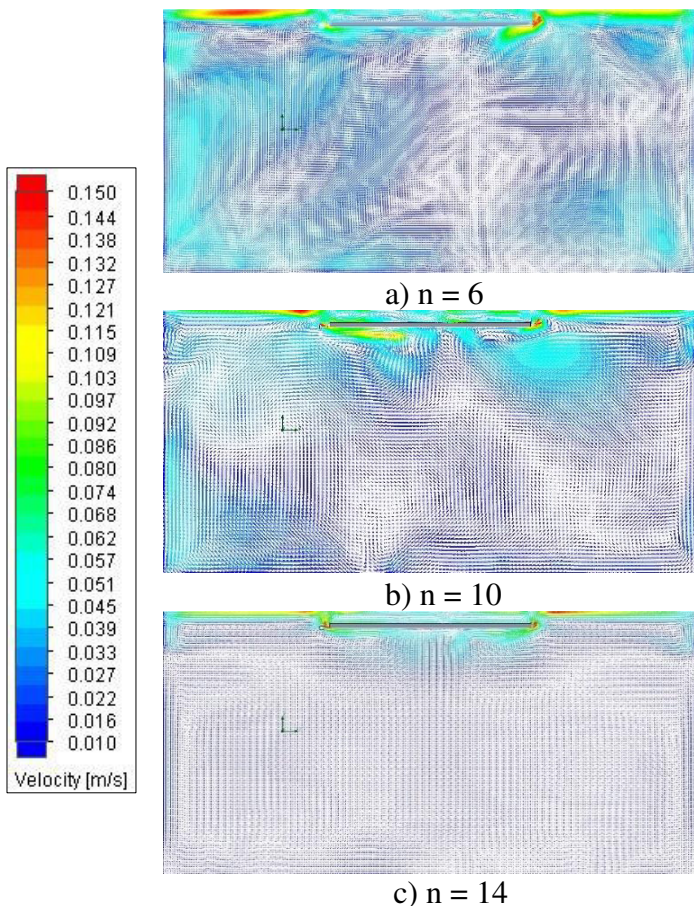
Şekil 5.133. B2 kesitinde panel bölgesindeki sıcaklık dağılımına n değerinin etkisi

Şekil 5.134.'te C1 kesiti için panel bölgesindeki sıcaklık dağılımı sunulmuştur. C1 kesiti tüm parametrik çalışmalar için boruların ortasından geçen düzlemdir. Şekil incelemişinde 10 geçişli durumda, diğer iki duruma kıyasla panel etrafındaki sıcaklık değerlerinin daha yüksek ve yoğunluğun daha fazla olduğu görülmektedir.



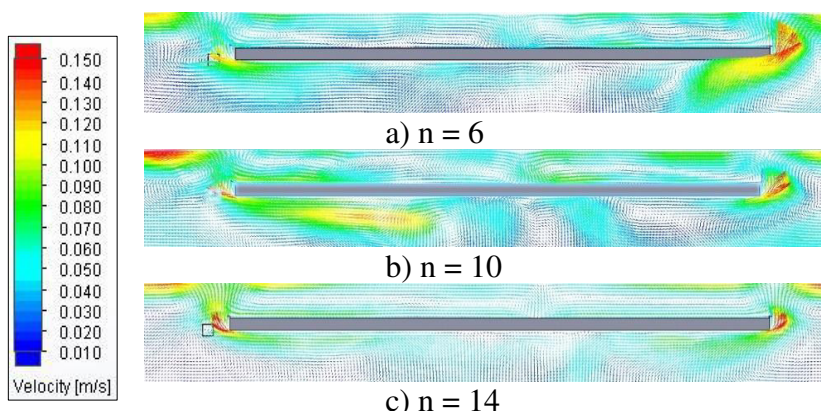
Şekil 5.134. C1 kesitinde panel bölgesindeki sıcaklık dağılımına n değerinin etkisi

Sıcaklık dağılımlarının ardından A2, B2 ve C1 kesitleri için oda ve panel bölgesindeki hız dağılımları sunulmuştur. Şekil 5.135'te A2 kesiti için oda içerisindeki hız dağılımı gösterilmiştir. Oda içerisindeki hız dağılımlarında farklılıklar görülmektedir. Boru geçiş sayısının 6 ve 10 olduğu durumlarda panel bölgesindeki hız değerlerinin 14 olan duruma kıyasla daha yüksek olduğu görülmektedir. Fakat boru geçiş sayısının 14 olduğu durumda özellikle oda içerisindeki hız değerlerinin diğer iki duruma kıyasla daha düşük olduğu görülmektedir.



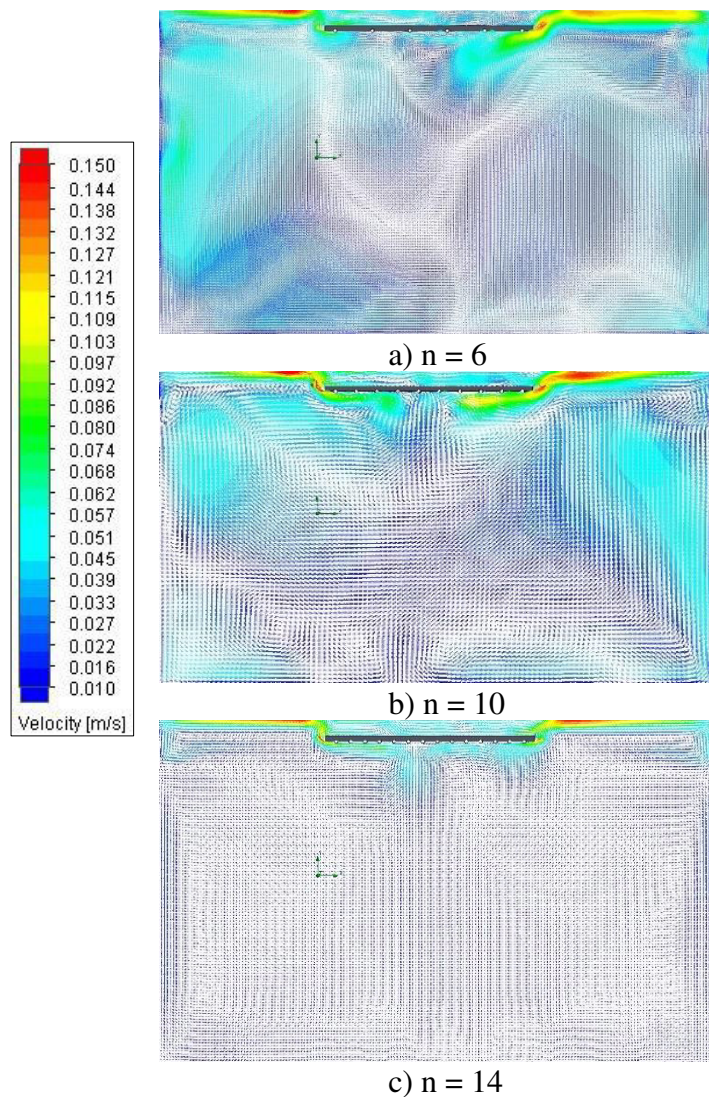
Şekil 5.135. A2 kesitinde oda içerisindeki hız dağılımına n değerinin etkisi

Panel bölgesindeki hız dağılımını daha net görmek amacıyla yakınlaştırılmış görüntüler Şekil 5.136'da sunulmuştur. Boru geçiş sayısının 6 olduğu durumda panelin giriş bölümüne yakın olan sağ tarafında; 10 geçişli sistemde panelin alt tarafında hız değerlerinin daha yüksek olduğu görülmektedir. 14 boru geçiş sayılı sistemde değerler ve yoğunluklar diğer iki duruma göre daha düşüktür.



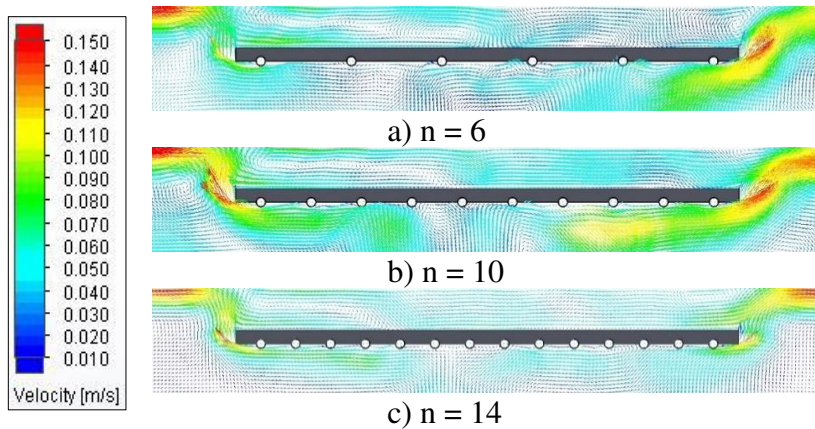
Şekil 5.136. A2 kesitinde panel bölgesindeki hız dağılımına n değerinin etkisi

B2 kesiti için oda içerisindeki hız dağılımı Şekil 5.137'de sunulmuştur. Oda içerisindeki hız dağılımının geçiş sayısının 6 ve 10 olduğu durumlar için birbirlerine yakınen 14 geçiş sayılı durumda hem oda hem de panel bölgesinde hız değerlerinin düştüğü görülmektedir.



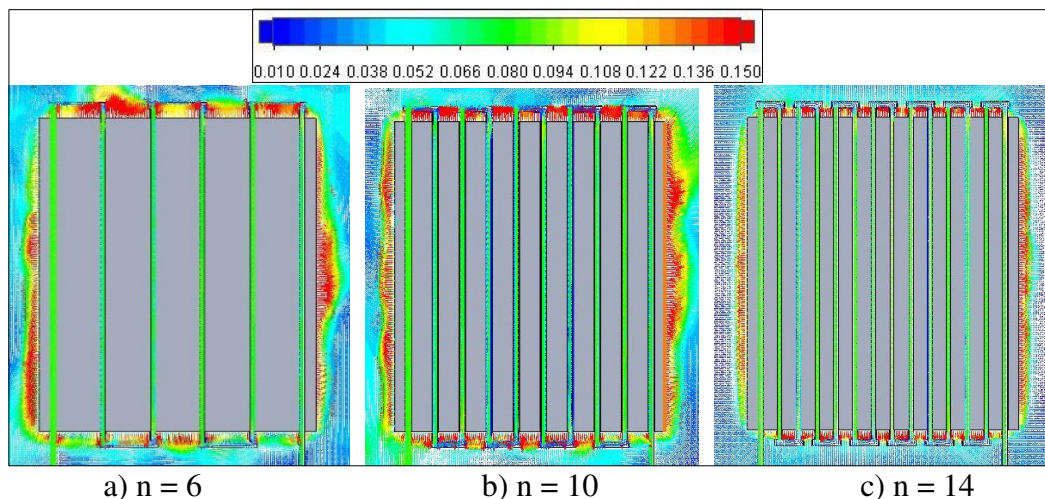
Şekil 5.137. B2 kesitinde oda içerisindeki hız dağılımına n değerinin etkisi

B2 kesitinde panel bölgesindeki hız dağılımını daha net görmek amacıyla yakınlaştırılmış görüntüler Şekil 5.138'de sunulmuştur. Geçiş sayısının 10 olduğu durumda panel bölgesindeki hız değerlerinin daha yüksek olduğu görülmektedir. Geçiş sayısının 14 olduğu durumda hız değerleri diğer iki duruma kıyasla daha düşüktür.



Şekil 5.138. B2 kesitinde panel bölgesindeki hız dağılımına n değerinin etkisi

Şekil 5.139'da C1 kesiti için panel bölgesindeki hız dağılımı sunulmuştur. 10 geçişli sistemde panel bölgesi etrafındaki hız değerleri hem daha yüksek hem de daha yoğundur. Fakat 14 geçişli sistemde hem yoğunluk hem de değerler azalmaktadır.

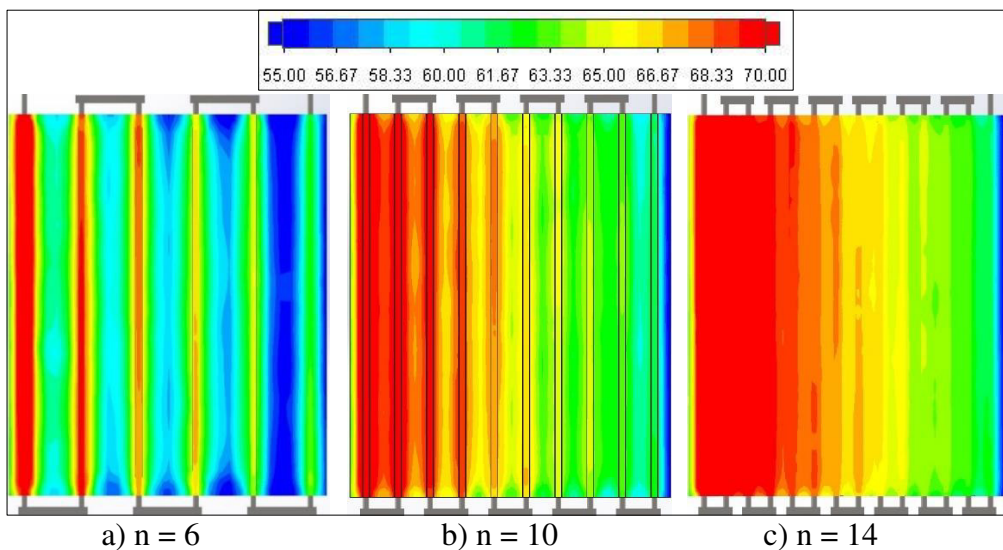


Şekil 5.139. C1 kesitinde panel bölgesindeki hız dağılımına n değerinin etkisi

### 5.8.2. Boru Geçiş Sayısının Boruları Çevreleyen Saclar Üzerindeki Etkisi

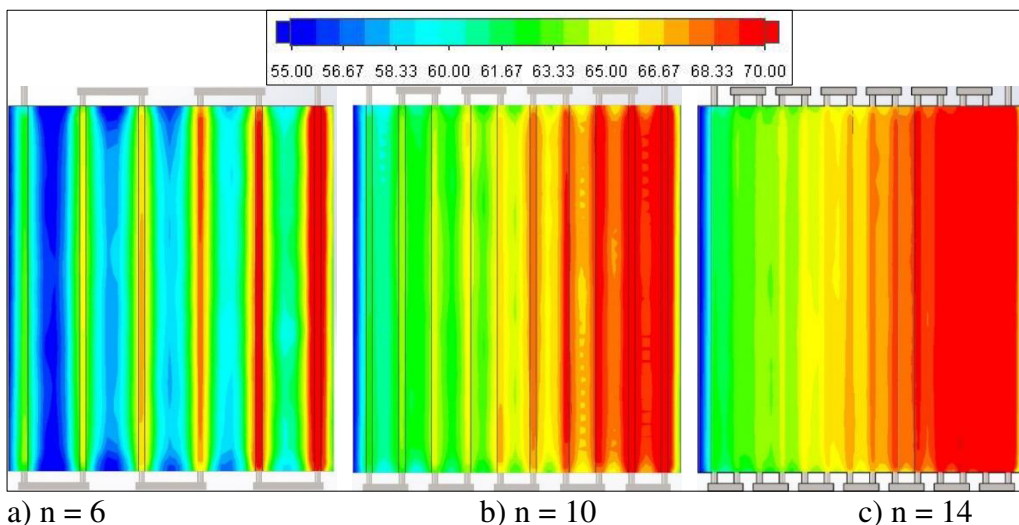
Oda içerisindeki ve panel bölgesindeki sıcaklık ve hız dağılımlarının ardından, boru geçiş sayısının radyasyon yayıcı alt sac yüzeyine ve üst sac yüzeyindeki sıcaklık dağılımları incelenmiştir. Bu amaçla Şekil 5.140'ta alt sac yüzeyindeki sıcaklık dağılımı sunulmuştur. Su giriş bölgесine yakın yerlerde boru geçiş sayısının artışıyla daha yüksek sıcaklık değerleri ve yoğunluğu elde edilmektedir. Dolayısıyla çıkış bölgесine yakın yerlerde 6 geçişli sisteme kıyasla diğer iki durumda daha yüksek sıcaklıklara sahiptir. Boru geçiş sayısının artışı ve

boru merkezleri arasındaki mesafenin azalmasıyla ısı transfer yüzeyi artmakta, dolayısıyla daha fazla yüzey ısınmaktadır.



Şekil 5.140. Alt sacdaki sıcaklık dağılımına n değerinin etkisi

Şekil 5.141'de borular ile yalıtılmış malzemesi arasında kalan üst sac üzerinde boru geçiş sayısının etkisi sunulmuştur. Su giriş bölümüne yakın yerlerde sıcaklık değeri artmaktadır.

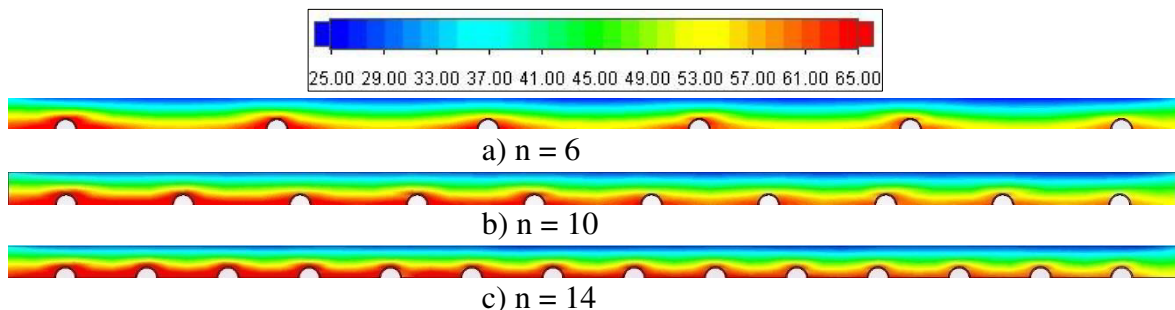


Şekil 5.141. Üst sacdaki sıcaklık dağılımına n değerinin etkisi

### 5.8.3. Boru geçiş sayısının yalıtılmış malzemesi içindeki sıcaklık dağılımına etkisi

Boru geçiş sayısının yalıtılmış malzemesi üzerindeki etkisini görmek amacıyla yalıtılmış malzemesinin B2 kesitindeki sıcaklık dağılımı Şekil 5.142'de sunulmuştur. Boru geçiş sayısı

arttıkça borular arasındaki mesafe azalmakta ve ısı transfer miktarı artmaktadır. Bu durum yalıtım malzemesi üzerinde de görülmektedir ve geçiş sayısı arttıkça özellikle giriş bölümüne yakın yerlerdeki yoğunluk ve sıcaklık değerleri artmaktadır.

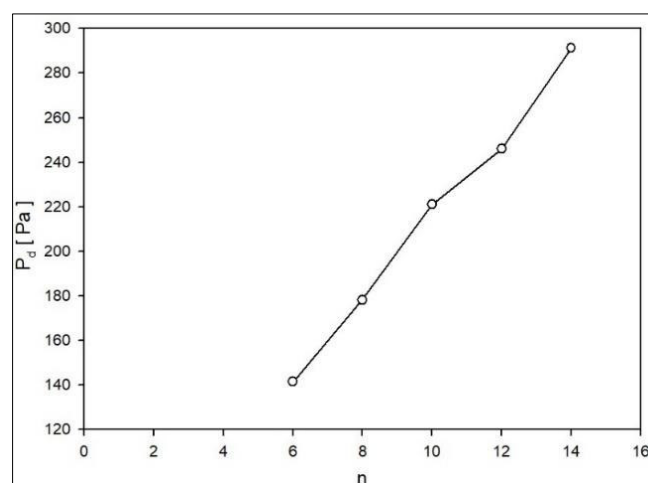


Şekil 5.142. B2 kesiti yalıtılmalzemesindeki sıcaklık dağılımına n değerinin etkisi

#### 5.8.4. Boru geçiş sayısının basınç düşümüne etkisi

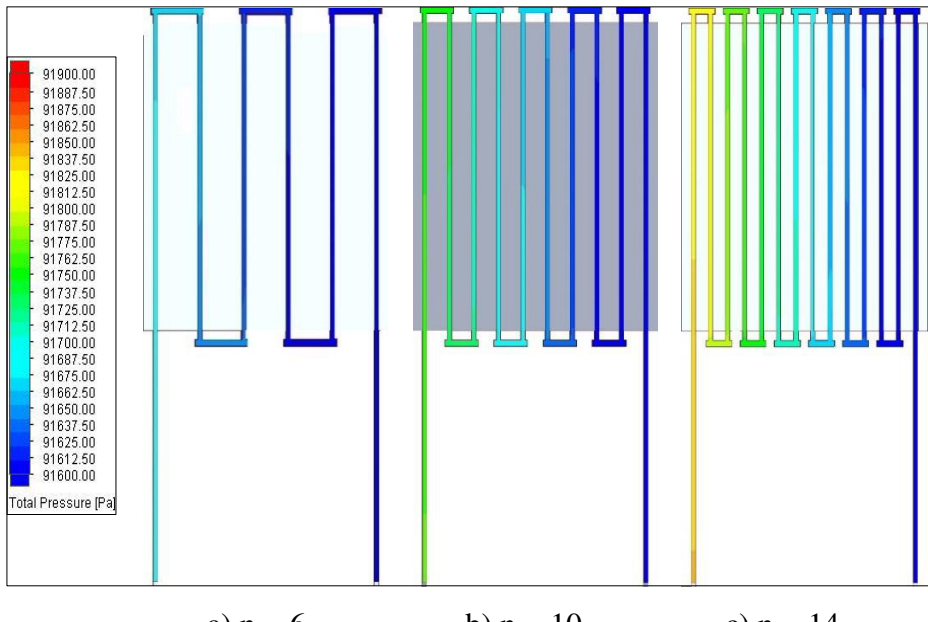
Boru geçiş sayısı çalışmasındaki bir diğer önemli nokta da basınç düşümüdür. Analizlerde çıkış bölümü atmosferik hava koşullarına göre tanımlanmıştır. Su sistem içerisindeki hareketi sırasında çıkışa doğru sıcaklığını ve basıncını kaybetmektedir.

Şekil 5.143'te boru geçiş sayısına bağlı basınç düşümü grafiği sunulmuştur. Boru geçiş sayısının artmasıyla beraber giriş ve çıkıştaki basınç farkı da artmaktadır.



Şekil 5.143. Basınç düşümünün geçiş sayısı ile değişimi

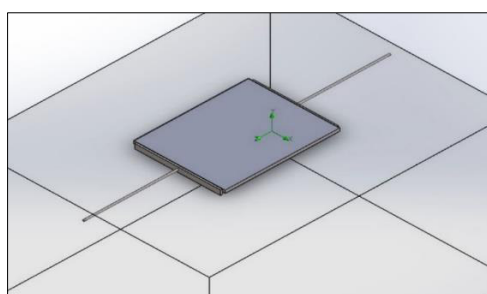
Şekil 5.144'te 3 farklı boru geçiş sayısı için giriş çıkış arasındaki basınç farkı görselleri sunulmuştur. Boru geçiş sayısı arttıkça girişteki basınç değerinin arttığı görülmektedir.



Şekil 5.144. C1 kesitinde borulardaki basınç düşümüne n değerinin etkisi

### 5.9. Kolektör Genişliğinin Performans Üzerindeki Etkisi

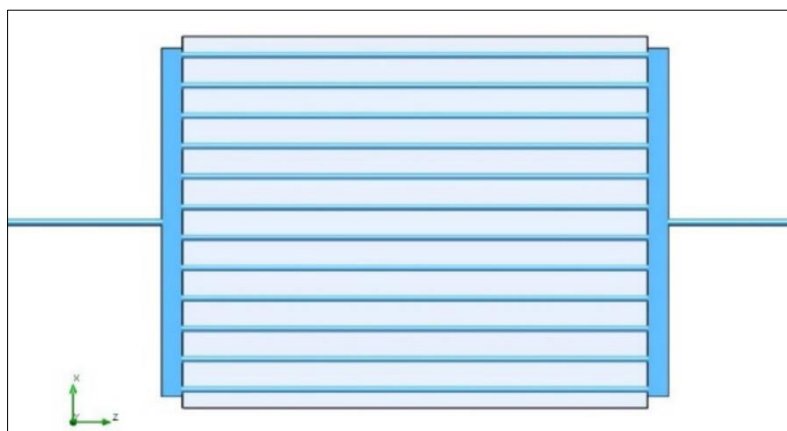
Boru geçiş sayısı çalışmasının ardından, kolektör genişliğinin sistem performansı üzerindeki etkisi incelenmiştir. Bu amaçla değişik kolektör genişlikleri ve buna bağlı olarak değişen kolektör boyutları ve giriş çıkış boru düzeninin etkisi incelenmiştir. Oda ve panel boyutlarında herhangi bir değişiklik yapılmamıştır. Önceki parametrik çalışmalarda sisteme gönderilen suyun giriş yaptığı ve çıkış yaptığı borular aynı duvardaydı. Bu çalışmada ise giriş ve çıkış yerleri karşılıklı duvarlarda konumlandırılmıştır. Bu durum Şekil 5.145'te sunulmuştur.



Şekil 5.145. Çalışmada kullanılan 3 boyutlu model

Şekilde görüldüğü gibi su bir duvar tarafında bulunan giriş bölümünden sisteme dahil olurken diğer duvarındaki çıkış bölümünden sistemi terk etmektedir.

Bu çalışmada kolektör boyutlarıyla beraber kolektörün konumu da değiştirilmiştir. Diğer parametrik çalışmalarında iki boru arasındaki su geçisi, iki boruyu birbirine bağlayan kolektörler aracılığıyla olmaktadır ve bu kolektörler panelin yan saclarından 55 mm mesafede olacak şekilde konumlandırılmıştır. Bu çalışmada ise giriş ve çıkış bölümünde ayrı birer kolektör kullanılmıştır ve suyun sistem içerisindeki borulara taşınması tek kolektörle sağlanmıştır. Ayrıca kolektörler ile yan sac arasındaki mesafe kaldırılmış olup yan saca bitişik olacak şekilde konumlandırılmıştır. Bu durum Şekil 5.146'da sunulmuştur.

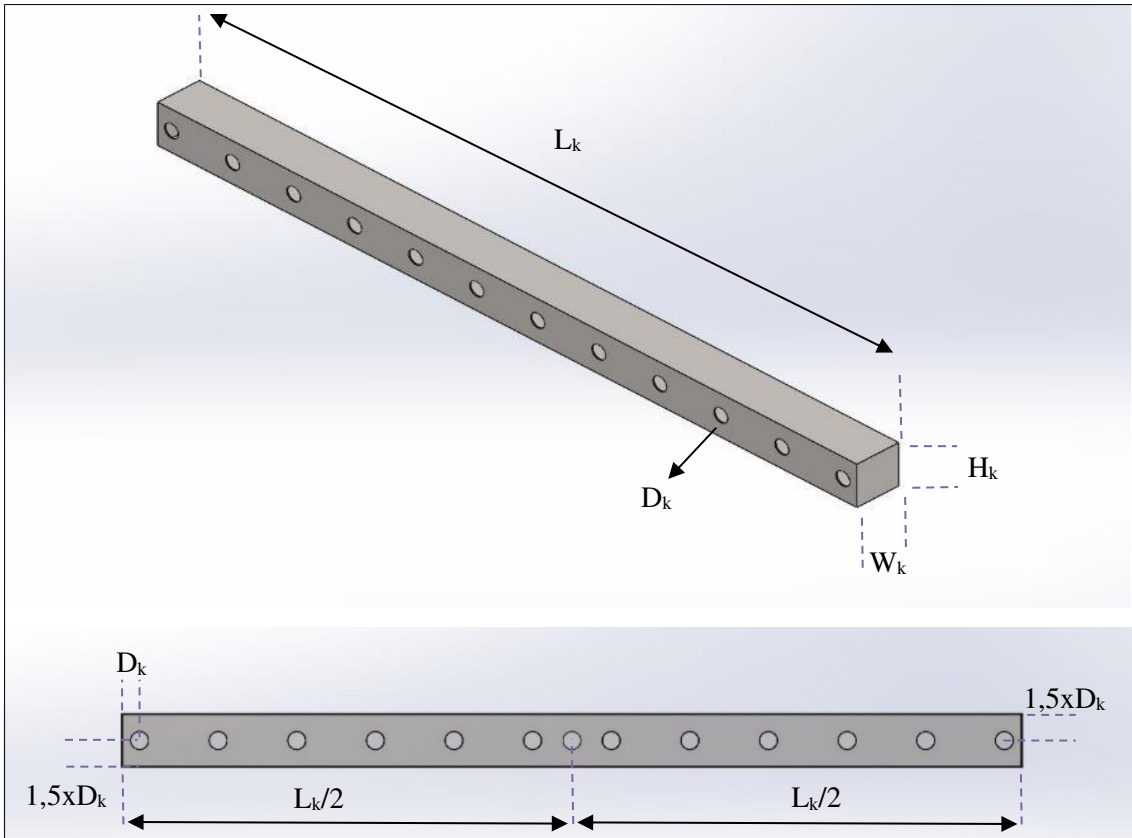


Şekil 5.146. Kolektör şekli ve konumu

Boru geçiş sayısı parametrik çalışmasında 12 geçiş sayılı sistemde en yüksek ıslık güç değeri elde edilmiştir. Bundan dolayı bu çalışmada da 12 boru geçisi kullanılmış olup boruların saca gömülme mesafesi değiştirilmemiştir.

Şekil 5.147'de kolektöre ait ölçülendirmeler sunulmuştur. Kolektör uzunluğu ( $L_K$ ) 1406 mm olup değiştirilmemiştir. Kolektör deliklerinin çapı ( $D_K$ ) sistemde kullanılan boru çapına ( $D$ ) eşit olup 28 mm'dir. Kolektör yüksekliği ( $H_K$ ) ise kolektör delik çapının 3 katına eşittir. Kolektör genişliği ( $W_K$ ) ise Eş. 5.1 ile hesaplanmaktadır. Eşitlikteki  $m$  değeri bir katsayı olup bu çalışmadaki kolektör genişliğini belirlemeye kullanılmıştır.

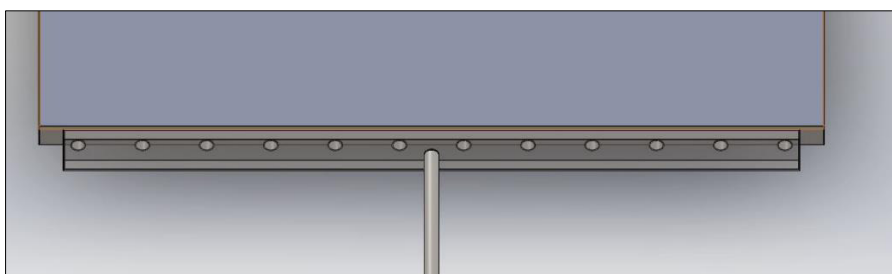
$$W_k = mD \quad (5.1)$$



Şekil 5.147. Kolektörün ölçülendirilmesi

Kolektörün arkasındaki giriş ve çıkış borularının bağlı olduğu delik ise kolektörün genişlik ve yükseklik ölçülerinin tam ortasında olacak şekilde konumlandırılmıştır. Kolektörün kenarlarında bulunan delikler ise, yan taraflarından kolektör delik çapı kadar mesafede konumlandırılmıştır.

Şekil 5.148'de kolektöre ve borulara ait 3 boyutlu görüntü sunulmuştur. Görüldüğü üzere su sisteme tek bir borudan giriş yaparak paneldeki 12 adet boruya tek kolektörden aktarılmakta ve aynı şekilde toplanarak tek boru ile sistemi terk etmektedir.



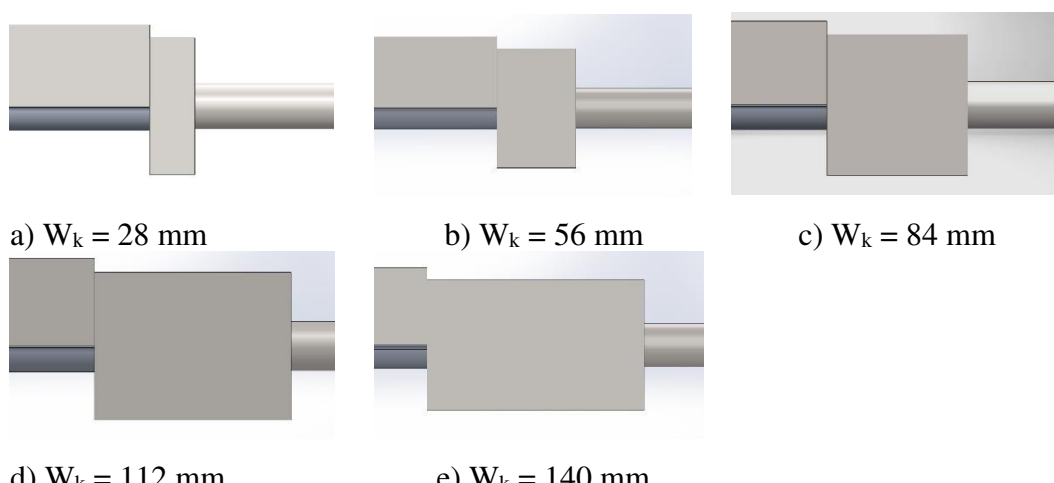
Şekil 5.148. Kolektör boru yapısı

Çizelge 5.20'de Eş. 5.1 yardımcıyla hesaplanan ve çalışmalarda kullanılan kolektör genişlikleri sunulmuştur.

Çizelge 5.20. Kolektör genişlik hesaplaması

Model	Kolektör Genişliği $W_k$ (mm)
1	28
2	56
3	84
4	112
5	140

Kolektör genişliğini çalışmasında Çizelge 5.20'de hesaplanmış olan 5 farklı ölçüdeki kolektörler kullanılmıştır. Bu kolektörler ait yan görünüşler Şekil 5.149'da sunulmuştur.



Şekil 5.149. Kolektörler ait yan görünüşler

Çizelge 5.21'de çalışmada kullanılan sabit ve değişken parametreler sunulmuştur. Oda duvar sıcaklığı ( $T_d$ ) ve su giriş sıcaklığı ( $T_g$ ) her durum için sabittir ve her bir kolektör genişliği için su giriş ve çıkış sıcaklıklarını, entalpi değerleri ve toplam ısı transfer miktarları verilmiştir. Su giriş sıcaklık değeri ve debi değeri değişmediği için dinamik viskozite ( $\mu$ ) değeri tüm durumlar için aynıdır. Su giriş sıcaklık değeri aynı olduğu için her durumdaki giriş entalpi değeri de aynıdır. Su çıkış sıcaklık değeri her durumda değiştiği için, sıcaklık değerine karşılık gelen çıkış entalpi değerleri tablolar yardımcıyla belirlenip toplam ısı transfer miktarı hesaplanmıştır.

Çizelge 5.21. Kolektör genişliği çalışmasında kullanılan parametreler

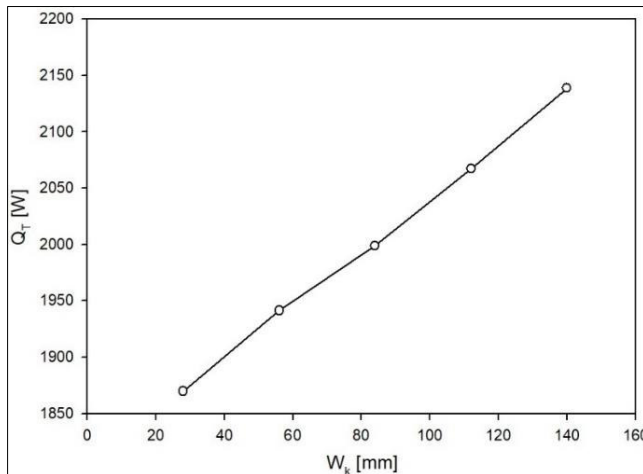
Parametre	Değer
Re	5000
Su Giriş Sıcaklığı $T_g$ (°C)	75
Oda Duvar Sıcaklığı $T_d$ (°C)	20
Oda Duvarları Yayıcılık Katsayısı $\epsilon_d$	0,93
Panel Yayıcılık Katsayısı $\epsilon_p$	0,95
Boru Geçiş Sayısı n	12
Kolektör Genişliği $W_k$ (mm)	28, 56, 84, 112, 140

Çizelge 5.22'de her bir kolektör genişliği için su giriş ve çıkış sıcaklıklarını, entalpi değerleri ve toplam ıslık güç değerleri verilmiştir. Su giriş sıcaklık değeri ve debi değeri değişmediği için dinamik viskozite ( $\mu$ ) değeri tüm durumlar için aynıdır. Su giriş sıcaklık değeri aynı olduğu için her durumdaki giriş entalpi değeri de aynıdır. Su çıkış sıcaklık değeri her durumda değiştiği için, sıcaklık değerine karşılık gelen çıkış entalpi değerleri tablolar yardımıyla belirlenip, toplam ısı transfer miktarı hesaplanmıştır.

Çizelge 5.22. Kolektör genişliği çalışması için hesaplanan değerler

$W_k$ (mm)	$T_g$ (°C)	$h_g$ (kj/kg)	$T_c$ (°C)	$h_c$ (kj/kg)	$Q_T$ (W)
28	75	314,03	62,97	263,62	1869,76
56	75	314,03	62,51	261,69	1941,35
84	75	314,03	62,14	260,14	1998,84
112	75	314,03	61,7	258,3	2067,09
140	75	314,03	61,24	256,37	2138,68

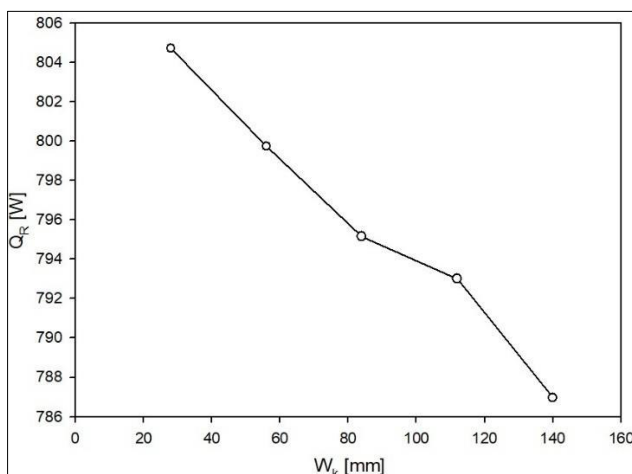
Toplam ısı transfer miktarının değişimine ait grafik Şekil 5.150'de sunulmuştur. Grafikte gösterilen ıslık güç değerleri, Çizelge 5.22'de sunulan değerler kullanılarak eşitlikler yardımıyla hesaplanarak oluşturulmuştur.



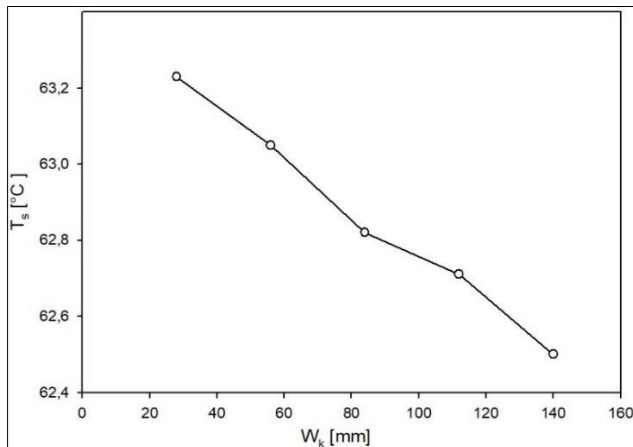
Şekil 5.150. Toplam ısı transfer miktarının kolektör genişliği ile değişimi

Grafik incelendiğinde kolektör genişliği arttıkça elde edilen toplam ısı transfer miktarının da arttığı görülmektedir. Kolektör genişliği arttıkça kolektörden borulara aktarılan su miktarı artmakta ve su daha fazla panel yüzey alanına ısısını aktararak ısı transfer oranını yani toplam ısı transfer miktarını artttırmaktadır.

Şekil 5.151'de alt sac yüzeyinden elde edilen radyasyon miktarının ( $Q_R$ ), kolektör genişliğine bağlı değişimini gösteren grafik sunulmuştur. Kolektör genişliği 28mm'den 140 mm'ye çıktığında, yüzeydeki radyasyon miktarının yaklaşık 20 W düşüğü görülmektedir.



Şekil 5.151. Alt sac yüzeyinden elde edilen radyasyon miktarının kolektör genişliği ile değişimi



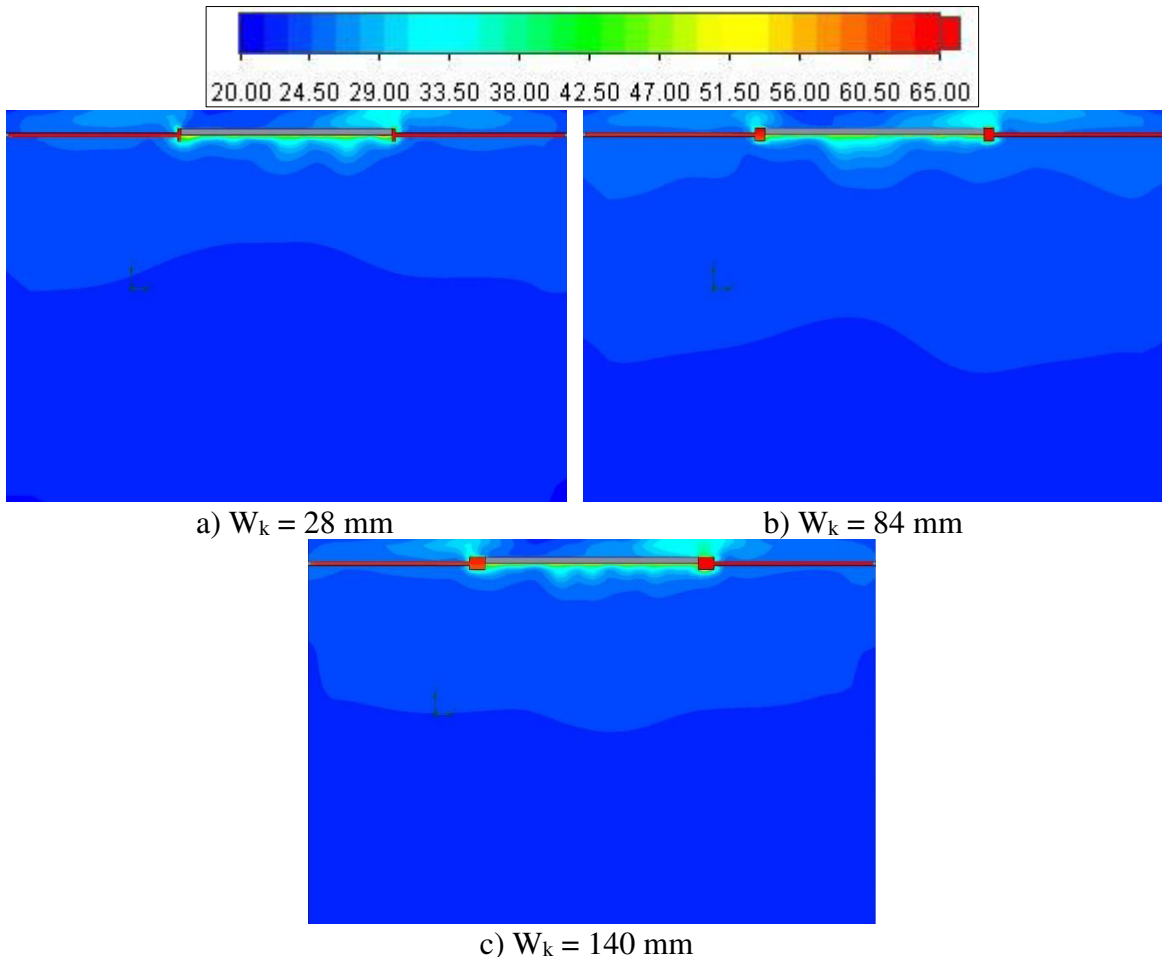
Şekil 5.152. Alt sac ortalama yüzey sıcaklığının kolektör genişliği ile değişimi

Radyasyon yayıcı alt sac yüzeyin ortalama sıcaklığının kolektör genişliğine bağlı değişimini gösteren grafik Şekil 5.152'de sunulmuştur. Kolektör genişliği 28 mm'den 140 mm'ye çıkarıldığında yüzey sıcaklığında 1 °C' den az bir değerde azalma olmaktadır.

### 5.8.1. Kolektör genişliğinin sıcaklık ve hız dağılımına etkisi

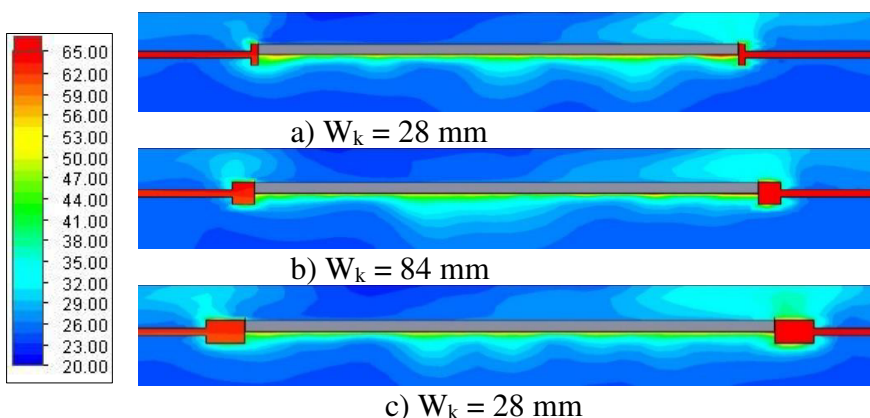
Grafiklerin kolektör genişliğinin hem oda içerisindeki hem de panel bölgesindeki sıcaklık ve hız dağılımına etkisi sunulmuştur. Bu amaçla kolektör genişliğinin 28 mm, 84 mm ve 140 mm olduğu durumlar için; sistemi ortadan kesen A2, B2 kesitlerinde hem oda hem de panel bölgesindeki dağılımlar kullanılmıştır. Bunlara ilave olarak sistemdeki boruların tam ortasından geçen C1 kesiti için panel bölgesindeki dağılım da sunulmuştur.

Şekil 5.153'te A2 kesiti için oda içerisindeki sıcaklık dağılımı sunulmuştur. Şekil incelendiğinde oda içerisindeki dağılımlarda ve sıcaklık değerlerinde benzerlikler görülmektedir. Kolektör genişliğinin 84 mm ve 140 mm durumda panel bölgesinde sıcaklık yoğunluğunun ve değerlerinin arttığı görülmektedir. Sağ taraftaki giriş bölümünde bulunan kolektör etrafındaki sıcaklık dağılımlarına baktığımızda ise kolektör genişliği arttıkça sıcaklık değerlerinin ve yoğunluğunun arttığı görülmektedir.



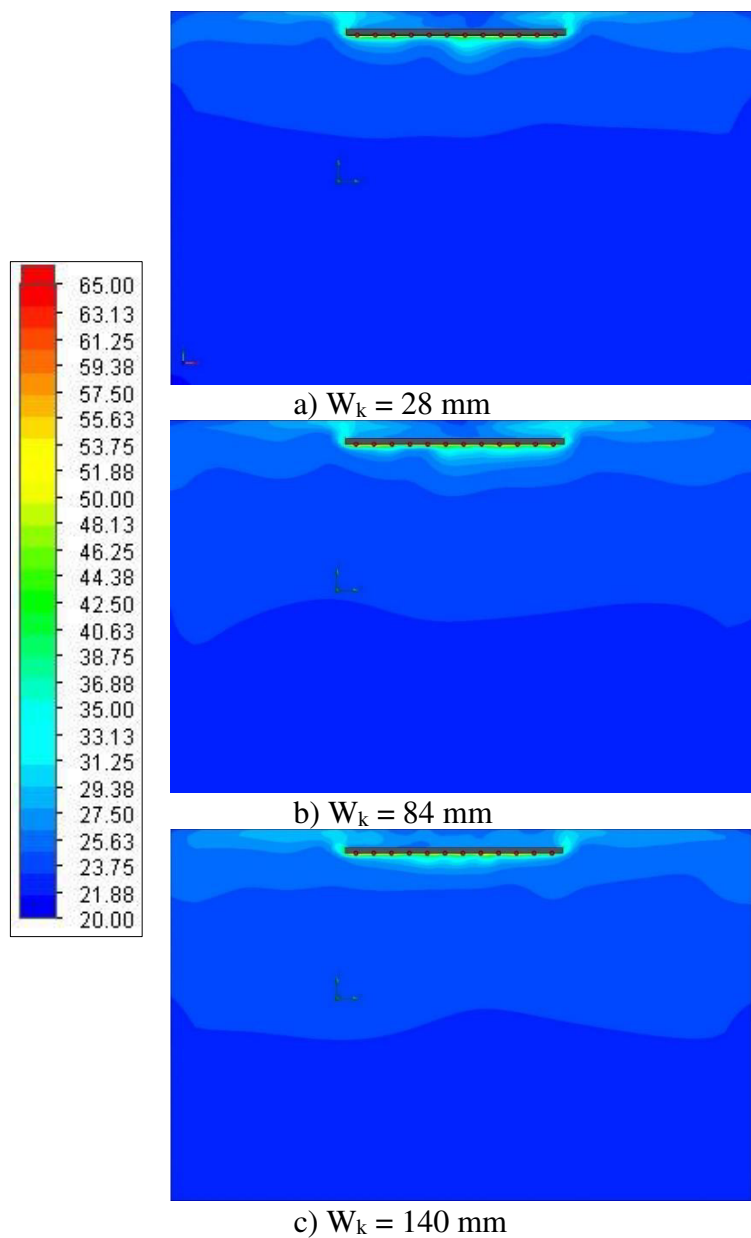
Şekil 5.153. A2 kesitinde oda içerisindeki sıcaklık dağılımına  $W_k$  değerinin etkisi

A2 kesitinde panel bölgesindeki sıcaklık dağılımını daha net görebilmek amacıyla panel bölge sine yakınlaştırılmış görüntüler Şekil 5.154'te sunulmuştur. Sol taraftaki çıkış bölümünde bulunan kolektör bölgesi incelemişinde, kolektör genişliği arttıkça o bölgede sıcaklık yoğunluğunun arttığı görülmektedir.



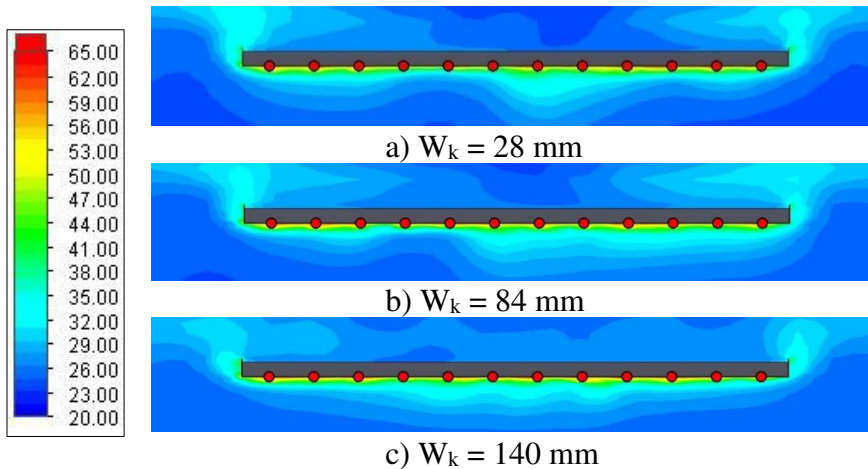
Şekil 5.154. A2 kesitinde panel bölgesindeki sıcaklık dağılımına  $W_k$  değerinin etkisi

Şekil 5.155'te B2 kesiti için oda içerisindeki sıcaklık dağılımı sunulmuştur. Oda içerisindeki sıcaklık dağılımı benzerlik göstermekle beraber kolektör genişliğinin 84 mm olduğu durumda, diğer durumlara kıyasla panel bölgesinde sıcaklık değerlerinin daha yüksek olduğu görülmektedir.



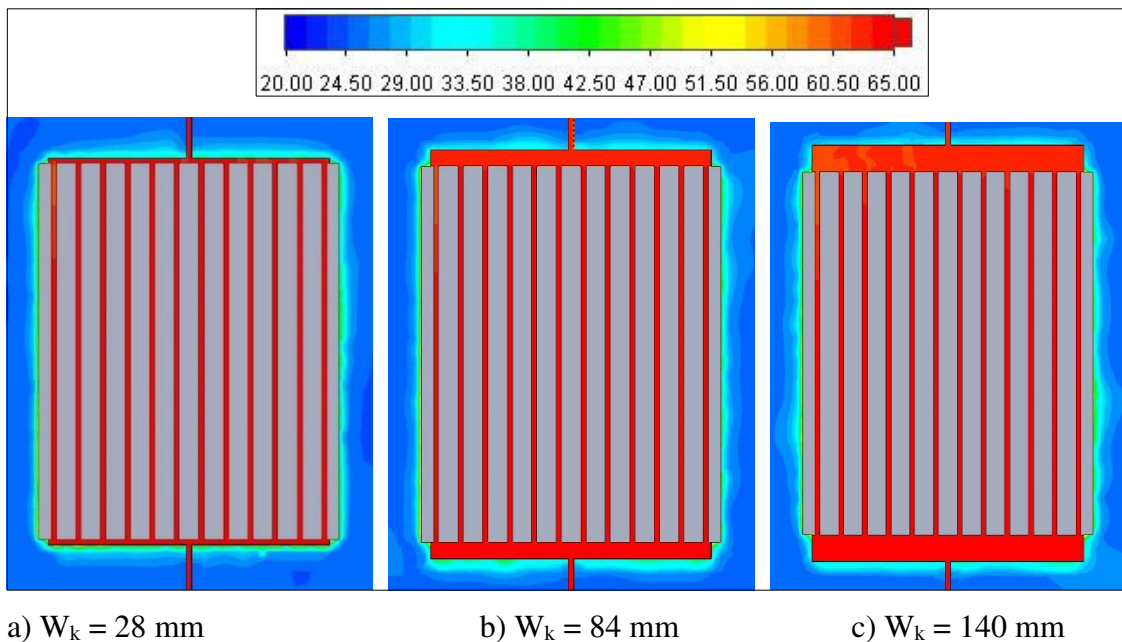
Şekil 5.155. B2 kesitinde oda içerisindeki sıcaklık dağılımına  $W_k$  değerinin etkisi

Şekil 5.156'da B2 kesiti için panel bölgesindeki sıcaklık dağılımı sunulmuştur. Kolektör genişliğinin 140 mm olduğu durumda panelin alt bölgesinde daha düzgün bir sıcaklık dağılımı elde edilmiştir.



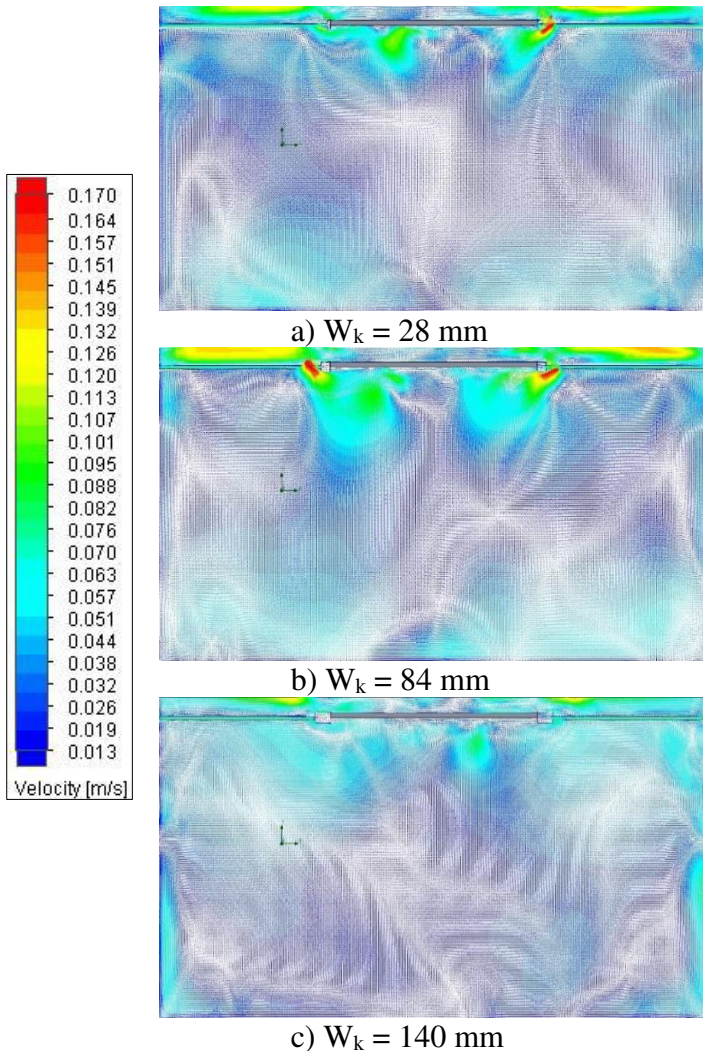
Şekil 5.156. B2 kesitinde panel bölgesindeki sıcaklık dağılımına  $W_k$  değerinin etkisi

Şekil 5.157'de C1 kesiti için panel bölgesindeki sıcaklık dağılımı sunulmuştur. C1 kesiti tüm parametrik çalışmalar için boruların ortasından geçen düzlemdir. Şekil incelendiğinde panel bölgesindeki sıcaklık dağılımlarının benzerlik gösterdiği görülmektedir.



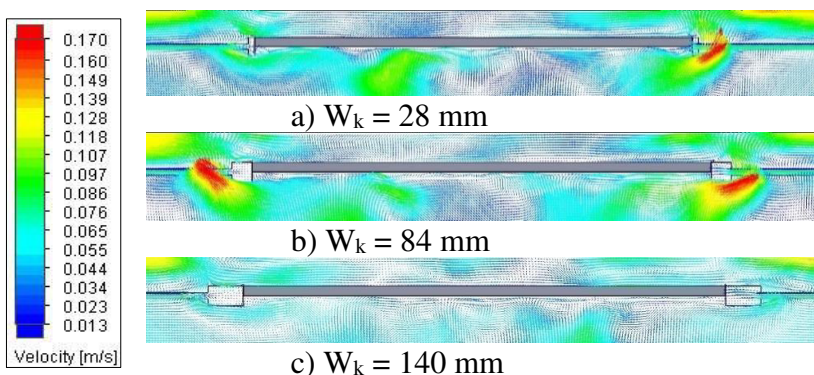
Şekil 5.157. C1 kesitinde panel bölgesindeki sıcaklık dağılımına  $W_k$  değerinin etkisi

Şekil 5.158'de A2 kesiti için oda içerisindeki hız dağılımı gösterilmiştir. Oda içerisindeki hız dağılımlarında farklılıklar görülmektedir. Kolektör genişliğinin 84 mm olduğu durumda panel bölgesi etrafında hız değerleri yükselirken; genişliğin 140 mm olduğu durumda hız değerleri düşüktür.



Şekil 5.158. A2 kesitinde oda içerisindeki hız dağılımına  $W_k$  değerinin etkisi

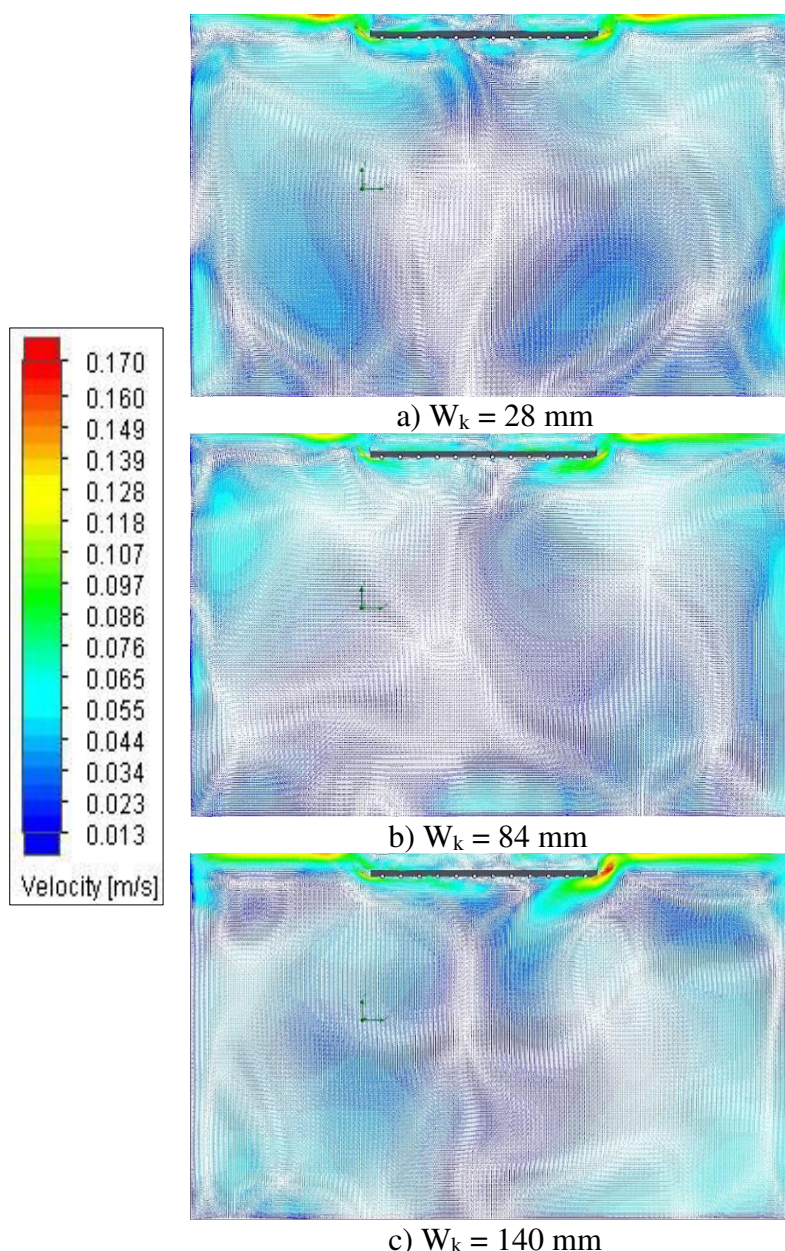
Panel bölgesindeki hız dağılımını daha net görmek amacıyla yakınlaştırılmış görüntüler Şekil 5.159'da sunulmuştur. Kolektör genişliğinin 84 mm olduğu durumda özellikle kolektör bölgesinde hız değerleri diğer durumlara göre daha yüksektir.



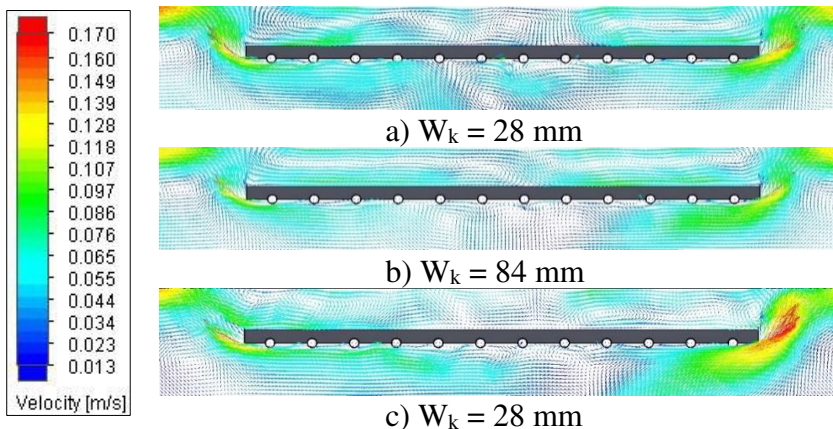
Şekil 5.159. A2 kesitinde panel bölgesindeki hız dağılımına  $W_k$  değerinin etkisi

B2 kesitine ait oda içerisindeki hız dağılımı Şekil 5.160'da sunulmuştur. Dağılımlar benzerlik göstermekle beraber kolektör genişliği arttıkça panelin sağ tarafındaki çıkışa yakın olan bölgede hız değerlerinin arttığı gözlemlenmektedir.

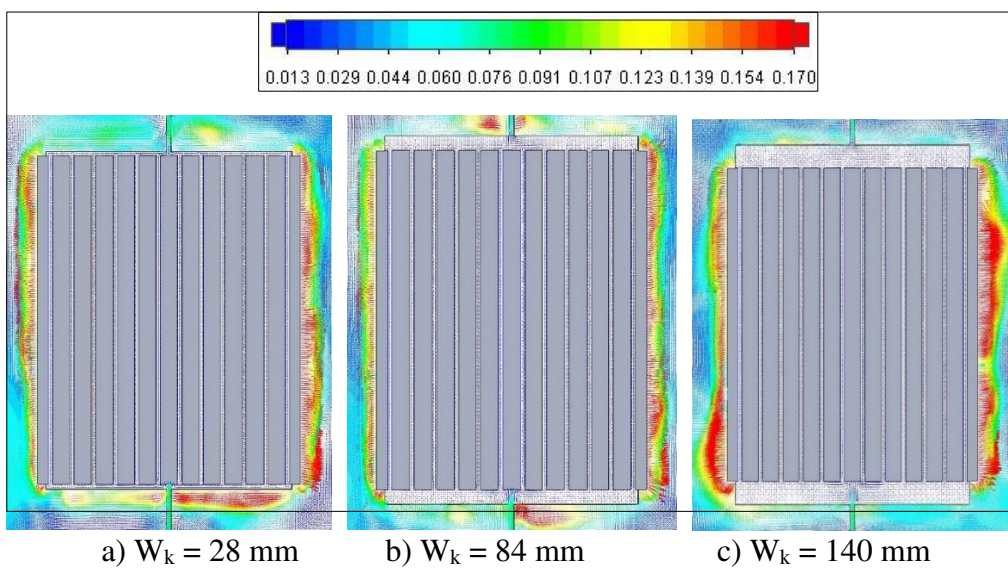
B2 kesitinde panel bölgesindeki hız dağılımını daha net görmek amacıyla yakınlaştırılmış görüntüler Şekil 5.161'de sunulmuştur. Kolektör genişliği arttıkça panelin üst bölgesindeki hız vektörlerinin daha düzgün bir yapıya ulaştığı görülmektedir. Genişliğin 140 mm olduğu durumda panelin sağ tarafında hız değerlerinin yüksek olduğu görülmektedir.



Şekil 5.160. B2 kesitinde oda içerisindeki hız dağılımına  $W_k$  değerinin etkisi



Şekil 5.161. B2 kesitinde panel bölgesindeki hız dağılımına  $W_k$  değerinin etkisi



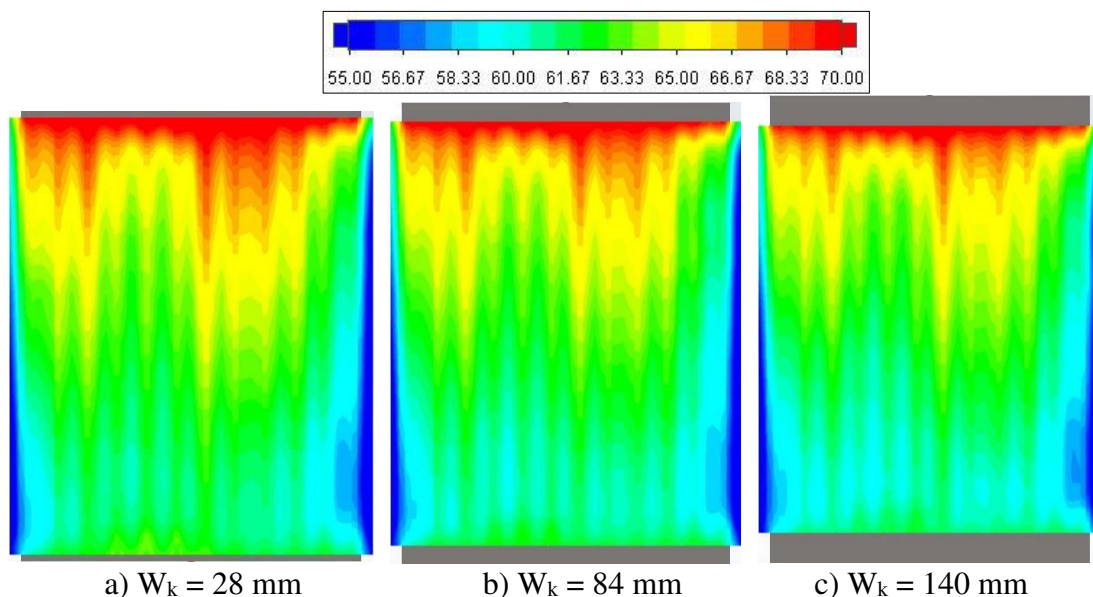
Şekil 5.162. C1 kesitinde panel bölgeindeki hız dağılımına  $W_k$  değerinin etkisi

Şekil 5.162'de C1 kesiti için panel bölgeindeki hız dağılımı sunulmuştur. C1 kesiti tüm parametrik çalışmalar için boruların ortasından geçen düzlemdir. Üç durumda da panel bölgeindeki hız değerleri yüksek olmakla beraber kolektör genişliğinin 140 mm olduğu durumda en yüksek değerlere ve dağılıma sahiptir.

### 5.9.2. Kolektör genişliğinin boruları çevreleyen saclar üzerindeki etkisi

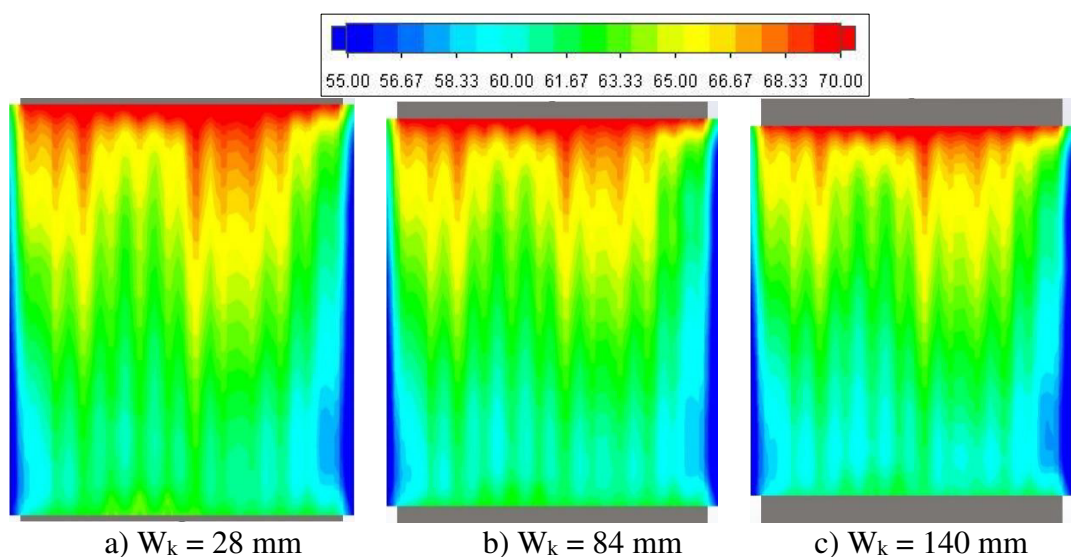
Oda içerisindeki ve panel bölgeindeki sıcaklık ve hız dağılımlarının ardından, kolektör genişliğinin radyasyon yayıcı alt sac yüzeyine ve üst sac yüzeyindeki sıcaklık dağılımları incelenmiştir. Bu amaçla Şekil 6.163'te alt sac yüzeyindeki sıcaklık dağılımı sunulmuştur.

Suyun giriş yaptığı bölgelerde beklenildiği üzere sıcaklık değerleri yüksektir. Fakat kolektör genişliği arttıkça su borulara yeterli miktarlarda iletilememekte ve orta bölümlere doğru yoğunluk azalmaktadır.



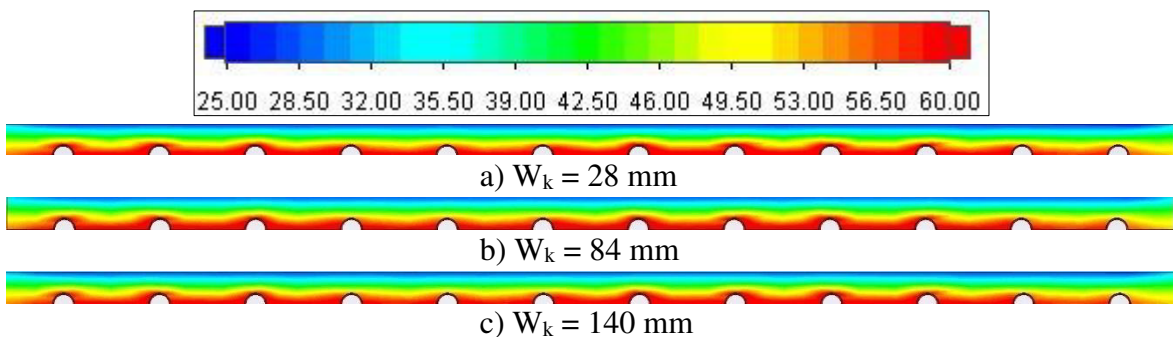
Şekil 5.163. Alt sacdaki sıcaklık dağılımına  $W_k$  değerinin etkisi

Şekil 5.164'te borular ile yalıtım malzemesi arasında kalan üst sac üzerinde kolektör genişliğinin etkisi sunulmuştur. Alt sacdaki duruma benzer bir sıcaklık dağılımı gözlenmekte olup kolektör genişliği arttıkça su borulara yeterli miktarlarda iletilememekte ve orta bölümlere doğru yoğunluk azalmaktadır.



Şekil 5.164. Üst sacdaki sıcaklık dağılımına  $W_k$  değerinin etkisi

### 5.9.3. Kolektör genişliğinin yalıtılmalzemesi içindeki sıcaklık dağılımına etkisi

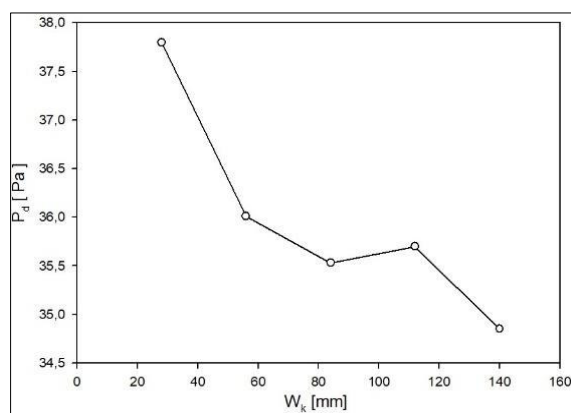


Şekil 5.165. B2 kesiti yalıtılmalzemesindeki sıcaklık dağılımına  $W_k$  değerinin etkisi

Kolektör genişliğinin yalıtılmalzemesi üzerindeki etkisini görmek amacıyla yalıtılmalzemesinin B2 kesitindeki sıcaklık dağılımı Şekil 5.165'te sunulmuştur. Üç durumda da benzer sıcaklık dağılımları gözlemlenmekte olup kenarlara doğru sıcaklık değerlerinin düşmeye başladığı görülmektedir.

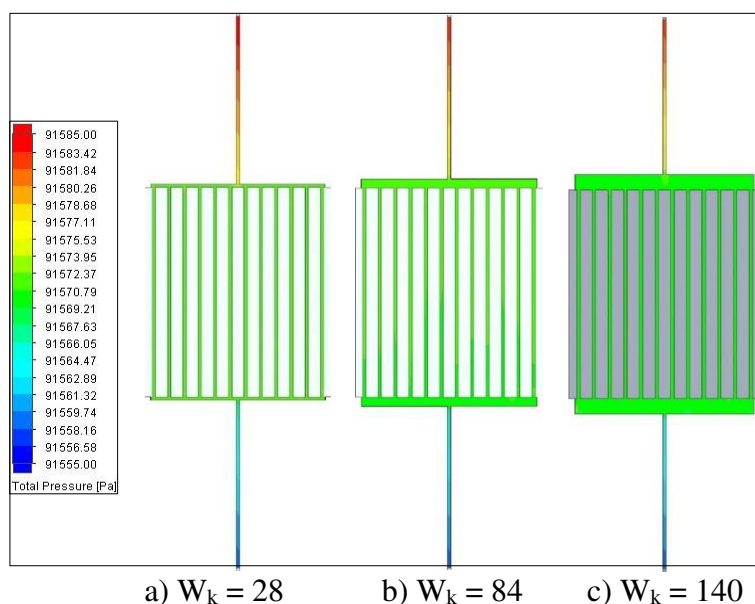
### 5.9.4. Kolektör genişliğinin basınç düşümüne etkisi

Kolektör genişliği çalışmasındaki bir diğer önemli nokta da basınç düşümüdür. Analizlerde çıkış bölümü atmosferik hava koşullarına göre tanımlanmıştır. Su sistem içerisindeki hareketi sırasında çıkışa doğru sıcaklığını ve basıncını kaybetmektedir. Şekil 5.166'da boru geçiş sayısına bağlı basınç düşümü grafiği sunulmuştur. Kolektör genişliği durumunda giriş ile çıkış arasındaki basınç farkı yaklaşık 38 Pa iken genişliğin 140 mm olduğu durumda 35 Pa'dır.



Şekil 5.166. Basınç düşümünün kolektör genişliği ile değişimi

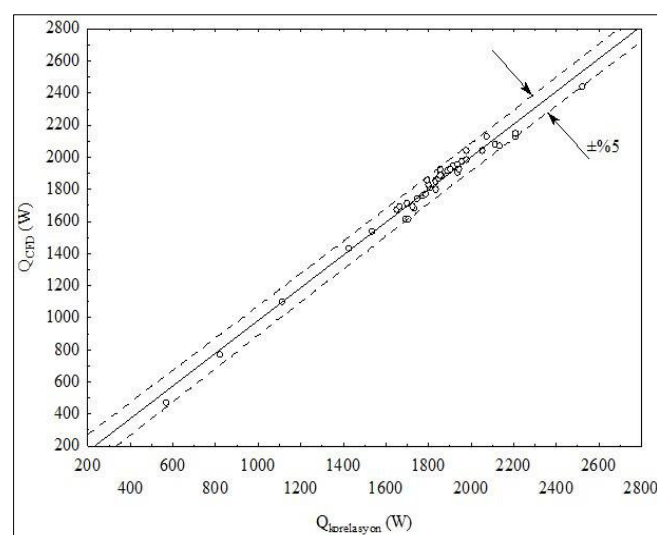
Şekil 5.167'de 3 farklı kolektör genişliği için giriş çıkış arasındaki basınç farkı görselleri sunulmuştur. Boru geçiş sayısı arttıkça girişteki basınç değerinin arttığı görülmektedir.



Şekil 5.167. C1 kesitinde borulardaki basınç düşümüne  $W_k$  değerinin etkisi

## 5.10. Korelasyon Oluşturulması

Gerçekleştirilen parametrik çalışmaların ardından, toplam ısıl güç için performansa etkisi incelenen parametreleri kapsayan bir korelasyon oluşturulmuştur. Şekil 5.168'de korelasyon sonuçları ile sayısal sonuçların karşılaştırılması sunulmuştur.



Şekil 5.168. Toplam ısı transfer miktarı için oluşturulan korelasyon

Grafikten de görüldüğü üzere parametrik çalışma sonuçları ile korelasyon sonuçları birbirleriyle oldukça uyumludur ve  $\pm\%5$  aralığında birbirlerini sağlamaktadır. Eş. 5.2'de korelasyon denklemi sunulmuştur.

$$Q_T = 0,0971 * Re^{0,161} * \varepsilon_p^{0,47} * T_d^{-0,1599} * T_g^{1,499} * D^{0,654} * X_g^{0,0036} * n^{0,142} \quad (5.2)$$

Eşitlikte görülen  $Re$  Reynolds sayısını,  $\varepsilon_p$  panel yayıcılık katsayısını,  $T_d$  oda duvar sıcaklığını,  $T_g$  su giriş sıcaklığını,  $D$  boru çapını,  $X_g$  boruların alt saca gömülme mesafesini ve  $n$  boru geçiş sayısını ifade etmektedir.

## 6. SONUÇLAR VE ÖNERİLER

Bu tez çalışmasında, tavan tipi sulu radyant ısıtma panelinin bir oda içerisindeki ısıtma performansı nümerik olarak incelenmiştir. İncelemede hesaplamalı akışkanlar dinamiği paket programı olan FloEFD kullanılmıştır. Sonuçlar değerlendirilirken toplam ısı transfer miktarı, alt sac yüzeyden elde edilen radyasyon miktarı, alt sac yüzeyin ortalama yüzey sıcaklığı, sıcaklık dağılımları, hız dağılımları ve basınç düşümleri analiz edilmiştir. Bu kapsamda Reynolds sayısı, su giriş sıcaklığı, oda duvar sıcaklığı, panel yayıcılık katsayısı, boru malzemesi, boru çapı, gömülme mesafesi, boru geçiş sayısı ve kolektör genişliğinin etkileri incelenmiş ve her parametrenin ısıtma performansı üzerindeki etkilerini incelemek hedeflenmiştir.

Öncelikle literatürde ticari olarak mevcut olan bir ürün referans olarak seçilmiş olup modellemesi ve analizleri gerçekleştirilmiştir. Doğruluğu sağlandıktan sonra oluşturulan model ile çalışmalarla geçilmiştir. Parametrik çalışmalarla oda ve panel çerçevesinin boyutları sabit tutulmuştur. Diğer çalışmalarla ise incelenen parametre değiştirilmiş, diğer parametreler sabit tutularak ısıtma performansı test edilmiştir.

Çalışmalar sonucunda elde edilen toplam ısı transfer miktarı, alt yüzeyinden elde edilen radyasyon miktarı ve alt yüzeyin ortalama yüzey sıcaklık değerleri ile bazı çalışmalar için basınç düşümü sonuçları grafikler ile sunulmuş olup; sıcaklık dağılımları ve hız vektörlerini gösteren şekillerle sonuçlar desteklenmiş ve karşılaştırılmalı olarak analiz yapılmıştır.

Bu çalışmada iş akışkanı olarak kullanılan su, sisteme 14 farklı Reynolds sayısı değeri altında gönderilmiş ve Reynolds sayısının etkisi incelenmiştir. Reynolds sayısı arttıkça kütlesel debi değeri de arttıından sıcak su ısısını daha fazla yüzeye iletmektedir. Dolayısıyla ısı transfer oranı artmaktadır. Bunun sonucunda toplam ısı transfer ve radyasyon miktarlarının arttığı gözlemlenmiştir

Su giriş sıcaklığının etkisi incelemek amacıyla iş akışkanı olarak kullanılan su, sisteme 7 farklı sıcaklık değerinde gönderilmiştir. Farklı sıcaklıklar için dinamik viskozite değeri de değiştiği için her durumda kütlesel debi değişmiş olup sıcaklık değeri arttıkça kütlesel debi

azalmıştır. Çalışma sonucunda su giriş sıcaklık değeri arttıkça elde edilen toplam ısı transfer miktarının ve alt yüzeyden elde edilen radyasyon miktarının arttığı görülmüştür.

Bu çalışmada oda duvarlarına 5 farklı sıcaklık değeri uygulanarak oda duvar sıcaklığının etkileri incelenmiştir. Düşük sıcaklık değerlerinde ısı transfer oranlarının arttığı gözlemlenmiştir. Oda duvar sıcaklık değeri arttıkça elde edilen toplam ısı transfer miktarının ve alt yüzeyden elde edilen radyasyon miktarının azlığı görülmüştür.

Panelin alt bölümünde bulunan radyasyon yayıcı alt saca 5 farklı yayıcılık katsayısı uygulanarak ısıtma performansına etkileri incelenmiştir. Yayıcılık katsayısı özellikle radyasyon ısı transferi için önemli bir katsayı olup analizler düşük yayıcılık katsayısı değerinden siyah cisim katsayısı olan 1,00 değerine kadar gerçekleştirilmiştir. Yayıcılık katsayısı değeri arttıkça alt sac yüzeyden elde edilen radyasyon miktarı artmıştır ve dolayısıyla sistemden elde edilen toplam ısı transfer miktarının da arttığı görülmüştür. Fakat yüzey sıcaklığı açısından etkisinin ihmali edilebilecek kadar küçük olduğu gözlemlenmiştir.

Borular için paket program kütüphanesinden 3 farklı malzeme seçilerek boru malzemesinin ısıtma performansına etkileri incelenmiştir. Seçilen malzemelerden ısı iletim katsayısı daha düşük olan st-321 paslanmaz çeliğinde elde edilen toplam ısı transfer miktarının daha yüksek olduğu görülmüştür. Fakat alt yüzeyden elde edilen radyasyon miktarına etkilerinde ise aralarında fazla bir fark gözlemlenmemiştir.

Suyun panele taşıdığı ve panel içinde dolaştığı boruların, ısıtma performansına etkisi 5 farklı çap değeri tanımlanarak incelenmiştir. Panel içindeki borular alt ve üst sacların arasındadır; dolayısıyla çap değeri değişikçe sac geometrisi de değişmektedir. Boru çapı arttıkça radyasyon yayıcı alt sac yüzey alanı da artmaktadır. Çalışma sonucunda boru çapı arttıkça ısı transfer yüzeyi arttığı için ısı transfer oranının arttığı, sonuçta elde edilen toplam ısı transfer miktarı ile alt sac yüzeyin radyasyon miktarı ve ortalama yüzey sıcaklık değerlerinin de arttığı gözlemlenmiştir.

Bu çalışmada boruların radyasyon yayıcı alt saca gömülme mesafesinin ısıtma performansına etkisi incelenmiştir. Gömülme mesafesi arttıkça borular panelin içinden dışarıya doğru konumlanmakta ve sac geometrisi de değişmektedir. Bu duruma ek olarak boru sac geometrisi de değişmekte ve yüzey alanı artmaktadır. Çalışma sonucunda gömülme

mesafesi arttıkça ısı transfer yüzeyi artmakta ve ısı transfer oranı da artmaktadır. Dolayısıyla elde edilen toplam ısı transfer miktarı ve alt yüzeyinden elde edilen radyasyon miktarının arttığı gözlemlenmiştir.

Suyun sistem içerisinde dolaştığı boruların geçiş sayılarının, ısıtma performansına etkisini görmek amacıyla 5 farklı geçiş sayısı üzerinde çalışılmıştır. Boru geçiş sayısı arttıkça borular arasındaki mesafe azalmakta ve ısı transfer alanı artmaktadır. Dolayısıyla elde edilen toplam ısıl güç değeri ve alt yüzey radyasyon miktarı da artmaktadır. Geçiş sayıları incelendiğinde 12 boru geçişli sistemde yeterli ısı transferinin sağlandığı gözlemlenmiştir.

Kolektör yapısının ve boyutlarının sistemin ısıtma performansına etkisini görmek amacıyla belirlenen kolektör boyutlarında 5 farklı genişlik değeri için çalışmalar gerçekleştirilmiştir. Kolektör genişliği arttıkça elde edilen toplam ısı transfer miktarının arttığı görülmüştür. Fakat alt sac yüzeyinden elde edilen radyasyon miktarında az da olsa azalma olduğu görülmüştür. Radyasyon yayıcı alt sac yüzeyinin ortalama yüzey sıcaklığına etkisi ihmali edilebilecek değerlerde olduğu gözlemlenmiştir.

Sonuç olarak, birçok farklı parametrenin detaylı olarak incelendiği bu tez çalışmasında; incelenen tüm parametrelerin ısı transferine etkileri görülmüştür. Elde edilen en yüksek değerler açısından değerlendirilirse; su giriş sıcaklığının artışıyla hem toplam ısı transfer hem de alt yüzey radyasyon miktarlarında en yüksek değerlere ulaşılmıştır.

Bu tez çalışmasında kullanılan parametrelerin kapsamları genişletilerek ve yenileri ilave edilerek ısıtma performansının daha da geliştirileceği değerlendirilmektedir. Bununla birlikte aşağıdaki öneriler yapılmaktadır:

Bu sistem soğutma amaçlı da kullanılabildiği için soğutma performans testleri gerçekleştirilebilir.

Farklı paket programları ve farklı türbülans modelleriyle simülasyonlar gerçekleştirilip sonuçlar karşılaştırımlı olarak değerlendirilebilir.

Reynolds sayısı daha düşük değerler için de test edilerek laminer akışın etkileri analiz edilebilir.

Oda boyutlarında değişiklik yapılarak yeni parametreler test edilebilir.

Panel boyutları ve panelin oda içerisindeki konumu ayrı ayrı veya aynı anda değiştirilerek test edilebilir.

Panel sayılarında değişiklik yapılarak farklı durumlar test edilebilir.

Farklı akışkan tiplerinin ısı transfer karakteristikleri incelenebilir.

## KAYNAKLAR

1. Koca, A. (2011). *Duvardan, Yerden, Tavandan Isıtma Soğutma Panellerinin Geliştirilmesi Performans Analizleri ve Örnek Bir Oda Modellemesi*, Yüksek Lisans Tezi, İstanbul Teknik Üniversitesi, Fen Bilimleri Enstitüsü, İstanbul. Erişim adresi: <http://hdl.handle.net/11527/1882>
2. Zhang,L., Liu, X. and Jiang, Y. (2013). Experimental Evaluation of a Suspended Metal ceiling radiant panel with inclined fins. *Energy and Buildings*, 62, 522-529.
3. Tye-Gingras,M. and Gosselin L., (2012). Comfort and Energy Consumption of Hydronic Heating Radiant Ceilings and Walls Based on CFD Analysis. *Building and Environment*, 54, 1-13.
4. Kegel, M. (2006). *Experimental and Analytical Analysis of Perimeter Radiant Heating Panels*. Yüksek Lisans Tezi, Waterloo Üniversitesi, Kanada. Erişim adresi: <http://hdl.handle.net/10012/2867>
5. Fonseca, N., Cuevas C. and Lemort, V. (2010, July). Experimental Analysys of Radiant Ceiling Systems Coupled to its Environment. *Paper presented at International High-Performance Buildings Conference*, Paper 3. Pardue, India.
6. Fonseca, N. (2011). Experimental Study of Thermal Condition in a Room with Hydronic Cooling Radiant Surfaces. *International Journal of Refrigeration*, 34, 686-695.
7. Dudkiewicz, E. and Jezowiecki, J. (2008). Testing of Temperature Conditions at Wprk Post with a Heating-Cooling Radiant Ceiling Panel. *Polish Journal of Environmental Studies*, 17, 169-174.
8. Dudkiewicz, E. Jadwiszczak P. and Jezowiecki, J. (2011). Examination of Operational Dynamics of Radiant Ceiling Panel. *Central European Journal of Engineering*, 1(2), 159-167.
9. Drojetzki, L. and Wojtkowiak, J. (2018). Ceiling Mounted Radiant Panels- Calculations of Heat Output in Heating and Cooling Application. *Web of Conferences*. 44,00035. Doi: 10.1051/e3sconf/20184400035
10. Chae, Y.T., Lee, K.H. and Park, J.S. (2011). Improved Thermal Performance of a Hydronic Radiant Panel Heating System by the Optimization of Tube Shapes. *Journal of Zhejiang University-SCIENCE A: Applied Physics & Engineering*, 12(6), 428-437.
11. Koca, A., Gemici, Z., Topacoglu, Y., Cetin, G., Acet, R.C. and Kanbur, B.B. (2014). Experimental Investigation of Heat Transfer Coefficients Between Hydronic Radiant Heated Wall and Room. *Energy and Buildings* 82, 211-221.
12. Bojic, M., Cvetkovic, D., Marjanovic, V., Blagojevic, M. and Djordjevic,Z. (2013). Performances of Low Temperature Radiant Heating Systems. *Energy and Buildings* 61, 233- 218.

13. Bojic, M., Cvetkovic, D. and Bojic, L. (2015). Decreasing Energy Use and Influence to Environment by Radiant Panel Heating Using Different Energy Sources. *Applied Energy*, 138, 404-413.
14. Myhren, J.A. and Holmberg, S. (2008). Flow Patterns and Thermal Comfort in a Room with Panel, Floor and Wall Heating. *Energy and Buildings*, 40, 524-536.
15. Seyam, S., Huzayyin, A. El-Batsh, H. and Nada, S. (2014). Experimental and Numerical Investigation of the Radiant Panel Heating System Using Scale Room Model. *Energy and Buildings*, 82, 130-141.
16. Karacavus, B. and Aydin, K. (2018). Numerical Investigation of General and Local Thermal Comfort of an Office Equipped with Radiant Panels. *Indoor and Built Environment*, 1-20.
17. Şengül, A.İ. (2007). *Sulu Radyant Sistemler*. Yüksek Lisans Tezi, Gebze Yüksek Teknoloji Enstitüsü, Mühendislik ve Fen Bilimleri Enstitüsü, Kocaeli. YÖK Ulusal Tez Merkezi veri tabanından elde edildi. (Tez no: 211996).
18. Koca, A., Gemici, Z., Bedir,K., Böke, E., Topaçoğlu, Y. ve Kanbur, B.B. (2013). Radyant Isıtma ve Soğutma Sistemlerinin Isıl Konfor Analizleri. *11. Ulusal Tesisat Mühendisliği Kongresi*, 2025-2042.
19. Kanbur,B.B., Atayılmaz Ş.Ö., Koca,A., Gemici,Z. ve Teke,İ. (2013). Radyant Isıtma Panellerinde Açığa Çıkan Isı Akılarının Sayısal Olarak İncelenmesi. *ULIBTK'13 19. Ulusal Isı Bilimi ve Tekniği Kongresi*, 1498-1502.
20. Bedir,K. (2012). *Radyant Isıtma ve Soğutma Sistemlerinin Isıl Konfor ve Enerji Verimliliğinin Sayısal Analizi*. Yüksek Lisans Tezi, İstanbul Teknik Üniversitesi Fen Bilimleri Enstitüsü, İstanbul. YÖK Ulusal Tez Merkezi very tabanından elde edildi. (Tez no: 315217
21. Li, R., Yoshidomi, T., Ooka, R. and Olesen, B.W. (2015). Field Evaluation of Performance of Radiant Heating/Cooling Panel System. *Energy and Buildings*, 86, 58-65.
22. Zmrhal, V., Hensen, J. and Drkal, F. (2003). Modelling and Simulation of a Room with a Radiant Cooling Ceiling. *Eighth International IBPSA Conference*, 1491-1496.
23. Miriel, J., Serres, L. and Trombe, A. (2002). Radiant Ceiling Panel Heating-Cooling Systems: Experimental and Simulated Study of the Performances, Thermal Comfort and Energy Comsumptions. *Applied Thermal Engineering*, 22, 1861-1873.
24. Raimundo, A.M., Oliveira, A.V.M., Gaspar, A.R. and Quintela, D.A. (2015). Numerical Evaluation of a Radiant Panel System for a High-Ceiling Room [abstract]. *15th International Conference on Environmental Ergonomics (ICEE XV)*. Doi: 10.1186/2046-7648-4-S1-A156
25. Fonseca,N. (2011). Experimental Analysis and Modelling of Hydronic Radiant Ceiling Panels Using Transient-State Analysis. *International Journal of Refrigeration*, 34, 958-967.

26. Catalina, T., Virgone, J. and Kuznik, F. (2009). Evaluation of Thermal Comfort Using Combined CFD and Experimentation Study in a Test Room Equipped with a Cooling Ceiling. *Building and Environment*, 44(8), 1740-1750.
27. Okamoto, S., Kitora, H., Tamaguchi, H. and Oka, T. (2010). A Simplified Calculation Method for Estimating Heat Flux from Ceiling Radiant Panels. *Energy and Buildings*, 42, 29-33.
28. Strand, R.K. and Baumgartner, K.T. (2005). Modeling Radiant Heating and Cooling Systems: Integration with a Whole-building Simulation Program. *Energy and Buildings*, 37, 389-397.
29. Çengel, Y.A. and Cimbala J.M. (2006). Fluid Mechanics: Fundamentals and Applications (First Edition). New York: McGraw-Hill, 886-902.
30. Teodosiu, C., Kuznik F. and Teodosiu,R. (2014). CFD Modeling of Buoyancy Driven Cavities with Internal Heat Source – Application to Heated Rooms. *Energy and Buildings*, 68, 403-411.
31. Çengel, Y.A. and Boles M.A. (2002) Thermodynamics: An Engineering Approach (Fourth Edition). New York: McGraw-Hill, 884-932.



## ÖZGEÇMİŞ

### Kişisel Bilgiler

Soyadı, adı	: DİKMEN, Tahir
Uyruğu	: T.C.
Doğum tarihi ve yeri	: 03.08.1991, Konya
Medeni hali	: Bekar
Telefon	: 0 (506) 2161652
e-mail	: tahirdikmen@gmail.com



### Eğitim

Derece	Eğitim Birimi	Mezuniyet Tarihi
Yüksek lisans	Gazi Üniversitesi / Silah Sistemleri Mühendisliği	Devam Ediyor
Lisans	Kırıkkale Üniversitesi / Makine Mühendisliği	2015
Lise	Alparslan Anadolu Lisesi	2009

### İş Deneyimi

Yıl	Yer	Görev
2019-2019	Mikropor Makine San.	Ar-Ge Uzmanı
2016-2018	Hidroan Ankara Hidrolik Mak. San.	Ar-Ge Tasarım Müh.
2015-2016	KYK Yüce Makine İmalat San.	Üretim / Analiz Müh.

### Yayınlar

Dikmen, T., Calisir, T. and Baskaya,S. (2019). A Numerical Investigation of a Ceiling Type Radiant Panel Heater. Karapinar R. And Soldatovic,T. (Ed.). *6<sup>th</sup> International Symposium on Academic Studies in Science, Engineering and Architecture Sciences*. Ankara, Turkey, 822-835.

### Yabancı Dil

İngilizce

### Hobiler

Seyahat etmek, Kitap okumak, Sinema, Tiyatro



*GAZİ GELECEK TİR..*